

UNIVERSITATEA "POLITEHNICA"
TIMIȘOARA
BIBLIOTECA CENTRALĂ

Timișoara

Nr. Inv. 642.701

ă și Calculatoare

Dulap 161 Lit. H

e

CONTRIBUȚII LA PROIECTAREA ȘI DEZVOLTAREA APLICAȚIILOR TIMP REAL UTILIZÂND PLC-uri

Teză de doctorat

Autor:

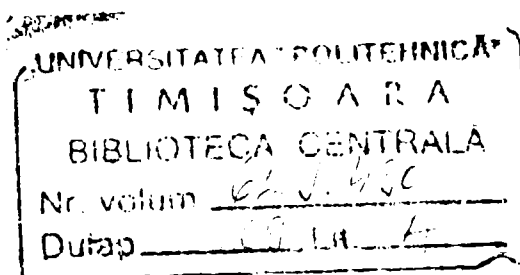
ing. Zmaranda Doina

Coordonator științific:

prof. dr. ing. Crețu Vladimir

Timișoara
2001

CUPRINS



1. INTRODUCERE	7
1.1. Oportunitatea tezei.....	7
1.2. Sisteme software. Sisteme timp real.....	9
1.3. Ciclul de viață al software-ului și sistemele de control timp real	12
1.3.1. Modele din domeniul ingineriei controlului automat (ICA)	12
1.3.2. Modele din domeniul ingineriei programării (IP).....	14
1.3.3. Aplicabilitatea modelelor din domeniul ICA și IP pentru sistemele de control timp real	18
1.3.4. Un model de dezvoltare a aplicațiilor de control timp real	20
1.3.4.1. Analiza și specificarea cerințelor.....	20
1.3.4.2. Conceptul (controlul) algoritmic.....	21
1.3.4.3. Proiectarea software/hardware	22
1.3.4.4. Implementarea software/hardware.....	24
1.3.4.5. Testarea.....	25
1.4. Structura tezei.....	27
2. SISTEME TIMP REAL <i>TIMED-TRIGGERED</i> (TT) <i>VERSUS EVENT TRIGGERED</i> (ET)	30
2.1. Clasificarea sistemelor timp real	30
2.1.1. Sisteme hard real-time versus soft real-time	30
2.1.2. Sisteme fail-safe versus fail-operational.....	32
2.1.3. <i>Răspuns garantat versus cel mai bun efort</i>	33
2.1.4. <i>Resource-adequate versus resource-inadequate</i>	33
2.1.5. Sisteme <i>event-triggered</i> (ET) versus <i>timed-triggered</i> (TT).....	34
2.2. Aspecte teoretice privind modelarea sistemelor timp real.....	35
2.2.1. Elemente esențiale pentru construirea modelului unui sistem timp real	35
2.2.2. Control temporal versus control logic	37
2.2.3. WCET (Worst-Case Execution Time).....	38
2.3. Concluzii	40

BIBLIOTECA CENTRALĂ
UNIVERSITATEA "POLITEHNICĂ"
TIMIȘOARA

3. METODOLOGII GENERALE DE DEZVOLTARE A APLICAȚIILOR TIMP REAL	41
3.1. Aspecte esențiale în cadrul metodologiilor de proiectare.....	41
3.2. Metodologii de proiectare.....	43
3.2.1. Metode de descompunere a sistemelor (modelarea statică).....	43
3.2.1.1. Proiectarea structurată și descompunerea funcțională.....	43
3.2.1.2. Proiectarea orientată pe obiecte.....	44
3.2.1.3. Mașini virtuale.....	45
3.2.1.4. Metode entity-life.....	46
3.2.2. Metode de abstractizare ale proceselor (modelarea dinamică).....	46
3.2.2.1. Diagrame de stări finite (Finite State Diagram FSD).....	46
3.2.2.2. Diagrame de flux extinse.....	47
3.2.2.3. Rețele Petri.....	47
3.2.3. Metodologii de implementare.....	48
3.3. Unelte și medii de proiectare și modelare.....	49
3.3.1. MGA ACSL/Graphic Modeller.....	50
3.3.1.1. Editorul grafic Graphic Modeller.....	51
3.3.1.2. Simulatorul ACSL.....	51
3.3.1.3. Generare automată de cod.....	54
3.3.2. Real-time Rational ROSE.....	55
3.3.2.1. Mecanisme pentru dezvoltare iterativă și suport multi-utilizator.....	55
3.3.2.2. Editorul grafic Rational Rose.....	56
3.3.2.3. Facilități de inginerie inversă.....	56
3.3.2.4. Generarea automată de cod.....	56
3.3.3. Verilog ObjectGeode.....	57
3.3.3.1. Editorul grafic Object Geode.....	57
3.3.3.2. Generarea automată de cod.....	57
3.3.3.3. Simulatorul ObjectGeode.....	58
3.4. Concluzii.....	60

4. CONTROLLER-E PROGRAMABILE ÎN APLICAȚIILE DE CONTROL TIMP REAL.....	63
4.1. Specificul PLC-urilor	63
4.1.1 Caracteristici hardware	65
4.1.1.1. Unitatea centrală.....	65
4.1.1.2. Interfața pentru I/O.....	66
4.1.1.3. Modul de operare al programului din PLC.....	67
4.1.2. Arhitecturi pentru sisteme de control automat timp real bazate pe PLC-uri.....	70
4.1.3. Caracteristici software	72
4.1.3.1. Software table-driven	73
4.1.3.2. Software block-structured	74
4.1.3.3. Limbajele specializate	75
4.2. Paradigma Cy-Clone.....	78
4.2.1 Concepte fundamentale privind abordarea ciclică.....	78
4.2.2. Abordarea ciclică în cadrul sistemelor distribuite	79
4.2.3. Avantajele și dezavantajele paradigmei Cy-Clone	81
4.2.4. Utilizarea paradigmei Cy-Clone si a PLC-rilor in dezvoltarea aplicațiilor de control timp real	82
4.3. Concluzii	86
5. METODOLOGIE DE PROIECTARE A APLICAȚIILOR TIMP REAL UTILIZÂND PLC-URI.....	88
5.1. Concepte generale	88
5.2. Etape ale metodologiei	89
5.2.1. Etapa 1: Realizarea modelului descriptiv M_d	91
5.2.1.1. Descompunerea sistemului în subsisteme.....	92
5.2.1.2. Definirea strategiei de control	93
5.2.1. Etapa 2: Realizarea modelului prescriptiv formal M_p și verificarea acestuia utilizând simularea.....	94
5.2.2.1. Realizarea modelului M_p și simularea acestuia	95
5.2.2.2. Testarea modelului generat și al simulării	97
5.2.3. Etapa 3: Construirea modelului pentru implementare utilizând PLC-uri	102
5.2.3.1. Proiectarea software	102
5.2.3.2. Alocarea modulelor pe procesoare	104

5.2.4. Etapa 4: Implementarea software-ului și testarea	108
5.2.4.1. Implementarea software-ului sistemului de control timp real.....	108
5.2.4.2. Testarea software-ului implementat.....	109
5.3. Concluzii	111
6. STUDIU DE CAZ: SISTEMUL AUTOMAT DE MONITORIZARE ȘI CONTROL A INSTALAȚIEI GEOTERMALE DE LA UNIVERSITATEA DIN ORADEA	113
6.1 Analiza și specificarea cerințelor.....	114
6.1.1. Descrierea procesului fizic de controlat P	114
6.1.2. Descrierea strategiei de control dorite C	116
6.2. Controlul algoritmic	117
6.2.1. Etapa 1: Realizarea modelului descriptiv M_d	117
6.2.1.1. Descompunerea sistemului în subsisteme și definirea modelului descriptiv al procesului P_d	117
6.2.1.2. Definirea strategiei de control C_d	118
6.2.2. Etapa 2: Realizarea modelului prescriptiv formal M_p și verificarea acestuia prin simulare.....	134
6.2.2.1. Realizarea modelului prescriptiv M_p și simularea acestuia	134
6.2.2.2. Testarea modelului generat și al simulării	144
6.3. Proiectarea software/hardware	150
6.3.1. Proiectarea software	150
6.3.2. Alocarea modulelor pe procesoare (proiectarea hardware)	153
6.4. Implementarea și testarea software-ului aplicației	158
6.4.1. Implementarea software-ului din PLC	158
6.4.2. Implementarea interfeței utilizator	161
6.4.3. Testarea software-ului implementat	165
6.5. Concluzii	167
7. CONCLUZII FINALE ȘI CONTRIBUȚII ORIGINALE	169

BIBLIOGRAFIE	176
GLOSAR	191
Anexa 1: Schema de automatizare și valorile calculate în schema de automatizare	192
Anexa 2: Alarmer în sistem	194
Anexa 3: Constante utilizate în programul de control	197

1. INTRODUCERE

1.1. Oportunitatea tezei

Sistemele timp real reprezintă o categorie largă de sisteme, în prezent din ce în ce mai des întâlnite în practică. Operarea în timp real se deosebește în mod fundamental de celelalte forme de procesare prin implicarea explicită a noțiunii de timp. Caracteristicile de bază ale acestui mod de operare pot fi sintetizate de următoarea definiție, exprimată de standardul DIN 44 300 al industriei germane:

Definiție:

Modul de operare al unui sistem de calcul în cadrul căruia programele pentru procesarea datelor provenite din exterior operează continuu, astfel încât rezultatele acestora vor fi disponibile în cadrul unor perioade predeterminate de timp.

Definiția de mai sus implică nu atât viteză de procesare, cât obținerea unor reacții într-un timp predefinit, determinat. Această cerință a sistemelor timp real face ca dezvoltarea unor astfel de sisteme să fie mult mai complicată ca și realizare decât în cazul sistemelor care nu operează în timp real.

În trecut, programarea aplicațiilor timp real s-a bazat pe utilizarea extensivă a limbajelor de asamblare, în primul rând din considerente de viteză, având însă în rest toate dezavantajele cunoscute ale acestora [WM85a,b]. Programarea la nivel de asamblare este însă destul de greoaie, iar pentru sistemele complexe, sursa rezultată este foarte mare, fiind extrem de greu de depanat și de întreținut. În prezent însă, utilizarea asamblării este din ce în ce mai rară din cauza apariției unor unelte software care permit dezvoltarea integrată a aplicațiilor timp real, începând cu configurarea hardware și terminând cu proiectarea și implementarea software.

În ciuda acestor unelte, actualmente domeniul dezvoltării aplicațiilor timp real se află încă într-un stadiu de pionierat, în sensul că majoritatea sistemelor de acest tip au fost și sunt dezvoltate utilizând tehnici ad-hoc, fără a avea o bază științifică [Gom86]. Aceste metode au fost dezvoltate pe baza necesității de a rezolva rapid anumite probleme apărute în practică, dar soluțiile adoptate au de cele mai multe ori un caracter specific, non-general. Chiar dacă nu furnizează toate facilitățile necesare, aplicarea pe scară largă a acestor unelte CASE existente în prezent poate ușura considerabil efortul de dezvoltare a unei aplicații timp real complexe. Este cu totul greșită ideea că apariția unor procesoare și sisteme de comunicare din ce în ce mai performante va rezolva problemele legate de aspectele temporale în sistemele timp real.

Dimpotrivă, va exista tendința de a crea sisteme concurente tot mai complexe, a căror probleme legate de cerințele temporale vor crește în loc să scadă [Sta88]. Bineînțeles că performanțele tot mai crescînde vor putea fi exploatare și în acest caz, dar aceasta nu înseamnă că cerințele temporale vor fi îndeplinite în mod automat. Fără o **proiectare adecvată** a aplicației date, conform unei metodologii bine stabilite nu este sigur că procesoarele împreună cu sistemul de comunicație vor putea face față tuturor situațiilor de încărcare maximă care pot apărea în cadrul unei aplicații concrete [KS97].

Există la ora actuală o serie de metodologii de dezvoltare software larg utilizate pentru aplicațiile care nu au componentă de timp real; acestea sunt cunoscute din domeniul ingineriei programării dar **nu sunt aplicabile decît eventual parțial pentru sistemele timp real**. Acest lucru se datorează în principal faptului că, în cazul aplicațiilor timp real există alte criterii de optimalitate și performanță care trebuie luate în considerare.

Astfel, de exemplu, pentru sistemele software clasice, utilizarea la maximum a procesorului reprezintă un criteriu esențial de proiectare de care se ține cont în majoritatea metodologiilor existente și care a făcut subiectul a numeroase articole în literatura de specialitate. Pentru sistemele timp real însă, este complet irelevant faptul că utilizarea procesorului nu este optimă; utilizarea slabă a procesorului este un preț mic care trebuie plătit în cazul în care este obținută în schimb o mai mare simplitate a software-ului ca și o premiză de bază în obținerea dependibilității și predictibilității ulterioare a sistemului.

De asemenea, în cazul sistemelor distribuite clasice, sunt binecunoscute schemele de încărcare a nodurilor cu task-uri și modalitățile de migrare a task-urilor de la un nod la altul în cazul apariției situațiilor de încărcare maximă. În sistemele timp real însă, astfel de idei sunt în general ne-aplicabile, deoarece ele pot să se refere doar la task-urile de procesare propriu-zisă. În contrast cu acestea, task-urile de control a diferitelor mărimi din sistem sunt însă puternic limitate de I/O; legarea permanentă a unor dispozitive externe (senzori, actuatori) de anumite noduri face practic ca o astfel de politică de **load-sharing** să fie imposibil de utilizat. În consecință, cercetarea în acest sens trebuie să fie orientată funcție de aceste realități [Hal92].

În general, gîndirea în termeni probabilistici sau statistici, lucru comun în știința calculatoarelor în ceea ce privește evaluarea performanțelor, este nepotrivită în cazul domeniului timpului real; la fel este și stabilirea criteriului de minimizare a timpului mediu de răspuns ca și criteriu de optimalitate utilizat în procesul de proiectare. În locul acestora, trebuie luate în considerare în procesul de proiectare criterii ca de exemplu următoarele [Kop97]:

- cazurile cele mai defavorabile
- timpii limită (deadline)
- întîrzierile maxime posibile, etc.

Pentru a realiza sisteme timp real **dependabile** și **predictibile**, este necesară o proiectare bazată pe o gândire în termeni statici, precum și pe acceptarea tuturor constrângerilor fizice existente; toate elementele dinamice sau virtuale care ar putea fi utilizate sunt considerate în acest caz dăunătoare [AMR98].

În mod evident, un grad înalt de dependabilitate nu înseamnă în mod necesar că sistemul nu se va defecta niciodată; nici un sistem tehnic nu este fiabil la modul absolut [McD93]. Totuși, utilizând măsurile corespunzătoare încă din faza de proiectare se poate face ca violarea unor deadline-uri precum și consecințele acestora să fie cuantificabile și cât mai puțin probabile. Astfel, limitările individuale ale unui sistem timp real trebuie recunoscute și riscurile utilizării acestuia trebuie avute în considerare.

În concluzie, în procesul de proiectare a aplicațiilor timp real efortul trebuie dirijat către **definirea unor metodologii care să asigure în primul rând cerințele specifice unor astfel de sisteme**, și anume: îndeplinirea cerințelor temporale, predictabilitate și dependabilitate. Aceste obiective pot fi realizate în primul rând prin alegerea **simplității** ca principiu fundamental al proiectării, conform următorului lanț causal:

Simplitate => Predictabilitate => Dependabilitate

Astfel, definirea unei metodologii pornind de la principiul de mai sus reprezintă o **necesitate** în practica actuală de dezvoltare a sistemelor timp real și care rezolvă pentru moment o largă categorie de aplicații critice. Lucrarea de față propune o astfel de metodologie. În pofida simplității și deci și a limitărilor inerente, metodologia propusă poate constitui o bază de pornire în dezvoltarea ulterioară a altor metodologii, mult mai complicate, bazate eventual și pe utilizarea metodelor formale. Pentru practica actuală însă, datorită imaturității metodelor formale în ceea ce privește sistemele timp real complexe, metodologia propusă reprezintă o unealtă extrem de utilă în dezvoltarea sistematică în special a aplicațiilor de control timp real, ca o premiză esențială în realizarea dezideratelor de predictabilitate și determinism.

1.2. Sisteme software. Sisteme timp real

Activitatea de dezvoltare a software-ului este, de cele mai multe ori, doar o componentă din activitatea de proiectare a unui sistem, mult mai complexă în ansamblul ei, și în cadrul căreia cerințele software-ului trebuie să se alinieze la cerințele sistemului în întregul său. Sistemele de monitorizare și control, sistemele bancare, etc., sunt numai câteva exemple în acest sens.

Astfel, pentru o proiectare cât mai corectă, sunt necesare nu numai cunoașterea problemelor legate de dezvoltarea componentei software propriu-zise și a interfețelor abstracte cu care aceasta trebuie să interacționeze, dar și informații despre modul de funcționare al sistemului de proiectat în ansamblu. Rezultă deci, că o astfel de activitate este de cele mai multe ori o activitate interdisciplinară și care necesită, în mod imperativ lucrul în echipă. Utilizarea tehnicilor ingineriei programării este esențială, în măsura în care acest lucru este posibil din punct de vedere practic.

Un sistem software se dezvoltă în general cu scopul de a automatiza o anumită aplicație particulară: din acest motiv se poate caracteriza un sistem software funcție de cerințele aplicației propriu-zise. Astfel, există patru mari tipuri de sisteme software, și anume [GJM91]:

- sisteme informaționale
- sisteme timp real
- sisteme distribuite
- sisteme încorporate

Clasificarea de mai sus are mai mult un caracter orientativ pentru că în realitate multe sisteme prezintă caracteristici comune mai multor tipuri dintre cele prezentate mai sus. Astfel, putem avea sisteme informaționale cu cerințe de timp real, eventual și distribuite; mai mult, un astfel de sistem poate fi încorporat într-un sistem mai mare de monitorizare și control. De altfel, sistemele încorporate sunt deseori, prin natura lor, sisteme cu cerințe de timp real.

Definiție:

Un sistem timp real este un sistem în cadrul căruia funcționarea corectă nu depinde numai de rezultatele logice ale sale dar și de momentul în care acestea au fost obținute.

Cu alte cuvinte, un sistem în timp real este orice sistem în care **momentul** în care rezultatele sunt obținute este semnificativ. Dinamica domeniului a făcut însă de multe ori ca sfera noțiunii de timp real să devină instabilă și vagă. Definițiile prea tranșante, încorsetate în terminologii riscă să devină neacoperitoare pentru o largă categorie de aplicații care există în prezent [BF97].

De asemenea, de multe ori noțiunea de timp real s-a restrîns, în special la domeniul controlului proceselor tehnologice sau conducerii operative a producției, din motive istorice.

Indiferent de formulare, definiția unui sistem timp real cere ca rezultatele să fie obținute în timp util pentru a putea avea efect nemijlocit asupra sistemului și nu doar o valoare pur informativă, ca în cazul tradițional. De asemenea, se poate observa că definiția este foarte generală, atotcuprinzătoare, acoperind practic orice tip de sistem care respectă cerințele de timp. De asemenea, tot din definiție rezultă că nu este obligatoriu ca sistemul să întreprindă el însuși ceva, este suficient să furnizeze rezultatele care să permită o eventuală intervenție din afară (în speță a omului); deci, teoretic, supravegherea este suficientă pentru calitatea de timp real.

În fine, trebuie menționat că viteza de reacție nu este precizată în valori absolute (adică nu se impune nici un timp de răspuns, nici măcar **foarte repede**), ci relativ, în raport cu viteza de desfășurare a proceselor în cauză și cu implicațiile acestora. Astfel, de exemplu, cîteva ms pot însemna prea încet pentru supravegherea unui reactor nuclear, iar o jumătate de oră poate fi suficient de repede pentru cazanul unei centrale termice. Reciproc, o viteză fulger este total inutilă dacă rezultatele prelucrării se aplică mai încet decît permite contextul.

Figura 1 descrie structura generală a unui sistem timp real [Kop97] :

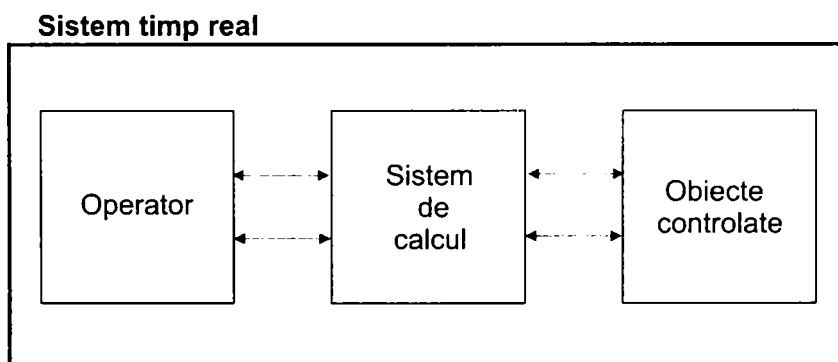


Figura 1: Structura generală a unui sistem timp real

După cum se poate observa, o caracteristică foarte importantă a unui sistem timp real o reprezintă faptul că acesta interacționează cu o mare varietate de obiecte externe calculatorului pe care le controlează. Interfața cu obiectele externe constă în principal din actuatori și senzori care transformă semnalele fizice (tensiuni, curenți, debite, temperaturi, etc.) într-o formă digitală pentru a putea fi interpretate de calculator; interfața om-mașină constă în principal din dispozitive pentru introducere/extragere de date (tastatură respectiv monitor).

Practic, cele mai stringente cerințe temporale a sistemelor de timp real își au de fapt originea în cerințele buclelor de reglare a mărimilor și/sau obiectelor controlate.

O altă caracteristică importantă a sistemelor timp real o reprezintă faptul că acestea trebuie să fie ușor de întreținut și actualizat: trebuie să existe posibilitatea de reconfigurare ulterioară a acestuia astfel încât schimbările efectuate să cauzeze cât mai puține perturbări în sistem. Aceasta deoarece majoritatea sistemelor timp real sunt destinate să opereze continuu ani de zile, și deci în procesul de proiectare al acestora nu trebuie să se presupună că acestea operează într-un mediu static.

O categorie aparte de sisteme timp real o reprezintă **sistemele utilizate pentru conducerea și controlul proceselor industriale**, acestea constând în principal dintr-un proces fizic și un sistem de control format la rîndul său atît dintr-o componentă hardware cît și dintr-o componentă software. În cele mai multe cazuri, sistemele de control timp real sunt sisteme încorporate: adică calculatorul este doar un element funcțional din cadrul sistemului în ansamblul său. Astfel, o caracteristică comună a sistemelor înglobate este aceea că, calculatoarele sunt conectate la mediul în care lucrează printr-o mare varietate de dispozitive de interfațare și recepționează și transmit o mare varietate de stimuli [Ben94].

De exemplu, intrările și ieșirile unui sistem (I/O) precum și task-urile privind comunicarea au o caracteristică comună: sunt conectate prin intermediul unor dispozitive către procese care sunt exterioare calculatorului. Aceste procese operează în propria lor scară de timp, iar despre calculator se spune că operează în timp real dacă acestea se aliniază cu viteza de desfășurare a proceselor.

Cu cît astfel de sisteme sunt mai complexe, cu atît mai mult specificarea, proiectarea și implementarea acestora devine mai dificilă. În prezent, complexitatea aplicațiilor de acest gen este într-o continuă creștere datorită a numeroși factori, printre care:

- creșterea complexității sistemelor și proceselor controlate
- creșterea cerințelor de de siguranță și fiabilitate
- necesitatea utilizării de sisteme distribuite, cu tot ceea ce implică acestea din punctul de vedere al comunicării între diferitele tipuri de subsisteme, etc.

Datorită acestui fapt, noi modele și metode sunt necesare a fi utilizate în cadrul ciclului de viață a unor astfel de aplicații. Astfel, modelele dezvoltate în acest scop pot fi **descriptive** (informale sau semi-formale) sau **prescriptive** (formale):

- **modelele descriptive** pot fi informale sau semiformale, în cadrul lor se utilizează notații grafice sau textuale; o caracteristică generală a acestora este aceea că ele sunt simple însă suficient de exacte pentru a conține toate informațiile legate de sistemul care urmează a fi proiectat
- **modelele prescriptive** diferă de cele descriptive prezentate prin aceea că sunt formale; din această cauză, verificarea și validarea acestora este posibilă și, de asemenea, transpunerea acestora într-un limbaj de programare poate fi realizată fără ambiguități, în anumite cazuri chiar automatizată.

În consecință, pentru dezvoltarea unor astfel de sisteme complexe, este necesară utilizarea combinată atât a tehnicilor din cadrul domeniului de **ingineria controlului automat ICA** cât și din cadrul **ingineriei programării IP**.

1.3. Ciclul de viață al software-ului și sistemele de control timp real

Proiectarea și implementarea sistemelor timp real urmează aceiași pași cunoscuți de la ingineria programării privind ciclul de viață al software-ului, ca și orice alt tip de sistem software. Totuși, având în vedere caracteristicile particulare ale acestor sisteme, sunt necesare unele precizări referitoare la aspectele specifice acestora.

1.3.1. Modele din domeniul ingineriei controlului automat (ICA)

Clasificările modelelor utilizate în domeniul controlului automat sunt în principal bazate pe natura sistemului modelat, de exemplu, sisteme liniare versus sisteme ne-liniare. Acest lucru se datorează faptului că majoritatea metodelor utilizate pentru analiza și proiectarea sistemelor liniare nu pot fi aplicate în cazul sistemelor non-liniare și vice-versa. Un alt exemplu de clasificare în contextul modelelor utilizate pentru sistemele de control se referă la modele continue versus modele discrete [Per91].

Clasificarea modelelor poate porni însă și de la modul în care a fost construit modelul însuși: atunci când este posibilă derivarea acestuia pe baza unor legi fizice cunoscute se obține un model de tipul **white box**. Alternativa o constituie un model derivat pe baza unor date măsurate, așa numitul model **black box** [FB95].

Indiferent însă de clasificarea utilizată, caracteristica comună a modelelor din cadrul domeniului **ICA** este aceea că ele sunt modele matematice. Acest lucru

este firesc, avînd vedere faptul că acestea sunt utilizate pentru proiectarea algoritmilor de control. Astfel, dezvoltarea unui sistem de control automat poate fi descrisă de următoarele faze [Boa93], prezentate în cadrul Figurii 2.

- **analiza și modelarea procesului** - obiectivul acestei faze este acela de a modela procesul de controlat; de asemenea, de a identifica principalii parametri ai acestuia precum și a ipotezelor care ar putea conduce la o simplificare a modelului generat. Validarea acestui model se face de regulă utilizînd simularea
- **analiza și proiectarea controlului** – în cadrul acestei faze este formulată problema de control și sunt proiectați algoritmi de control în consecință. Validarea strategiei de control adoptate în cadrul acestei faze este realizată de asemenea prin simulare în dar în strînsă legătură cu modelul procesului de controlat, care a fost realizat în cadrul fazei anterioare
- **faza de implementare** – în cadrul acestei faze este realizată implementarea propriu-zisă a algoritmilor de control și testarea acestora

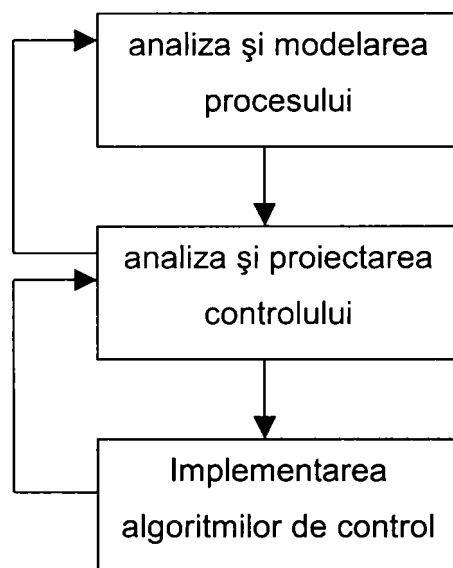


Figura 2: Fazele de dezvoltare al unui sistem de control automat

Se observă că procesul de dezvoltare nu este strict secvențial, existînd un **feed-back** între faza de modelare a procesului și cea de proiectare a controlului. De asemenea, se observă că implementarea și testarea propriu-zisă a codului este realizată într-o singură fază, fapt care este relativ dificil de realizat în cazul sistemelor complexe. Acest lucru ridică problema posibilității utilizării uneltelor și tehnicilor din cadrul ingineriei programării **IP** în cadrul acestei faze de dezvoltare a sistemelor de control automat.

1.3.2. Modele din domeniul ingineriei programării (IP)

În general, de la începutul său și pînă la furnizarea către client, un sistem software se află într-o continuă dezvoltare și modificare. Aceasta se numește ciclul de viață al software-ului și, după cum este bine cunoscut din cadrul ingineriei programării **IP**, se compune din mai multe faze, fiecare din aceste faze rezultînd în dezvoltarea fie a unei părți a sistemului, fie a ceva asociat acestuia (cum ar fi de exemplu o documentație) [Pfl91][GJM91].

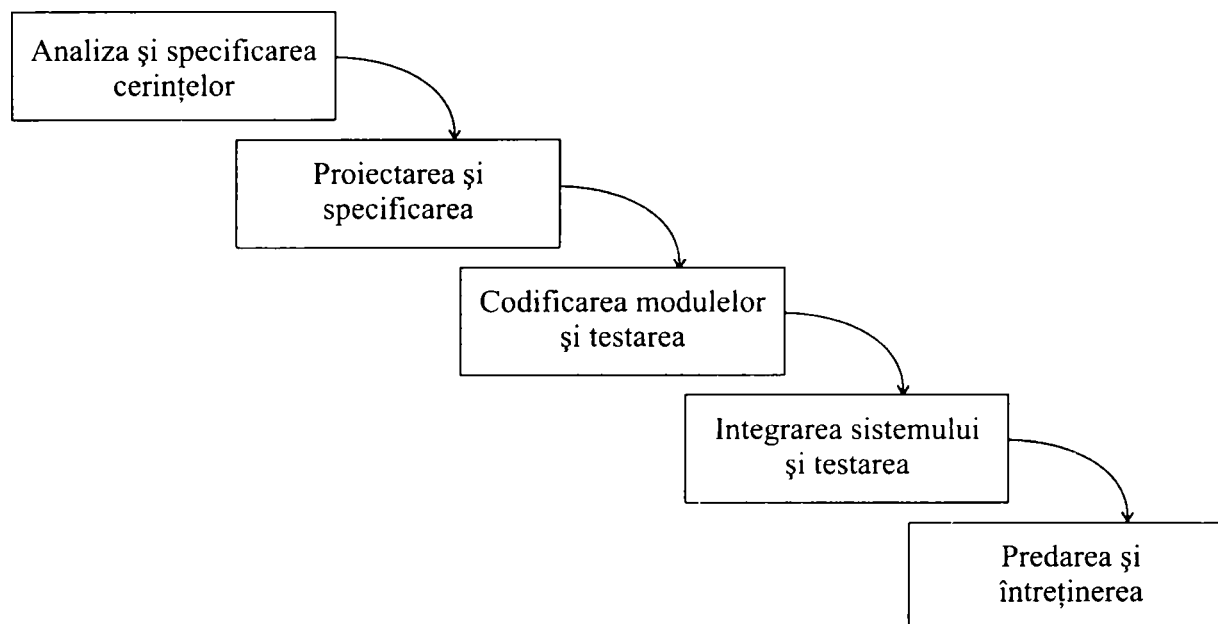


Figura 3: Modelul *cascadă* al ciclului de viață al software-ului

În cadrul modelului teoretic tradițional, așa numitul **model cascadă** (Figura 3), fiecare fază are bine delimitate punctele de început și sfârșit, iar interfețele cu fazele ulterioare sunt clar definite [GJM91]. Modelul general cascadă include următoarele etape:

- **studiul de fezabilitate, specificarea și analiza cerințelor** - obiectivul acestei faze este acela de a specifica funcțiile care sunt cerute sistemului de dezvoltat. Interfețele cu caracter general cît și cerințe de performanță sunt specificate în detaliu. Rezultatul acestei faze trebuie validat, din punctul de vedere al satisfacerii cerințelor
- **proiectarea și specificarea sistemului**, care include atît **proiectarea arhitecturală** (sau de ansamblu) cît și **proiectarea detaliată**; în cadrul acestei faze se definește arhitectura hardware și software a sistemului. În partea finală a acestei faze proiectarea detaliată va cuprinde specificarea completă a structurilor de date și control, a parametrilor de intrare/ieșire și a algoritmilor utilizați

- **codificarea modulelor și testarea** - fiecare modul este codificat și testat separat
- **integrarea sistemului și testarea** - în cadrul acestei faze modulele sunt integrate în sistem și se verifică sistemul apoi în ansamblul său
- **predarea sistemului și întreținerea**

Acest model teoretic, foarte simplu, nu poate fi însă aplicat în practică sub această formă, mai ales pentru sisteme timp real, din diferite motive. De exemplu, dacă testele descoperă erori majore în sistem și care nu pot fi corectate pe loc, trebuie revenit fie în faza de codificare, fie, în funcție de profunzimea erorilor, chiar în faza de proiectare. De asemenea, dacă în faza de proiectare sunt descoperite inconsistențe sau ambiguități, trebuie revenit chiar în faza de specificare a cerințelor. Deci, în general, o eroare dintr-o anumită fază necesită o revenire cel puțin într-o fază anterioară, dacă nu mai mult.

O altă simplificare a modelului este aceea că, se presupune că o anumită fază este terminată în momentul în care se trece la următoarea, lucru care în practică, datorită ne-disponibilității totale a unor date, nu este întotdeauna posibil. Astfel, pentru a permite revenirea într-o fază anterioară într-o manieră disciplinată, modelul a fost completat cu bucle de feed-back către fazele precedente, în scopul de a minimiza pe cât posibil necesarul de muncă atunci când este cazul să se revină (Figura 4), rezultând așa numitul model **cascadă cu revenire** [GJM91]:

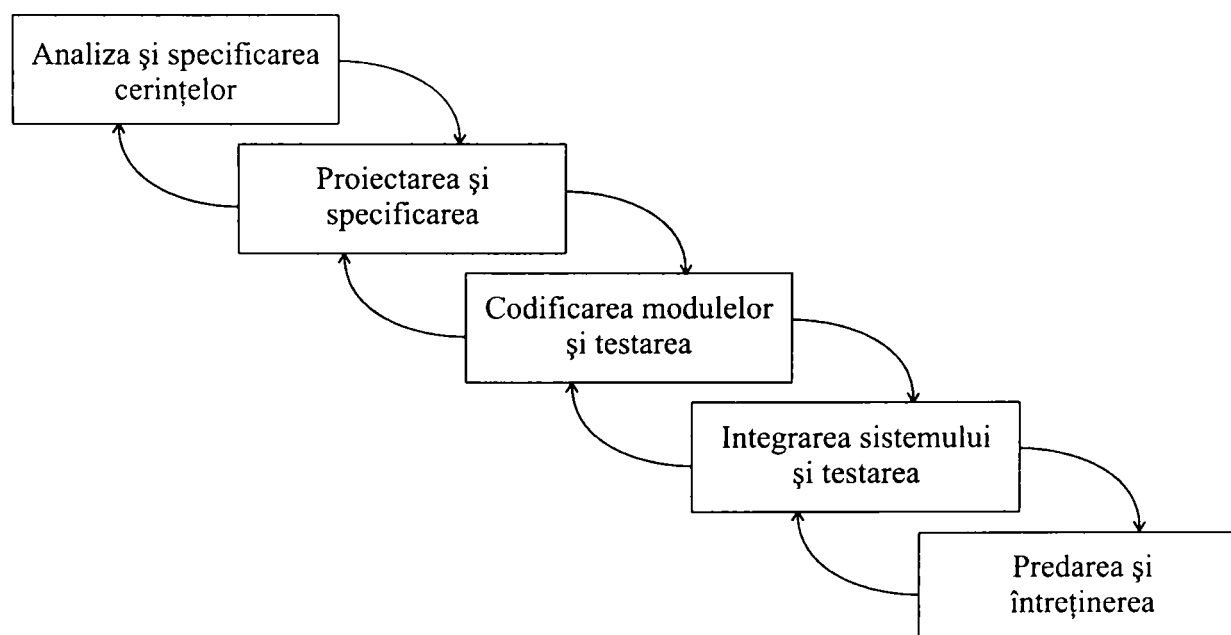


Figura 4: Modelul “cascadă” cu revenire

Definirea unor modele, ca cele de mai sus, cu scopul de a organiza în mod eficient construcția sistemelor software este deosebit de utilă, și se bazează pe ideea că produsele software, asemenea celor industriale, au un ciclu de viață care se întinde de la concepția inițială și pînă la retragerea sa, și că acest ciclu de viață trebuie anticipat și controlat în vederea obținerii calității dorite. Totuși, avînd în vedere specificul produselor software, două caracteristici importante le disting pe acestea de alte tipuri de produse:

- producția software este prin excelență o activitate intelectuală, și deci, nu este ușor automatizabilă
- software-ul se caracterizează printr-o mai mare instabilitate: cerințele se schimbă constant și ca o consecință, produsul trebuie să poată evolua ușor

În concluzie, modelele tip **cascadă**, în toate variantele acestora, au meritul de a introduce mai multă disciplină în procesul de dezvoltare software, dar această disciplină este însoțită de oarecare rigiditate. Această rigiditate poate crea probleme, mai ales în cazul în care software-ul este dezvoltat pe baza unor cerințe puțin sau greșit înțelese, cum adesea se întîmplă. De asemenea, mai ales în cazul sistemelor în timp real, software-ul trebuie să evolueze continuu, funcție de schimbările intervenite în sistemul de care face parte, constituind astfel o entitate dinamică. Constrîngerea de a dezvolta un astfel de software într-o manieră rigidă, monolitică, așa cum impune modelul cascadă, este nenaturală și neproductivă: evoluția în acest caz nu poate fi separată de dezvoltare ci trebuie privită ca parte componentă a acesteia.

Aceste deficiențe ale modelului cascadă au condus la existența unor alte tipuri de modele, mai mult sau mai puțin aplicabile în prezent în practică. Cel mai des utilizat la ora actuală, modelul **evolutiv**, se bazează pe ideea unei strategii incrementale: conform acestui model, prima versiune a produsului este văzută ca o încercare a cărui scop principal este acela de a confirma fezabilitatea produsului și de a verifica cerințele. Apoi această versiune se ignoră, și procesul de dezvoltare se reia de la început, de data aceasta avînd un fundament mult mai solid, bazat pe rezultatele implementării inițiale.

Strategia de dezvoltare utilizînd modelul evolutiv, poate fi descrisă prin următorii pași:

- se furnizează o primă versiune utilizatorului
- se evaluează în toate dimensiunile versiunea dată
- se modifică versiunea inițială, atît ca proiectare cît și ca implementare funcție de feed-back-ul obținut, rezultînd versiunea finală

Practic, prima versiune este un așa numit **prototip** al aplicației, care este utilizat doar temporar, pînă produce suficient feed-back pentru versiunea ulterioară. A doua versiune este apoi dezvoltată utilizînd de această dată modelul cascadă. Principala problemă pe care modelul evolutiv nu o rezolvă o reprezintă anticiparea schimbării.

Un alt model, modelul **transformare**, rezolvă această problemă, însă în acest moment acesta nu reprezintă o paradigmă aplicabilă practic în producția de software deoarece nu există decît medii experimentale pentru suportul acesteia. Cercetările în acest sens relevă că modelul transformare își are rădăcinile în domeniul specificațiilor formale: ideea este că procesul de dezvoltare software poate fi văzut ca o secvență de pași care transformă într-o manieră incrementală specificațiile în implementare:

- cerințele informale sunt analizate și funcțiile sunt specificate într-un mod formal, într-o manieră incrementală
- descrierea formală devine executabilă pe un procesor abstract

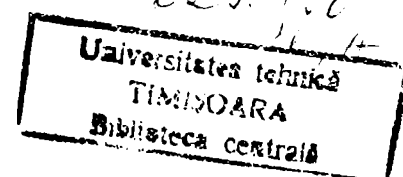
Descrierea formală poate fi văzută ca un prototip al sistemului: orice transformări ulterioare pot fi realizate prin transformarea începînd cu punctul corespunzător din specificații.

Avantajele utilizării modelelor bazate pe metode formale sunt evidente [Hal90]. În primul rînd, utilizarea unui model formal conduce la o mare precizie și concizie în notare. De asemenea, utilizînd o notație formală, aceasta va putea fi analizată și verificată utilizînd operatori matematici, deci proprietăți ca de exemplu corectitudinea sintactică și consistența internă pot fi foarte bine testate și dovedite matematic. Si, nu în ultimul rînd, transformarea într-un limbaj de programare utilizat pentru implementare este foarte simplă, uneori poate fi chiar automatizată, nelăsînd loc la neclarități și ambiguități.

Dezvoltarea actuală a tehnicilor de analiză formală nu permite încă utilizarea în practică pe scară largă a acestora; în principal, pentru a putea fi aplicabile astfel de tehnici trebuie să rezolve cîteva probleme legate de [HM96]:

- scalabilitate
- simplitate
- furnizarea de unelte corespunzătoare

În plus, față de problemele enumerate mai sus, pentru sistemele timp real, mai trebuie rezolvată și problema introducerii noțiunii de timp în cadrul tehnicilor formale utilizate. Incercări în acest sens există în prezent în două direcții: extinderea metodelor existente și cunoscute cu facilități de specificare a constrîngerilor de tip și respectiv dezvoltarea de noi metode formale specifice pentru aplicațiile de timp real și care să includă de asemenea astfel de facilități.



Dezvoltarea continuă a tehnicilor formale și a uneltelor aferente dedicate sistemelor în timp real din ultimii ani face ca utilizarea unor astfel de tehnici să devină o cerință importantă pentru sistemele critice în viitorul apropiat. Practic, modelul transformare va fi aplicabil în sistemele actuale numai în momentul în care se va trece de la stadiul de cercetare la nivel de laborator, pentru aplicații de dimensiuni reduse, la extinderea pentru aplicații complexe, cum sunt cele care apar în practică. Problema este însă că, pentru acestea, descrierea formală se complică foarte mult.

1.3.3. Aplicabilitatea modelelor din domeniul ICA și IP pentru sistemele de control timp real

Pentru sistemele de control timp real trebuie menționat că, deși ingineria programării a realizat mari progrese în ultimii ani, existând tehnici standard utilizate în diferite faze ale dezvoltării, totuși la ora actuală nu s-au conturat încă metode general-acceptate specifice pentru acest domeniu. În practică, de cele mai multe ori, proiectantul realizează un compromis, bazându-se pe experiența și judecata proprie, utilizând însă, în combinație, și uneltele pe care are la dispoziție în diferite faze (analiză formală, simulatoare, etc.). Dezvoltarea software-ului pentru controlul timp real al proceselor este de cele mai multe ori înglobată în cadrul dezvoltării globale a întregului sistem, și care include și procesul de controlat.

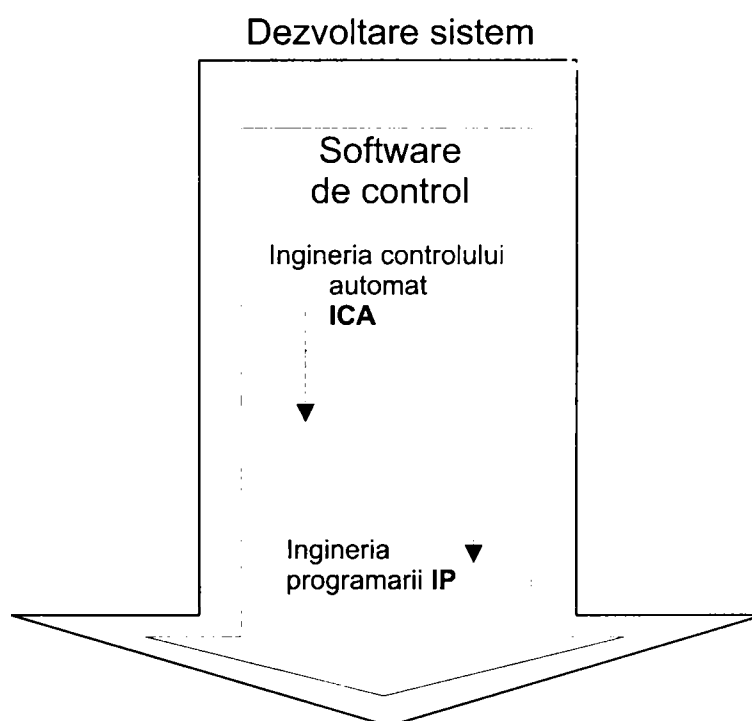


Figura 5: Dezvoltarea software-ului de control înglobată în dezvoltarea sistemului în ansamblul său

Astfel, din punct de vedere al modelului utilizat pentru astfel de sisteme de control timp real, este necesară utilizarea unei combinații între modelele cunoscute de la ingineria programării **IP** și modelele utilizate în ingineria controlului automat **ICA**. Ilustrarea acestui concept este ilustrat în Figura 5.

În general dezvoltarea integrată a software-ului de control timp real poate fi realizată în trei moduri: secvențial, concurrent și interactiv, conform Figurii 6. În cadrul acesteia, fiecare săgeată ilustrează activitățile legate de unul dintre cele două domenii implicate: ingineria programării **IP** și respectiv ingineria controlului automat **ICA**. În esență, toate cele trei moduri arată de fapt transformarea unor cerințe din cadrul domeniului **ICA** într-o implementare software specifică domeniului **IP**:

- **schema de dezvoltare secvențială** - este caracterizată prin utilizarea succesivă a modelelor din cadrul **ICA** și apoi a unor modele din cadrul **IP**. Evident, acest lucru este posibil numai dacă transformarea acestor modele dintr-unul într-altul este relativ simplă
- **schema de dezvoltare concurrentă** - se caracterizează prin utilizarea unui model unic, ca fiind o combinație a modelelor din **IP** și **ICA**. Un avantaj al acestei soluții îl reprezintă faptul că dezvoltarea este complet integrată și că, teoretic, este posibil să se determine consecințele deciziilor de proiectare din cadrul domeniului de control automat asupra implementării software-ului propriu-zis și vice-versa
- o extindere a schemei concurente cu posibilitatea de revenire este prezentată în **schema de dezvoltare iterativă**. Necesitatea feed-back-ului în procesul de dezvoltare este impusă de practică, pentru a exista posibilitatea detectării specificațiilor incorecte sau incomplete (modelul **cascadă cu revenire**).

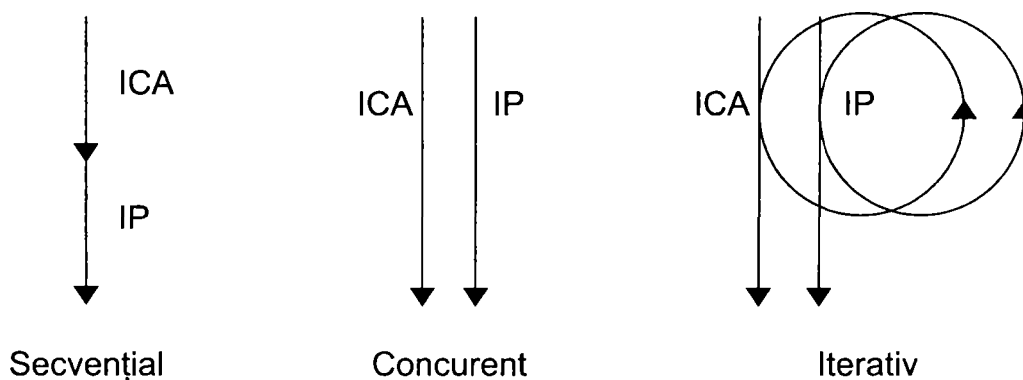


Figura 6: Trei scheme de dezvoltare

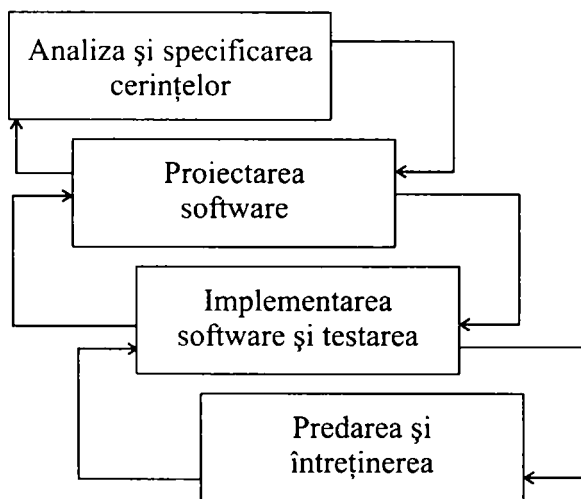
1.3.4. Un model de dezvoltare a aplicațiilor de control timp real

Bazat pe aceste considerente, se propune modelul din Figura 7b pentru dezvoltarea sistemelor de control în timp real. Se poate observa din cadrul acestuia că, față de sistemele informatice obișnuite (Figura 7a), modelul de dezvoltare pentru aplicațiile de control timp real prezintă câteva aspecte și faze specifice și care rezultă din combinarea modelelor utilizate în domeniul **ICA** și **IP**. Practic, în cazul unor astfel de sisteme, dezvoltarea acestora începe cu crearea unui model descriptiv, simplu, al procesului de controlat; acesta trebuie însă să fie suficient de exact pentru a capta toate caracteristicile de bază ale sistemului și care sunt necesare pentru elaborarea ulterioară a strategiei de control dorite. Modelul este extins ulterior cu strategia de control adoptată, rezultând un model de data aceasta prescriptiv al sistemului și care va fi ulterior implementat software.

1.3.4.1. Analiza și specificarea cerințelor

Etapa de analiză și specificare (Figura 7b), se ocupă de interpretarea cerințelor utilizatorului în scopul de a produce specificațiile detaliate ale sistemului; aceasta include, așa cum a fost deja precizat anterior, și procesul fizic de controlat, precum și o evaluare a resurselor (în termeni de număr de oameni, timp, echipament, costuri) necesare.

Sisteme informaționale (a)



Sisteme de control în timp real (b)

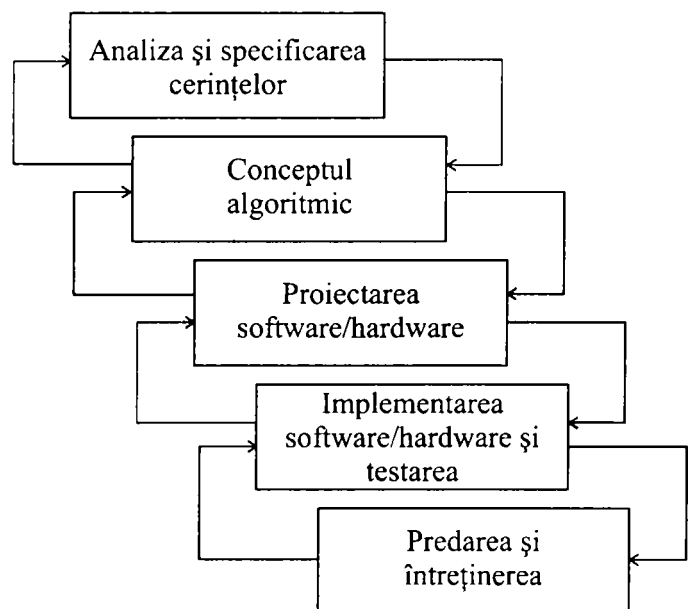


Figura 7: Diferența dintre ciclul de viață al sistemelor informaționale (a) și cele de control timp real (b)

În această fază se poate face și o apreciere generală asupra structurii de calculatoare dorită: un calculator central, un sistem ierarhic sau un sistem distribuit. Tehnicile generale cunoscute ale **IP** pot fi folosite în cadrul acestei etape în combinație cu tehnicile **ICA** pentru modelarea procesului propriu-zis. Rezultatul acesteia o reprezintă elaborarea unui **model descriptiv P_d** al procesului controlat.

1.3.4.2. Conceptul (controlul) algoritmic

Un prim aspect diferit în cazul sistemelor de control timp real față de cele informaționale îl reprezintă necesitatea introducerii, între faza de specificare și cea de proiectare, a unei faze suplimentare, așa numitul **concept algoritmic** care include strategia de monitorizare și control adoptată pentru procesul fizic controlat descris în cadrul etapei anterioare. Această fază poate fi considerată și ca o etapă distinctă a fazei de specificare dar este obligatoriu să fie realizată înaintea începerii proiectării (software și hardware).

Cu precădere în cadrul acestei etape se vor folosi tehnicile și modelele din cadrul domeniului **ICA**, care diferă funcție de natura sistemului modelat: de exemplu sisteme liniare versus sisteme non-liniare. Rezultatul acestei etape îl reprezintă definirea unui **model descriptiv C_d** pentru strategia de control adoptată. Practic, la o primă trecere, cele două faze inițiale se vor concretiza într-un document care conține specificațiile descriptive ale sistemului în ansamblul său, $M_d = P_d + C_d$. Așa cum a fost precizat mai sus, în mod special pentru sistemele de control în timp real acest document va conține și informații legate de conceptul algoritmic utilizat.

Specificațiile informale din cadrul modelului descriptiv M_d vor fi formalizate ulterior, pe măsură ce se revine pe baza feed-back-ului. Astfel, rezultă pe rînd modelul prescriptiv al procesului de controlat P_p , și apoi modelul prescriptiv al strategiei de control adoptate C_p . În final, prin combinarea acestora va rezulta **modelul prescriptiv al sistemului**, $M_p = P_p + C_p$.

Se observă utilizarea în cadrul ciclului de viață descris anterior a schemei de dezvoltare iterativă (utilizarea feed-back-ului). Validarea modelului M_d este posibilă deoarece maparea lui M_d pe M_p trebuie să fie combinată cu validarea lui M_p pe M_d pentru a putea realiza feed-back-ul. Verificarea modelului M_p se realizează în domeniul **IP**, în general utilizînd simularea. Se va reveni mai detaliat asupra acestor modele în prezentarea generală a metodologiei de dezvoltare propuse în cadrul capitolului 5.

1.3.4.3. Proiectarea software/hardware

Pe baza modelelor elaborate mai sus, etapa de proiectare se concretizează în definitivarea structurilor globale de date precum și a arhitecturii software respectiv hardware utilizate. Astfel, din punct de vedere hardware, se vor analiza posibilitățile existente, dintre care, în cazul sistemelor de control în timp real cele mai utilizate sunt următoarele variante [SMY00]:

- un calculator general, central, cu mai multe plăci de achiziție multicanal pentru intrări/ieșiri analogice respectiv digitale
- câte un calculator de tip general pentru fiecare subunitate funcțională a sistemului
- microcontroller-e separate pentru fiecare subunitate, legate la un calculator general
- un controller programabil cu multiple plăci de I/O legat la un calculator central

Din punct de vedere software, se vor examina specificațiile și se va decide asupra funcțiilor care trebuie realizate. În general, pentru sistemele timp real acestea se încadrează în următoarele categorii:

- prelucrarea intrărilor
- controlul diferitelor mărimi (de exemplu temperaturi, presiuni, debite, etc.)
- actualizarea ieșirilor
- stocarea informațiilor necesare pentru urmărirea evoluției în timp a procesului
- afișare către operator
- oprirea și repornirea în condiții de siguranță a sistemului
- alte funcții, dependente de tipul sistemului

Fiecare dintre aceste funcții au propriile constrângeri de timp (hard, soft sau fără). De exemplu, modulele pentru controlul al diferitelor mărimi, au o constrângere de timp în sensul că trebuie să se execute la fiecare T_r unități de timp; în practică, această valoare poate fi relaxată la o valoare de $T_r \pm e_r$ unități de timp. În mod similar se poate proceda cu perioada de achiziție, care poate fi exprimată sub forma $T_a \pm e_a$. Cerințele pot fi relaxate și mai mult, de exemplu permițând ca un set de date la o sută de achiziții să se piardă. Toate aceste constrângeri vor face parte din specificare și se va ține cont de ele în cadrul procesului de testare.

Tot în cadrul etapei de proiectare trebuie aleasă și modalitatea în care va fi implementat efectiv software-ul; în acest sens există trei posibilități de abordare [Ben94]:

- **proiectarea utilizând un singur program** - în cadrul acestei abordări, modulele sunt tratate ca subrutine ale unui program principal. Acest tip de structură este ușor de programat, dar impune constrângeri severe asupra timpilor: toate modulele trebuie să se execute într-un timp mai mic decât o perioadă de timp dată. Utilizarea unui singur program se pretează la sisteme nu foarte complexe și aceasta conduce la o proiectare simplă, utilizează minimum de software și hardware și este relativ ușor de testat. Dacă dimensiunea sistemului crește, există o tendință în faza de proiectare detaliată de a împărți modulele nu după funcționalitate ci de așa manieră încât să le permită acestora să se termine în perioada de timp specificată.
- **proiectarea foreground/background** - are anumite avantaje certe față de cea utilizând un singur program, prin aceea că, dacă modulele cu constrângeri de timp hard sunt separate de restul, interacțiunile dintre module sunt mai puține, constrângerile de timp devin mai relaxate. Modulele cu constrângeri hard rulează în foreground, avînd o prioritate mai mare și putînd întrerupe modulele din background. Partiționarea foreground/background necesită suportul unui sistem de operare în timp real. Este posibil, totuși, de a adapta și sisteme de operare standard, ca de exemplu MS-DOS, pentru a furniza operații foreground/background dacă hardware-ul permite lucrul cu întreruperi. Modulele din foreground sunt astfel scrise ca rutine de întrerupere și cele din background ca programe standard. Chiar dacă în această abordare constrângerile de timp au fost relaxate prin această împărțire, măsurătorile care trebuie realizate pentru a determina performanța sistemului sunt mult mai complicate decât în cazul unui singur program și deci testarea devine mult mai dificilă.
- **proiectarea multi-tasking** - proiectarea și implementarea sistemelor complexe de timp real este mult facilitată dacă partiționarea foreground/background poate fi extinsă în partiții multiple care să permită conceptul de mai multe task-uri active. Fiecare activitate este considerată, în faza de proiectare preliminară, ca fiind un task separat. Implicațiile acestei abordări este acela că fiecare task poate să se execute în paralel, fiind necesare facilități pentru: crearea de task-uri separate, planificare (de obicei utilizînd un sistem bazat pe priorități), sincronizarea task-urilor și utilizarea în comun a datelor [Gol93]. Aceste facilități sunt, în mod normal furnizate de un sistem de operare în timp real, sau de

o combinație dintre un sistem de operare în timp real și un limbaj de programare în timp real. Din punct de vedere al verificării sistemului, după cum a fost precizat anterior, numai modelului single-task, fără întreruperi, poate să-i fie dovedită corectitudinea din punct de vedere formal; odată ce întreruperile sunt permise (ca și în cazul multi-tasking), sistemul devine nedeterministic și corectitudinea sa nu poate fi dovedită formal.

În finalul fazei de proiectare legăturile între hardware și software trebuie stabilite: pentru cazul sistemelor în timp real este posibil să fie necesară revizuirea deciziilor anterioare referitoare la tipul de structură de calculatoare folosită, sau, în cazul unui sistem în timp real distribuit, trebuie decis asupra numărului și tipului de procesoare, a sistemelor de comunicație, etc. Strategia de control ar putea de asemenea necesita să fie revizuită funcție de algoritmi de control care urmează să fie utilizați (întoarcere în modelul cascada).

1.3.4.4. Implementarea software/hardware

Etapa de implementare se ocupă cu realizarea efectivă atât a structurii hardware cât și software, precum și cu testarea acestora.

Din punct de vedere hardware, proiectarea detaliată se ocupă cu rezolvarea problemelor privind următoarele puncte:

- alegerea efectivă a tipului de calculator (sau calculatoare) necesare
- dacă se vor utiliza plăci separate pentru intrările analogice respectiv digitale sau toate intrările vor fi concentrate pe o singură placă (aici se va lua în considerare, funcție de tipul de calculator ales, ce echipamente pentru I/O sunt compatibile și pot fi folosite); același lucru referitor la ieșirile analogice și digitale; funcție de numărul acestora, care este numărul de plăci de I/O necesare?
- pentru sistemele distribuite, ce tip de structură de magistrală trebuie utilizată?
- funcție de senzorii și actuatorii utilizați, este sau nu necesară utilizarea unor echipamente de interfațare cu plăcile de I/O?

Din punct de vedere software, etapa de implementare se ocupă de descompunerea în module respectiv proiectarea și implementarea internă a modulelor. Descompunerea se bazează în principal pe identificarea activităților înrudite și pe utilizarea metodologiilor general acceptate după care această descompunere poate fi realizată:

- ***descompunere funcțională*** - fiecare modul realizează o funcție specifică

- **ascunderea informației** - cât mai multă informație utilizată de modul să fie ascunsă în cadrul acestuia [GJM91]; practic interfața cu exteriorul să fie redusă la minimum
- **object-oriented** - împărțirea sistemului în entități care conțin atât date cât și funcții care operează asupra datelor; este o completare a conceptului de ascundere a informației prezentat mai sus.

În plus, pentru sistemele timp real, sunt necesare criterii suplimentare care trebuiesc luate în considerare la împărțirea sistemului în module, funcție de tipurile de constrângeri de timp existente: module cu constrângeri de timp hard, module cu constrângeri de timp soft, module interactive [KS97] [Kop97]. Ideea este să se minimizeze pe cât posibil cantitatea de software care intră în categoria constrângerilor de timp hard, întrucât acest tip de module sunt cele mai dificil de implementat și testat.

Importanța separării activităților în sistemele în timp real, în task-uri de timp real și task-uri care nu sunt de timp real, precum și împărțirea ulterioară a task-urilor de timp real în cele două tipuri (hard și soft), rezultă din diferitele niveluri de dificultate care apar în proiectarea și implementarea acestor tipuri diferite de părți de program. Studiile experimentale arată că, în mod deosebit programele care implică timp real precum și diverse operații de interfațare sunt mult mai dificil de construit decât programele standard de procesare a datelor.

1.3.4.5. Testarea

Un ultim aspect în cadrul procesului de implementare îl constituie testarea. **Testarea dinamică** este metoda convențională pentru verificarea aplicațiilor în timp real. Spre deosebire de sistemele informaționale, în cazul sistemelor de timp real este necesară realizarea testării dinamice a aplicației realizate, în cadrul tuturor etapelor de dezvoltare [Lau93], conform modelului prezentat în Figura 8.

Simularea reprezintă o unealtă fundamentală în cadrul procesului de dezvoltare a sistemelor de control timp real: validarea strategiei de control adoptate este realizată întotdeauna utilizând simularea, existând o mulțime de medii utilizate în acest scop, cel mai cunoscut și general utilizat la ora actuală fiind Matlab/Simulink. De asemenea, simularea poate fi utilă și pentru realizarea unei mai profunde cunoașteri a dinamicii sistemului și în consecință la o evaluare generală a caracteristicilor de tip real a sistemului în cauză.

După cum se poate observa din Figura 8, numai în ultimul pas (4) testarea se face în condiții reale, aplicația realizată fiind legată de sistemul fizic real, în rest se utilizează un model simulat al sistemului. Strategia de testare trebuie foarte bine definită, astfel încât ea să includă testarea atât la condiții de funcționare normală cât și anormală a sistemului controlat pentru toate fazele de

dezvoltare, de la specificare pînă la implementarea propriu-zisă. Un aspect foarte important îl reprezintă, în procesul de testare, alegerea corespunzătoare a scenariilor de test, astfel încît acestea să acopere toate situațiile posibile.

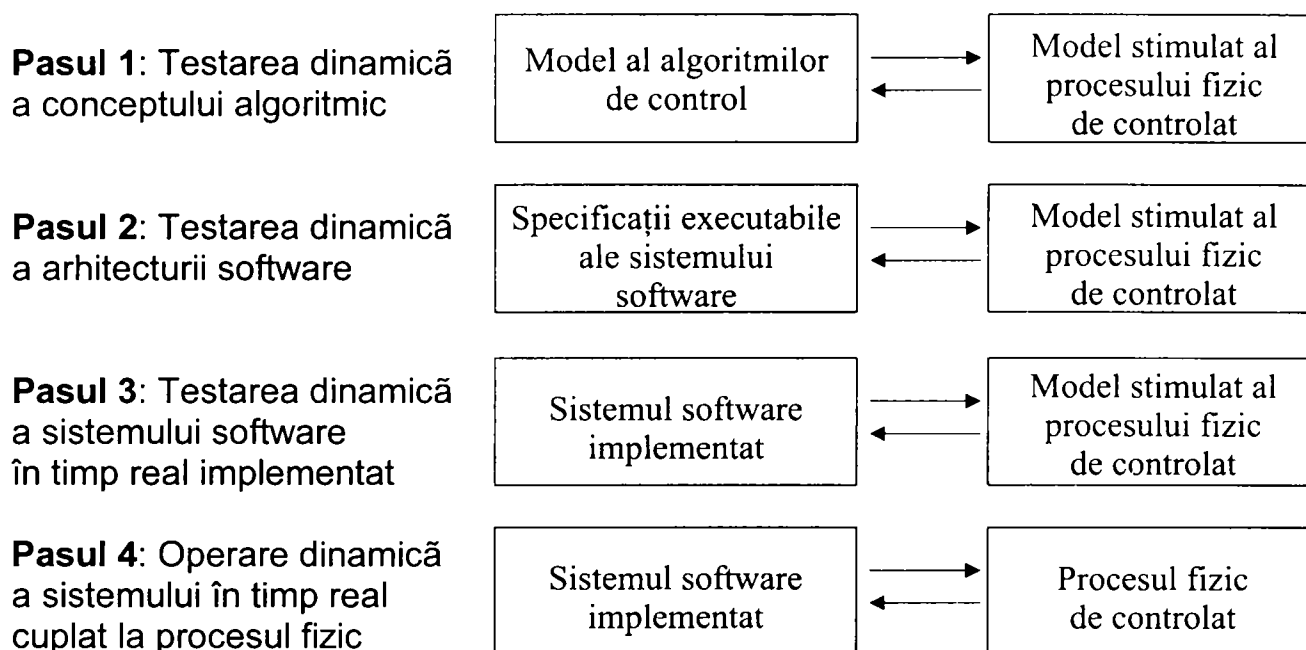


Figura 8 : Secvența de testare dinamică din patru pași

Pentru sistemele timp real complexe acest obiectiv este însă aproape imposibil de realizat, astfel încît se preferă utilizarea metodelor formale de verificare [LH95]. Acestea reprezintă cea mai riguroasă tehnică de analiză și verificare a programelor, însă este foarte laborioasă în cazul aplicării pentru sistemele complexe; astfel de analize sunt însă justificate pentru sistemele în timp real critice, în cadrul cărora testarea dinamică nu poate demonstra că aplicația funcționează corect în toate circumstanțele. Totuși, analiza formală nu reprezintă un substitut pentru testarea dinamică: de exemplu erorile hardware sau de compilare pot fi ușor depistate prin intermediul acesteia.

1.4. Structura tezei

Teza este structurată pe șapte capitole care formează trei părți distincte.

În prima parte (capitolele 1-5) s-a urmărit prezentarea detaliată a **contribuțiilor teoretice** care stau la baza lucrării. În cea de-a doua parte (capitolul 6) s-a ilustrat, prin intermediul unui studiu de caz, o modalitate de aplicare în practică a noțiunilor teoretice prezentate în capitolele anterioare, această parte constituind **contribuția practică** a tezei. În final, în cea de-a treia parte (capitolul 7) au fost sintetizate principalele **concluzii**, accentuate contribuțiile originale și trasate principalele direcții ulterioare de dezvoltare.

Astfel, primul capitol începe cu prezentarea caracteristicilor de bază ale sistemelor timp real, împreună cu o sumară clasificare a acestora. Modelele existente din cadrul ingineriei controlului automat **ICA** și a ingineriei programării **IP** referitoare la ciclul de viață al software-ului sunt analizate din perspectiva aplicabilității acestora pentru sistemele timp real. Având în vedere caracterul interdisciplinar al acestor sisteme, s-a demonstrat că este necesară utilizarea combinată atât a modelelor din domeniul **ICA**, cât și a celor din domeniul **IP**. Pe această bază, a fost conceput și prezentat un model general al ciclului de viață al sistemelor timp real.

Capitolul al doilea prezintă principalele tipuri de modele care pot fi utilizate în dezvoltarea aplicațiilor timp real; chiar dacă fiecare dintre acestea reprezintă diferite abstracții ale realității, având grade diferite de formalism, este subliniată ideea că aceleași concepte sunt necesare în construirea modelului, indiferent de tipul acestuia. Dintre acestea, un rol deosebit în cadrul aplicațiilor timp real îl au proprietățile temporale, care trebuiesc în mod obligatoriu captate în model.

În plus, capitolul al doilea rafinează din ce în ce mai mult clasificarea sistemelor timp real din cadrul primului capitol, prezentând o comparație între sistemele **time-triggered TT** și cele **event-triggered ET**. Caracteristicile fiecărui tip de sistem sunt prezentate, împreună cu avantajele și dezavantajele acestora. Este subliniat de asemenea faptul că, cerințele de predictabilitate și determinism, specifice sistemelor timp real critice sunt practic realizabile în cazul utilizării variantei **time-triggered**; varianta **event-triggered** având în schimb avantajul flexibilității.

În plus față de limbajele de programare și metodologiile de proiectare, dezvoltarea eficientă a sistemelor timp real implică și utilizarea unor unelte și medii CASE care să asiste procesul de dezvoltare de-a lungul tuturor etapelor acestuia. Capitolul al treilea prezintă pe scurt o selecție a celor mai răspândite unelte și medii CASE existente la ora actuală și care pot fi utilizate pentru proiectarea și dezvoltarea aplicațiilor timp real, împreună cu avantajele și

dezavantajele acestora. Facilitățile puse la dispoziție de fiecare unealtă în parte sunt prezentate și analizate.

Posibilitatea aplicării tehnologiilor obiectuale în dezvoltarea aplicațiilor timp real este investigată; din prisma utilizării acestora în aplicațiile timp real se ilustrează de asemenea principalele probleme pe care tehnologiile obiectuale și uneltele CASE aferente momentan nu le rezolvă. Ca și o concluzie, se prezintă în final o listă de facilități pe care ar trebui să le includă o unealtă CASE ideală astfel încât ea să poată fi utilizată cu succes în proiectarea și dezvoltarea oricărei aplicații timp real.

Capitolul al patrulea prezintă caracteristicile hardware și software a controller-elor programabile (PLC-uri) în contextul utilizării acestora în aplicațiile de timp real. În urma analizei modului de operare ale acestora, este ilustrată posibilitatea utilizării paradigmei ciclice (definită sub numele de **paradigma Cy-Clone**), și care se bazează pe principiul **resource adequacy**, pentru dezvoltarea sistemelor de control timp real utilizând PLC-uri. S-a demonstrat că o astfel de combinație este relativ **simplic** de realizat practic și ea are, datorită existenței unei discipline temporale stricte (sistem **time-triggered**), avantajul **predictabilității**, element esențial pentru sistemele critice.

De asemenea, în urma utilizării **paradigmei Cy-Clone**, s-a demonstrat că se poate obține o mai bună detectare și localizare a erorilor, și implicit o creștere a **dependabilității** sistemului. Utilizarea combinată a PLC-urilor și a paradigmei ciclice respectă deci criteriile de bază care ar trebui să stea la baza dezvoltării oricărui sistem de control timp real, și care pot fi sintetizate cu ajutorul sintagmei **simplicitate => predictabilitate => dependabilitate**, prezentată în cadrul capitolului 1.1.

Metodologia propusă pentru dezvoltarea aplicațiilor de control timp real utilizând PLC-uri și abordarea ciclică este descrisă pe larg în capitolul al cincilea. Descrierea acesteia începe cu o prezentare generală a metodologiei împreună cu a tuturor conceptelor utilizate; se definesc și se rafinează în acest sens noțiunile de **model prescriptiv** și **model descriptiv**. Ulterior, fiecare etapă a metodologiei este tratată în mod distinct, definindu-se în mod clar **intrările**, **ieșirile** precum și **pașii** care trebuie urmați în cadrul fiecărei etape.

Astfel, este ilustrat faptul că, utilizând metodologia propusă, **garantarea** performanțelor în toate situațiile poate fi realizată, datorită predictabilității obținute în urma utilizării paradigmei **Cy-Clone**. De asemenea, se mai arată că metodologia propusă poate fi foarte ușor adaptată pentru o largă categorie de aplicații complexe din domeniul controlului automat timp real, și că ea furnizează nu numai un set de concepte și criterii care pot fi utilizate în procesul de proiectare și dezvoltare, dar și o combinație de unelte software prin intermediul cărora să se realizeze aplicarea în practică într-o manieră simplă și eficientă.

În finalul capitolului sunt prezentate principalele avantaje dar și dezavantaje ale metodologiei propuse. Se poate observa astfel că avantajele primează în mod clar; astfel concluzia care se impune este aceea că metodologia propusă reprezintă o soluție viabilă pentru o largă categorie de aplicații timp real, și în mod deosebit pentru aplicațiile de conducere și control a proceselor industriale.

În scopul de a valida din punct de vedere practic fundamentele teoretice care au stat la baza metodologiei prezentate în capitolul 5, și care au fost la rîndul lor prezentate pe larg în capitolele anterioare (1-4), în partea a doua a lucrării s-a prezentat un exemplu de aplicare a acestora. Astfel, în cadrul capitolului al șaselea, este ilustrat un studiu de caz pentru o aplicație timp real care a fost dezvoltată utilizînd metodologia propusă.

Aplicația **Sistemul automat de monitorizare și control a instalației geotermale de la Universitatea din Oradea** constituie un exemplu concludent a modului de utilizare a metodologiei propuse în cazul unei aplicații concrete și complexe în același timp. Modul de utilizare al metodologiei precum și uneltele CASE aferente fiecărei etape sunt descrise în detaliu. Prin acest exemplu, metodologia prezentată în cadrul capitolului 5 își dovedește pe deplin oportunitatea și utilitatea.

În final, în cadrul capitolului al șaptelea, au fost sintetizate principalele concluzii evidențiindu-se în principal contribuțiile originale existente de-a lungul tezei; au fost identificate de asemenea și principalele direcții de dezvoltare de viitor, subliniindu-se faptul că prezenta lucrare reprezintă doar o etapă din cadrul unui proiect de lungă durată.

2. SISTEME TIMP REAL *TIMED-TRIGGERED* (TT) VERSUS *EVENT TRIGGERED* (ET)

2.1. Clasificarea sistemelor timp real

Sistemele timp real pot fi clasificate din diferite puncte de vedere [KS97][BF97]. Astfel, aceste clasificări pot fi realizate în funcție de caracteristicile aplicației, și în consecință sunt dependente de factori externi sistemului de calcul utilizat sau în funcție de caracteristicile implementării și proiectării propriu-zise, caz în care sunt dependente de factori interni sistemului de calcul.

2.1.1. Sisteme hard real-time versus soft real-time

O binecunoscută clasificare împarte sistemele de timp real în:

- **sisteme hard real-time:** în cadrul acestora trebuie să se garanteze prin proiectare satisfacerea constrângerilor de timp în orice situație posibilă; utilitatea unor astfel de sisteme depinde tocmai de posibilitatea de a asigura o performanță predictibilă în decursul unor situații limită. Nesatisfacerea constrângerilor de timp în cazul sistemelor hard real-time conduce la compromiterea funcționării corecte a sistemului
- **sisteme soft real-time:** acestea sunt sisteme pentru care o eventuală nesatisfacere a constrângerilor de timp nu compromite corectitudinea acestuia

Un exemplu tipic de control **hard real-time** este bucla de control a temperaturii unui amestec într-o instalație chimică, cu ajutorul unei valve care închide/deschide circuitul de aerisire. În termeni de control, pentru proiectarea unui algoritm potrivit buclei de control a temperaturii, se impune alegerea unui interval de achiziție T_s corespunzător, astfel încât, în cadrul acestuia să fie posibilă realizarea operațiilor de citire a intrării, de realizare a calculelor de control precum și de a transmite în afară, către actuatorul care acționează valva, ieșirea calculată.

Practic, proiectarea unui sistem timp real hard, care trebuie să producă rezultate corecte la momentul corect, este fundamental diferită de proiectarea unui sistem în timp real soft. Diferențele pot fi sumarizate conform Tabelului 1:

Tabelul 1: Sisteme timp real hard versus sisteme timp real soft

Caracteristica	Sisteme hard	Sisteme soft
Timp de răspuns	obligatoriu	dorit
Performanța la încărcare maximă	predictibilă	degradabilă
Sursa controlului	mediul	calculatorul
Siguranța în funcționare	critică, de cele mai multe ori	ne-critică
Dimensiunea fișierelor de date	mică sau medie	mare
Tipul redundanței	activă	checkpoint-recovery
Integritatea datelor	pe termen scurt	pe termen lung
Detecția erorilor	autonomă	asistată de utilizator

Astfel, cerințele pentru timpul de răspuns în cadrul sistemelor **hard real-time** sunt de multe ori de ordinul a câtorva milisecunde sau chiar mai puțin, excluzând practic posibilitatea intervenției utilizatorului uman în situații critice. În acest caz sistemul trebuie să fie autonom pentru a asigura operarea în siguranță a procesului. Pentru sistemele **soft real time** și **on-line** cerințele de timp sunt mai relaxate; în plus, nesatisfacerea unei constrângeri de timp nu compromite funcționarea corectă și sigură a sistemului [Kop97].

Totuși, în practică, clasificarea de mai sus este uneori orientativă: de exemplu, în anumite circumstanțe, o rată ocazională a unei constante hard periodică (ca cea din exemplul de mai sus) nu este o problemă serioasă: într-o buclă de control (**feed-back**), pierderea ocazională a datelor unei achiziții nu va produce perturbanțe majore în sistemul de controlat, atâta timp cât variabila manipulată rămâne la valoarea anterioară. Din acest motiv, în cadrul specificațiilor unui astfel de sistem, constantele de timp aferente pot fi relaxate într-o oarecare măsură (Tabelul 2).

Astfel, constrângerile de timp pot fi definite formal conform Tabelului 2 [Ben94], în cadrul căruia:

- $t_c(i)$ = intervalul între ciclul i și $i-1$
- $t_e(i)$ = timpul de răspuns la a- i -a apariție a evenimentului e
- t_s = intervalul periodic (ciclic) dorit
- T_e = timpul maxim de răspuns permis pentru evenimentul e
- T_a = timpul mediu de răspuns permis pentru evenimentul e , măsurat pe un interval T

- n** = numărul de apariții al evenimentului e în intervalul de timp T, respectiv numărul de repetiții ciclice de-a lungul intervalului de timp T
- a** = o toleranță mică de timp

Tabelul 2: Definirea formală a constrângerilor de timp

<i>Hard</i>		<i>Soft</i>	
Periodic (ciclic)	Aperiodic (event)	Periodic (ciclic)	Aperiodic (event)
$t_c(i) = t_s \pm a$	$t_e(i) \leq T_e$	$\frac{1}{n} \sum_{i=1}^n t_c(i) = t_s \pm a$ $n = \frac{T}{t_s}$	$\frac{1}{n} \sum_{i=1}^n t_e(i) \leq T_a$ $n = \frac{T}{t_s}$

Totuși, constantele de timp hard, în mod evident reprezintă constrângeri de de timp mult mai severe, cu implicații mult mai mari asupra sistemelor în timp real, decât cele soft. Majoritatea sistemelor timp real conțin un amestec de activități avînd constrângeri de timp atît hard cît și soft; de asemenea pot exista activități care nu sunt de timp real. Proiectarea unui astfel de sistem implică recunoașterea fiecărui tip de activitate, și, pe cît posibil, gruparea și reducerea numărului de task-uri care prezintă constrângeri de timp real.

2.1.2. Sisteme fail-safe versus fail-operational

Pentru anumite categorii de sisteme în timp real pot fi identificate anumite stări așa numite **de siguranță** care pot fi atinse în cazul apariției unei defecțiuni. Dacă sistemul poate ajunge într-o astfel de stare imediat după apariția unei defecțiuni, atunci acesta este **fail-safe**. Aceasta este o caracteristică externă sistemului de calcul propriu-zis și nu în toate aplicațiile este posibilă atingerea unei astfel de stări de siguranță.

În multe sisteme în timp real există un dispozitiv special, așa numitul **watchdog**, care este utilizat pentru monitorizarea operării sistemului de calcul. Sistemul de calcul trebuie să transmită periodic un semnal (o ieșire digitală de o formă predefinită) către watchdog, în intervalul de timp stabilit.

Dacă acest semnal nu ajunge la watchdog la timp, acesta presupune că a avut loc o defecțiune la sistemul de calcul și forțează obiectele controlate într-o stare de siguranță. În astfel de sisteme satisfacerea cerințelor de timp este necesară doar pentru a controla disponibilitatea acestuia, nu și pentru siguranță, deoarece sistemul ajunge într-o stare sigură în cazul apariției unei defecțiuni.

În cazul în care sistemul este de așa natură încât starea de siguranță nu poate fi atinsă, în cazul unei defecțiuni sistemul trebuie să furnizeze un nivel minim de operare, astfel încât consecințele defecțiunii să nu fie catastrofale. Astfel de sisteme sunt **fail-operational**.

2.1.3. Răspuns garantat versus cel mai bun efort

Dacă încă din faza de proiectare a sistemului se poate face o verificare analitică a răspunsului sistemului care să dovedească corectitudinea acestuia în orice situație posibilă, avem de-a face cu un sistem cu **răspuns garantat**. Probabilitatea de defecțiune a unui sistem perfect cu răspuns garantat este limitată la probabilitatea cu care presupunerile referitoare la situațiile de încărcare maximă și la numărul și tipul defecțiunilor posibile sunt în concordanță cu realitatea. Un sistem cu răspuns garantat necesită o planificare și o proiectare extrem de atent realizată, combinată cu o analiză extensivă în timpul fazei de proiectare.

Dacă o astfel de garanție obținută în mod analitic nu poate fi dată, atunci avem o proiectare caracterizată prin **cel mai bun efort**. În cazul acesteia nu este necesară specificarea riguroasă a ipotezelor de încărcare maximă și de defecțiune, suficiența proiectării va fi stabilită în urma fazelor de testare și integrare a sistemului. Este foarte dificil de stabilit că un sistem construit pe baza principiului **cel mai bun efort** va opera corect în toate situațiile posibile, mai ales în cele care apar cu o probabilitate foarte redusă. În prezent însă multe sisteme în timp real ne-critice sunt proiectate conform acestei paradigme.

2.1.4. Resource-adequate versus resource-inadequate

Sistemele cu răspuns garantat se bazează pe principiul **resource-adequacy** care stipulează faptul că există suficiente resurse disponibile pentru a face față inclusiv situațiilor de încărcare maximă sau de defecțiune apărute. Multe sisteme timp real ne-critice se bazează pe principiul **resource-inadequate** în sensul că asigurarea resurselor suficiente pentru tratarea tuturor situațiilor posibile nu este o soluție viabilă din punct de vedere economic și că o strategie de alocare dinamică bazată pe folosirea în comun a resurselor (alocate într-o manieră probabilistică) este acceptabilă.

Pentru sistemele timp real viitoare setînde însă către utilizarea paradigmei **resource-adequacy**, mai ales în cazul sistemelor timp real hard. Utilizarea calculatoarelor în aplicații cu mari volume de date și foarte complexe forțează proiectantul să garanteze funcționarea corectă a sistemului în toate situațiile posibile. Deci, sistemele în timp real hard trebuie proiectate conform paradigmei **raspuns garantat** care poate fi asigurată numai pe baza principiului **resource-adequacy**.

2.1.5. Sisteme *event-triggered* (ET) versus *timed-triggered* (TT)

Evoluția sistemelor timp real poate fi modelată utilizînd o linie abstractă de timp care semnifică trecerea timpului din trecut înspre viitor. Orice apariție care taie această linie imaginară este un eveniment; de exemplu un ceas digital partiționează linia timpului într-o secvență de timp de durate egale (perioada ceasului).

Un **trigger** este un eveniment care are ca rezultat execuția unui task sau transmiterea unui mesaj. În funcție de mecanismul adoptat pentru inițierea comunicării și activității de procesare, există două abordări distincte care pot fi utilizate în procesul de proiectare a aplicațiilor timp real[:

- abordarea **event-triggered (ET)** – în cadrul acesteia toate activitățile din cadrul sistemului precum și comunicarea în sistem se realizează în urma apariției unor evenimente. Sesizarea evenimentelor semnificative se realizează utilizînd binecunoscutul mecanism al întreruperilor și în consecință este necesară aplicarea unei strategii de planificare dinamică pentru activarea task-ului corespunzător tratării evenimentului apărut
- abordarea **timed-triggered (TT)** – în cadrul căreia toate activitățile, inclusiv comunicarea, sunt inițiate la momente predefinite de timp, existînd o singură întrerupere, și anume întreruperea de ceas. Dacă sistemul este distribuit atunci se presupune că ceasurile fiecărui nod sunt sincronizate între ele conform unui ceas global și că fiecare eveniment poate fi **ștampilat (timestamped)** în funcție de acest timp. Granularitatea ceasului global trebuie astfel aleasă încît ordinea în timp a apariției evenimentelor într-un sistem distribuit să poată fi stabilită pe baza **șampilei de timp** a acestora.

De exemplu, în cazul sistemelor timp real încorporate, calculatorul este doar un element funcțional din cadrul sistemului în ansamblul său. O caracteristică comună a acestei categorii de sisteme este aceea că, calculatoarele sunt conectate la procese care sunt exterioare calculatorului printr-o mare varietate de dispozitive de interfațare care recepționează și transmit o mare varietate de stimuli.

Aceste procese operează în propria lor scară de timp, iar despre calculator se spune că operează în timp real dacă acesta se aliniază cu viteza de desfășurare a proceselor.

Astfel, dacă sincronizarea dintre procesele externe și task-urile interne este definită în funcție de timpul curent, înseamnă că la proiectarea sistemului în cauză a fost utilizat mecanismul **TT**; dacă însă aceasta se definește în funcție de anumite evenimente, s-a utilizat abordarea **ET**. În practică există și o a treia categorie de sisteme, așa numite **interactive**, în cadrul cărora relațiile între acțiunile din cadrul computerului și cele externe sunt mai puțin strict definite [Kop91].

Trebuie în mod obligatoriu precizat faptul că, pentru sistemele care abordează modalitatea **event-triggered ET** și lucrează prin întreruperi, predictibilitatea este un deziderat greu de atins. De asemenea, o altă cerință, și mai greu de atins dar esențială pentru sistemele critice, aceea de determinism, nu poate fi practic realizată. De altfel, orice modalitate de a schimba în mod dinamic (de exemplu, conform priorității) ordinea proceselor în astfel de sisteme rezultă într-un sistem nedeterministic. Rezultatele obținute de Liu și Layland (1973) [SR90] privind algoritmul de planificare rate-monotonic pot fi utilizate doar pentru dovedirea predictibilității; ele însă nu rezolvă problema determinismului.

2.2. Aspecte teoretice privind modelarea sistemelor timp real

Avantajele și dezavantajele abordărilor **TT** versus **ET** pentru sisteme timp real hard trebuie bine cunoscute în cazul modelării unui astfel de sistem; funcție de caracteristicile intrinseci ale aplicației propriu-zise, se alege abordarea care se pretează cel mai bine în contextul performanță/cost. Indiferent însă de calea aleasă, un model al sistemelor în timp real trebuie să se bazeze pe un set general valabil și bine definit de concepte.

2.2.1. Elemente esențiale pentru construirea modelului unui sistem timp real

Pentru același sistem pot fi construite diverse modele:

- modelul fizic
- modelul simulat a procesului
- modelul matematic a diverselor fenomene fizice
- modelul exprimat în logică formală a sistemului

Toate aceste modele reprezintă diferite abstracții ale realității și au un diferit grad de formalism. Modelele formale au avantajul unei notații precise și a unor reguli foarte riguroase care suportă verificarea automată a anumitelor proprietăți ale sistemului modelat.

Esențialul în construirea unui model stă în corectitudinea și simplitatea acestuia. Aceste cerințe sunt în general contradictorii: reducerea numărului de informații sau abstractizarea în vederea simplificării modelului poate fi făcută numai în cazul în care corectitudinea acestuia nu este afectată [How93]. De asemenea, toate presupunerile făcute în procesul de modelare în scopul simplificării trebuie specificate clar întrucât acestea definesc practic validitatea acestuia. Probabilitatea ca presupunerile făcute să fie reale (**assumption coverage**) limitează probabilitatea ca și concluziile derivate din cadrul modelului să fie valide în realitate. Un exemplu în acest sens este ilustrat de proprietățile enunțate pentru modelele M_d și M_p definite în cadrul paragrafului 5.2.

Pentru sistemele timp real critice următoarele elemente esențiale trebuie definite în cadrul modelului [Irw96]:

- **situațiile limită** - adică situația de încărcare maximă precum și toate cazurile de defecțiune care pot apărea
- **proprietățile temporale** care trebuie în mod obligatoriu să fie incluse în model

Din punct de vedere al proprietăților temporale acestea se referă în primul rând la durata (sau timpul de execuție) asociată unei anumite acțiuni. Astfel, pentru o acțiune a dată există următoarele mărimi cantitative care să descrie comportarea în timp a acesteia:

- **durata actuală sau timpul de execuție $d_{ac}(a,x)$** , reprezentând numărul de unități de timp necesare din momentul în care acțiunea a este declanșată pînă în momentul cînd aceasta se termină pentru setul de date de intrare x
- **durata minimă $d_{min}(a)$** , reprezentînd cel mai mic interval de timp necesar terminării acțiunii a , măsurat asupra tuturor datelor de intrare posibile
- **timpul de execuție în cazul cel mai defavorabil $d_{WCET}(a)$** , reprezentînd cel mai lung timp necesar terminării acțiunii a în condiții de încărcare maximă și defecțiuni, măsurat asupra tuturor posibilităților datelor de intrare
- **timpul de jitter**, reprezentînd diferența între timpul de execuție în cazul cel mai defavorabil și durata minimă, $d_{WCET}(a) - d_{min}(a)$

O altă caracteristică temporală, și anume **frecvența activărilor** unei anumite acțiuni per unitatea de timp, trebuie avută în vedere la definirea unui model pentru un sistem timp real. Aceasta deoarece fiecare resursă din cadrul sistemului are o capacitate finită determinată de parametri acesteia; aceasta poate să-și îndeplinească cu succes obligațiile din punct de vedere temporal numai dacă frecvența activărilor resursei respective se află sub un control strict.

În vederea evitării pe cât posibil a încărcării excesive a modelului există însă și o serie de aspecte care nu este necesar să fie incluse în modelul creat. Dintre acestea, cele mai semnificative se referă la detalii de reprezentare a datelor, modul efectiv de implementare a algoritmilor de control și de transformare a datelor, etc.

2.2.2. Control temporal versus control logic

Astfel, într-un sistem **event-triggered ET** se utilizează mecanismul întreruperilor pentru tratarea evenimentelor externe. Când un astfel de mecanism este activat și apare o întrerupere, execuția task-ului curent este întreruptă și hardware-ul forțează o schimbare de context către rutina de tratare a întreruperii corespunzătoare. După terminarea tratării întreruperii, o nouă schimbare de context trebuie realizată fie pentru a continua task-ul întrerupt, fie pentru a trata o altă întrerupere apărută între timp. Aceste schimbări de context consumă un anumit timp, așa numitul **WCAO (Worst Case Administrative Overhead)**. Apariția fiecărei întreruperi reduce capacitatea unității centrale disponibilă aplicației, după cum este ilustrat în Figura 9. Acest lucru este valabil și în cazul în care rutina de tratare decide că întreruperea a fost eronată și nu activează nici un alt task.

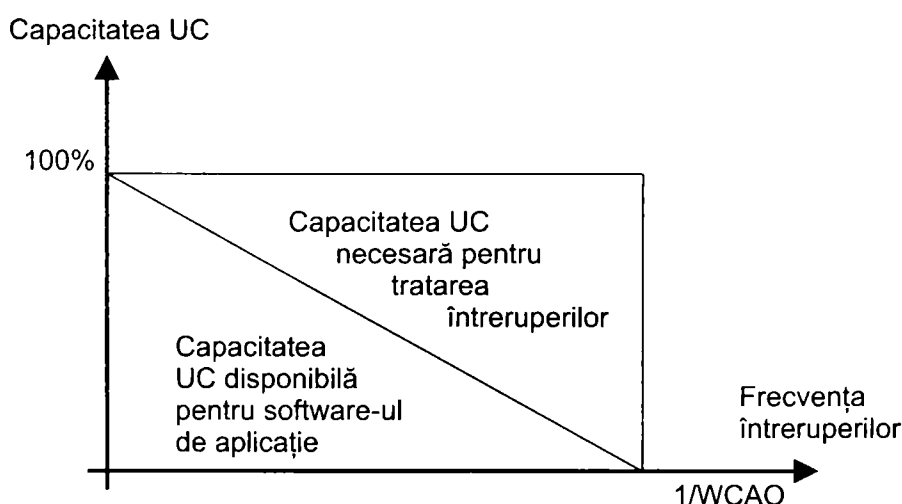


Figura 9: Capacitatea CPU versus 1/WCAO

Se observă din Figura 9 că dacă frecvența întreruperilor atinge valoarea $1/WCAO$, capacitatea unității centrale disponibilă pentru aplicații devine zero; este deci de o importanță covârșitoare ca frecvența întreruperilor într-un sistem timp real să fie limitată. Acest lucru este practic imposibil într-un sistem ET, deoarece sursa întreruperilor se află în afara sferei de control a calculatorului.

În cazul unui sistem timp real **timed-triggered TT** însă, controlul rămâne întotdeauna în cadrul calculatorului [Kop92][Kop97]. Pentru a sesiza un anumit eveniment exterior, un sistem **TT** trebuie să utilizeze un task periodic **time-triggered** care să evalueze starea variabilelor din sistem. Perioada acestui task trebuie să fie mai mică decât **laxity**-ul (diferența între deadline și timpul de execuție) a oricărei tranzacții în timp real care poate fi activată de un anumit eveniment. Și utilizarea unui task trigger generează timpi suplimentari în sistem; practic, dacă **laxity**-ul unei tranzacții este foarte mic ($<1ms$), overhead-ul asociat task-ului trigger este mult prea mare pentru a fi admisibil.

Există la ora actuală numeroase sisteme timp real care utilizează atât abordarea **ET** cât și abordarea **TT**. Totuși, majoritatea arhitecturilor tind să favorizeze mai mult una dintre ele: semnalele de control sunt predominant event-triggered sau predominant time-triggered. O comparație între cele două variante poate fi sumarizată conform Tabelului 3.

Tabelul 3: Activarea task-urilor prin întreruperi versus utilizarea unui task trigger

Caracteristica	Intrerupere	Task trigger
Factori care afectează latența	răspunsul la întrerupere	perioada de achiziție
Sursa controlului	externă	internă
Overhead-ul datorat scanării	nu există	WCET(laxity_trigger) / laxity
Overhead-ul datorat procesării	variabil	constant
Posibilitatea preemțiunii	oricând	controlată
Condițiile de trigger	simple	complexe
Predictabilitate	nivel scăzut	nivel ridicat

2.2.3. WCET (Worst-Case Execution Time)

Văzută din exterior, o aplicație timp real distribuită poate fi partiționată într-un set de cluster-e care comunică între ele. Fiecare cluster poate fi împărțit la rândul său în unități tolerante la defecțiuni **FTU (Fault Tolerant Unit)** legate în rețele locale și care conțin ca și noduri unul sau mai multe calculatoare. Pe fiecare astfel de calculator se pot executa în mod concurent mai multe task-uri.

Elementul structural de bază în cadrul unui astfel de sistem distribuit îl reprezintă **task**-ul. Durata actuală a task-ului care rulează pe o anumită mașină cu setul de date de intrare x , este dată de parametrul $d_{ac}(task, x)$. Dacă nu există puncte de sincronizare cu alte task-uri în cadrul unui task, acesta își poate continua execuția pînă la sfîrșit; în acest caz timpul de execuție poate fi determinat în mod izolat deoarece acesta nu depinde în mod direct de modul de execuție al altor task-uri. În caz contrar, timpul de execuție pentru cazul cel mai defavorabil reprezintă o problemă globală a sistemului și estimarea acestuia nu este întotdeauna posibilă.

Garantarea deadline-ului pentru o tranzacție în timp real poate fi realizată numai în cazul în care timpii de execuție pentru cazul cel mai defavorabil **WCET** pentru toate task-urile care sunt parte a tranzacției sunt cunoscuți dinainte [Kop97]. Acești timpi trebuie de asemenea să fie valabili pentru toate datele de intrare și pentru toate scenariile de execuție posibile. În plus, mai trebuie luate în considerare și întârzierile de ordin administrativ, **WCAO**, cauzate de schimbări de context, planificare, reîncărcarea cache-ului sau DMA.

Pentru un task simplu, care rulează pe un hardware dedicat, fără preemțiune și fără a necesita serviciile sistemului de operare, **WCET** depinde în principal de următorii factori:

- codul sursă al task-ului
- proprietățile codului obiect generat de compilator
- caracteristicile hardware pe care rulează

În prezent, stabilirea prin metode analitice de calcul a timpului **WCET** pentru un astfel de task simplu, poate fi realizată numai în anumite condiții restrictive. De exemplu, referitor la codul sursă al task-ului, în cazul utilizării unui limbaj de nivel înalt trebuie să fie posibil să se evalueze timpul maxim de execuție pentru toate construcțiile de limbaj; acest lucru s-ar traduce în absența apelurilor recursive, a ciclurilor nelimitate (unbounded) și a structurilor de date dinamice.

De asemenea, compilatorul trebuie să includă anumite informații specifice aplicației în cadrul codului obiect pentru ca analiza **WCET** a codului să fie posibilă. În ceea ce privește însă task-urile complexe, care se sincronizează cu alte task-uri și care pot fi întrerupte, o analiză **WCET** a acestora este în acest moment practic imposibil de realizat. Totuși, întrucît stabilirea anumitelor limite pentru **WCET** este absolut necesară în aplicațiile practice, această problemă importantă este în prezent realizată prin combinarea a diverse tehnici în diferitele faze de dezvoltare a aplicației. Cele mai importante se referă la testarea unei implementări pentru a obține date experimentale asupra timpilor **WCET**; în final, testarea exhaustivă a implementării finale va valida (eventual) presupunerile anterioare și va stabili marginea de siguranță între timpii **WCET** presupuși și cei mășurați.

2.3. Concluzii

În cadrul acestui capitol s-a demonstrat că principalul element care trebuie considerat în procesul de proiectare al unui sistem de control timp real îl reprezintă posibilitatea garantării satisfacerii tuturor constrângerilor de timp impuse. Pentru a putea realiza acest lucru, modelarea unor astfel de sisteme trebuie să aibă la bază paradigma **răspuns garantat**, ceea ce implică asigurarea tuturor resurselor necesare, **resource adequacy**. În plus, corectitudinea și simplitatea modelului sunt elemente esențiale în construirea acestuia, cu condiția ca reducerea numărului de informații sau abstractizarea în vederea simplificării să nu afecteze corectitudinea acestuia.

Există o serie de metodologii care pot fi utilizate în construcția modelului, sau a diferitelor tipuri de modele ale unui sistem de control timp real, ținând cont de elementele precizate anterior. O sinteză a celor mai cunoscute metodologii pentru dezvoltarea aplicațiilor timp real împreună cu uneltele CASE corespunzătoare va fi prezentată în cadrul capitolului 3.

În plus, indiferent de varianta aleasă, un element esențial îl reprezintă includerea proprietăților temporale în cadrul modelului construit. S-a demonstrat faptul că **garantarea** îndeplinirii constrângerilor de timp impuse de aplicația de control timp real poate fi realizată numai în cazul în care timpii de execuție pentru cazul cel mai defavorabil **WCET** pot fi determinați și cunoscuți dinainte pentru toate acțiunile cu deadline ferm. În lipsa unor metode analitice de analiză care să poată determina **WCET în orice condiții**, în prezent doar utilizarea controlului temporal **TT** asigură posibilitatea determinării tuturor timpilor **WCET**.

Aceasta datorită faptului că, în cazul acestuia, overhead-ul datorat procesării este constant, perioada de achiziție a task-ului trigger este cunoscută, overhead-ul datorat scanării este de asemenea cunoscut (conform datelor prezentate în Tabelul 1) și deci **WCET** poate fi determinat; pentru cazul utilizării controlului bazat pe evenimente **ET**, datorită faptului că atât timpul de răspuns la o întrerupere precum și overhead-ul datorat procesării sunt variabili, determinarea lui **WCET** în aceste condiții nu este posibilă întotdeauna.

Un exemplu de determinare al timpului **WCET** în cazul implementării cu ajutorul PLC-urilor a aplicațiilor de control timp real va fi prezentat în paragrafului 4.2.4. De asemenea, paradigma **Cy-Clone**, descrisă în cadrul paragrafului 4.2., și care se bazează pe principiul **resource adequacy** utilizând controlul temporal **TT**, se află la baza metodologiei de dezvoltare a aplicațiilor de control timp real propuse în cadrul capitolului 5.

3. METODOLOGII GENERALE DE DEZVOLTARE A APLICAȚIILOR TIMP REAL

3.1. Aspecte esențiale în cadrul metodologiilor de proiectare

Dezvoltarea aplicațiilor complexe de control timp real constituie o problemă dificilă. Sistemele tradiționale au fost proiectate utilizând de regulă tehnici ad-hoc și au fost în majoritatea cazurilor, codate utilizând limbaje de asamblare. Proiectarea acestor aplicații s-a bazat puternic pe primitivele pentru operațiile concurente care au fost puse la dispoziție de sistemul de operare. Chiar dacă au existat anumite metodologii utilizate în acest domeniu, majoritatea acestora considerau limbajul ales și structura hardware a sistemului ca fiind elemente esențiale care trebuiau luate în calcul în procesul de descompunere a sistemului în task-uri. De asemenea, verificarea formală a sistemului rezultat astfel era în cele mai multe cazuri ignorată, în primul rând datorită complexității acesteia [How93].

În prezent, programarea orientată pe obiecte oferă multe avantaje în cazul sistemelor de control timp real complexe, inclusiv abilitatea de a reutiliza componentele software existente. Pe de altă parte însă, executabilele object-oriented existente sunt în general de dimensiuni mari și lente. Acest lucru a făcut pînă în prezent ca programarea orientată pe obiecte să fie mai puțin atractivă pentru proiectanții de sisteme de control în timp real. În prezent însă, au fost dezvoltate noi unelte software care furnizează executive rapide și care permit construirea de aplicații pe baza componentelor furnizate de acestea și/sau dezvoltate de utilizator. De asemenea, mașinile virtuale existente în prezent vor putea fi utilizate pentru a furniza independența de platformă a executabilelor object-oriented [JCJG92].

O altă capacitate importantă prezentă în cadrul uneltelor și mediilor actuale este posibilitatea de a modela cu ajutorul acestora atât hardware-ul sistemului înglobat (sau părți ale acestuia) cît și mediul în care sistemul este intenționat să funcționeze. Această modelare dă posibilitatea inginerului de a experimenta, împreună cu aplicația software, comportarea în ansamblu a sistemului încă din faza de proiectare a acestuia, și chiar în situații în care hardware-ul final nu este încă disponibil. De asemenea, astfel se poate observa dinamica sistemului într-o mare varietate de situații simulate; aceasta reprezintă o facilitate foarte importantă în cazul sistemelor de timp real critice, în cadrul cărora o testare "pe viu" a sistemului poate fi extrem de dificil de realizat și, în plus, mare consumatoare de timp.

Principalele elemente care apar în procesul de proiectare a sistemelor timp real sunt diferite de alte sisteme în primul rând datorită prezenței evenimentelor concurente în cerințele temporale care există între intrări și ieșiri. În acest context, cele mai importante aspecte care trebuie luate în considerare sunt **descompunerea**, **interfațarea** precum și **aspectele temporale** [LA93][Lap93]:

- **descompunerea** - deoarece sistemele timp real operează în prezența unor evenimente concurente, este natural să se proiecteze software-ul aferent ca un set de procese concurente. Descompunerea adecvată nu numai că ajută la o mai bună managerizare a complexității sistemului, dar poate fi extrem de importantă de asemenea în asigurarea predictibilității cerințelor temporale.
- **interfațarea** - interfața între componentele unui sistem, inclusiv senzori și actuatori reprezintă forma de comunicare și sincronizare. Sincronizarea conduce la o mai mare predictabilitate și o mai ușoară detectare a condițiilor de eorare; pe de altă parte, întârzierile introduse de mecanismul de sincronizare pot conduce la degradarea nedorită a performanțelor sistemului.
- **aspectele temporale** - principalul element în proiectarea sistemelor timp real îl reprezintă modalitatea în care sunt reflectate constrângerile de timp; astfel, descompunerea sistemului trebuie să se bazeze atât pe cerințe temporale cât și funcționale. În plus, comportarea temporală a componentelor trebuie analizată din punct de vedere al completitudinii (dacă toate cerințele sunt reflectate în modelul proiectat), corectitudinii (dacă sunt conflicte și inconsistențe în model) și al fezabilității (dacă sistemul poate atinge cerințele, adică este fezabil). **Timeout-ul** și **întreruperile de timp** sunt formele de bază de monitorizare a comportării temporale a sistemului. Selecția semnalelor de timeout adecvate este foarte importantă: alegerea intervalelor de timeout joacă un rol important în sincronizarea activităților concurente.

Alte aspecte importante, nu neapărat specifice sistemelor în timp real includ:

- **suport automat pentru proiectare**, din faza de specificare a cerințelor până la implementare; în plus, proiectarea unui sistem software complex poate beneficia enorm de unelte de dezvoltare și depanare interactive, îndeosebi de cele care dispun de o interfață grafică
- **mijloace pentru reflectarea arhitecturii hardware de-a lungul întregul ciclu de dezvoltare software**: analiza fiabilității și a performanțelor temporale sunt semnificative numai în măsura în care caracteristicile procesorului (procesoarelor) sunt luate în considerare

3.2. Metodologii de proiectare

Scopul fundamental al tuturor proiectanților de sisteme timp real este acela de a produce un sistem software de calitate, care să satisfacă nu numai cerințele funcționale și de performanță dar să fie de asemenea fiabil și ușor de întreținut. Alte cerințe adiționale sunt: sistemul să fie produs la un cost rezonabil și să fie adaptabil la schimbări, atât software cât și eventual hardware. În general, o bună proiectare implică o bună practică inginerescă, o bună metodologie precum și existența unor unelte CASE corespunzătoare care să ajute de-a lungul întregului proces de proiectare.

3.2.1. Metode de descompunere a sistemelor (modelarea statică)

Sistemele timp real sunt în mod tipic proiectate ca un set de procese concurente care comunică între ele; din acest motiv, modul de descompunere a sistemului timp real în procese componente reprezintă un element esențial.

3.2.1.1. Proiectarea structurată și descompunerea funcțională

Această abordare este similară cu metodele de descompunere structurate tradiționale: un sistem este descompus în subsisteme, la rândul lor aceste subsisteme sunt descompuse în task-uri, etc [Pag88]. Structurarea aplicației în subsisteme se bazează pe descompunerea funcțională în scopul de a obține coeziune mare în cadrul unui subsistem și coeziune slabă între subsisteme.

Coeziunea funcțională se referă la similaritatea funcțiilor realizate: acest lucru poate necesita schimburi masive de date și în consecință gruparea în cadrul unui subsistem limitează overhead-ul asociat comunicării. De asemenea, activitățile mai pot fi grupate și în alte moduri: activități generate de același eveniment, activități care trebuie să se execute secvențial, etc. Gradul de cuplare între subsisteme determină gradul de concurență și de întârzieri datorate sincronizării. Este de dorit în multe cazuri să se micșoreze gradul de cuplare pentru a crește gradul de concurență asincronă în sistem.

Subsistemele sunt descompuse în continuare în task-uri concurente: câteva din criteriile de descompunere sunt următoarele [Coo97]:

- **dependența de I/O** - din moment ce transformările care depind de intrări și ieșiri trebuie să ruleze la viteza dispozitivelor de I/O, task-uri separate trebuie utilizate pentru astfel de transformări. Este de dorit să existe câte un task separat pentru fiecare tip de dispozitiv de I/O asincron

- **dependența de interfața utilizator** - ca și în cazul transformărilor care depind de I/O, transformările care depind de interacțiunile cu utilizatorul trebuie structurate în task-uri separate asincrone
- **execuții periodice** - transformările care sunt executate regulat la intervale predeterminate de timp trebuie proiectate ca task-uri separate în scopul de a facilita planificarea. De asemenea, pentru activități de I/O periodice trebuie utilizate task-uri independente
- **funcții cu cerințe temporale critice** - activitățile care au timp de răspuns critic trebuie de asemenea proiectate sub forma de task-uri separate pentru a permite planificarea cu prioritate a acestora

3.2.1.2. Proiectarea orientată pe obiecte

Metodologiile **object-oriented** diferă de abordările funcționale în primul rând datorită manierei în care subsistemele, task-urile și modulele sunt identificate. În cazul metodelor funcționale, fiecare modul reprezintă o transformare majoră. În cazul metodelor orientate pe obiecte, fiecare modul este responsabil de managerizarea unui obiect major din sistem [IBR98].

Cu alte cuvinte, în varianta funcțională mai multe module pot opera asupra unui obiect realizând diferite transformări ale acestuia; în varianta **object-oriented**, unui singur modul îi este permis să opereze asupra unui obiect, realizând toate transformările asupra acestuia.

Diferiți pași sunt utilizați de-a lungul dezvoltării orientate pe obiecte. Primul pas îl reprezintă identificarea obiectelor și a atributelor acestora. În mod tipic aceasta implică identificarea principalelor obiecte de tip **actor**, **agent** și **server** în spațiul problemei date și definirea rolului acestora în sistem [Boo98]. Următorul pas îl reprezintă identificarea transformărilor care trebuie efectuate asupra obiectelor și a serviciilor, dacă există, pe care trebuie să le ofere fiecare obiect identificat. Pentru a satisface principiul ascunderii informației, este de asemenea necesară definirea interfețelor vizibile ale fiecărui obiect. În final, serviciile și transformările asociate cu fiecare obiect sunt implementate; evident, detaliile de implementare nu trebuie să fie vizibile către alte obiecte.

Atunci când se utilizează o metodologie orientată pe obiecte, se pot utiliza transformările și serviciile comune unei categorii de obiecte (în fazele inițiale ale proiectării) pentru a defini clase de obiecte și ierarhii de clase; acesta poate conduce la utilizarea proprietăților de moștenire și polimorfism pentru definirea sub-claselor și a transformărilor asupra diferitelor tipuri de date [Eli95].

Abordarea obiectuală pare naturală pentru sistemele timp real, datorită capabilității acesteia de abstractizare obținută prin mecanismele de ascundere a informației, moștenire și polimorfism; în plus, reutilizarea și mentenabilitatea codului reprezintă un atribut pozitiv [Kru92].

Totuși, abordarea are și câteva neajunsuri destul de importante. În primul rând, sistemul conține de cele mai multe ori prea multe obiecte. În al doilea rând, și cel mai important, este mult mai greu de anticipat comportarea din punct de vedere temporal față de varianta funcțională. Acest lucru se întâmplă datorită faptului că transformările din cadrul sistemului, cu care sunt asociate constrângeri de timp, pot consta din fire de execuție multiple între mai multe obiecte.

3.2.1.3. Mașini virtuale

Din punct de vedere ierarhic, mașinile virtuale pot fi utilizate pentru proiectarea sistemelor timp real complexe. În mod tipic, acest lucru implică crearea unui set de abstracții pe niveluri care simplifică procesul de proiectare, lăsând detaliile de implementare pentru nivelul cel mai de jos, asociat mașinii propriu-zise.

Astfel, pe nivelurile înalte de abstractizare, reprezentarea mașinii virtuale a unui sistem de timp real constă în mod normal din procese, canale, buffer-e, date utilizate în comun, evenimente de sincronizare și întreruperi. Procesele reprezintă agenții care implementează activitățile și funcțiile. Procesele comunică unele cu altele utilizând canale și buffer-e, iar sincronizarea este realizată prin evenimente.

Canalele conectează două procese și pot fi uni- sau bi-direcționale. Buffer-ele asociate cu canalele permit comunicarea asincronă. Utilizarea datelor comune este folosită pentru reprezentarea comunicării între diferite procese (one to many sau many to many). Wait, Signal și Interrupt sunt printre cele mai utilizate tipuri de evenimente de sincronizare. Descompunerea sistemelor în acest caz poate fi bazată atât pe varianta funcțională cât și pe varianta object-oriented.

În mod teoretic, dacă este bine utilizată, această abordare promovează un înalt grad de mentenabilitate și portabilitate, câtă vreme este posibilă înlocuirea oricărui nivel cu un nivel nou. Din punct de vedere practic însă, în majoritatea sistemelor acest lucru nu este atât de ușor de realizat datorită dependențelor între abstractizările existente pe diferitele niveluri.

3.2.1.4. Metode *entity-life*

Există și alte metode de descompunere care pot fi utilizate pentru sistemele timp real. Una dintre acestea este așa numitul model ***entity-life***. Este destul de dificil de definit foarte exact ce presupune o astfel de modelare: în principiu, criteriile de structurare a modelului (definirea proceselor concurente, task-uri, comunicare și sincronizare) se bazează pe entitățile și construcțiile furnizate de limbajul de implementare [Sad89].

După cum este ilustrat prin metodele de descompunere prezentate mai sus, nu există reguli stricte care să governeze descompunerea; în majoritatea cazurilor o bună descompunere rezultă dintr-o bună înțelegere a cerințelor, din utilizarea unui limbaj de programare de nivel înalt și este funcție de arhitectura hardware aleasă pentru implementare. O aderență prea strictă la oricare din metodologiile de descompunere existente poate conduce la proiectări care sunt fie ineficiente fie nenaturale. Din acest motiv, mediile CASE de proiectare software și uneltele lor asociate trebuie să permită utilizarea a multiple metodologii.

3.2.2. Metode de abstractizare ale proceselor (modelarea dinamică)

Odată subsistemele (obiecte, task-uri, module) au fost identificate, activitățile realizate în cadrul fiecărui subsistem și interfețele între acestea trebuie definite. Task-urile concurente necesită comunicarea între ele pentru schimbul de date, control și utilizarea în comun a datelor. Este comună utilizarea de abstracții grafice pentru reprezentarea operațiilor din cadrul subsistemelor: cele mai larg răspândite sunt ***diagramele de stări finite***, ***diagramele de flux*** și ***rețelele Petri*** [Gom93].

3.2.2.1. Diagrame de stări finite (Finite State Diagram FSD)

Diagramele de stări finite FSD sunt utilizate frecvent pentru a descrie comportarea proceselor prin listarea tuturor stărilor posibile ale acestora, a intrărilor care au ca efect trecerea procesului dintr-o stare în alta precum și a ieșirilor produse de proces în fiecare stare. Diagramele de stări finite sunt în mod normal reprezentate grafic prin intermediul diagramelor de stări. Atunci când se utilizează diagrame de stări finite ca și modalitate de abstractizare, fiecare stare reprezintă completarea unei activități. Funcțiile realizate de procese sunt abstractizate în stări, implicând faptul că procesul realizează operațiile de transformare cât timp rezidă într-o stare. Procesul acceptă intrări și tranziții către starea următoare numai după completarea activităților din starea curentă.

3.2.2.2. Diagrame de flux extinse

O diagramă de flux pentru un proces constă din trei elemente:

- transformări de date: funcțiile realizate de proces, în mod normal reprezentate prin cercuri sau pătrate
- săgeți între noduri prin care se ilustrează modul de curgere a datelor între transformări
- înmagazinări de date (data stores)

Chiar dacă diagramele de flux au fost utilizate extensiv, acestea nu sunt potrivite pentru reprezentarea proceselor timp real. De exemplu, acestea nu pot descrie dependența transformărilor de timp. Pentru a preîntîmpina aceste limitări, au fost propuse cîteva extensii al diagramelor de flux inițiale. În principiu, în cadrul acestora două tipuri de transformări există: de date și de control. Transformările de control definesc modul în care transformările de date sunt activate sau inactivate. Aceste transformări de control trebuie asociate cu diagrame de stări finite pentru a reprezenta secvența de acțiuni care trebuie realizată de un proces. Chiar și în aceste condiții însă, datorită utilizării diagramelor de stări finite, va rezulta în final un model neuniform.

3.2.2.3. Rețele Petri

Rețelele Petri au cîștigat o popularitate considerabilă de-a lungul ultimei decade datorită abordării grafice și a abilității acestora de a reprezenta concurența asincronă. Rețelele Petri constă din două feluri de noduri: **locuri (places)** și **tranziții (transitions)**. Tranzițiile reprezintă activități, funcții sau transformări, în timp ce locurile reprezintă evenimente ca de exemplu semnale sau completarea unor activități. Există la ora actuală diferite extensii ale rețelelor Petri, ca de exemplu rețele **Timed Petri**, care sunt mai potrivite pentru sistemele timp real decît cele originale.

O altă modalitate de abstractizare, cu un mecanism similar cu cel al rețelelor Petri, îl reprezintă **mașina ierarhică cu mai multe stări (Hierarchical Multistate Machine HMS)**. Ideea este aceea de a păstra concurența chiar în cazul utilizării unor abstracții de nivel înalt. Mașina ierarhică cu mai multe stări permite definirea unor tranziții colective a unui set de task-uri, în încercarea de a reduce creșterea exponențială ca număr a posibilelor stări, definind în loc de obiecte, mulțimi. Obiectele reprezintă valori ale datelor. Acest lucru este în contrast cu abstractizările care definesc stări separate pentru fiecare valoare posibilă a datelor.

În general, abstractizările utilizate pentru reprezentarea proceselor sunt fie sincrone fie asincrone, prin natura lor. Modelele bazate pe diagramele de stări finite sunt sincrone. În cadrul acestora, în multe situații, specificațiile de timp

real pot fi realizate numai dacă se tratează timpul ca și o variabilă de stare mai degrabă decît o funcție a unei tranziții între stări. Modelele bazate pe rețele Petri și diagrame de curgere sunt asincrone. Evenimentele care generează o acțiune sunt mult mai ușor de modelat utilizînd astfel de abstracții.

3.2.3. Metodologii de implementare

În faza finală a proiectării sistemului timp real, reprezentarea abstractă a proceselor și a interfețelor acestora este translatată în programe într-un limbaj, de programare ales. Acest lucru necesită proiectarea structurilor de date, a structurilor de control, a structurii task-urilor precum și a modalității de comunicare și sincronizare între task-uri. Evident, alegerea este constrînsă de limbajul de programare ales.

Atunci cînd limbajul nu furnizează mecanisme pentru definirea și controlul task-urilor concurente, proiectantul este nevoit să se bazeze pe primitivele puse la dispoziție de sistemul de operare. Este foarte important să se înțeleagă bine modelul de concurență și comunicare pus la dispoziție de limbaj pentru a obține o execuție corectă și predictibilă a sistemului [You98].

De exemplu, mecanismul activării task-urilor este diferit în diferite limbaje. Task-urile pot fi active tot timpul, pot deveni active atunci cînd subrutina care le conține este invocată, sau pot fi activate la cerere. Activarea task-urilor la momente specifice de timp este suportată în unele limbaje. Totuși, în majoritatea cazurilor programatorul trebuie să ajusteze specificațiile de timp pentru activarea task-urilor pentru a satisface cerințele aplicației. Astfel, flexibilitatea crește dacă se utilizează legarea dinamică (dynamic binding) însă crește și regia (overhead-ul) în execuție. Unele limbaje permit definirea modului de tratare a excepțiilor: evenimente deosebite pot fi tratate utilizînd această facilitare.

Principiul ascunderii informației poate fi implementat ușor dacă limbajul furnizează tipuri de date abstracte, module, etc. Astfel de abstracții permit definirea interfețelor vizibile ascunzînd implementarea; limbajele orientate pe obiecte [ITM90], prin mecanismul de încapsulare, facilitează ascunderea informației.

Deseori, sistemele înglobate trebuie să trateze I/O de nivel scăzut provenite de la senzori și alte tipuri de instrumente. Acestea sunt dependente de mașină și în consecință multe limbaje ignoră aspectele legate de I/O, bazîndu-se pe suportul oferit de sistemul de operare. Alte limbaje, mai recente, specifice pentru sistemele înglobate, sunt proiectate însă special pentru a putea trata cu ușurință problema I/O.

3.3. Unelte și medii de proiectare și modelare

Aplicarea metodologiilor existente nu ar fi posibilă fără existența unor unelte CASE adecvate care să asiste programatorul de-a lungul întregului proces de proiectare a aplicației timp real, pe cât posibil automatizând anumite etape. Astfel, un mediu integrat de dezvoltare trebuie să permită programatorului să modeleze, de preferință în mod grafic fiecare aspect din sistem, atât din punct de vedere static cât și dinamic.

În cadrul uneltelor și mediilor de proiectare existente în prezent, interfața de modelare este bazată actualmente pe standardele existente, dintre care cele mai utilizate sunt:

- **JSC (Jackson Structured Charts)** care utilizează descompunerea funcțională ca și tehnică de descompunere; modelul abstract JSC constă dintr-o rețea de procese, de intrare, de ieșire și interne, conectate prin intermediul buffer-elor asincrone sau utilizând vectori de stare [Coo97]. Diferite variante de astfel de diagrame structurate se regăsesc în uneltele de proiectare existente la ora actuală
- **OMT (Object Modeling Technique) și UML (Unified Modeling Language)**, care permit programatorului să descrie sistemul utilizând abordarea orientată pe obiecte. Notăția OMT sau UML este utilizată pentru a construi modelul obiect al sistemului pornind de la specificații. Sunt utilizate în acest sens conceptele binecunoscute de clasă, atribute, relații și metode. Descrierea claselor împreună cu relațiile dintre ele formează așa numita diagramă de clase a aplicației respective [Bri98a][Bri98b]
- **SDL (Specification and Description Language)** definit de International Telecommunications Union: Tele-communications body (ITU-T), care permite programatorului să construiască diagrame de stări finite care să înglobeze comportarea dorită a componentelor sistemului. Acesta este utilizat în faza de proiectare de ansamblu și se bazează pe conceptele de sistem, block și proces. Arhitectura sistemului este descrisă prin intermediul unei diagrame SDL ierarhice, formată dintr-un set de diagrame SDL interconectate. Elementele din cadrul arhitecturii definite comunică între ele prin semnale transportate prin intermediul unor canale. Fiecare proces SDL este descris prin intermediul diagramelor de stări finite, în faza de proiectare detaliată [Ver96]

- **MSC (Message Sequence Charts)**, care permite programatorului să descrie secvențele de interacțiune între diferitele componente ale sistemului. Fiecare diagramă MSC ilustrează un singur caz de schimb de informații între componentele sistemului și diferiți actori din cadrul mediului exterior [Ver96]

Alte facilități suplimentare de care un mediu integrat ar trebui să dispună ar fi următoarele:

- abilitatea de a produce sisteme de calitate prin aplicarea tehnicilor de verificare și validare cunoscute începând primele faze din cadrul ciclului de dezvoltare
- posibilitatea de a scurta timpul de dezvoltare prin utilizarea modelelor grafice obținute în scopul generării automate a codului sursă, care ulterior să poată fi compilat și link-editat pentru a rula pe o mare diversitate de sisteme
- posibilitatea de a permite anticiparea tuturor schimbărilor posibile încă din faza de proiectare, menținând astfel intervenția în codul sursă la minimum și încurajând reutilizarea codului.

În consecință, în măsura în care este posibil, mediul integrat trebuie să poată automatiza și controla cât mai mult posibil din procesul de dezvoltare, începând cu analiza cerințelor, generarea codului sursă, testarea și chiar întreținerea.

Cîteva dintre cele mai cunoscute și utilizate unelte CASE și medii de proiectare și modelare împreună cu cele mai importante caracteristici ale acestora vor fi prezentate în continuare.

3.3.1. MGA ACSL/Graphic Modeller

Produsul **Graphic Modeller** al firmei MGA reprezintă o unealtă CASE care poate fi utilizată pentru modelarea sistemelor de control timp real. Ca și metodă de descompunere, **Graphic Modeller** utilizează descompunerea funcțională în subsisteme, blocuri și sub-blocuri, în varianta **top-down**. Modelele descrise cu ajutorul mediului **Graphic Modeller** pot fi ulterior simulate utilizînd limbajul de simulare **ACSL** [MGA96a] [MGA96b].

Limbajul de simulare continuă **ACSL (Advanced Continuous Simulation Language)** a fost dezvoltat special cu scopul de a modela sisteme descrise funcție de dependența de timp, prin ecuații diferențiale neliniare și/sau funcții de transfer [MGA95]. Pentru **ACSL**, modelul trebuie exprimat în termeni matematici, ecuațiile diferențiale neliniare fiind des utilizate.

De asemenea, unele părți pot fi exprimate și prin funcții de transfer din teoria sistemelor liniare; pentru sistemele reale, în afară de relațiile cauză/efect, mai

sunt necesare și includerea unor specificații referitoare la limitări, discontinuități, precum și alte condiții care limitează domeniul de funcționare al sistemului.

În continuare vor fi evidențiate cele mai importante elemente ale mediului **ACSL/Graphic Modeller**, împreună cu o scurtă descriere a capacităților și caracteristicilor acestora.

3.3.1.1. Editorul grafic **Graphic Modeller**

După cum a fost precizat anterior, produsul **Graphic Modeller** reprezintă un mediu de execuție pentru analiza modelelor **ACSL**, care conține inclus și un editor grafic, deosebit de flexibil și ușor de utilizat pentru crearea modelelor într-o formă grafică. Cu ajutorul interfeței extrem de prietenoase, programatorul poate vizualiza, crea și modifica toate elementele modelului. În plus, utilizând software-ul **Graphic Modeller** se mai pot realiza următoarele:

- analiza și proiectarea sistemelor în termeni de diagrame bloc utilizând componente predefinite sau definite de utilizator; astfel se pot crea biblioteci de astfel de componente reutilizabile (sistem modular)
- testarea unei singure componente a modelului la un anumit dat: acest lucru facilitează practic crearea de modele complexe. În acest sens editorul **Graphic Modeller** reprezintă un participant activ în cadrul procesului de dezvoltare a modelului

Modelele realizate astfel sunt păstrate în fișiere .gm. Atunci când un astfel de model este executat, **Graphic Modeller** generează automat cod **ASCL** (fișier .csl) care în continuare este translatat în Fortran (.for), compilat și linkeditat rezultând în final fișierul executabil .prx.

3.3.1.2. Simulatorul **ACSL**

Software-ul **ACSL** furnizează metode simple de a reprezenta modelele matematice pe un calculator (PC). Practic, există două modalități de lucru cu software-ul **ASCL**:

- utilizând limbajul **ASCL**, pe baza ecuațiilor matematice, utilizatorul scrie un program care modelează sistemul (fișier .csl); programul este apoi translatat de **ASCL** într-un fișier Fortran (.for), care apoi este compilat (.obj) și link-editat utilizând bibliotecile **ACSL** și Fortran necesare, rezultând un fișier executabil (.prx)
- utilizând opțiunea **Graphic Modeller** care practic furnizează în plus o interfață grafică pentru crearea modelului, și care poate fi translatată automat în cod **ASCL**, după care procesul descris anterior se repetă

Execuția modelului obținut poate fi ulterior realizată prin comenzi furnizate în loturi (batch), sub forma unor fișiere-scenariu predefinite, sau interactiv, una câte una. În varianta interactivă, se poate experimenta mai flexibil comportarea sistemului schimbând diferite constante și urmărind comportarea acestuia.

Din punct de vedere al limbajului de simulare **ACSL**, majoritatea instrucțiunilor recunoscute de translatorul **ACSL** sunt echivalente cu instrucțiunile Fortran corespunzătoare, cu excepția faptului că **ACSL** nu are nici un fel de restricții referitoare la plasamentul pe anumite coloane a codului. Ca orice limbaj de programare, **ACSL** conține instrucțiuni (operatori) pentru:

- **realizarea diferitelor operații matematice** - fiind un limbaj de simulare care se bazează în mod fundamental pe descrierea prin ecuații matematice a sistemelor, **ACSL** trebuie să furnizeze un puternic set de instrucțiuni și operatori în acest scop, dintre care amintim: operatori booleeni, operatori de conversie în timp real (conversie analog-digital), operatori aritmetici, operatori trigonometrice (funcții trigonometrice, hiperbolice), operatori de integrare INTEG, etc.
- **vizualizarea pe diferite tipuri de grafice** – prin intermediul cărora se poate urmări evoluția diferitelor mărimi în cadrul procesului de simulare
- **structurarea și controlul programului** – sunt utilizate în acest scop instrucțiuni de tipul IF, IF-THEN-ELSE, DO, precum și instrucțiuni de asignare, declarare a diferitelor variabile și constante, etc.
- **lucrul cu fișiere** – pentru stocarea datelor obținute în urma simulării
- **alte instrucțiuni și operatori specifici** – din această categorie fac parte operatori tip regulator generic (P, PI, PD, PID), operatori neliniari: (comutator logic, comutator logic, zonă moartă, histereză, limitare, discretizare, etc.), operatori liniari (întârziere, amplificare, funcții de transfer generice de ordinul I și II, etc.), operatori sursă (treaptă, rampă, constantă, puls, etc.), operatori pentru generare numere aleatoare (uniform distribuite, distribuție Gauss), etc.

Practic însă, operatorii de integrare reprezintă inima limbajului de simulare **ACSL**. Chiar dacă limbajul de simulare realizează integrarea, utilizatorul este cel care trebuie să precizeze algoritmul de integrare utilizat precum și mărimea pasului de integrare. **ACSL** pune la dispoziție mai multe tipuri de algoritmi de integrare: Adams-Moulton, Gear's Stiff, Runge-Kutta, Runge-Kutta-Fehlberg, etc. Cel mai recomandat algoritm de integrare utilizat pentru sisteme de control timp real este algoritmul Runge-Kutta de ordinul doi, deoarece este cel mai stabil și mai exact.

Astfel, pentru calculul variației în timp a valorii unei componente, limbajul de simulare realizează integrarea expresiei derivatei în raport cu timpul, începând cu o stare inițială cunoscută. Variabila timp este considerată în modelul matematic variabila independentă. Valoarea sa inițială este zero, și aceasta este incrementată cu o valoare egală cu pasul de integrare ales. Eficiența unei simulări este direct influențată de complexitatea sistemului precum și valoarea pasului de integrare.

Astfel, structura generală a unui program sursă **ACSL** are următoarea formă :

```
PROGRAM
  INITIAL
    instrucțiuni care sunt executate
    înainte de începerea rulării programului
    variabilele de stare nu conțin încă condițiile inițiale
  END
  DYNAMIC
    DERIVATIVE
      instrucțiuni de integrare continuă
    END
    DISCRETE
      instrucțiuni executate la momente de timp
      specificate
    END
    instrucțiuni executate la fiecare interval
    de comunicare
  END
  TERMINAL
    instrucțiuni executate după rularea programului
  END
END
```

Astfel, se observă că programul începe secvențial cu secțiunea **INITIAL**, secțiune în care se fac calculele dinainte de rulare, respectiv variabilele de stare sunt inițializate cu valorile corespunzătoare sau sunt calculate unele condiții inițiale; practic orice variabilă care nu își modifică valoarea în timpul rulării poate fi calculată în această secțiune.

Rutina de integrare este inițializată când se face transferul controlului la ieșirea din secțiunea **INITIAL**. Această inițializare presupune transferarea tuturor valorilor condițiilor inițiale variabilelor și evaluarea codului în secțiunile **DERIVATIVE** și **DISCRETE**. Acest lucru se realizează pentru a fi sigur că toate variabilele calculate prin program sunt cunoscute înainte de înregistrarea primelor date rezultate din execuție.

După inițializarea și evaluarea codului din secțiunile **DERIVATIVE** și **DISCRETE**, fanionul **STOP** este resetat și programul execută instrucțiunile din cadrul secțiunii **DYNAMIC**.

După evaluarea secțiunii **DYNAMIC**, este verificat fanionul **STOP**; dacă este setat se va transfera controlul secțiunii **TERMINAL**. Dacă fanionul **STOP** nu a fost setat, programul afișează valorile variabilelor specificate prin instrucțiunile **OUTPUT** sau **PREPARE** pe ecran sau în fișiere de unde ulterior pot fi afișate pe ecran.

Rutina de integrare va face integrarea pe o perioadă egală cu intervalul de comunicare (sau până la întâlnirea unei condiții de terminare) folosind instrucțiunile din secțiunea **DERIVATIVE** pentru evaluarea derivatelor variabilelor de stare. După fiecare interval de comunicare este testat fanionul **STOP**. Dacă acesta e setat se va trece la execuție secțiune **TERMINAL**, în caz contrar se reia execuția secțiunii **DYNAMIC**.

Evoluția sistemului poate fi urmărită prin intermediul evaluării unor mărimi: simularea ne furnizează o secvență de valori care formează așa numiții vectori de stare. Într-un sistem dinamic, valorile variabilelor descriu comportarea acestora în timp. Viteza de variație (derivata) fiecărei componente este exprimată în modelul matematic ca și o combinație algebrică a vectorilor de stare a componentelor (și eventual derivatele acestora). Ecuațiile trebuie să exprime modul în care viteza de variație a unei componente în timp depinde de celelalte componente precum și de factorii care acționează din exterior asupra sistemului.

Dacă sistemul ajunge după un anumit timp într-o stare de echilibru, în care derivatele componentelor sunt nule și nici o variabilă nu-și mai modifică valoarea, s-a obținut regimul staționar. De exemplu, stabilirea constantelor reguletoarelor este o aplicație în acest sens; acestea sunt stabilite astfel încât sistemul să nu fie oscilant, și să se stabilizeze în timp. Acest lucru asigură protecție la utilizarea dispozitivelor controlate (valve, motoare) și este dificil de realizat în timpul funcționării procesului [18]. Dar, după cum a fost precizat anterior, comportarea modelului poate fi analizată urmărind datele afișate pe ecran, sub formă numerică sau, dacă se dorește se pot trasa grafice care să evidențieze mai clar comportarea diferitelor mărimi, **ACSL** permițând acest lucru.

3.3.1.3. Generare automată de cod

Limbajul **ACSL** dispune de opțiunea **ACSLCode** prin intermediul căreia se generează cod C optimizat pentru aplicațiile de control în timp real. În plus, codul generat poate fi accesat de alte produse din gama **MGA (ACSL, ACSLMath, ACSLVision)**, astfel încât ulterior să poată fi realizate prelucrări și analize statistice, în afara programului de control.

3.3.2. Real-time Rational ROSE

Rational Rose reprezintă una dintre cele mai utilizate unelte de modelare la ora actuală, și care are la bază abordarea obiectuală [Rat98]. Ca și alte unelte de modelare bazate pe tehnologia orientată pe obiecte (de exemplu, **ObjectGeode**, descris ulterior), **Rose** utilizează modelarea vizuală: adică modelarea utilizând notații grafice standard. În acest caz există trei posibilități: **OMT**, **UML** și **Booch**, conversia între acestea realizându-se automat.

Este posibilă vizualizarea modelului atât din punct de vedere static (cu clase) cât și dinamic (cu obiecte), cu diferite grade de rafinare, utilizând diferite tipuri de diagrame. Întrucât diagramele sunt utilizate pentru a vizualiza diferite aspecte ale modelului, icoana reprezentând un anumit element din model poate apărea într-una sau mai multe astfel de diagrame. Cele mai importante elemente ale uneltei CASE **Rational Rose**, împreună cu o scurtă descriere a capacităților și caracteristicilor acestora vor fi evidențiate în continuare.

3.3.2.1. Mecanisme pentru dezvoltare iterativă și suport multi-utilizator

Utilizând **Rose**, întregul proces de dezvoltare a aplicației are loc prin intermediul unei secvențe de iterații. Fiecare iterație începe cu aprecierea modelului pentru a identifica situațiile critice, nerezolvate. Sunt identificate scenarii ilustrând riscurile și modelul curent este extins pentru a adresa aceste situații. Pentru a furniza dovada că aceste riscuri au fost luate în considerare, implementarea curentă este extinsă și sunt construite teste pentru scenariile mai sus introduse. Este posibil ca și modelul să evolueze după ce o anumită variantă de implementare a fost construită; în acest caz, actualizarea se va realiza de ambele părți. Când aceasta este definitivă, începe următoarea iterație.

Dezvoltarea iterativă este practică în general de echipe de ingineri software care operează în paralel, în mod tipic utilizând subsisteme din cadrul modelului pentru a partiționa munca. Pentru a se putea realiza o dezvoltare în paralel eficientă, este necesar ca fiecare să aibă propriul spațiu de lucru conținând însă toate componentele din model.

Suportul pentru programare multi-utilizator furnizat de **Rose** furnizează fiecărui programator un **workspace** privat și integrat cu ajutorul componentei numită **Configuration Management** pentru a suporta propagarea controlată a schimbărilor și menținerea integrității fiecărei categorii de clase și subsisteme în parte. Prin memorarea fișierelor asociate modelului pe un suport de memorare extern, **Rose** dă posibilitatea memorării diferitelor versiuni ale modelului și de creare a unor arhive care pot fi ulterior regăsite și eventual reutilizate.

3.3.2.2. Editorul grafic Rational Rose

Avînd în vedere scopul de a găsi erori cît mai devreme în decursul ciclului de dezvoltare al unei aplicații, o importantă caracteristică a mediului de dezvoltare o reprezintă editorul grafic. Acesta trebuie să fie un participant activ în cadrul procesului de dezvoltare: trebuie să detecteze erorile de notație din mers și să înștițeze programatorul; să țină cont de contextul existent și să permită crearea numai a construcțiilor consistente din punct de vedere al limbajului utilizat.

În plus, editorul **Rose** permite programatorului să vizualizeze, creeze, să modifice și să manipuleze toate elementele modelului. Interfața intuitivă furnizează palete, meniuri, funcții standard de tipul **drag and drop**, facilități de **undo/redo**, etc. Deoarece sunt posibile diferite vederi asupra unui model, schimbările într-una sunt reflectate automat în toate celelalte. Editorul dispune de asemenea de un **dicționar** al tuturor obiectelor curente și care menține legătura dinamică între obiectele asociate, în scopul de a localiza ușor obiectele corespondente în fiecare din reprezentările grafice posibile.

Modelul general al aplicației este descris utilizînd diferite elemente: clase, scenarii (**use-cases**), obiecte, pachete logice (**logic packages**), operații, componente, pachete de componente (**component packages**), procesoare, etc. împreună cu relațiile dintre ele. Fiecare element al modelului își are propriile proprietăți care îl identifică și îl caracterizează. Notația folosită furnizează icoane grafice pentru a reprezenta fiecare tip de element și relație.

3.3.2.3. Facilități de inginerie inversă

Ingineria inversă reprezintă procesul prin care se examinează codul sursă al unui program în scopul obținerii informațiilor legate de modalitatea de proiectare a acestuia. **Rational Rose/C++ Analyzer** poate extrage informații dintr-o sursă C++ (disponibil de asemenea pentru Java și Visual Basic) pe care le utilizează pentru a construi modelul reprezentînd structura logică și fizică a aplicației. **Rose** permite de asemenea vizualizarea și manipularea ulterioară a acestui model utilizînd notația **UML**, **OMT** sau **Booch**.

3.3.2.4. Generarea automată de cod

O altă caracteristică importantă o reprezintă generarea automată de cod direct din informațiile conținute în model. Codul generat pentru fiecare componentă a modelului este în funcție de specificarea componentei și de proprietățile modelului.

Proprietățile modelului furnizează informații specifice unui anumit limbaj necesare pentru maparea modelului într-o implementare în limbajul respectiv (C++, Java, Visual Basic).

Practic, scheletul aplicației este generat de **Rose**, bazat pe interfețele definite ale obiectelor, restul implementării este necesar să se realizeze manual. Acest lucru nu reprezintă neapărat un dezavantaj: astfel pot fi realizate anumite optimizări în cadrul procesului de codificare. Utilizarea generatorului de cod **Rose Code Generator** reduce substanțial timpul dintre proiectare și execuție, producând de asemenea fișiere sursă uniform structurate, și promovând totodată un stil de codificare consistent și comentat.

3.3.3. Verilog ObjectGeode

ObjectGeode este o altă unealtă CASE care folosește metodologia orientată pe obiecte, și care este de asemenea dedicată dezvoltării aplicațiilor timp real [Ver96]. În mod asemănător cu Rational Rose, ea constă dintr-un mediu integrat care include un editor grafic pentru crearea diagramelor OMT, MSC și SLC cu verificatoare statice și dinamice, un constructor (**builder**) de aplicație care generează cod executabil și portabil precum și mecanisme de a asigura consistența la nivel global de-a lungul întregului ciclu de dezvoltare. Cele mai importante elemente ale mediului integrat **ObjectGeode** vor fi prezentate în continuare.

3.3.3.1. Editorul grafic Object Geode

Majoritatea modelelor sunt exprimate într-o formă grafică; structurile grafice sunt verificate din punct de vedere al consistenței. De asemenea, programatorul poate utiliza verificatoarele (**checkers**) corespunzătoare pentru a verifica în orice moment respectarea regulilor **OMT**, **SLC** și **MSC**, schimbările propagându-se automat în toate reprezentările modelului. La fel ca și **Rose**, **ObjectGeode** furnizează un dicționar complet de obiecte **OMT**, **SDL** și **MSC**, menținând legăturile dinamice între obiectele asociate.

3.3.3.2. Generarea automată de cod

Generatorul de cod **OMT++ Code Generator** translatează clasele **OMT** în schelet de cod C++; definirea metodelor poate fi realizată utilizând editorul **Object Editor**, pentru a genera cod executabil complet. Pe baza modelului **SDL**, generatorul de cod poate produce cod sursă C care apelează serviciile **SDL** în cadrul unui context **real-time multitasking**.

Pentru cazul în care sistemul de operare timp real nu este proiectat să furnizeze astfel de servicii, ObjectGeode dispune de o **bibliotecă specială run-time** care furnizează o mașină virtuală SDL pentru fiecare sistem de operare în timp real. Astfel, generatorul de cod sursă C produce cod care apelează în acest caz funcțiile acestei biblioteci în locul apelurilor unui sistem de operare particular. Acest mod de lucru asigură portabilitatea aplicației pe diferite sisteme de operare în timp real.

Versiunea curentă a bibliotecii **ObjectGeode** este disponibilă în prezent pentru următoarele sisteme de operare: VRTX de la Microtec Research, VxWorks de la Wind River, PSOS+ de la Integrated Systems, OSE de la Enea Data, Chorus de la Chorus Systems precum și diferite versiuni de UNIX.

După cum a fost precizat anterior, în cazul **ObjectGeode**, se poate genera (prin furnizarea codului metodelor corespunzătoare) automat și codul complet al aplicației. Datorită acestei automatizări, este posibil ca în anumite situații codul generat să nu îndeplinească toate cerințele aplicației timp real. În scopul îmbunătățirii eficienței, performanța codului C generat poate fi optimizată prin adaptarea bibliotecii **run-time** precum și ulterior a codului sursă generat. Aceste mecanisme sunt disponibile în **ObjectGeode** prin intermediul utilizării macro-urilor.

3.3.3.3. Simulatorul ObjectGeode

În procesul de dezvoltare a sistemelor timp real, una din problemele importante care se pun rezează ajustarea software-ului pe arhitectura finală. În acest scop, **ObjectGeode** furnizează un simulator care permite simularea programului de aplicație înainte de implementarea codului sursă. Datorită nivelului de detaliere furnizat de SDL, comportarea sistemului poate fi relativ ușor simulată; de asemenea, utilizând chart-urile MSC, care permit descrierea unambiguă a comportării dorite de la sistem, acesta poate fi validat în consecință.

În plus, de-a lungul fazei de verificare, simulatorul poate de asemenea detecta dacă modelul SDL este fiabil, semnalând probleme de genul: erori aritmetice, cod fără efect, depășiri, **deadlock**-uri, **livelock**-uri.

Există trei moduri în care simulatorul poate funcționa: **simulare aleatoare (random simulation mode)**, **simulare exhaustivă (exhaustive simulation mode)** și **simulare interactivă** sau **pas cu pas (interactive step-by-step simulation mode)**. În cazul simulării aleatoare căile (behavioral paths) posibile sunt explorate aleator.

În contrast cu aceasta, modul de simulare exhaustivă necesită explorarea tuturor căilor posibile. Atunci când rulează în acest mod, simulatorul trebuie să verifice toate proprietățile necesare validării. Pentru a fi eficient, acest mod de simulare necesită însă performanțe extrem de ridicate pentru mașina pe care rulează, datorită numărului mare de căi care trebuie explorate. Dar, dacă simularea exhaustivă se termină bine, aceasta poate dovedi două dintre cele mai importante proprietăți ale sistemului în timp real: **siguranța în funcționare (safety)**, adică faptul că sistemul nu reacționează niciodată altfel decât este prevăzut, precum și proprietatea de **liveness**, adică aceea că toate comportările posibile ale sistemului au fost prevăzute.

3.4. Concluzii

În concluzie, următoarele elemente trebuie luate în considerare atunci când se proiectează o aplicație timp real:

- **diversitatea sistemelor timp real** – chiar dacă ele au anumite aspecte comune, acestea pot diferi foarte mult în ce privește dimensiunea, complexitatea, cât sunt de critice sau în ce privește mediul de execuție pe care rulează. Unele dintre acestea constă numai din câteva mii de linii de cod, în timp ce altele pot avea milioane de astfel de linii. Unele pot necesita verificarea formală din punct de vedere logic și al cerințelor temporale pentru a fi ultrafiabile, altele nu sunt atât de critice. Deci, este important pentru fiecare sistem timp real particular să se identifice cea mai potrivită metodă de proiectare și cele mai potrivite strategii de verificare și validare
- **specificarea și analiza timpului** – teoretic, analiza cerințelor temporale a unui sistem de timp real trebuie realizată de-a lungul diferitelor faze din cadrul procesului de dezvoltare, inclusiv specificarea cerințelor, proiectarea și implementarea, din punct de vedere al consistenței, completării și corectitudinii. Tehnicile de analiză existente sunt fie prea complexe fie prea limitate pentru a fi utile în toate fazele. Din acest motiv, o metodă practică des utilizată în cazul multor sisteme în timp real nu foarte critice este simularea
- **integrarea analizei de fiabilitate și toleranță la defecțiuni** – toleranța la defecțiuni este de o importanță covârșitoare în sistemele critice. Chiar dacă există la ora actuală câteva tehnici consacrate în domeniu, multe problemele legate de aplicarea practică a acestora rămân încă nerezolvate
- **componente software reutilizabile** – este general acceptat faptul că reutilizarea codului reduce costurile de dezvoltare precum și posibilitățile de eroare.

Tehnologia obiectuală pare să aducă în acest sens o contribuție importantă la obținerea de soluții pentru unele probleme dificile din domeniul sistemelor în timp real. Printre motivele care au condus la această concluzie pot fi menționate următoarele:

- obiectele sunt potrivite pentru modelarea sistemelor concurente, autonomia lor logică conduce în mod natural la ideea considerării acestora ca fiind unitatea de bază în cadrul execuțiilor concurente. Prin utilizarea obiectelor paralelismul din lumea reală poate fi exprimat într-un mod mult mai ușor și natural

- mecanismele de moștenire care sunt prevăzute în majoritatea limbajelor obiectuale încurajează utilizarea componentelor software deja testate, și care s-au dovedit a fi fiabile și sigure
- aplicațiile dezvoltate utilizând proiectarea și implementarea orientată pe obiecte sunt mai ușor de dezvoltat și de extins decât cele care utilizează abordarea funcțională, convențională

Totuși, pînă în momentul elaborării acestei lucrări, nu s-a realizat încă utilizarea tehnologiei orientate pe obiecte **pe scară largă** în proiectarea sistemelor timp real critice și complexe; este necesară în acest sens îmbunătățirea metodologiilor existente din punct de vedere al specificării, customizării, catalogării și regăsirii componentelor software. De asemenea, chiar dacă există numeroase unelte CASE disponibile, (**ObjectGeode** și **Rational Rose** par să fie unele dintre cele mai puternice în acest sens), acestea sunt deocamdată destul de slab dotate din punct de vedere al semanticii temporale. De exemplu, simulatorul **ObjectGeode** reprezintă o facilitate importantă însă, în cazul aplicațiilor în timp real distribuite complexe, utilizarea modului de simulare exhaustivă poate deveni practic imposibilă datorită gradului mare de complexitate a acesteia.

Din acest motiv, cel puțin pînă în prezent, majoritatea sistemelor timp real critice au fost și sunt dezvoltate utilizînd tehnici non-obiectuale, bazate în principal pe descompunerea funcțională. **MGA ACSL/Graphic Modeller** reprezintă în acest sens una dintre cele mai larg răspîndite unelte de modelare și simulare în domeniul sistemelor de control timp real; din acest motiv, aceasta a fost utilizată și la dezvoltarea aplicației prezentate în studiul de caz din cadrul capitolului 6.

În mod ideal, pentru dezvoltarea ulterioară a aplicațiilor de timp real, **generația următoare** de unelte CASE ar trebui să prezinte următoarele caracteristici:

- **să suporte principiile de abstractizare și reutilizare** – acest lucru a fost deja realizat cu ajutorul tehnologiei obiectuale atât în **Rational Rose** cît și în **ObjectGeode**; de asemenea, bibliotecile de componente puse la dispoziție de **MGA ACSL/Graphic Modeller** realizează ceva similar. Este de asemenea necesară introducerea în cadrul metodologiilor a posibilității de optimizare a software-ului după integrarea unor componente în scopul atingerii cerințelor de timp.
- **să utilizeze și să combine metodologii deja existente, standardizate, în loc să încerce să inventeze unele noi** – acest lucru a fost realizat cu UML, MSC și SDL atât în **Rational Rose** cît și în **ObjectGeode**

- **să asiste proiectantul de-a lungul tuturor fazelor de dezvoltare** - acest lucru a fost realizat în atît să permită analiza cerințelor temporale ale sistemului din punct de vedere al completării, corectitudinii și al predictabilității – acesta este punctul slab al uneltelor CASE actuale, inclusiv cele prezentate. Parțial acest lucru este rezolvat în **MGA ACSL/Graphic Modeller** și **ObjectGeode** cu ajutorul simulării; dar chiar dacă simularea reprezintă o unealtă extrem de puternică și utilă, ea nu poate dovedi predictabilitatea în cazul oricăror sisteme timp real
- **să asiste programatorul** la definirea mecanismelor de detectare și recuperare a erorilor

În concluzie, uneltele existente în prezent așa numite timp real nu au ajuns pînă în momentul elaborării acestei lucrări la maturitatea care să le permită să fie utilizate pe scară largă în procesul de proiectare a aplicațiilor timp real. În viitor însă, extinderea acestora cu facilitățile prezentate mai sus ar putea conduce însă la existența unor unelte CASE care să fie aplicabile pentru toate categoriile de astfel de aplicații.

4. CONTROLLER-E PROGRAMABILE ÎN APLICAȚIILE DE CONTROL TIMP REAL

4.1. Specificul PLC-urilor

Teoretic, aproape orice tip de calculator poate fi utilizat pentru aplicații de control timp real. Totuși, avînd în vedere specificul unor astfel de sisteme timp real, care după cum am precizat în capitolele anterioare, se bazează pe calculatoare încorporate, este bine să se utilizeze calculatoare specializate în acest scop. Din această categorie fac parte microcomputerele single-chip-uri, microcontroller-ele, procesoarele digitale specializate (procesoare digitale rapide, calculatoare paralele: transputere, calculatoare RISC pentru utilizarea în aplicații critice), etc [AW88]. Acestea pot fi mult mai ușor adaptate cerințelor aplicației și utilizarea lor conduce la o reducere considerabilă a efortului de dezvoltare a sistemului de control timp real în cadrul cărora sunt încorporate.

În cazul unui calculator convențional datele sunt în general preluate de la tastatură iar rezultatele sunt vizualizate pe ecran sau la imprimantă. Față de acesta, calculatoarele utilizate pentru controlul proceselor în timp real sunt foarte diferite, în primul rînd datorită faptului că acestea trebuie să interacționeze cu un număr foarte mare și variat de dispozitive de I/O. Practic, un sistem de control care funcționează în timp real de dimensiuni foarte reduse poate avea un număr de pînă la 20 conexiuni la semnale de I/O; cifre de ordinul a aproximativ 200 de conexiuni sunt absolut normale pentru un sistem de dimensiuni medii.

Chiar dacă este posibilă conectarea acestei cantități de semnale la un calculator convențional, aceasta implică realizarea unor conexiuni non-standard precum și existența unor dispozitive auxiliare externe. În mod similar, chiar dacă programarea pentru această mare cantitate de semnale de I/O poate fi realizată în limbajele convenționale cum ar fi Pascal, Basic sau C, acestea ar fi utilizate cu un scop pentru care nu au fost inițial proiectate astfel încît rezultatul poate fi destul de incert [Sto92]. De asemenea, operînd în timp real, timpul este o componentă distinctă a strategiei de control: secvențe ca: **deschide valva ; așteaptă 2,5 s ; pornește pompa pentru o perioadă de 3 min**, etc. , sunt greu de scris utilizînd limbajele de programare convenționale [SMY00].

Alte cerințe suplimentare, necesare pentru ca un calculator să poată fi utilizat pentru aplicațiile în timp real pot fi sumarizate astfel [SC97]:

- trebuie proiectat astfel încât să poată funcționa în mediu industrial, cu tot ceea ce implică acesta referitor la condițiile de temperatură, umiditate, praf, etc;
- trebuie să fie capabil să utilizeze semnale de I/O digitale la voltajele întâlnite în industrie (de la 24V pînă la 240V), precum și semnale de I/O analogice; de asemenea, extinderea I/O trebuie să poată fi realizată simplu;
- limbajul de programare trebuie să fie cît mai simplu, ca să poată fi înțeles de persoane cu relativ puțină pregătire în domeniu; programele trebuie să poată fi modificate ușor, în funcție de schimbările care apar în cadrul procesului controlat;
- trebuie avut în vedere că, într-un sistem de control timp real, multe din erorile care apar sunt nu atît erori de programare cît erori rezultate din defecțiunea unor anumiți senzori, switch-uri, etc., astfel încît trebuie să fie posibilă detectarea ușoară a unor astfel de erori de către calculator;
- calculatorul trebuie să fie suficient de rapid pentru a realiza controlul în timp real: acest lucru depinde, după cum a fost precizat anterior atît de viteza calculatorului folosit dar și de timpul de răspuns caracteristic aplicației;

Avînd în vedere cerințele de mai sus, pentru controlul proceselor industriale complexe, au fost dezvoltate în ultimii ani **sisteme speciale de calculatoare** cunoscute sub numele de **Controller-e Programabile (Programmable Logic Controller - PLC)**, care permit realizarea unor sisteme de control industrial integrate, complexe, și care să corespundă cerințelor funcționale tot mai crescînde. Acestea sunt proiectate să opereze în medii industriale, cu tot ceea ce implică acestea din punct de vedere al temperaturii, umidității, zgomotelor și vibrațiilor [Hoh96][Rul97]. Există în prezent o multitudine de firme producătoare de astfel de PLC-uri, dintre care cele mai reprezentative în domeniu sunt:

Allen Bradley	-	PLC-2, PLC-3, PLC-5, SLC-500
Siemens	-	Sinec1, Sinec2
AEG Modicon	-	184, 384, 484, 584, 884, 984
Texas Instruments	-	TI325, TI330, etc.

Termenul de **sisteme de calculatoare** utilizat mai sus provine de la ideea că, pe lîngă calculatorul propriu-zis (PLC-ul), producătorii furnizează și o serie de alte echipamente complementare, în scopul minimizării la maximum a costurilor asociate dispozitivelor și operațiilor de interfațare.

4.1.1 Caracteristici hardware

Controller-ele programabile constituie o clasă aparte de calculatoare utilizate în mare măsură în cadrul aplicațiilor de control industrial timp real. Din punct de vedere al arhitecturii, PLC-urile sunt o categorie specială de calculatoare utilizată pentru controlul operării proceselor prin intermediul unui program memorat și utilizând în același timp feedback-ul primit de la dispozitivele de I/O [Par95] [Ben94]. Este alcătuit în principal din două părți: **unitatea centrală** și **interfața pentru I/O**, prin intermediul căreia controller-ul este legat la diversele dispozitive și senzori exteriori acestuia (Figura 10).

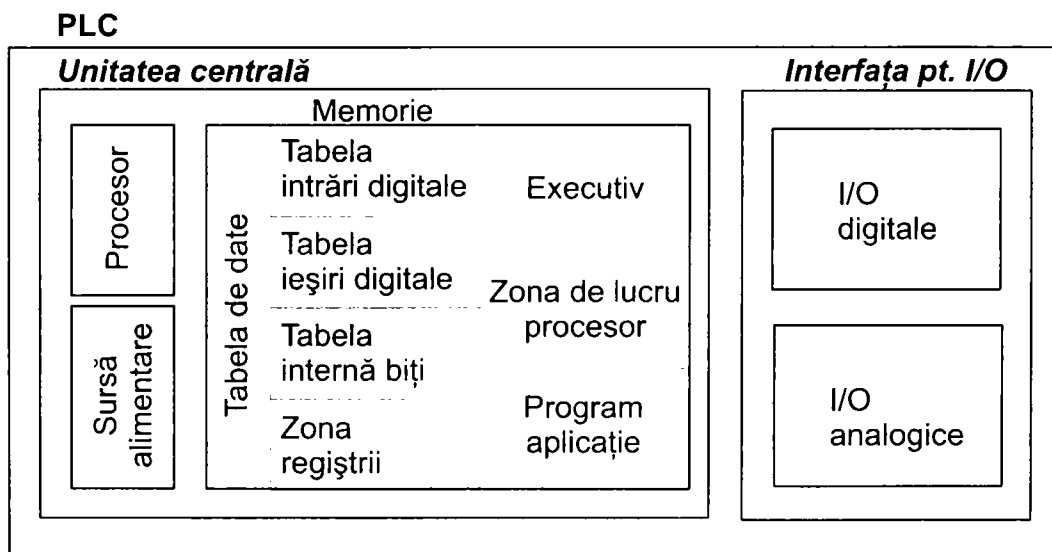


Figura 10: Structura hardware a unui PLC

4.1.1.1. Unitatea centrală

- **Procesorul** - realizează toate operațiile matematice și prelucrările de date prin execuția unei colecții de programe din memorie. În general, această colecție constă dintr-un program *supervizor*, care se află permanent în memorie și programe *de aplicație*. Programul supervizor (executivul) permite realizarea comunicării cu procesorul via un dispozitiv de programare sau alt periferic, managementul memoriei, monitorizarea I/O, diagnosticarea defecțiunilor hard și execuția programelor utilizator. Organizarea memoriei precum și modul în care programele de aplicație sunt executate sub controlul executivului sunt două caracteristici care disting PLC-urile de calculatoarele obișnuite.

- **Memoria** - toate PLC-urile au memorie alocată pentru executiv, pentru zona de lucru procesor, pentru tabela de date și pentru programul de aplicație. Instrucțiunile și toate datele utilizate de procesor pentru realizarea funcției de control sunt memorate în **zona de memorie pentru programul de aplicație** respectiv **zona de memorie pentru tabela de date**, care împreună formează **zona de memorie destinată aplicației**. Fiecare controller are o cantitate maximă de memorie destinată aplicațiilor, care este parte a memoriei totale specificată pentru controller. **Tabela de date** este în mod funcțional divizată în părți separate pentru **intrări digitale** (Input Table), **ieșiri digitale** (Output Table), **tabela internă de biți (flag-uri)** precum și **zona de memorie pentru registri** utilizată pentru memorarea valorilor numerice analogice.

Astfel, **tabela pentru intrări digitale (Input Table)** constă un șir de biți în care se memorează starea fiecărei intrări digitale care este conectată către sistemul de I/O. **Tabela pentru ieșiri digitale (Output Table)** la rândul ei constă dintr-un șir de biți prin intermediul cărora se controlează ieșirile conectate la sistemul de I/O. **Tabela internă de biți (flag-uri)** reprezintă zona de memorie alocată pentru variabilele binare utilizate în cadrul programului de aplicație. **Zona de memorie pentru registri (Storage registers Area)** este utilizată pentru memorarea valorilor numerice care pot fi de trei categorii: de intrare (registri de intrare), de ieșire (registri de ieșire) și respectiv registri interni, utilizați pentru memorarea diferitelor valori numerice în cadrul programului de aplicație.

4.1.1.2. Interfața pentru I/O

Interfața pentru I/O reprezintă sistemul prin intermediul căruia diversele dispozitive externe (senzori, actuatori, etc.) sunt conectate la controller. Scopul ei este acela de a realiza condiționarea diferitelor semnale transmise către actuatori respectiv recepționate dinspre senzori. Prin intermediul acestei interfețe, unitatea centrală poate sesiza stări și/sau măsura diverse mărimi din cadrul procesului controlat: poziții, niveluri, temperaturi, presiuni, tensiuni, curenți, etc. Pe baza acestora pot fi generate comenzi pentru controlul diferitelor dispozitive, ca de exemplu valve, motoare, pompe, etc., sau pentru semnalarea și/sau tratarea alarmelor.

- **interfața de I/O digitală (discretă)** - reprezintă cel mai uzual tip de interfață de I/O. Aceasta se utilizează pentru conectarea dispozitivelor care transmit sau primesc semnale de tip boolean;
- **interfața de I/O analogică (numerică)** - spre deosebire de cea discretă, permite transmiterea respectiv recepționarea semnalelor pe mai mulți biți, fie sub formă paralelă (BCD), fie serială, sub forma unui tren de pulsuri. În principiu, grupul de biți transmis sau

recepționat constă din reprezentarea digitală a unei mărimi analogice.

Cantitatea maximă de semnale de I/O, și implicit a numărului de dispozitive de I/O conectate pentru un anumit tip de controller este dependentă de cantitatea de memorie asociată tabelii de date. Astfel, pentru cazul sistemelor de control timp real de o complexitate mare, care interacționează cu un număr mare de dispozitive de I/O (de ordinul sutelor), utilizarea unui singur controller nu este în cele mai multe cazuri suficientă, datorită numărului relativ mare de semnale de I/O de prelucrat. În această situație se vor utiliza mai multe controller-e legate în rețea. O astfel de abordare este benefică și din punctul de vedere al timpului de procesare: se obține astfel reducerea acestuia prin împărțirea încărcării aplicației în mai multe task-uri și asignarea acestora pe mai multe procesoare.

4.1.1.3. Modul de operare al programului din PLC

Cînd sistemul pornește, se inițiază execuția programului executiv. În cadrul acestuia procesorul citește toate intrările, memorează valorile acestora în tabela de date corespunzătoare, asociată imaginii intrărilor, și apoi se lansează programul de aplicație. Rezultatele generate în decursul execuției aplicației sunt memorate în tabela de date asociată imaginii ieșirilor. În momentul terminării aplicației, procesorul actualizează toate ieșirile PLC-ului pe baza tabelii de date asociate acestora. Procesul de citire a intrărilor, executării programului și actualizării ieșirilor este cunoscut sub denumirea de **proces de scanare**, iar timpul necesar realizării acestuia este cunoscut sub denumirea de **timp de scanare (scan time)** [War88] [Boa93].

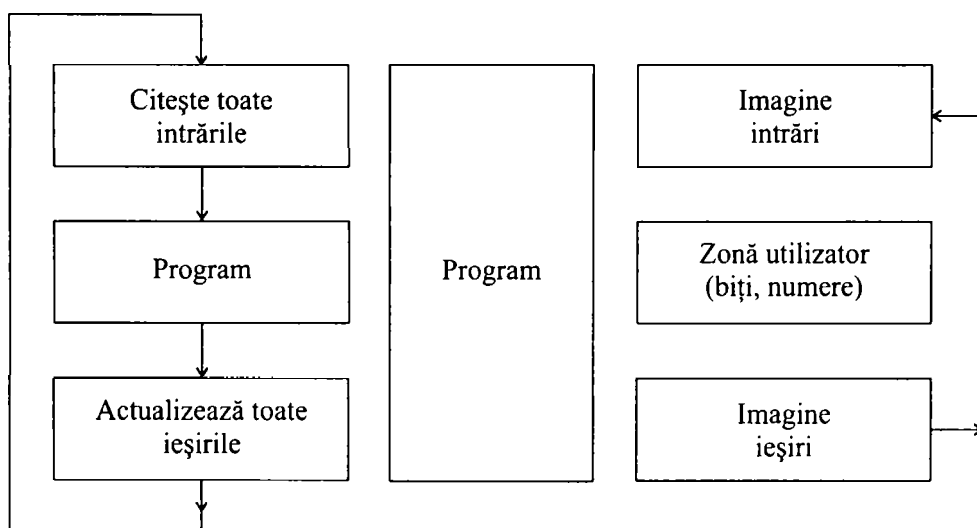


Figura 11: Perioada de scanare și organizarea memoriei în PLC

Toți producătorii de PLC-uri furnizează o valoare pentru acest timp, de obicei sub forma timpului maxim de execuție ce corespunde fiecărui 1KB de program. În consecință, ca și modalitate de operare, programul din PLC nu citește intrările pe măsură ce acestea apar în program, deoarece aceasta ar fi o risipă de timp, ci deodată, la începutul buclei de scanare. Acestea sunt apoi stocate în memorie, creîndu-se așa numita imagine a intrărilor (Figura 11). Atunci cînd programul are nevoie de valoarea unei anumite intrări, o citește de la locația corespunzătoare imaginii sale din memorie, la valoarea pe care aceasta a avut-o la începutul perioadei de scanare curente [Par95].

În mod analog se tratează și ieșirile: acestea nu se schimbă instantaneu ci numai după ce zona de memorie corespunzătoare imaginii acestora este schimbată de program. La sfîrșitul perioadei de scanare toate ieșirile sunt actualizate simultan.

Un aspect deosebit de important legat de sistemele de control timp real, caracteristic PLC-urilor, îl reprezintă faptul că perioada de scanare poate avea efect asupra performanțelor programului prin aceea că ea poate cauza întîrzieri nedorite dacă logica programului este inversă scanării: un exemplu de acest fel este ilustrat în Figura 12a).

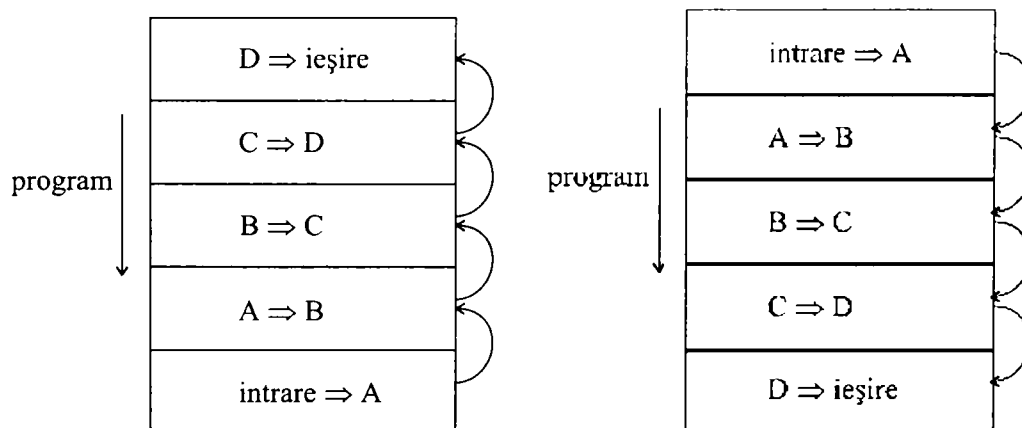


Figura 12: a). Logica programului este inversă scanării

b). Logica programului este în același sens cu scanarea

Astfel, în cadrul acesteia o intrare (input), cauzează o ieșire (output), trecînd prin fazele intermediare A, B, C, D. În forma de mai sus de realizare a programului, sunt necesare 5 perioade de scanare pentru actualizarea corespunzătoare a ieșirii după primirea semnalului de intrare. Astfel de construcții trebuie evitate în scrierea modulelor, utilizîndu-se secvența corectă, ilustrată în Figura 12b).

În acest caz este necesară doar o singură perioadă de scanare pentru actualizarea ieșirii corespunzătoare. În cazul exemplului de mai sus greșeala poate părea evidentă, dar într-un program complex, de multe ori instrucțiunile care trebuie urmate de la primirea unui semnal de intrare și pînă la actualizarea unei anumite ieșiri nu apar în linii consecutive, astfel încît sunt mult mai greu de depistat. Astfel, în procesul de testare a modulelor trebuie avută în vedere urmărirea și înlăturarea pe cît posibil a situațiilor de acest gen, prin inspectarea atentă a codului acestora.

Trebuie menționat aici că, în general, producătorii de PLC-uri, furnizează facilități pentru a reduce pe cît posibil influența perioadei de scanare [Lev95]: tipice în acest sens sunt modulele de I/O de mare viteză precum și posibilitatea de a secționa un program în părți care să utilizeze perioade de scanare diferite. Utilizarea sau nu a acestor facilități sunt aspecte care trebuie decise în cadrul procesului de proiectare, funcție de cerințele aplicației de control propriu-zise. În plus, datorită faptului că această metodă bazată pe scanare periodică poate fi necorespunzătoare în aplicațiile care necesită citirea unor intrări foarte rapide, unele PLC-uri furnizează instrucțiuni software care permit întreruperea scanării continue în scopul citirii imediate a unei intrări și actualizării imediate ieșirilor corespunzătoare.

4.1.2. Arhitecturi pentru sisteme de control automat timp real bazate pe PLC-uri

Sistemele de control timp real pot sau nu să fie și sisteme distribuite: acest lucru depinde de dimensiunea procesului controlat (cap. 4.1.1) precum și de extinderea lui geografică. Astfel, structura hardware al unui astfel de sistem de control timp real poate deveni extrem de complexă; un model simplificat utilizat pentru sistemele de control în timp real și care se potrivește cu majoritatea situațiilor reale este așa numitul model pe 5 niveluri [GF86][RD89].

Utilizarea unei astfel de arhitecturi pune probleme deosebite în ceea ce privește comunicarea (Figura 13). Analizând structura modelului din figură, se observă că cerințele sunt diferite pentru diferitele niveluri. Astfel, pentru nivelurile superioare, funcții tipice sunt: transfer de fișiere și programe, editare de la distanță, achiziție de date de pe nivelurile inferioare, controlul supervisor al nivelurilor inferioare, poșta electronică, etc. Pe aceste niveluri se manevrează cantități mari de date; în cadrul acestora, în mod normal pot fi acceptate întârzieri.

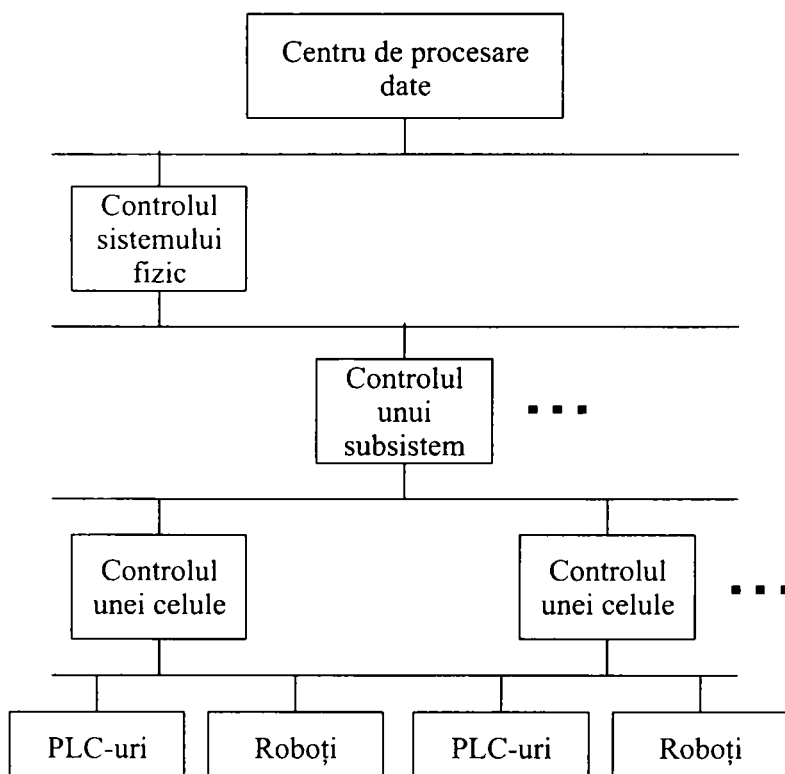


Figura 13: Modelul simplificat al unui sistem de control timp real distribuit

În schimb, pe nivelurile inferioare, transmisia de date trebuie să fie foarte eficientă. Viteza este importantă, dar numai în măsura în care aceasta corespunde cerințelor aplicației: nu sunt necesare viteze de transmisie foarte mari dacă procesul controlat este lent. Cantitatea de informație care se manevrează în acest caz este mică, dar critică din punct de vedere al determinismului [Rod93].

O problemă care rezultă în mod firesc în cazul sistemelor distribuite este aceea a incompatibilității dintre calculatoarele produse de diferiți producători. Pe nivelurile superioare, utilizând protocoale **OSI (Ethernet și TCP-IP)**, această problemă este rezolvată; acestea însă nu pot fi utilizate pentru comunicarea pe nivelurile inferioare, deoarece modelul OSI (pe șapte niveluri) introduce întârzieri nepermise datorită numărului mare de niveluri. Pentru a îmbunătăți viteza în acest caz, tendințele actuale sunt orientate în două direcții:

- să se dezvolte un protocol redus, care conține numai câteva din nivelele protocolului OSI inițial (fizic - 1 , legăturii de date - 2 și aplicație - 7), celelalte niveluri trebuind să fie implementate de utilizator în cadrul aplicației;
- să se renunțe la modelul OSI și să se dezvolte protocoale speciale pentru comunicarea între dispozitivele de pe nivelele inferioare. Un exemplu în acest caz îl reprezintă așa numitul **Real Time Manufacturing Message Specification RTMMS** [RIZ90], și care furnizează mecanisme standardizate pentru transmiterea de mesaje de-a lungul unui proces industrial.

Practic, pentru realizarea unui sistem timp real distribuit, pot fi utilizate trei tipuri conceptuale de rețele [Sta92a] (Figura 14):

- **rețeaua pentru dispozitive (device network)** : oferă acces rapid la datele sistemului fizic unei game largi de dispozitive; de exemplu, rețeaua **Universal Remote I/O** sau **DeviceNet** [Roc95]
- **rețeaua de control (control network)** : permite dispozitivelor inteligente de automatizare să folosească în comun informațiile necesare controlului supervisor, interfeței utilizator, configurării dispozitivelor de la distanță, coordonării celulelor de lucru, etc; de exemplu, rețeaua **Data Highway Plus** [Roc95]
- **rețeaua informațională (information network)** : dă acces sistemelor de calculatoare de pe nivelurile superioare la datele sistemului fizic de bază; de exemplu, rețeaua de tip **Ethernet sau 802.3** [Roc95]

Unele aplicații pot necesita doar un singur tip de rețea, pe cînd altele pot avea nevoie de două sau de chiar toate cele trei tipuri.

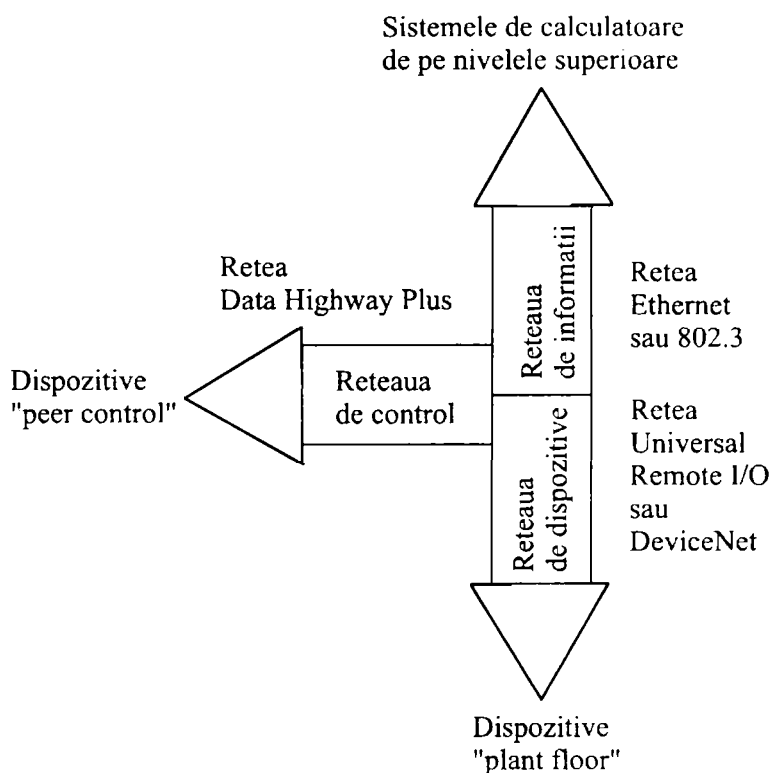


Figura 14: Tipuri conceptuale de rețele

Indiferent de cît de simple sau de complexe sunt cerințele, este de dorit ca dispozitivele din sistem să poată comunica prin intermediul acestor rețele, și, în plus, să se realizeze și o comunicare între diferitele tipuri de rețea, cu un minim de interfațare. Din aceste motive, producătorii de controller-e programabile au realizat că funcționalitatea unui sistem de control integrat precum și costul total sunt, în mare măsură, dictate de ușurința cu care se pot combina componentele acestuia. Din acest motiv, pe lîngă controller-ele propriu-zise, producătorii furnizează și o gamă completă de componente auxiliare și de interfațare, de la butoane de comandă și senzori și pînă la medii software integrate [Con93]. Astfel, se poate asigura o mai bună "curgere" a informației în sistem precum și un control mai strîns al acestuia, sistemul fiind caracterizat prin ceea ce se numește o **arhitectură deschisă (open architecture)**.

4.1.3. Caracteristici software

Dezvoltarea aplicațiilor utilizînd PLC-uri necesită în principal realizarea configurării arhitecturii PLC-ului, adică selecția numărului, tipului și adreselor utilizate pentru I/O precum și scrierea și depanarea programului de aplicație propriu-zis. Programarea PLC-urilor este realizată în general în mod grafic sau

text, utilizând limbaje specifice, dedicate [Cri90]. De exemplu, pentru cazul aplicațiilor de control timp real a proceselor industriale, gama de facilități necesară fiind relativ mică și predictibilă, nu este lipsit de sens și nici prea dificil să i se dedice un software de aplicație sau un limbaj special. Majoritatea mediilor de dezvoltarea actuale permit scrierea programelor în mai mult de un singur limbaj [Mic90], cu posibilitatea executării pas cu pas a codului. În plus, unele dintre aceste medii de dezvoltare oferă și suport pentru realizarea cablajelor pentru I/O și/sau generarea codului executabil.

Din punct de vedere al software-ului utilizat pentru dezvoltarea aplicațiilor timp real, funcție de capacitățile și dimensiunile controller-ului, există la ora actuală trei abordări posibile [Ben94], și anume:

- software **table-driven**
- software **block-structured**
- limbaje specializate

4.1.3.1. Software table-driven

Structura unui sistem **table-driven** este prezentată în Figura 15.

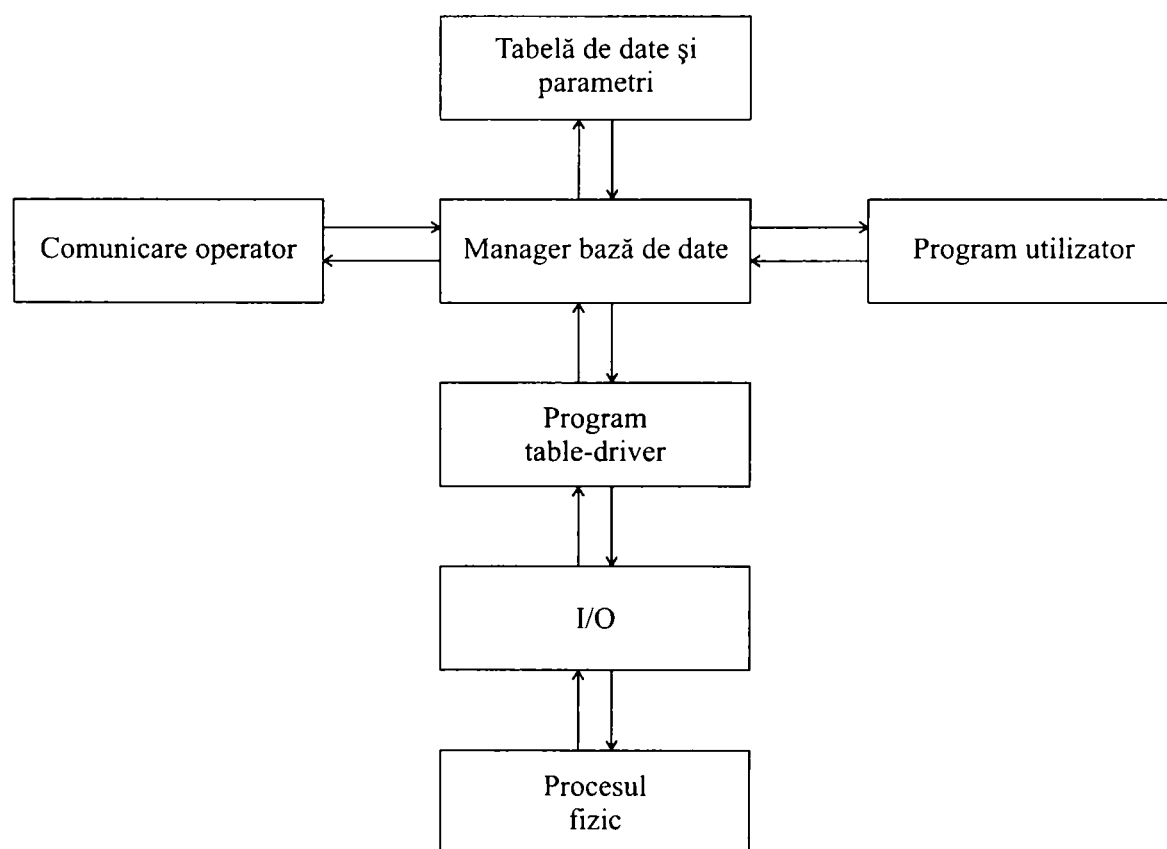


Figura 15: Structura unui sistem table-driven

După cum se observă din Figura 15, un astfel de sistem conține, în principal, un program de control care comunică cu o tabelă de date și parametri. Programul de control trebuie să conțină toate tipurile de control (bucle, I/O, etc.) care se dorește să fie folosite; acesta se inserează la configurarea sistemului și nu mai poate fi schimbat de utilizator. În schimb, utilizatorul poate modifica datele și eventual parametri prezenți în structurile de control prin intermediul accesului la tabela de date. Anumite sisteme permit utilizatorilor să scrie ulterior programe de aplicație, într-un limbaj uzual (Fortran sau Basic) care să interacționeze cu programul-ul de control.

4.1.3.2. Software block-structured

Dacă software-ul **table-driven** este foarte simplu de utilizat, totuși acesta este foarte restrictiv, în sensul că programul de control este predefinit la configurare. În acest sens, varianta **block-structured** aduce un plus de flexibilitate prin utilizarea unor biblioteci de blocuri de funcții [BGM95] (rutine de scanare, rutine pentru controlul PID, rutine pentru ieșiri, funcții aritmetice, blocuri pentru scalare, rutine pentru alarme și afișare) precum și a unor modalități de manipulare a acestor blocuri de funcții. Astfel, se poate programa o schemă de control prin interconectarea diferitelor blocuri de funcții și introducerea parametrilor corespunzători pentru fiecare bloc. Aceasta se realizează în mod curent utilizând un terminal pe care se pot reprezenta grafic conexinile între blocuri.

Tabelul 4: Blocuri de funcții în controller-e programabile (PLC-uri)

Funcții software:	De bază	Avansate	De proces
	Booleene Timer-e Counter-e Mutări de date Comparații Aritmetice	Transferuri de blocuri Salturi Fișiere Rotiri de registri Secvențiere Virgulă mobilă	Semnalizare Monitorizare Control PID Comunicare Achiziție Afișare
Funcții hardware:		PLC-uri mici	PLC-uri mari
	Intrări Ieșiri Timer-e Counter-e Program utilizator Timpul / cilclu (per1K)	16 16 8 8 2K 100 ms	4096 4096 256 256 48 K 1 ms

Astfel, pentru aplicațiile de control timp real, care interacționează de regulă cu o mare diversitate de dispozitive de I/O și conțin numeroase bucle de reglare se preferă utilizarea controller-elor mari, care dispun de un număr relativ mare de I/O precum și de memorie semnificativ mai mare pentru programele de aplicație (Tabelul 4). În plus, este de dorit ca pentru astfel de sisteme de control să fie disponibile și funcțiile software de proces (în mod special PID). Criteriul esențial însă care stă la baza alegerii tipului de PLC utilizat în cadrul unei aplicații de control timp real, pe lângă numărul de I/O și memorie, îl reprezintă timpul unui ciclu/K de program.

4.1.3.3. Limbajele specializate

Limbajele specializate pentru diferite tipuri de aplicații, variază de la simple interpretoare, care permit interacțiunea cu sisteme de tip “table-driven” sau “functional-block” la limbaje complexe de nivel înalt, care trebuie compilate. În prezent există o largă varietate de limbaje de programare specifice pentru PLC-uri care utilizează fie seturi de instrucțiuni simbolice, fie instrucțiuni în limba engleză, în mod analog cu majoritatea limbajelor de programare tradiționale. Cele mai utilizate limbaje specializate pot fi grupate în următoarele categorii [Boa93]:

- limbaje care utilizează diagrame tip ***ladder***
- limbaje care utilizează mnemonice booleene
- limbaje care utilizează blocuri de funcții

Combinăția tipică ce apare într-o largă varietate de PLC-uri o reprezintă cea între diagramele ladder și blocurile funcționale. Blocurile funcționale sunt instrucțiunile care permit utilizatorului să programeze funcții mult mai complexe utilizând formatul *ladder*: această combinație conduce la existența în principal a 5 categorii de instrucțiuni în cadrul limbajului, și care includ operații de tipul: ***releu (relay type)***, ***timer/counter***, ***aritmetice***, ***manipulări/transfer de date***, precum și ***operații de control al programului***.

Simbolurile de bază utilizate în cadrul acestor categorii de limbaje sunt ***contactele (contacts)*** și ***conductoarele (coils)***, iar programarea se realizează la nivel de ***rung***, asimilat în acest caz cu o linie de program (Figura 16).

Astfel, un rung constă dintr-un set de condiții de intrare, reprezentate printr-o combinație de contacte, precum și o instrucțiune de ieșire, la sfârșitul rung-ului, reprezentată printr-un conductor, care va fi sau nu ***energizată*** funcție de condițiile din intrare. Fiecare contact sau conductor este referit printr-o adresă

care identifică intrarea evaluată sau ieșirea controlată, aceste adrese referind practic o locație din tabela de intrare respectiv din tabela de ieșire a PLC-ului.

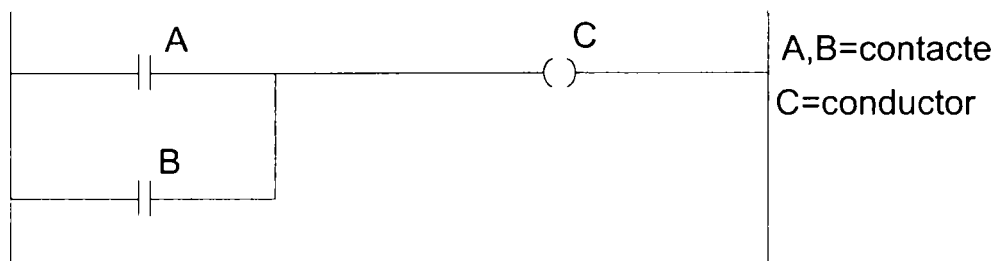


Figura 16: Structura unui rung: if A or B then C

Programele dezvoltate utilizând limbajele specializate sunt în general construite pe o structură modulară, fiind împărțite în mai multe blocuri funcționale care sunt văzute ca și subrutine apelate din programul principal. Avantajul subrutinilor rezultă bineînțeles într-o minimizare a efortului de programare și realizarea unor programe mai ușor de urmărit. De asemenea, pot fi concentrate în subrutine separate prelucrări pentru subsisteme asemănătoare (sau chiar identice), în măsura posibilităților, sub o formă paramerizată.

Un exemplu de astfel de limbaj specializat, utilizat pe larg în cadrul controller-elor de tip Allen Bradley [Roc94a], este **APS (Advanced Programming Software)** [Roc94b] [Roc94c]. Acesta îmbină caracteristicile ladder cu programarea funcțională și este deosebit de potrivit în utilizarea pentru sistemele de control timp real, el incluzând, pe lângă funcțiile de bază, și toate funcțiile software de proces prezentate în Tabelul 4.

De exemplu, una dintre cele mai importante funcții de proces pusă la dispoziție de **APS** o reprezintă funcția PID prin intermediul căroră se poate realiza controlul **PID** (proporțional-integral-derivativ) al marimilor controlate prin intermediul diferitelor regulatoare [PH96], printr-o simplă modificare a parametrilor unui regulator general.

Pe lângă facilitățile de limbaj propriu-zis, **APS** furnizează și de un mediu de dezvoltare al programelor deosebit de prietenos; câteva dintre caracteristicile puse la dispoziție de către acesta sunt următoarele:

- permite crearea, editarea și monitorizarea deosebit de facilă a programelor atât on-line și off-line
- permite forțarea biților de intrare/ieșire în scopul testării anumitor scenarii

- permite realizarea diferitelor tipuri de căutări
- afișează documentația programului atât on-line cât și off-line
- permite stocarea programelor pe disc în scopul arhivării sau al transferului (downloading) către alte procesoare
- permite tipărirea la imprimantă a textului sursă al programului

APS permite programarea procesoarelor Allen Bradley din gama **SLC 500** utilizând un terminal grafic sau orice calculator personal compatibil IBM PC. În cazul utilizării mediului Microsoft Windows, **APS** operează în cadrul unei ferestre DOS, astfel încât poate rula în cadrul aceleiași sesiuni de lucru cu alte programe.

Multe PLC-uri, printre care și Allen Bradley SLC-5/03, permit de în plus împărțirea programului în blocuri executabile și prin care se permite saltul peste anumite linii (rung-uri) de program, dacă instrucțiunile de la începutul blocului sunt adevărate (instrucțiunea MCR - Master Control Relay); această facilitate poate îmbunătăți timpul de scanare pentru aplicațiile care necesită o viteză sporită. Totuși, utilizarea unor astfel de instrucțiuni este periculoasă, în sensul că ea poate crea confuzii în procesul de întreținere a programului, dacă acesta nu este documentat corespunzător.

În plus, ca și o observație, trebuie menționat că **anumite procesoare**, ca de exemplu SLC-5/02 dispun de instrucțiuni suplimentare asociate cu funcția STI (Selectable Timed Interrupt), pentru activarea (STE Selectable Timed Enable), dezactivarea (STD Selectable Timed Disable) sau inițierea (STS Selectable Timed Start) acestuia. Există, de asemenea, și instrucțiunea INT, asociată cu întreruperile de I/O care poate fi utilizată în cazul în care se dorește o viteză de reacție sporită, și care nu poate fi atinsă utilizând ciclul obișnuit de scanare.

În concluzie, se poate spune că dezvoltarea unui program de aplicație pentru un sistem timp real utilizând PLC-uri implică mai mult decât simpla scrierea acestuia; asignarea adreselor pentru I/O și elementele interne, testarea funcționării corecte a acestuia precum și optimizarea acestuia sunt pași care trebuiesc parcurși înaintea adoptării unei soluții definitive [Shi96].

4.2. Paradigma Cy-Clone

4.2.1 Concepte fundamentale privind abordarea ciclică

În ultimii ani a existat o rețineră în utilizarea abordării ciclice în sistemele timp real. Acest lucru se datorează în principal faptului că simplificarea proprietăților fundamentale nu prezintă o provocare semnificativă pentru domeniul academic. Aplicațiile practice au dovedit însă că această viziune este total greșită pentru că, pînă acum utilizarea abordării ciclice poate reduce semnificativ complexitatea aplicațiilor.

Un model pe care îl propun în acest sens [Law92] este așa numitul **Cy-Clone (Clone of the Cyclic Paradigm)**, și el se bazează pe principiul *resource adequacy* prezentat în cadrul paragraful 2.1.4. **Ideea de bază a paradigmei Cy-Clone este aceea că există suficiente resurse în sistem astfel încît să se garanteze că toate operațiile vor fi executate în timp util.**

Bazat pe această paradigmă, logica aplicației de programat trebuie împărțită în patru părți, care se vor repeta periodic, cu perioada dT , după cum este ilustrat în Figura 17.

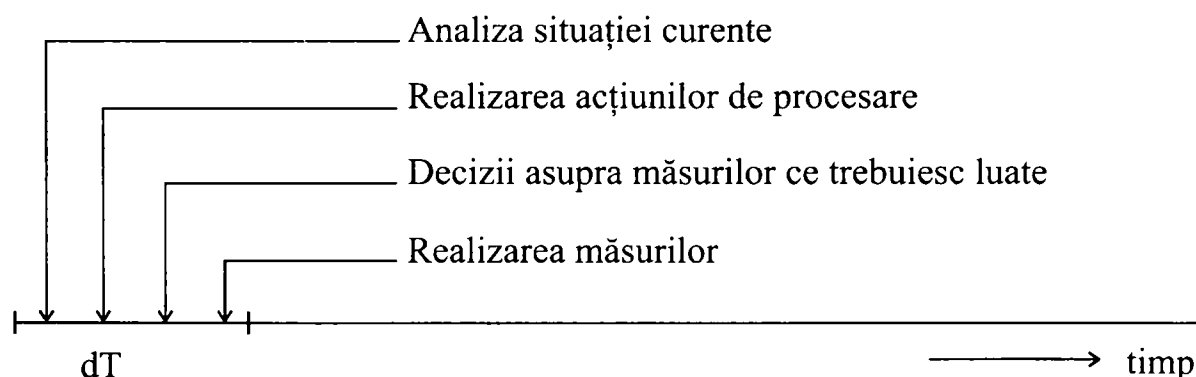


Figura 17: Ciclul de bază conform paradigmei **Cy-Clone**

Proprietatea fundamentală de timp în acest caz o reprezintă intervalul dT , care stabilește frecvența execuțiilor ciclice. Intervalul dT trebuie să fie suficient de lung pentru a permite terminarea tuturor operațiilor aferente unei aplicații în cadrul unei perioade, dar și suficient de scurt pentru a asigura stabilitatea și cerințele de timp ale sistemului; în consecință, dT trebuie ales pe baza cunoașterii dinamicii procesului controlat [OR94].

Procesarea periodică poate fi în acest caz condiționată sau necondiționată. Pe baza paradigmei **Cy-Clone** se pot concepe diferite modele de implementare, atât pentru sisteme centralizate cât și pentru sisteme distribuite. Implementările pot furniza, în cazul în care este util, modalități de modificare controlată a intervalului dT în decursul execuției. În mod normal, în practică se poate utiliza un controller pentru implementarea propriu-zisă.

Astfel, se observă că în cadrul paradigmei ciclice se utilizează controlul temporal: la puncte fixe de timp se determină dacă anumite operații trebuie activate sau nu, în funcție de îndeplinirea anumitor condiții la momentul respectiv (sistem **TT**). În mod normal, se utilizează un task trigger care captează în mod regulat starea curentă. Acest task trigger este un task periodic care evaluează condiția de trigger asupra unui set de parametri și transmite un semnal de control care activează un task de aplicație. Deoarece starea curentă este captată la frecvența task-ului trigger, numai acele stări cu o durată mai mare ca perioada de achiziție a task-ului trigger pot fi observate.

În plus, task-ul trigger periodic generează o întârziere administrativă (administrative overhead) în sistemele timp real de time-triggered **TT**. Bazat pe aceste considerente, perioada task-ului trigger trebuie să fie semnificativ mai mică decât *laxity-ul* (diferența între timpul de deadline și timpul de execuție) pentru orice tranzacție în timp real care poate fi activată de un eveniment extern. Dacă *laxity-ul* tranzacțiilor este foarte mic (de exemplu, <1ms), întârzierea asociată utilizării unui task trigger devine intolerabilă [Kop97]; astfel de sisteme timp real nu pot fi modelate utilizând abordarea ciclică.

4.2.2. Abordarea ciclică în cadrul sistemelor distribuite

Conceptele prezentate mai sus în cadrul paradigmei **Cy-Clone** pot fi extinse și în cazul sistemelor timp-real distribuite, prin introducerea așa numitului **Cy-Clone distribuit**. Într-o astfel de abordare, fiecare nod din cadrul sistemului distribuit constă dintr-un controller distinct, care operează conform ciclului de bază prezentat în Figura 17. Nodurile operează în paralel, frecvența execuțiilor ciclice putând diferi de la un nod la altul, fiecare având însă proprietăți temporale bine definite.

Nodurile din cadrul sistemului distribuit pot sau nu să fie conectate către senzori și actuatori, fiecare nod având însă un rol distinct în cadrul sistemului. Pentru sincronizare, este necesară folosirea unui ceas global de timp real, fie extern (de exemplu, via GPS), fie intern, bazat pe frecvența ceasului mediului de comunicare utilizat.

În ceea ce privește comunicarea, fiecare nod conține o tabelă de comunicare cu alte noduri (TC), și care este parte a tabelii de date a controller-ului respectiv. Aceasta conține de obicei o cantitate de informație relativ redusă în

comparație cu cantitatea de informație care este tratată la periferia sistemului. Suma tuturor tabelelor asociate tuturor nodurilor formează așa numita **Tabelă de date timp real**; practic, fiecare nod din cadrul sistemului distribuit are o fereastră în această tabelă.

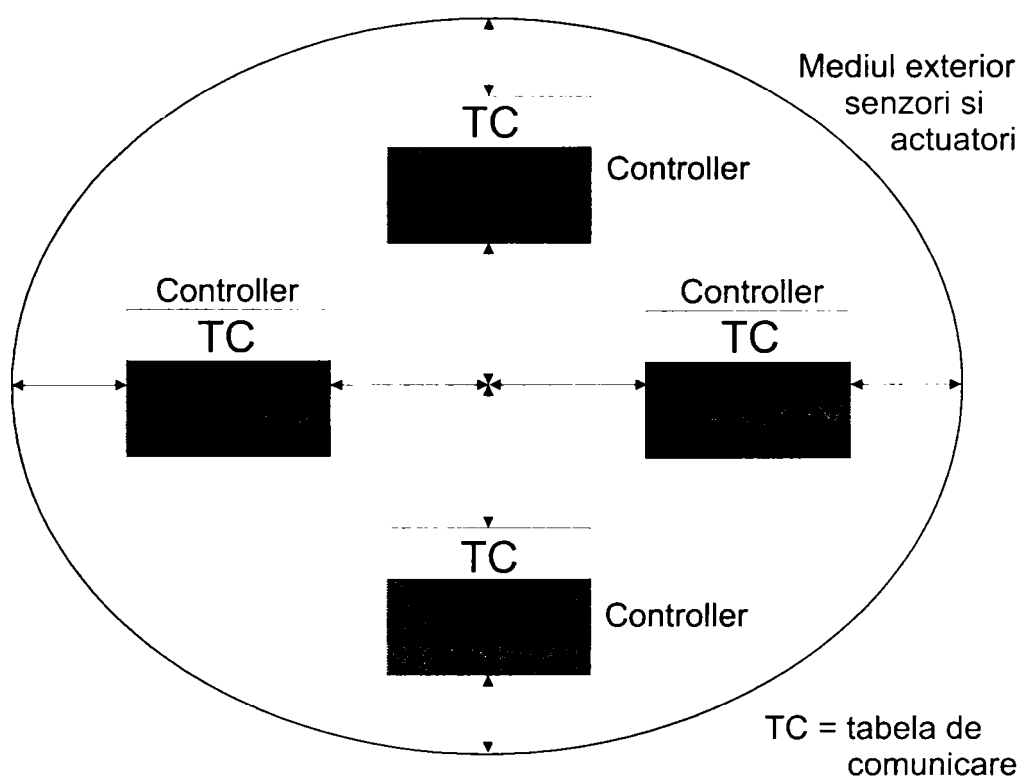


Figura 18: Cy-Clone distribuit – modelul conceptual

Comunicarea datelor între noduri se realizează practic prin utilizarea **Tabelei de date timp real** și care reprezintă zona de date comune a sistemului distribuit, fiind accesibilă tuturor nodurilor. Modul de referire respectiv notația folosită pentru accesul datelor din cadrul acesteia este în general similară, pentru majoritatea PLC-urilor, cu maniera de referire a datelor din cadrul tabelii de date proprii. Astfel, pentru un anumit nod, celelalte noduri furnizează date în mod periodic, în aceeași manieră în care sunt furnizate periodic datele de la senzorii externi. Astfel, este util ca, din punct de vedere conceptual dar și tehnic (software), accesul la date (comune sau nu) să se realizeze într-o manieră unitară.

Varianta **Cy-Clone distribuit** furnizează concepte pentru tratarea aspectelor speciale legate de complexitatea sistemelor de control timp real distribuite fiind în același timp capabilă să exploateze proprietățile de predictibilitate și determinism utilizate în cadrul paradigmei Cy-Clone originale.

4.2.3. Avantajele și dezavantajele paradigmei Cy-Clone

Avantajele paradigmei Cy-Clone

- **existența unei discipline temporale stricte** – un avantaj deosebit de important care rezultă în urma aplicării paradigmei ciclice este faptul că există o disciplină temporală foarte bine definită și care permite realizarea unui control hardware sincron. În acest sens, informația este comunicată către și dinspre ciclul de bază la momente fixe de timp. Sincronizarea poate fi realizată utilizând timpul relativ, local, sau, mult mai precis, utilizând sistemul GPS, rezultând soluții deterministe și foarte exacte din punct de vedere al timpului. În mod evident, nu toate aplicațiile critice de timp real necesită o astfel de sincronizare hardware. În timp ce intervalul de bază de timp dT furnizează o evoluție acceptabilă a procesării și asigură stabilitatea sistemului, relaxarea sincronizării se poate dovedi extrem de utilă în reducerea complexității planificării pentru sistemele distribuite. În acest sens, rezultatele sunt utilizate pe baza celei mai bune informații disponibile.
- **mai bună detectare și localizare a erorilor** – după cum a fost ilustrat în cadrul capitolului 2, marele avantaj al abordării **event-triggered (ET)** în ceea ce privește tratamentul erorilor este flexibilitatea și răspunsul imediat; pentru cazul **time-triggered (TT)** însă se poate realiza o mai bună detectare și localizare a erorilor [Kop98]. Un alt avantaj ce rezultă în urma aplicării soluției bazate pe controlul temporal o reprezintă posibilitatea de a trata defecțiunile hardware și software apărute într-o manieră uniformă. Astfel, în cazul utilizării abordării ciclice, o defecțiune poate avea doar efecte locale în timp, dar sistemul se va stabili după câteva perioade de timp succesive. Aceasta reprezintă o proprietate deosebit de importantă, și este extrem de greu de obținut în cazul în care se utilizează o manieră probabilistică de execuție a task-urilor, bazată pe evenimente (**ET**).
- **obținerea predictibilității și determinismului pentru sistemele timp real** – datorită controlului temporal strict, soluția bazată pe paradigma **Cy-Clone** reprezintă o abordare pertinentă și naturală pentru a obține predictibilitate și determinism în sistemele de timp real critice, cu atât mai mult cu cât, datorită creșterii puterii de procesare a calculatoarelor actuale, problemele legate de asigurarea resurselor necesare nu mai sunt atât de critice.

Dezavantajele paradigmei Cy-Clone

- **lipsa de flexibilitate în comparație cu sistemele event-triggered ET** – în cazul utilizării paradigmei **Cy-Clone**, ordinea desfășurării tuturor acțiunilor precum și momentele de timp asociate acestora sunt definite și cunoscute în prealabil
- **nu poate fi aplicată oricărui tip de sistem** – în cazul în care constrângerile de timp impuse sunt mai mici decât ciclul de bază **dT**, trebuie luată în considerare abordarea bazată pe evenimente **ET**

4.2.4. Utilizarea paradigmei Cy-Clone și a PLC-rilor în dezvoltarea aplicațiilor de control timp real

Având în vedere modul de operare caracteristic PLC-urilor, pe baza perioadei de scanare, pentru proiectarea sistemelor timp real cu ajutorul controller-elor programabile se poate utiliza paradigma ciclică prezentată la capitolul anterior. Acest lucru se bazează pe faptul că, în principiu un sistem de monitorizare și control timp real realizează în mod tipic un set de acțiuni care se repetă periodic:

- monitorizarea intrărilor
- controlul ieșirilor
- acțiuni de procesare (ex: controlul buclelor de reglare)
- tratare alarme
- înregistrare date (ex: pentru trasarea ulterioară a diagramelor de evoluție în timp), etc.,

Ca atare, un astfel de sistem poate fi văzut ca fiind alcătuit dintr-o buclă care se repetă în mod ciclic, la intervale regulate de timp.

În contextul PLC-urilor, abordarea ciclică presupune existența unui program principal în cadrul căruia modulele sunt implementate ca și subrutine acestuia. Acest tip de structură este foarte ușor de programat, dar impune constrângeri severe asupra tuturor modulelor: toate modulele trebuie să se execute într-o perioadă de timp mai scurtă decât intervalul de timp **dT**, care stabilește frecvența execuțiilor ciclice și este impus de aplicația propriu-zisă (Figura 17).

În consecință, structura programului trebuie să se bazeze pe partiționarea aplicației în module pe baza funcționalității și a constrângerilor de timp, în cazul

în care este necesar, și care sunt cuplate împreună utilizînd o structură de control, ca cea prezentată în Figura 19.

```
DO forever
DO during dT
CASE
  model:
    WITH sensors AND actuators DO
      [EVERY Nth dT ]
      BEGIN
        operation1() ; operation2() ;
        ....
        IF situation_predicate THEN
          ....
          operationi() ; operationj() ;
          ....
        IF situation_predicate THEN
          ....
          operationk() ; operationm() ;
          ...
          .....
        END
      mode2:
        WITH sensors AND actuators DO
          [EVERY Nth dT ]
          BEGIN
            operationp() ; operationq() ;
            ....
            IF situation_predicate THEN
              ....
              operationr() ; operationv() ; ....
              .....
            END
          .....
        startup_mode:
          WITH sensors AND actuators DO
            [EVERY Nth dT ]
            BEGIN
              .....
            END
          ENDCASE
```

Figura 19: Structura de bază a programului în PLC

Este evident că structura de bază a software-ului prezentat mai sus corespunde cu conceptul utilizat în cadrul abordării ciclice, prezentat în Figura 17. În alegerea structurii hardware și implicit al PLC-ului corespunzător rolul hotărîtor îl are intervalul dT , care determină frecvența execuțiilor ciclice.

Astfel, pe baza cerințelor temporale impuse de aplicație se poate calcula valoarea maximă pe care o poate avea intervalul dT pentru care sunt satisfăcute toate constrîngerile de timp ale aplicației.

În procesul de determinare a intervalului dT , se pornește de la cazul prezentat în Figura 20. În cadrul acesteia, modificarea unei intrări, notate cu A, și care ar trebui să conducă la modificarea unei anumite ieșiri, notate cu B, apare imediat după începutul ciclului de scanare curent; acest lucru implică faptul că sesizarea acestei modificări va fi realizată numai la începutul buclei de scanare următoare, iar ieșirea B va fi modificată abia la sfîrșitul acesteia. Deci, conform acestui exemplu, putem spune că în cazul cel mai defavorabil sunt necesare **2 intervale dT** pentru actualizarea corespunzătoare a ieșirii B, deci acțiunea A implică B va dura, în cazul cel mai defavorabil **$2 \cdot dT$** . Evident, acest lucru este valabil numai dacă logica aplicației de programat nu este inversă scanării (Figura 12), altfel numărul de intervale dT poate fi mai mare.

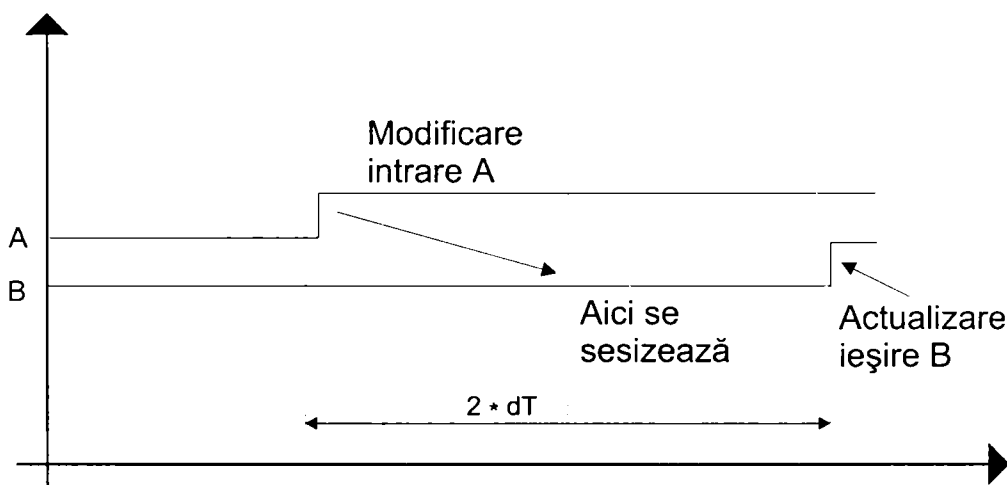


Figura 20: Durata unei acțiuni **A implică B** în abordarea ciclică

În consecință, în alegerea arhitecturii hardware utilizate în cadrul unui sistem de control timp real care utilizează abordare ciclică și PLC-uri trebuie să se respecte următoarele etape:

- determinarea, pe baza analizei cerințelor aplicației date, a acțiunii cu constrîngerea de timp cea mai mică; se notează cu $t_{lim_{min}}$ intervalul de timp în cadrul căruia aceasta trebuie să se execute
- calcularea intervalului dT_{max} necesar pentru ca acțiunea corespunzătoare să se încadreze în intervalul $t_{lim_{min}}$, după formula rezultată în urma analizei realizate pentru Figura 20:

$$dT_{max} \leq t_{lim_{min}} / 2 \quad (r4.1)$$

- evaluarea intervalului dT_{max_PLC} pentru un anumit PLC funcție de caracteristicile acestuia. Valoarea dT_{max_PLC} depinde de mărimea programului din PLC precum și de viteza procesorului; astfel, se poate face o evaluare grosieră pentru cazul cel mai defavorabil bazată pe valorile date de producător pentru timpul de scanare/K program $t_{scan/K}$, și dimensiunea maximă a programului de aplicație dim_{max_progr} , rezultând:

$$dT_{max_PLC} = dim_{max_progr} * t_{scan/K} \quad (r4.2)$$

- compararea valorii dT_{max_PLC} cu dT_{max} impus de specificațiile aplicației date; astfel, pentru garantarea îndeplinirii constrângerilor de timp minime trebuie să fie îndeplinită relația:

$$dT_{max_PLC} \leq dT_{max} \quad (r4.3)$$

- determinarea valorii pentru constrângerile de timp minime care pot fi satisfăcute în cazul cel mai defavorabil pentru PLC-ul cu caracteristicile date. Astfel, în urma înlocuirii valorilor pentru dT_{max} și dT_{max_PLC} în cadrul relației (r4.3) rezultă:

$$dim_{max_progr} * t_{scan/K} \leq t_{lim_{min}} / 2 \quad (r4.4)$$

În consecință, în cazul cel mai defavorabil, pentru un PLC cu anumite caracteristici date, **pot fi garantate** constrângerile de timp cu o durată mai mare decât:

$$t_{lim_{min}} \geq 2 * dim_{max_progr} * t_{scan/K} \quad (r4.5)$$

Valorile dim_{max_progr} și $t_{scan/K}$ sunt, după cum s-a precizat anterior, furnizate de producători și deci cunoscute în prealabil. Calculele de mai sus reprezintă o evaluare grosieră a timpului limită minim $t_{lim_{min}}$, în anumite condiții acesta mai puțin fiind fi însă redus.

Abordarea ciclică poate fi aplicată atât în mod centralizat (utilizând un singur PLC) cât și în mod distribuit (mai multe PLC-uri). În primul caz, este necesar ca toate procesările impuse de aplicație să poată fi realizate în limitele intervalului dT_{max} , conform celor prezentate anterior. În cazul în care resursele nu sunt suficiente pentru realizarea acestui deziderat, adică relația (r4.3) (și implicit (r4.4)) nu poate fi îndeplinită pentru un anumit caz concret, există două modalități de a asigura resursele necesare (**resource adequacy**):

- alegerea unui PLC mai performant, cu un timp de scanare/K mai scăzut, astfel încît, pentru toate constrîngerile temporale din sistem să fie satisfăcută relația de mai sus
- utilizarea modelului **Cy-Clone** distribuit: logica aplicației de programat se va împărți pe mai multe PLC-uri (noduri în sistemul distribuit) astfel încît în cadrul fiecărui nod să se garanteze îndeplinirea cerințelor temporale impuse. Uneori aceste noduri pot opera la frecvențe diferite, însă ele trebuie să se sincronizeze funcție de un un timp de bază pentru a asigura funcționarea corectă a aplicației; în acest caz, trebuie considerat în plus și timpul de comunicare între nodurile 1 și 2, t_{com12} , astfel:

$$t_{lim_{min}} \geq 2 * dim_{max_{progr_nod1}} * t_{scan/K_nod1} + t_{com12} + 2 * dim_{max_{progr_nod2}} * t_{Bscan/K_nod2} \quad (r4.6)$$

După cum se poate observa, rezultă în acest caz un timp mai mare decît cel din relația (r4.5), pentru cazul în care acțiunile A și B (Figura 20) sunt localizate pe procesoare diferite; din acest motiv, acțiunile cu constrîngeri de timp stricte, de tipul **A implică B**, trebuie grupate pe cît posibil pe același procesor. Timpul de comunicare t_{com12} poate fi, în anumite cazuri neglijabil față de restul termenilor din relația (r4.6), în special dacă sunt utilizate rețele de comunicare speciale timp real, de tipul celei de dispozitive (Figura 14).

4.3. Concluzii

Avînd în vedere cerințele tot mai crescînde ale sistemelor timp real în raport cu predictabilitatea, în practică este esențială găsirea unor soluții cît mai simple și care să furnizeze **garanția** că toate procesările critice vor fi realizate în timp util. Funcție de cerințele și de natura aplicației propriu-zise, diferite soluții pot fi mai mult sau mai puțin viabile la un moment dat. Dintre acestea, soluțiile bazate pe evenimente (**ET**), chiar dacă mai flexibile, prin natura lor nedeterministă impun însă anumite limitări în realizarea unor proprietăți cruciale cum ar fi predictabilitatea, fiabilitatea, sau testabilitatea sistemelor timp real. În plus, pe măsură ce complexitatea sistemelor crește, o atenție sporită trebuie acordată problemelor de integrare.

În acest capitol a fost abordată problema posibilității utilizării PLC-urilor și a abordării ciclice în sistemele de control timp real. Datorită modului de operare caracteristic PLC-urilor, s-a demonstrat că acestea se pretează foarte bine la utilizarea în cadrul sistemelor de control **time-triggered TT**, și care sunt

proiectate utilizând paradigma **Cy-Clone**. În plus, integrarea sistemelor **TT**, cum este cazul sistemelor în care sunt utilizate PLC-uri și abordarea ciclică, este mult mai ușor de realizat decât integrarea sistemelor **ET**.

S-a demonstrat de asemenea faptul că, utilizând o astfel de abordare, este posibilă atingerea dezideratelor de predictabilitate și determinism în sistemele timp real: aceasta însemnând în esență că, dându-se un set de cerințe, se poate garanta că sistemul le îndeplinește întotdeauna.

Există o mulțime de critici care au fost aduse aplicațiilor care adoptă abordarea ciclică: dintre dezavantajele cunoscute ale acestora sunt inflexibilitatea, și faptul că nu orice tip de sistem timp real poate fi proiectat și modelat utilizând acest mod de abordare. Totuși, în prezent există o largă categorie de aplicații pentru care soluția propusă este perfect viabilă și pentru care aceasta furnizează o bază cunoscută pentru obținerea predictabilității și determinismului: condiții esențiale pentru sistemele în timp real. Mai mult, dacă sunt proiectate corespunzător, aceste aplicații pot furniza o comportare în timp care poate fi reprodusă (determinism reproductibil).

Dacă însă, datorită constringerilor de timp foarte mici, aplicația nu poate fi proiectată utilizând controlul temporal **TT** și deci abordarea ciclică, utilizarea întreruperilor trebuie avută în vedere din considerente de performanță. Dar, după cum a fost deja precizat, prin utilizarea **event-triggered ET** predictabilitatea și determinismul sunt deziderate greu de atins. Este foarte clar că o astfel de soluție care permite schimbarea în mod dinamic a ordinii proceselor dintr-un sistem va rezulta într-un sistem ne-deterministic. Astfel, rezultatele probabilistice obținute de Liu și Layland privind algoritmul de planificare rate-monotonic pentru un număr arbitrar de procese periodice pot fi utilizate doar pentru dovedirea predictabilității, nu și al determinismului [LL73].

5. METODOLOGIE DE PROIECTARE A APLICAȚIILOR TIMP REAL UTILIZÂND PLC-URI

5.1. Concepte generale

Sistemele de control timp real reprezintă o categorie aparte de sisteme care îmbină caracteristicile sistemelor software în general cu acelea ale sistemelor de control automat în particular. Atît în domeniul ingineriei programării **IP** [Kav92] cît și în domeniul ingineriei controlului automat **ICA** există o serie de metodologii consacrate [KY95], însă fiecare dintre acestea adresează o categorie specifică de aplicații:

- metodologiile sau modelele din domeniul **IP** se referă la dezvoltarea aplicațiilor software în general, fără a conține de cele mai multe ori aspecte specifice controlului timp real; în plus, unele dintre acestea sunt mult prea complexe și dificil de utilizat în aplicațiile practice, reale. O selecție a celor mai cunoscute metodologii din cadrul acestui domeniu a fost prezentată în paragraful 1.3.2;
- metodologiile sau modelele din domeniul **ICA** se referă în general la aspecte legate de analiza și proiectarea algoritmilor de control propriu-zis și nu la aspecte legate de dezvoltarea sistemului în ansamblul său [FB95].

Complexitatea crescîndă a sistemelor de control timp real conduce la necesitatea utilizării combinate a tehnicilor din domeniul ingineriei programării **IP** precum și din domeniul ingineriei controlului automat **ICA** în cadrul procesului de proiectare și implementare a acestora. În consecință, avînd în vedere domeniul multidisciplinar al sistemelor de control timp real, este necesară dezvoltarea de noi metodologii, simple și ușor de aplicat în practică, specifice acestui domeniu; în plus, pentru a lua ce este mai bun din ceea ce există în acest domeniu, acestea ar fi ideal să se bazeze pe combinarea metodologiilor deja existente în cadrul domeniilor **IP** și **ICA**.

În continuare se va prezenta o metodologie de proiectare a aplicațiilor de control timp real bazată pe paradigma ciclică prezentată în cadrul paragraful 4.2. Metodologia încearcă să furnizeze un set de concepte și criterii care pot fi utilizate în procesul de dezvoltare în ansamblu a unei aplicații de control timp real. Metoda este orientată către aplicații care au o puternică componentă de timp real: control, achiziție și prelucrare masivă de date și se bazează pe utilizarea PLC-urilor în cadrul procesului de implementare propriu-zisă a programului de control.

Utilizarea PLC-urilor și al controlului temporal **TT**, specific paradigmei ciclice, asigură comportarea predictibilă a sistemului în orice situație, și implicit reprezintă o premiză pentru obținerea și a altor caracteristici printre care cele mai importante sunt fiabilitatea, testabilitatea, verificabilitatea precum și posibilitatea de întreținere cât mai ușoară a sistemului.

În plus, metodologia încearcă să furnizeze, pe lângă criteriile de structurare, tehnicile de dezvoltare și modalitățile de testare prezentate, și o combinație de unelte software (CASE tools) cu ajutorul cărora procesul de dezvoltare să se realizeze într-o manieră cât mai simplă și pe cât posibil, automatizată.

5.2. Etape ale metodologiei

Un sistem de control în timp real **S**, spre deosebire de sistemele informaționale clasice, este compus practic din două părți: procesul sau sistemul fizic de controlat **P** și strategia de control utilizată **C**, adică:

$$S = P + C \quad (r5.1)$$

Fiecare din aceste componente ale sistemului poate fi descrisă într-o manieră formală sau informală; maniera de descriere informală conduce la realizarea unui așa numit model descriptiv (informal sau semiformal) al sistemului:

$$M_d = P_d + C_d, \text{ unde} \quad (r5.2)$$

M_d = modelul descriptiv al sistemului S

P_d = modelul descriptiv al procesului de controlat P

C_d = modelul descriptiv pentru strategia de control C

În cazul utilizării descrierilor formale, rezultă așa numitul model prescriptiv al sistemului:

$$M_p = P_p + C_p. \quad (r5.3)$$

M_p = modelul prescriptiv al sistemului S

P_p = modelul prescriptiv al procesului de controlat P

C_p = modelul prescriptiv pentru strategia de control C

Astfel, în esență, procesului de proiectare a sistemului timp real trebuie să realizeze maparea modelului descriptiv **M_d** pe modelul prescriptiv **M_p**, adică:

$$M_d \Rightarrow M_p \quad (r5.4)$$

Modelul prescriptiv este testat utilizând simularea; în urma validării acestuia prin simulare, se va trece apoi la construirea modelului de implementare a sistemului M_{impl} , pe baza căruia va fi realizată ulterior implementarea propriu-zisă. Se va utiliza schema de dezvoltare iterativă, prezentată în cadrul paragraful 1.3.3. în procesul de proiectare și respectiv de realizare a modelelor de mai sus. După cum a fost precizat deja, aceasta este bazată în principal pe binecunoscutul principiu al ingineriei programării *separation of concerns* și al *feedback*-ului. Validarea modelului este posibilă deoarece maparea lui M_p pe M_d , trebuie să fie combinată cu maparea lui M_d pe M_p , pentru a realiza *feedback*-ul.

Referitor la modelele definite mai sus, pot fi enunțate următoarele proprietăți:

- dacă modelul descriptiv M_d este suficient de apropiat de sistemul S atunci concluziile rezultate pentru modelul M_d sunt valabile și pentru sistemul S
- dacă sistemul S este construit pe baza modelului prescriptiv M_p atunci concluziile rezultate pentru modelul M_p sunt de asemenea valabile și pentru sistemul S
- în general $M_d \subset M_p$; din acest motiv verificarea faptului că modelul prescriptiv M_p este în conformitate cu modelul descriptiv M_d este mai ușoară decât vice-versa.

Avantajele utilizării schemei de dezvoltare iterative în contextul metodologiei propuse sunt următoarele:

- aplicarea principiului ingineriei programării *separation of concerns*
- posibilitatea validării încrucișate a modelelor M_p și M_d datorită *feedback*-ului

Ca dezavantaj, trebuie precizat că utilizarea variantei iterative este mai puțin eficientă din punctul de vedere al timpului de dezvoltare, rezultând probabil într-un timp de dezvoltare ceva mai lung decât în cazul utilizării celorlalte variante (respectiv secvențială și concurrentă).

Figura 21 ilustrează într-o manieră schematică etapele metodologiei propuse. Se observă în cadrul acesteia utilizarea combinată a tehnicilor din domeniul **ICA** și **IP** în cadrul procesului de dezvoltare. Astfel, în ceea ce privește domeniul **IP**, se observă că metodologia respectă toate etapele ciclului de viață al unui sistem de control timp real care au fost prezentate în cadrul paragrafului 1.3.4.

Dintre acestea, în cadrul etapei de control algoritmic, sunt utilizate pregnant tehnicile domeniului **ICA** pentru adoptarea strategiei de control și analiza acesteia utilizând simularea. Utilizarea feedback-ului pentru fiecare etapă asigură, după cum a fost precizat anterior, posibilitatea validării încrucișate a tuturor modelelor dezvoltate, conform schemei de dezvoltare iterativă prezentată în cadrul paragrafului 1.3.3.

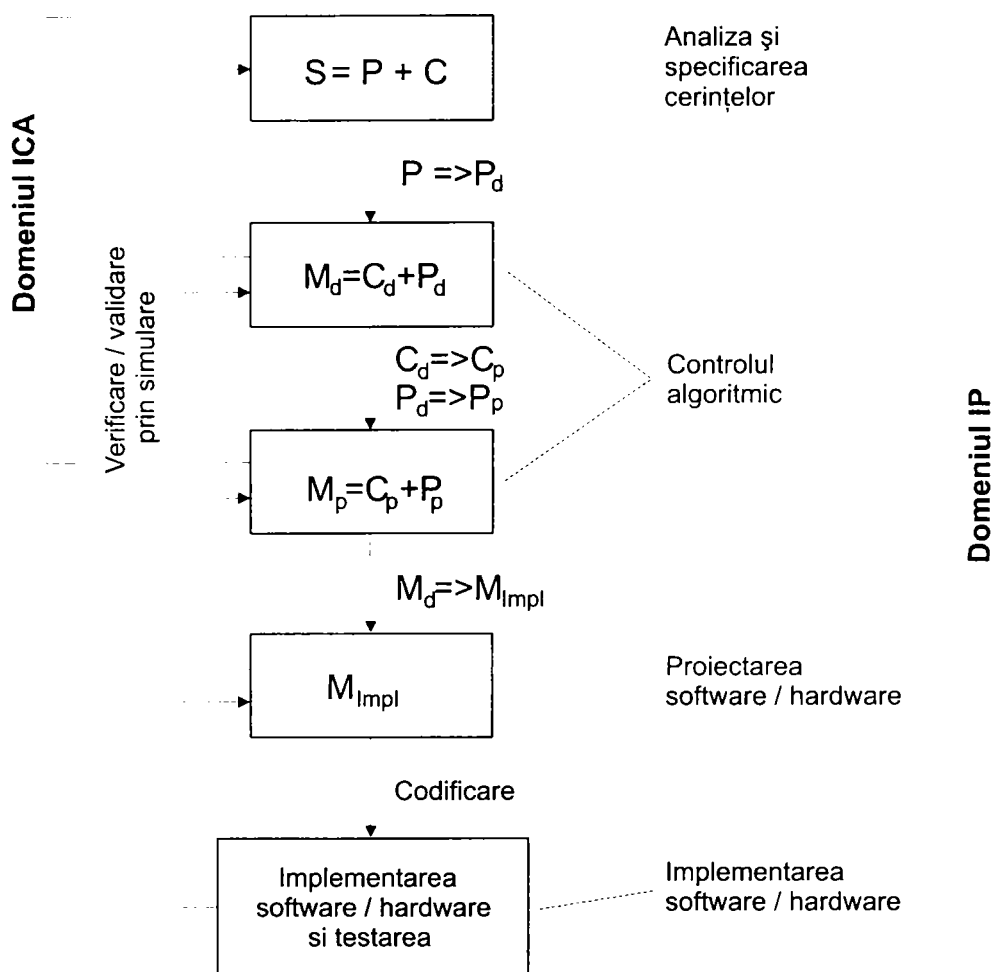


Figura 21: Etapele metodologiei propuse

O descriere detaliată a acestor etape este prezentată în continuare.

5.2.1. Etapa 1: Realizarea modelului descriptiv M_d

Scopul acestei etape îl reprezintă realizarea modelului descriptiv M_d al sistemului de control timp real, pornind de la documentul care conține specificațiile sistemului. Acest document trebuie să conțină în mod obligatoriu următoarele elemente:

- obiectivele sistemului
- o descriere detaliată a sistemului în ansamblul său
- specificarea intrărilor și ieșirilor sistemului
- o descriere detaliată a modului în care sistemul în ansamblul său trebuie să reacționeze în diferite situații
- definirea cerințelor sistemului (constante, parametri, cerințe temporale, etc.) precum și a modului în care acestea vor fi confirmate: inspecție, analiză sau test

Pașii prin intermediul cărora este construit modelul M_d sunt următorii:

5.2.1.1. Descompunerea sistemului în subsisteme

Metoda de descompunere utilizată are la bază descompunerea structurală bazată pe funcționalitate; tehnica de modelare adoptată fiind tehnica **top-down**. Astfel, pe baza specificării cerințelor se analizează și se determină care sunt principalele funcții ale sistemului de control în timp real. Se utilizează în această primă fază diagramele de scheme bloc ca și unealtă de bază a modelării. Principalele elemente ale acestora sunt:

- blocurile care identifică subsistemele
- săgeți cu etichete care reprezintă mărimile de intrare/ieșire din blocul respectiv și de asemenea stabilesc și legăturile între diversele blocuri

Principalele criterii care trebuie luate în considerare în cadrul acestei descompuneri sunt următoarele:

- **coeziunea funcțională**: anumite elemente pot fi grupate deoarece ele realizează un set de funcții legate între ele din punct de vedere funcțional
- **coeziunea secvențială**: anumite elemente realizează funcții care trebuie să aibă loc într-o anumită ordine (secvențial)
- **coeziunea temporală**: anumite elemente pot fi grupate pe criteriu că acestea sunt declanșate de un anumit eveniment particular; pentru sistemele în timp real gruparea pe baza coeziunii temporale este esențială: comportarea în timp a acestor transformări poate fi ușor urmărită și analizată
- **dependența de I/O** : este utilă gruparea în module separate a elementelor care sunt puternic legate de I/O;

- **element fizic sau de control**: anumite module sau blocuri se referă la un element fizic existent în cadrul sistemului pe când alte module au o natură mult mai abstractă, ele înglobând practic strategia de control a anumitelor dispozitive; în scopul dezvoltării ulterioare cât mai rapide a programului de control, în cadrul fazei de implementare, este necesară utilizarea blocuri separate pentru fiecare categorie

Fiecare dintre subsistemele identificate sunt în continuare descompuse ierarhic, pînă la nivelul la care acestea ajung să identifice un element fizic din sistem, și care nu mai poate fi descompus în continuare (de exemplu, o valvă). Pentru fiecare bloc astfel obținut trebuie specificate:

- numele asociat blocului
- marimile de intrare către blocul respectiv
- marimile de ieșire din blocul respectiv

Se utilizează în acest scop un **dicționar de date** pentru definirea tuturor mărimilor conținute în cadrul diagramelor bloc de mai sus. Acest dicționar va conține numele acestora, elementul fizic cu care mărimea este asociată, dacă este cazul, precum și explicații pe scurt referitoare la mărimea în cauză. Descrierea obținută astfel reprezintă modelul descriptiv al procesului, P_d .

5.2.1.2. Definirea strategiei de control

În continuare modelul obținut P_d se completează cu elementele de control (ex: buclele de reglare) necesare, rezultate în urma analizării strategiei de control descrise în faza de specificare. Acestea definesc practic strategia de control a sistemului, C_d . Astfel, fiecărui element controlat i se asociază un bloc de control în cadrul diagramei bloc de mai sus, și care va conține:

- mărimea controlată (ex: temp, presiune, debit, etc.)
- modalitatea prin care se realizează controlul (ex: închiderea sau deschiderea a unei valve, oprirea/pornirea unui motor, etc.)
- diferiți parametri asociați controlului, determinați pe baza specificațiilor impuse

Prin completarea modelului P_d cu strategia de control rezultă modelul descriptiv semi-formal al sistemului M_d , adică:

$$M_d = P_d + C_d, \quad (r5.5)$$

unde C_d reprezintă modelul pentru strategia de control adoptată.

5.2.2. Etapa 2: Realizarea modelului prescriptiv formal M_p și verificarea acestuia utilizînd simularea

Avînd în vedere schema de testare în patru pași caracteristică ciclului de viață a sistemelor de control timp real (Figura 8), și care presupune realizarea testării (verificării) în toate etapele ciclului de dezvoltare, este necesar ca următor pas în dezvoltarea sistemului de control timp real să se realizeze și testarea modelului propus împreună cu strategia de control adoptată. Acest lucru se realizează în această fază prin simularea modelului obținut în urma fazei de descompunere, utilizînd o unealtă de simulare adecvată.

Pentru ca acest lucru să fie posibil, trebuie să fie îndeplinite două condiții esențiale:

- descrierea anterioară a modelului informal sau semiformal M_d să fie realizată utilizînd o unealtă CASE care să permită obținerea ulterioară a modelului prescriptiv formal M_p precum și a simulării acestuia
- avînd în vedere complexitatea și numărul mare a scenariilor de test existente în cazul sistemelor de control timp real, trebuie să existe posibilitatea generării automate a acestora sau a definirii unei metode care să ușureze în mod considerabil procesul de testare

Majoritatea proceselor fizice sunt la ora actuală modelate prin intermediul ecuațiilor diferențiale continue. Acest domeniu este la ora actuală deosebit de bine dezvoltat, atît din punct de vedere al matematicii care se află la baza acestor ecuații, cît și din punct de vedere al uneltelor CASE existente pe piață pentru acest domeniu.

Majoritatea uneltelor CASE actualmente disponibile pe piață utilizează conceptul de **MMS (Modular Modeling System)** în sensul că există deja create biblioteci de componente care pot fi relativ ușor utilizate și/sau adaptate conform cerințelor unui anumit model particular. Utilizarea unor astfel de biblioteci împreună cu un limbaj general de simulare furnizează un model simplu pentru ilustrarea dinamicii sistemului de controlat și care conduce la o simulare simplă și ușor de operat.

În cadrul acestei etape, pe baza modelului M_d inițial, se obține modelul prescriptiv M_p al sistemului de control (sau modelul matematic), prin specificarea la nivel de ecuații diferențiale a tuturor blocurilor de pe nivelurile de bază a ierarhiei obținute în cadrul modelului M_d .

5.2.2.1. Realizarea modelului M_p și simularea acestuia

În procesul de creare a modelului M_p și de simulare a acestuia, trebuie să fie urmate următoarele faze:

- determinarea cerințelor pe care simularea finală trebuie să le satisfacă => aceste cerințe au fost specificate în cadrul modelului M_d , care reprezintă în acest caz punctul de plecare; o categorie aparte în acest sens o reprezintă cerințele temporale
- dezvoltarea ecuațiilor care descriu sistemul precum și a logicii de control acolo unde este cazul
- programarea acestor ecuații pe un sistem de calcul în scopul simulării ulterioare a acestora
- compararea programului care reprezintă simularea cu ecuațiile sistemului și modificarea simulării atunci când sunt decoperite greșeli (verificarea simulării)
- compararea rezultatelor simulării cu date experimentale obținute din studierea sistemului și modificarea modelului și, corespunzător, a simulării dacă se constată neconcordanțe (validarea modelului matematic)
- acceptarea modelului (și implicit a simulării acestuia) și pregătirea documentației care va fi utilizată în fazele următoare ale dezvoltării sistemului de control în timp real, în special în faza de implementare

În cadrul fazelor specificate mai sus, componentele a patra și a cincea sunt de o importanță covârșitoare, acestea referindu-se la procesul de verificare și validare al simulării și respectiv al modelului matematic, și nu trebuie confundate între ele.

Astfel, **verificarea** reprezintă procesul prin care se determină dacă ecuațiile au fost programate corect în cadrul programului care implementează simularea; **validarea** în schimb, determină dacă programul de simulare se comportă corect prin studierea tuturor aspectelor pertinente în acest sens. Astfel, dacă simularea reprezintă într-adevăr cu exactitate modelul matematic, adică verificarea a fost realizată cu succes, simularea devine transparentă în cadrul procesului de validare a modelului, și rezultatele simulării pot fi comparate cu datele experimentale cu un mare grad de încredere.

În paralel cu pașii de mai sus, este esențială în cadrul acestei etape crearea unei documentații intermediare care să descrie în amănunt modelul prescriptiv M_p generat. Acest document va conține:

- toate ecuațiile și logica care definesc matematic sistemul în forma în care acestea au trecut de procesul de verificare și validare

- identificarea și justificarea tuturor presupunerilor utilizate în dezvoltarea modelului și a simulării acestuia
- identificarea tuturor constrângerilor de timp care trebuie să fie satisfăcute și a modalității în care acestea au fost incluse în cadrul modelului M_p
- un *dicționar de date* complet a tuturor variabilelor și constantelor utilizate, numele acestora și ceea ce reprezintă fiecare variabilă sau constantă; acest dicționar are ca punct de pornire dicționarul de date dezvoltat în cadrul modelului M_d , pe care îl completează. În cadrul acestuia, sunt identificate acele variabile care nu sunt specifice doar procesului de simulare ci sunt asociate unor elemente care vor exista în sistemul fizic real: variabile asociate cu I/O, fanioane, variabile care conțin rezultate ale unor calcule numerice (totalizări, etc.), constante care identifică anumite limite impuse de specificații, constante PID, etc.

Astfel, procesul de creare a modelului M_p și de simulare al acestuia poate fi descris prin următoarea diagramă:

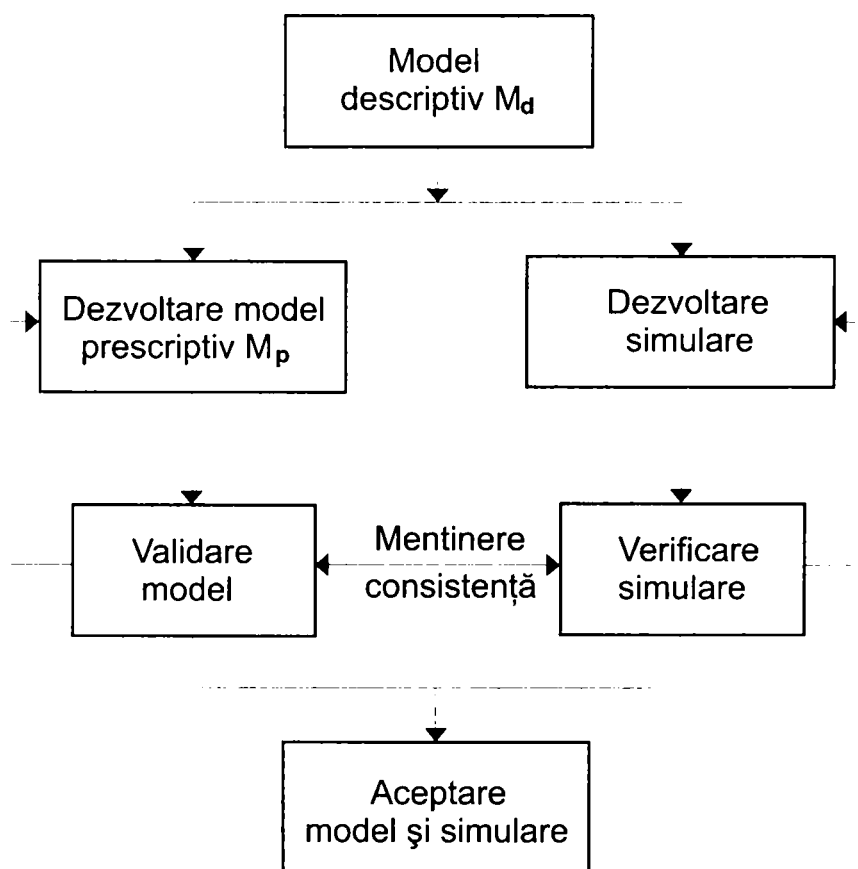


Figura 22: Pași în dezvoltarea modelului și a simulării

După cum este ilustrat în Figura 22, dezvoltarea modelului și a simulării are loc în paralel (conform schemei generale de dezvoltare iterativă, Figura 6). Acest lucru implică unele probleme atunci când este necesar să se revină în urma descoperirii unor erori, în sensul că trebuie menținută permanent consistența între model și simulare [Beq98].

5.2.2.2. Testarea modelului generat și al simulării

Principala dificultate întâlnită în procesul de simulare în practică reprezintă faptul că procesul de validare este deosebit de complex datorită numărului scenariilor de test care crește exponențial cu complexitatea sistemelor. Generarea automată a scenariilor de test și deci automatizarea procesului de validare reprezintă un mare avantaj pe care multe din uneltele **CASE** existente la ora actuală îl pun la dispoziție. Chiar și în această situație procesul de validare nu este garantat că se termină într-un timp finit, și în consecință răspunsul de cele mai multe ori nu este da sau nu, ci în cele mai multe cazuri "poate".

Este însă important ca să existe o simulare verificată înaintea începerii procesului de validare. Sistemul real precum și simularea verificată sunt apoi executate utilizând scenarii de test identice, și rezultatele sunt comparate. În urma acestui proces, pot rezulta schimbări atât în cadrul ecuațiilor cât și în cadrul simulării.

Procesul se reia, pînă cînd ieșirile pentru cele două cazuri se încadrează în limitele de toleranță impuse. În cazul în care simularea nu a fost verificată în prealabil, nu va fi posibil să se determine dacă neconcordanțele apărute între datele de ieșire sunt cauzate de un model eronat sau de o simulare defectuoasă a acestuia.

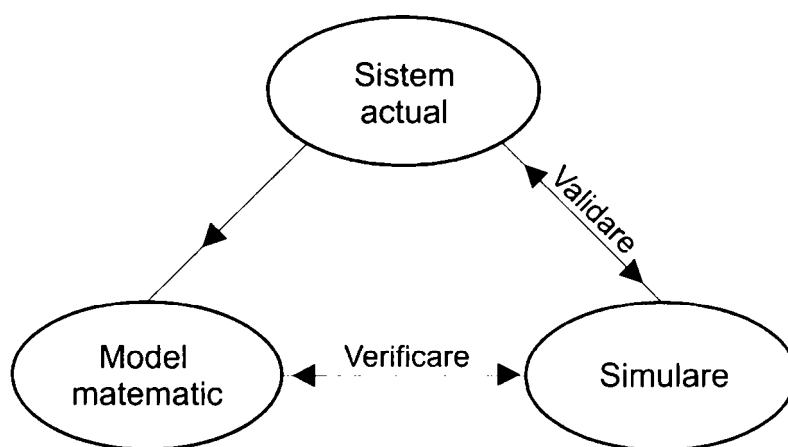


Figura 23: Relațiile între sistem, model, simulare, verificare și validare

În consecință, există două tipuri de testări asociate cu modelarea și simularea: **testarea în scopul verificării** și **testarea în scopul validării**. Testarea în scopul verificării implică testarea software-ului de simulare în scopul determinării dacă acesta reflectă modelul specificat. Testarea în scopul validării implică compararea rezultatelor simulării cu rezultatele experimentale obținute din cadrul sistemului real. Relațiile dintre sistemul fizic propriu zis, modelul matematic precum și simularea acestuia sunt ilustrate în Figura 23. Practic, modelul prescriptiv M_p al sistemului reprezintă un prototip de simulator care servește în principal două scopuri distincte:

- verificarea specificațiilor sistemului, inclusiv a strategiei de control adoptate
- furnizarea unei imagini de ansamblu asupra dinamicii sistemului în general
- determinarea aproximativă proprietăților temporale ale acestuia.

Practic, se pot distinge două categorii de simulări care sunt utilizate pentru validarea proprietăților unui program de control în timp real: **simularea funcțională a sistemului** și **simularea performanțelor sistemului**:

- **simularea funcțională** - are ca scop investigarea proprietăților de bază ale modelului utilizat și a funcționării acestuia în conformitate cu specificațiile date, pe baza comparațiilor cu date culese din sistemul real. Rezultatele obținute astfel pot ajuta la analiza și depistarea unor eventuale erori în procesul de proiectare, în special a strategiei de control C_p . În plus, prin utilizarea unor astfel de simulări pot fi furnizate anumite răspunsuri în fazele ulterioare de întreținere și mai ales de dezvoltare a sistemului.
- **simularea performanțelor sistemului** – are ca scop evaluarea performanțelor sistemului, cu un anumit grad de încredere dat de acuratețea simulării. Acest tip de simulare este util în următoarele cazuri:
 - atunci când este necesară realizarea unor anumite măsurători în cadrul sistemului pentru un anumit grad de încărcare, simulatorul dă posibilitatea izolării proprietăților specifice în cadrul unui mediu specific; pentru sistemele în timp real în mod special, permite evaluarea performanțelor temporale ale acestora în situațiile de încărcare maximă (cele mai defavorabile). Trebuie aici specificat faptul că, constrângerile temporale caracteristice acestor tipuri de sisteme (sisteme de monitorizare și control în timp real) sunt derivate în principal nu atât din niște deadline-uri caracteristice instrumentelor utilizate, întrucât dispozitivele utilizate operează în general periodic, ci mai degrabă din necesitatea de a asigura siguranța în funcționare a obiectelor controlate

- atunci când este necesară realizarea unor anumite testări pentru situațiile critice și pentru care testarea reală prezintă pericole; în acest fel de cazuri testarea în timp real poate fi extrem de dificil de realizat, uneori chiar imposibilă
- poate fi utilizată ca și o unealtă de depanare în sensul că, pe baza rezultatelor simulării se poate trece la reproiectarea anumitor părți ale sistemului în cazul în care s-a ajuns la situații de blocare

Procesul de evaluare al performanțelor este deosebit de complex, și necesită o serie de etape:

- determinarea modalității efective în care va fi evaluată o anumită mărime, adică descrierea detaliată a scenariului de execuție utilizat pentru fiecare caz în parte
- în cazul evaluării cerințelor temporale, se vor realiza simulări utilizând diferite **intervale de simulare**, din ce în ce mai scurte; intervalul (cuanta) de simulare reprezintă cuanta de timp după care programul reevaluează toate mărimile și actualizează valorile acestora. Cuanta de timp pentru care performanțele obținute sunt satisfăcătoare va constitui punctul de pornire în alegerea tipului de PLC utilizat. Astfel, pentru programul care va fi implementat în cadrul PLC-ului va trebui să se asigure o perioadă de scanare dT_{max} mai mică decât cuanta de timp rezultată în urma simulării
- obținerea unei siguranțe în ceea ce privește rezultatele obținute prin rularea unui număr mare de simulări, cu diferiți parametri
- dezvoltarea unei metode sistematice de analiză care să ofere posibilitatea determinării dacă sistemul îndeplinește cerințele de performanță impuse și în caz că nu, identificarea situațiilor limită și utilizarea acestora în procesul de modificare și optimizare a sistemului modelat

Modalitatea practică de realizare a validării se bazează în principal pe stabilirea unei ierarhii de sisteme, subsisteme și module care trebuie testate, precum și a scenariilor de test utilizate pentru fiecare în parte. Fiecare scenariu trebuie să verifice în mod obligatoriu următoarele:

- cazurile de încărcare maximă
- să determine experimental timpul **aproximativ** de execuție pentru toate activitățile cu un deadline ferm, în condițiile unei cuante de simulare date
- să testeze comportarea sistemului în condițiile simulării de defecțiuni hardware și software

Aceste scenarii de test cresc în complexitate pe măsură ce se trece de la testarea individuală, la nivel de modul și subsistem, către testarea sistemului în ansamblul său (testarea de integrare). Uneori testarea finală, integrare, este deosebit de dificil de realizat în cazul unor sisteme de o complexitate mare, și, pentru aceste cazuri trebuie utilizate metode de testare puțin diferite de cele clasice. O astfel de metodă de testare o reprezintă **testarea interactivă**.

Definiție:

Testarea interactivă – reprezintă o metodă de testare a unui sistem de control timp real utilizând un singur scenariu de test, dar a cărui parametri pot fi modificați interactiv în decursul simulării

O comparație între modalitățile obișnuite de testare și testarea interactivă este prezentată în Figura 24:

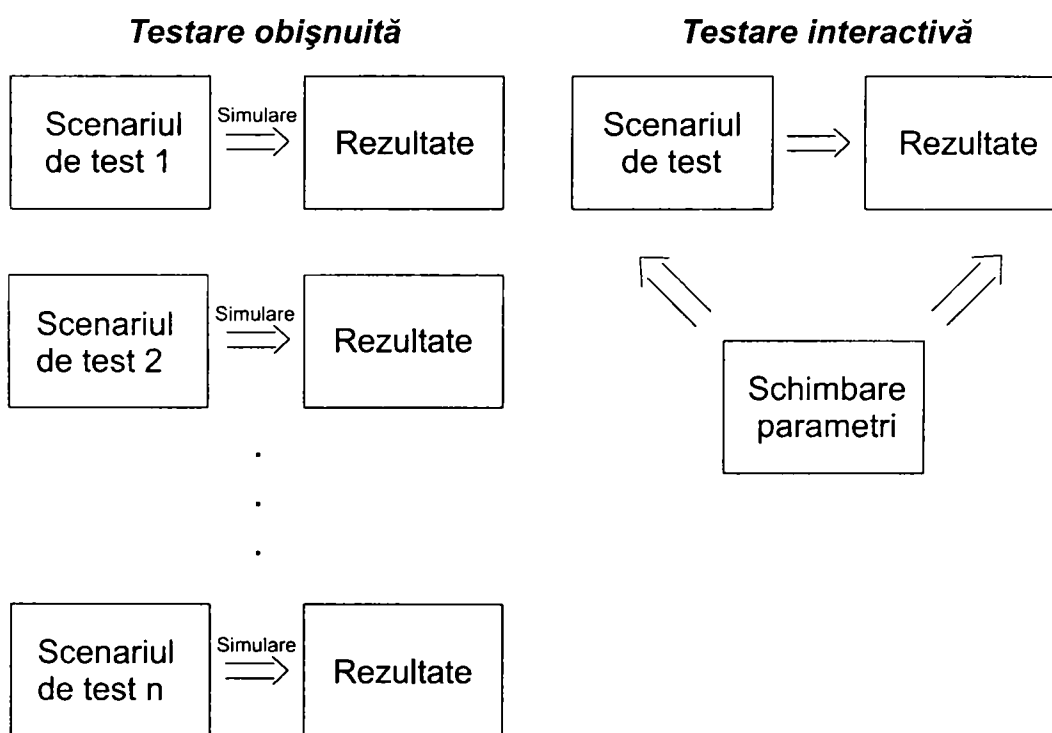


Figura 24: Comparație între testarea obișnuită și testarea interactivă

Pentru ca testarea interactivă să fie realizată practic trebuie să existe posibilitatea modificării interactive a parametrilor utilizați în cadrul unui scenariu de test. În cazul sistemelor de control în timp real a proceselor industriale, acest lucru se poate realiza, dacă se dispune de unelte CASE adecvate, utilizând chiar interfața grafică asociată procesului controlat.

Conform criteriilor de descompunere în subsisteme prezentate în paragraful 3.2.1, aceasta va rula pe un nod separat celui (sau celor) pe care va rula programul de control, lucru dictat de rațiuni legate de o mai bună structurare precum și de necesitatea de a minimiza pe cât posibil dimensiunea programului de control propriu-zis. În plus, toate prelucrările și analizele ulterioare de ordin statistic (trasare de diagrame în timp real, stocarea datelor și trasarea diagramelor de evoluție în timp a diversilor parametri, etc.) nu vor fi incluse în programul de control, ci vor fi parte a interfeței utilizator.

Marele avantaj al utilizării metodei de testare interactivă față de metodele clasice este flexibilitatea: în cadrul acesteia, diferite scenarii de test pot fi generate în decursul execuției unei singure simulări prin schimbarea interactivă a unor parametri din cadrul scenariului inițial; în cadrul metodelor de testare clasice, după execuția fiecărui scenariu, se reia simularea pentru următorul scenariu de execuție, ș.a.m.d., pînă la epuizarea tuturor scenariilor posibile (Figura 24).

Intrucît posibilitatea de a realiza o astfel de modalitate de testare este strîns legată de disponibilitatea unui mediu software pentru dezvoltarea interfețelor utilizator care să permită realizarea legăturii cu simulatorul, unelte CASE adecvate trebuie alese în acest scop. În consecință, software-ul utilizat pentru dezvoltarea interfeței utilizator trebuie să furnizeze trei elemente esențiale:

- un editor grafic care să dispună de biblioteci de componente cît mai diversificate și care să permită descrierea la nivel schematic a sistemului într-o manieră cît mai sugestivă
- metode de acces la baza de date utilizată în procesul de simulare și posibilitatea modificării interactive acesteia (stabilirea legăturii bidirecționale cu simularea)
- posibilitatea realizării unor activități de managementul datelor: stocarea și întreținerea datelor pentru prelucrări ulterioare, realizarea de grafice de evoluție în timp real, precum și a altor calcule necesare la nivelul aplicației

Utilizînd o astfel de interfață, modelul prescriptiv simulat M_p se comportă în această fază ca și sistemul controlat real, transmițînd date către interfața utilizator și primind date și comenzi prin intermediul acesteia. Pentru un anumit scenariu, utilizatorul poate schimba diferiți parametri de rulare pentru a studia efectele acestora în sistem. Astfel se poate obține o imagine mult mai fidelă a dinamicii sistemului decît în cazul în care interfața cu utilizatorul nu ar fi fost utilizată, datorită faptului că, prin intermediul acesteia, interpretarea rezultatelor devine mult mai clară.

5.2.3. Etapa 3: Construirea modelului pentru implementare utilizând PLC-uri

Scopul acestei etape îl constituie realizarea modelului de implementare M_{impl} a sistemului de control timp real pe baza modelului prescriptiv validat M_p obținut în cadrul etapei anterioare. Construirea modelului de implementare M_{impl} constă practic din două etape esențiale: împărțirea software-ului în module (proiectarea software) și alocarea acestora pe procesoare (proiectarea hardware). Modalitatea efectivă în care se realizează acest lucru este dependentă de rezultatele obținute în procesul de validare al modelului prescriptiv M_p .

5.2.3.1. Proiectarea software

Practic, strategia general recomandată poate fi exprimată ca fiind bazată pe minimizarea pe cât posibil a părților din sistem care au constrângeri de timp hard, pentru că acestea sunt cel mai dificil de implementat și testat. În consecință, structura programului trebuie să se bazeze pe partiționarea aplicației în module pe baza funcționalității și a constrângerilor de timp, în cazul în care este necesar, și care sunt cuplate împreună utilizând o structură de control, ca cea prezentată în Figura 19. Această partiționare conduce la un set de operații, fiecare operație realizând o funcție specifică. Aceste operații realizează de fapt controlul procesului: adică transformările necesare asupra datelor preluate de la senzori și transmise către actuatori.

În procesul de generare a modelului pentru implementare M_{impl} și ulterior a implementării acestuia, ideea de bază o reprezintă păstrarea structurii codului din cadrul modelului M_p care corespunde software-ului ce va fi implementat în controller. Astfel, în general, definițiile care compun strategia de control C_p din cadrul modelului M_p constă din blocuri multiple interconectate între ele prin intermediul unei structuri ierarhice.

Această organizare ierarhică este benefică din mai multe puncte de vedere, printre care:

- **economia de expresii** – componente comune pot fi referite în mod repetat fără a duplica definiția acestora de fiecare dată când sunt utilizate
- **controlul asupra granularității definițiilor în diferite contexte** – anumite definiții complexe pot fi sparte în blocuri mai mici, de dimensiuni mai ușor de asimilat
- **reutilizarea și interschimbarea subcomponentelor** – acestea pot fi ușor actualizate și împărțite între definiții de control multiple

- **costuri de întreținere scăzute** - componentele comune pot fi întreținute și reutilizate prin intermediul unei biblioteci centrale de componente

În urma validării modelului simulat M_p al sistemului se poate trece la construirea modelului utilizat pentru implementarea propriu-zisă. Construirea modelului de implementare M_{impl} implică extragerea din cadrul modelului M_p a tuturor informațiilor necesare în implementarea programului de control. Aceste informații sunt următoarele:

- **strategia de control C_p** care va fi implementată în cadrul programului de control: fiecare bloc de control din cadrul modelului M_p va fi transpus într-un bloc de program corespunzător blocului respectiv
- **dictionarul de date**, care conține toate variabilele utilizate în cadrul modelului: din cadrul acestuia se vor extrage doar variabilele care sunt utilizate în cadrul strategiei de control precum și variabilele care se referă la I/O. În scopul automatizării pe cât posibil a activității de construire a modelului și implementare a acestuia, va trebui realizată o corespondență directă între aceste variabile și variabilele utilizate în același scop din cadrul PLC-ului. Prin înlocuirea variabilelor modelului M_p cu variabilele corespunzătoare din PLC în cadrul strategiei de control C_p de mai sus, se obține modelul general de implementare al programului de control M_{impl}

Practic acest lucru se realizează prin utilizarea sursei programului de simulare propriu-zis, cu următoarele modificări:

- înlăturarea porțiunilor care se referă la modelarea elementelor fizice din sistem și care nu țin de logica de control
- realizarea corespondenței variabilelor din dictionarul de date care se referă la I/O și care sunt utilizate în cadrul strategiei de control cu variabilele utilizate în cadrul PLC-urilor
- păstrarea structurii generale a modulelor și eventual completarea acestuia cu noi module

Atunci când logica de control este definită într-o manieră ierarhică, ca și în cazul modelului M_p , în procesul construirii modelului de implementare M_{impl} este ideală păstrarea acestei structuri, modulele din cadrul ierarhiei vor putea fi astfel mapate unu-la-unu peste modulele (subrutine, blocuri) din cadrul software-ului de control. Acest lucru este deosebit de important deoarece, modelul de implementare M_{impl} fiind derivat din cadrul modelului prescriptiv M_p , care a fost în prealabil validat, este necesară testarea doar a porțiunii din cadrul modelului de implementare M_{impl} care corespunde unor module noi.

Aceasta arată faptul că, utilizarea unor biblioteci de componente reutilizabile verificate și validate în cadrul strategiei de control C_p , va conduce la crearea unor biblioteci de module (subrutine) software reutilizabile și certificate în cadrul software-ului implementat. Utilizarea unei astfel de abordări în realizarea modelului de implementare M_{impl} are următoarele avantaje:

- modelul de implementare păstrează structura ierarhică a modelului M_p simulat; în consecință și programul implementat după acest model va fi structurat ierarhic într-o manieră asemănătoare
- modelul M_p fiind descris într-o manieră formală, rezultă că și modelul de implementare M_{impl} rezultat va fi descris tot formal; în consecință, transpunerea acestuia într-o implementare utilizând un limbaj specific pentru un anumit tip de controller este foarte simplă, clară și directă. Această translație poate fi eventual și automatizată prin crearea unor translație specifice.

5.2.3.2. Alocarea modulelor pe procesoare

Activitatea de alocare necesită analiza întregului sistem pentru estimarea performanțelor acestuia în relație cu anumite constrângeri de timp impuse de specificații. O astfel de analiză a fost realizată în cadrul procesului de simulare, și ea a inclus următoarele etape:

- determinarea experimentală a timpilor de execuție pentru toate acțiunile cu constrângeri de timp hard, în condițiile simulării realizate cu diverse intervale de simulare
- compararea timpilor obținuți cu cei impuși de specificații

Astfel, în funcție de rezultatele obținute, există două posibilități de abordare:

- **utilizarea unui singur procesor** – reprezintă cea mai simplă modalitate de alocare și ea presupune să se aloce un singur procesor pentru întreaga activitate de control. Acest lucru este posibil dacă, în urma analizei de mai sus, rezultă un $t_{lim_{min}}$ astfel încât condiția (r4.5) prezentată la paragraful 4.2.4. este îndeplinită pentru toate constrângerile temporale din sistem în condițiile tipului de PLC ales. Alegerea tipului de PLC se bazează pe caracteristicile acestuia, astfel încât să poată fi asigurate resursele necesare conform **principiului resource adequacy**: puterea procesorului, dimensiunea memoriei, posibilitatea de a asigura interfața cu dispozitivele, fiabilitatea. Alte cerințe mai speciale care stau la baza alegerii sunt necesitatea unui set extins de instrucțiuni, cerințe speciale de memorie, facilități de interfațare cu dispozitive speciale, etc.

- **utilizarea mai multor procesoare în cadrul unui sistem distribuit** – în acest caz activitatea de control trebuie împărțită pe mai multe procesoare, astfel încât, pentru fiecare dintre acestea să poată fi îndeplinite condițiile (r4.5) și eventual (r4.6) pentru toate activitățile cu deadline ferm. În acest scop, trebuie identificată structura sistemului și modalitățile de comunicare între nodurile acestuia.

Pentru comunicarea între noduri în cazul sistemelor de control în timp real este de preferat să se utilizeze un server, central sau distribuit. O caracteristică a sistemelor de control în timp real care utilizează PLC-uri este aceea că achiziția de date se realizează periodic, și deci datele sunt actualizate de asemenea periodic; această categorie de sisteme utilizează abordarea ciclică prezentată la paragraful 4.2.1. În această situație este mult mai eficient să se stocheze datele chiar la sursa colectării acestora cu posibilitatea de a fi accesate eventual de la distanță. De fapt, acest lucru este realizat implicit în cazul în care se utilizează abordarea **Cy-Clone distribuit**: după cum a fost precizat în paragraful 4.2.2., datele din cadrul tabelelor de comunicare ale fiecărui nod sunt accesibile tuturor celorlalte noduri.

Următoarele elemente trebuie luate în considerare în procesul de identificare a nodurilor:

- **funcționalitate** - nodul realizează o funcție sau un grup de funcții corelate; traficul de date între aceste funcții poate fi relativ mare și împărțirea acestuia între mai multe noduri poate în mod potențial crește prea mult traficul-ul din sistem; acțiuni de tipul **A implică B** vor fi pe cât posibil grupate pe același procesor, conform celor precizate în paragraful 4.2.4.
- **server** - nodul furnizează un serviciu, răspunzând la cereri din partea unor alte noduri clienți; în mod frecvent server-ul furnizează servicii care sunt asociate cu un set de date
- **agent** - un nod agent furnizează un serviciu indirect; în scopul realizării acestui serviciu acesta trebuie să apeleze la alte subsisteme, acționând ca un intermediar între un client și un server
- **controlul localizat** - în anumite cazuri, nodurile furnizează anumite funcții specifice doar pentru o anumită parte a sistemului în ansamblul său. Astfel, se poate considera că nodul operează cu o relativă independență față de celelalte noduri, astfel el putând fi operațional chiar și în cazul în care unul dintre acestea se defectează

- **interfața cu utilizatorul** - odată cu proliferarea calculatoarelor personale, subsistemul care furnizează interfața cu utilizatorul este bine să ruleze pe un nod separat, interacționînd cu alte noduri. Practic, subsistemul pentru interfața cu utilizatorul are rol de actor [Booch]
- **performanță** – grupînd funcțiile critice din punct de vedere temporal în cadrul unui nod separat din sistem, de multe ori se poate obține o mai bună și mai predictibilă performanță a acestuia

În plus, mesajele care implementează comunicarea între noduri pot fi tratate în două moduri:

- utilizînd o coadă de mesaje **slab cuplată (loosely coupled)**: dacă un task producător necesită transmiterea de informație către un task consumator și cele două task-uri pot rula la viteze diferite
- utilizînd o coadă de mesaje **puternic cuplată (strong coupled)**: producătorul nu poate trece mai departe pînă cînd nu obține un răspuns de la consumator

Din punctul de vedere al modulelor software, în cazul în care se impune utilizarea mai multor procesoare în vederea satisfacerii anumitor cerințe temporale, în plus, față de etapele de translatare a modelului M_p în modelul M_{impl} descrise în cadrul capitolului anterior, mai este necesară în plus realizarea unei etape suplimentare de împărțire a modulelor modelului M_{impl} pe procesoarele utilizate, rezultînd un sistem distribuit, cu o arhitectură care se încadrează în modelul general prezentat în paragraful 4.1.2.

Criteriile fundamentale care stau la baza procesului de împărțire sunt în principal următoarele:

- gruparea, pe același procesor al modulelor cu coeziune mare, și care realizează un set de funcții legate între ele astfel încît să se minimizeze cît mai mult posibil traficul de informație în sistem; utilizarea unei rețele de control în timp real (paragraful 4.1.2) pentru legarea între ele a diferitelor tipuri de PLC-uri pentru transmiterea în timp real a mesajelor este esențială în scopul obținerii de întârzieri minime atît în procesul de transmitere al informațiilor (sincronizare la nivelul microsecundelor) cît și în procesul de detectare a defecțiunilor unui anumit procesor
- întrucît în cadrul fiecărui PLC se utilizează abordarea ciclică, și deci secvențială, în procesul de implementare propriu-zis, împărțirea modulelor trebuie astfel realizată încît, pentru fiecare procesor să se garanteze existența resurselor necesare astfel încît toate operațiile din cadrul programului să poată fi executate în timp util. Acest lucru

reprezintă de fapt premiza de bază, de la care se pornește în cazul în care se dorește utilizarea unei astfel de abordări (paragraful 4.2.).

Prin aplicarea acestei modalități de descompunere și mapare, rezultă în final o structură generală a software-ului timp real care reflectă cerințele funcționale ale sistemului de control în timp real, și care conține următoarele tipuri de module:

- module pentru realizarea controlului operational
- module pentru monitorizarea starilor și realizarea achiziției de date
- module pentru tratarea defecțiunilor și semnalarea alarmelor
- module pentru realizarea diferitelor calcule statistice
- module pentru analiza istoricului evoluției
- module pentru realizarea interfeței cu utilizatorul

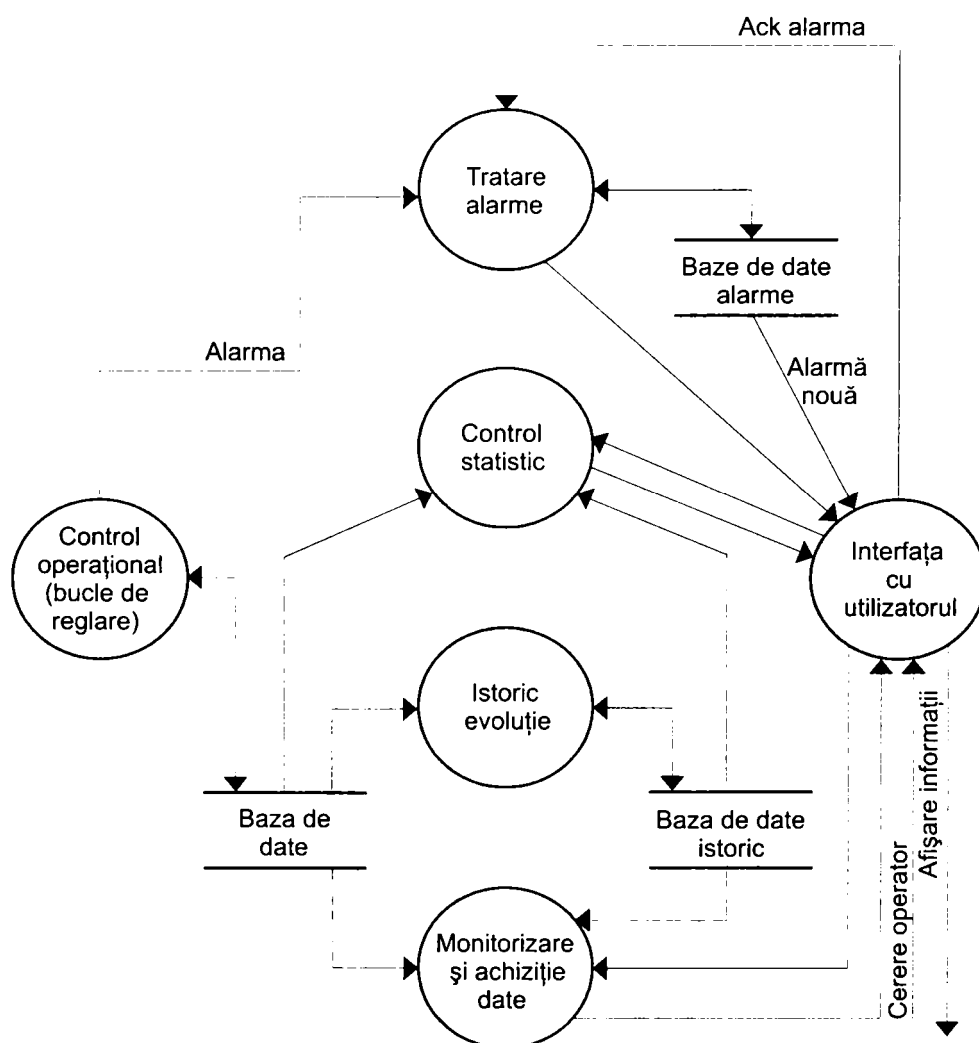


Figura 25: Tipuri conceptuale de module în sistemele de control timp real

Aceste categorii de module (Figura 25) sunt caracteristice oricărei categorii de aplicații de control automat în timp real, și se vor regăsi ulterior și în structura programului propriu-zis.

5.2.4. Etapa 4: Implementarea software-ului și testarea

Scopul acestei etape îl constituie realizarea efectivă a implementării software-ului pentru sistemul de control timp real, pe baza modelului de implementare M_{impl} definit în cadrul etapei anterioare. Testarea software-ului implementat reprezintă ultima fază a procesului de testare care s-a desfășurat de-a lungul întregului ciclu de dezvoltare a aplicației, conform schemei generale prezentată în cadrul paragrafului 1.3.4.5; în urma acesteia se va determina dacă într-adevăr sistemul proiectat și implementat satisface cerințele funcționale și temporale impuse.

5.2.4.1. Implementarea software-ului sistemului de control timp real

Implementarea software-ului de control se realizează pe baza modelului de implementare M_{impl} definit mai sus, utilizând limbajul de programare specific controller-ului (sau controller-elor) ales. Implementarea poate fi realizată manual, sau automat, utilizând în acest scop translatoare specifice. Deoarece modelul de la care se pleacă M_{impl} este derivat din M_p , care este descris într-o manieră formală, transpunerea automatizată a acestuia într-o implementare nu reprezintă o problemă.

Generarea automată a codului este o opțiune care, în cazul în care este disponibilă este recomandat a fi utilizată, cu următoarele observații care trebuie avute în considerare:

- în ce măsură software-ul generat este sau nu optimizat – în cazul aplicațiilor de control în timp real este importantă realizarea unor optimizări chiar în cadrul procesului de translație. Acest lucru reduce dependența de optimizările cu caracter general pe care le realizează divesele compilatoare utilizate și de asemenea permite realizarea unor optimizări specifice domeniului
- în ce măsură software-ul generat este portabil pe calculatorul sau calculatoarele utilizate efectiv în controlul procesului
- în ce măsură codul generat poate fi accesat de alte aplicații astfel încât diverse forme de analiză să poată fi realizate în afara software-ului de control

În ciuda importanței păstrării structurii ierarhice, majoritatea generatoarelor automate de cod comerciale pentru controller-e existente la ora actuală nu păstrează structura definițiilor care implementează logica de control în software-ul generat. În mod tipic, subcomponentele din cadrul definițiilor sunt ca niște macro-uri a căror segment de cod este substituit inline în cadrul software-ului generat. În consecință, software-ul produs nu prezintă modularitatea și ierarhizarea modelului inițial; de cele mai multe ori acesta rezultă într-o subrutină mare și unică, și acest lucru impietează în mod hotărâtor asupra procesului de verificare și validare, precum asupra întreținerii ulterioare a acestuia.

De asemenea, nu sunt tratate probleme legate de optimizarea codului în timpul procesului de translație; atunci când codul este destinat controller-elor care operează în timp real, realizarea unui cod cât mai compact, fiabil și ușor de întreținut reprezintă elemente esențiale.

5.2.4.2. Testarea software-ului implementat

Procesul de testare se bazează pe ideea de a partiționa sistemul în subsisteme compozabile, astfel încât fiecare subsistem să poată fi testat în mod izolat, fără a fi generate efecte secundare în procesul de testare de integrare. Impărțirea software-ului pe subsisteme și module conform criteriilor prezentate în paragraful 3.2.1. a avut în vedere acest lucru încă din faza de proiectare (proiectare pentru testabilitate);

Testarea software-ului implementat reprezintă ultima fază a procesului de testare care s-a desfășurat de-a lungul întregii dezvoltări a aplicației de control în timp real (Figura 8, paragraful 1.3.4.5). Este practic singura fază care se realizează efectiv în timp real, programul fiind conectat la procesul fizic controlat. Scopul testării finale îl reprezintă acela de a se determina dacă sistemul îndeplinește într-adevăr toate cerințele funcționale și temporale.

În cadrul acestui proces de testare, observabilitatea ieșirilor subsistemelor existente precum și controlabilitatea intrărilor utilizate reprezintă esența activității de testare. Utilizarea abordării ciclice în procesul de proiectare (sistem **time-triggered TT**) rezultă într-un sistem deterministic în cadrul căruia controlabilitatea intrărilor și observabilitatea ieșirilor este relativ ușor de obținut, și, în plus, reproductibilă.

Pentru sistemele care nu sunt de timp real, observabilitatea și controlabilitatea sunt furnizate de către monitoare și depanatoare de test care opresc programul în punctele de test și dau posibilitatea vizualizării și eventual

schimbării valorilor variabilelor. Pentru sistemele în timp real, o astfel de metodă nu este potrivită din două motive:

- întârzierile temporale introduse la punctele de testare modifică comportarea temporală a sistemului astfel încât există posibilitatea ca anumite erori existente să fie ascunse
- în cazul unui sistem distribuit, există mai multe căi de control; oprirea uneia sau alteia poate conduce la distorsiuni temporale în sistem și genera noi erori

De asemenea, de-a lungul activității de testare, numai o mică fracțiune din spațiul intrărilor posibile al unui sistem software poate fi încercată. Astfel, un element esențial în cadrul acestui proces îl reprezintă găsirea unui set cât mai reprezentativ de date pentru testare. Scenariile de utilizate în procesul de verificare și validare a modelului prescriptiv M_p (simulatorului), pot fi utilizate și în această fază.

Etapele care trebuie urmate în procesul de testare sunt următoarele:

- **testarea separată a modulelor** prin simularea prin program a fiecărei situații critice, în mod izolat, prin forțarea intrărilor corespunzătoare; în cadrul acestei faze programul nu a fost încă conectat la procesul fizic
- **testarea programului în ansamblul său**, cu intrările și ieșirile legate direct la procesul fizic de controlat

Pentru a ușura procesul de testare al sistemului se utilizează și în această ultimă fază testarea interactivă prezentată în cadrul paragrafului 5.2.2.2. În această etapă însă, în locul prototipului de simulator se va afla sistemul real. Testarea a fost realizată intensiv, pe perioade lungi de timp, pentru a se putea culege suficient de multe date, și pentru a se putea garanta, în proporție cât mai apropiată de 100% funcționarea corectă a sistemului din toate punctele de vedere. Practic, în această etapă a fost testat sistemul în ansamblul său, conectat direct la procesul fizic de controlat.

Această fază a testării în timp real a sistemului ridică în general probleme deosebite legate de protecție, mai ales în cazul testării condițiilor limită. În anumite cazuri, anumite situații nici nu pot fi testate "pe viu", luându-se în considerare în acest caz rezultatele obținute în cadrul simulării. În consecință, acceptarea software-ului implementat ca fiind corespunzător, pe baza rezultatelor obținute în procesul de testare, poate fi, în asemenea situații, discutabilă. Exceptînd însă astfel de situații, sistemul rezultat este un sistem deterministic, în cadrul căruia se poate garanta în final îndeplinirea tuturor constrîngerilor impuse.

5.3. Concluzii

În acest capitol a fost prezentată o metodologie de dezvoltare a aplicațiilor de control timp real utilizând PLC-uri. Metodologia se bazează pe abordarea ciclică prezentată în cadrul paragrafului 4.2., este aplicabilă sistemelor care utilizează controlul temporal (**time triggered TT**), și constă în principal din următoarele etape:

- realizarea modelului descriptiv M_d pe baza specificațiilor inițiale ale sistemului; modelul M_d include și strategia de control adoptată
- realizarea modelului prescriptiv M_p și validarea acestuia utilizând simularea
- realizarea modelului de implementare M_{impl} pe baza modelului M_p în prealabil validat
- implementarea software și hardware a sistemului pornind de la modelul de implementare M_{impl} și testarea acestuia

Fiind aplicată într-un domeniu multidisciplinar, metodologia se bazează pe utilizarea combinată a **conceptelor ingineriei programării IP** precum și a **ingineriei controlului automat ICA**. Un element esențial în cadrul metodologiei propuse îl constituie utilizarea simulării în scopul validării modelelor propuse.

În acest sens, metodologia se bazează în principal pe combinarea a trei ingrediente de bază, și anume:

- utilizarea unei unelte CASE pentru reprezentarea matematică **MMS** a componentelor sistemului în cadrul modelelor M_d și M_p
- utilizarea unui limbaj de simulare general pentru implementarea și ecuațiilor pentru modelul matematic M_p descris mai sus
- utilizarea unui software de realizare a interfeței utilizator care să permită gestionarea în timp real a execuțiilor precum și crearea unei interfețe utilizator interactive

Exemple de astfel de unelte **CASE** și software de aplicație sunt multiple; o combinație care a fost utilizată și care va fi prezentată în studiul de caz din cadrul capitolului 4 este următoarea:

- utilizarea mediului **ACSL /GM(Advanced Continuous Simulation Language / Graphic Modeller)** pentru reprezentarea **MMS** a componentelor sistemului
- utilizarea limbajului de simulare **ACSL** pentru simularea modelului matematic

- utilizarea software-ului de aplicație **InTouch WindowsViewer** pentru crearea interfeței utilizator interactive

Utilizarea simulării în combinație cu testarea interactivă permite evaluarea sistemului de control real implementat din toate punctele de vedere: funcțional, al performanțelor (și în mod deosebit a celor temporale), al modului în care acesta reacționează în situațiile de defecțiune și eroare, etc. În funcție de rezultatele obținute, vor fi luate în continuare deciziile referitoare la arhitectura hardware și software utilizată în procesul de implementare propriu-zis, pe baza principiului de **resource adequacy** prezentat în paragraful 2.1.4.

Pentru sistemele timp real dezvoltate utilizând metodologia propusă, garantarea performanțelor în toate situațiile poate fi realizată, datorită predictibilității obținute în urma utilizării paradigmei **Cy-Clone**. Problema este însă că metodologia nu este aplicabilă oricărui tip de sistem, ci doar acelorora pentru care, pe baza constrângerilor de timp impuse, este posibilă găsirea unei soluții hardware și software astfel încât relațiile (r4.5) și respectiv (r4.6), prezentate în paragraful 4.2.4., să poată fi îndeplinite. În prezent însă, odată cu dezvoltarea tot mai rapidă a puterii de procesare a controller-elor actuale, categoria de aplicații care pot fi modelate cu metodologia propusă este din ce în ce mai mare, reprezentând marea majoritate a sistemelor întâlnite în practică.

Astfel, prin utilizarea combinată a PLC-urilor și a paradigmei **Cy-Clone**, rezultă o metodologie de modelare și simulare nouă și importantă, care poate fi ușor adaptată pentru o largă categorie de aplicații complexe din domeniul controlului automat în timp real. Utilizarea concretă a metodologiei propuse va fi ilustrată pe larg în studiul de caz prezentat în cadrul capitolului 6.

6. STUDIU DE CAZ: SISTEMUL AUTOMAT DE MONITORIZARE ȘI CONTROL A INSTALAȚIEI GEOTERMALE DE LA UNIVERSITATEA DIN ORADEA

Pentru a furniza un exemplu concret de utilizare a metodologiei propuse în proiectarea și implementarea unui sistem în timp real, se prezintă în continuare cazul concret al sistemului de monitorizare și control a instalației geotermale de la Universitatea din Oradea, proiect dezvoltat de un colectiv din cadrul căruia am făcut parte.

Astfel, întreg campusul universitar orădean, precum și câteva clădiri din apropiere, utilizează, pentru încălzire și apă caldă menajeră, apa geotermală extrasă dintr-un puț (nr. 4796) aflat în aria campusului. Pînă în anul 1997, potențialul acestuia nu a fost utilizat la capacitatea maximă, cauzînd astfel o serie de pierderi importante de energie.

În anul 1995, pe baza unui contract, și în colaborare cu firma Raffhonnun din Reikjavik, Islanda, a fost demarat un proiect comun pentru modernizarea sistemului în cauză. O parte din modificările aduse vechiului sistem au constat în implementarea unui sistem automat de monitorizare și control, care, față de versiunea complet manuală existentă pînă atunci, aduce clar o serie de avantaje:

- funcționare mult mai economică, optimă funcție de cerințe
- funcționare mult mai sigură
- monitorizarea continuă în timp a stării procesului, rezultînd reacții foarte rapide la eventuale situații de alarmă
- utilizarea unui minim de forță de muncă.

În procesul de dezvoltare a aplicației în timp real prezentate în cadrul acestui studiu de caz au fost urmate toate etapele prevăzute în cadrul metodologiei prezentate în cadrul capitolului 5. Capitolele care urmează ilustrează modalitatea în care metodologia propusă a fost în mod concret aplicată în procesul de proiectare și implementare a sistemului de monitorizare și control a instalației geotermale de la Universitatea din Oradea.

6.1 Analiza și specificarea cerințelor

În procesul de realizare a sistemului de monitorizare și control, s-a pornit inițial prin elaborarea documentului de analiză și specificare a cerințelor. În cadrul acestuia, au fost sintetizate în detaliu informațiile despre sistem în ansamblul său: procesul controlat P împreună cu strategia de control C, $S = P + C$.

6.1.1. Descrierea procesului fizic de controlat P

Din punct de vedere structural, instalația geotermală de la Universitatea din Oradea se compune din trei părți: **stația sondei**, **stația de pompare** și **punctul termic**. Funcționarea generală a sistemului implică următoarele [Zma95]:

- apa este extrasă de la stația sondei, utilizând o pompă de adâncime care este pusă în funcțiune doar dacă debitul necesar este mai mare decât cel artezian; se utilizează apoi un bazin pentru stocarea apei extrase, atât pe post de acumulator (astfel încât debitul apei de la sondă să nu fie nevoit să urmeze variațiile în timp ale necesarului de apă în rețea, rezultând astfel un sistem mult mai stabil) cât și pentru a separa producția de rețeaua de distribuție (adică eventualele disfuncționalități pe termen scurt în furnizarea apei de la sondă să nu afecteze distribuția)
- ulterior, apa este pompată, prin intermediul stației de pompare, către punctul termic, unde nu este utilizată direct, ci prin intermediul unor schimbătoare de căldură. Apa rezultată de pe circuitul de retur se propune a fi utilizată în viitor în mod "cascadă" pentru o seră și un bazin de înot; de asemenea, pentru a compensa creșterea producției și de a preveni scăderea presiunii în rezervorul subteran de apă geotermală, o parte din apa geotermală utilizată se va reinjecta în sol.

Principalele elemente structurale din care este alcătuit procesul sunt sintetizate în Tabelele 5, 6 și 7.

Tabelul 5: Elementele componente ale procesului P – **stația sondei**

Element	Descriere
P1	Pompă de adâncime
P2	Pompa de ungere a arborelui pompei P1
VSD1	Variator de turație pentru controlul pompei P1
CV0	Robinet de reglare pentru controlul debitului de la sondă
M	Motor electric pentru controlul robinetului CV0

Tabelul 6: Elementele componente ale procesului P – *stația de pompare*

Element	Descriere
P3	Pompă de forță pentru menținerea constantă a presiunii în rețeaua de distribuție
P4	Pompa de forță de rezervă
VSD2	Variator de turație pentru controlul pompei P3 respectiv P4

Tabelul 7: Elementele componente ale procesului P – *punctul termic*

Element	Descriere
P5 – P7	Pompe de circulație; două dintre acestea sunt utilizate pentru a circula apa în sistemul de încălzire, una este de rezervă
P8 – P9	Pompe de completare: sunt folosite pentru a introduce apă suplimentar în rețea și de a menține astfel presiunea statică în limite determinate în condițiile existenței unor pierderi
CV2 – CV6	Robinete de reglare
M	Motoare electrice pentru controlul robinetelor CV2-CV6
X2, X4	Schimbătoare de căldură în plăci (perechi)

Schema generală a sistemului împreună cu toate dispozitivele (aparatele de măsură și control) existente apare în **Anexa 1** (preluată din [Zma95]).

De asemenea, documentul de analiză și specificare a cerințelor mai conține informații legate de interfața cu utilizatorul. Astfel, pentru a putea monitoriza și controla evoluția sistemului, a existat cerința de a se dezvolta, pe lângă programul de control propriu-zis și o interfață cu utilizatorul care să conțină în principal:

- ferestre pentru monitorizarea grafică în timp real a evoluției diferitelor mărimi precizate de utilizator
- o fereastră pentru afișarea alarmelor
- ferestre speciale care vor conține valorile curente ale tuturor constantelor utilizate în cadrul sistemului cu posibilitatea modificării acestora de către operator
- posibilitatea realizării diferitelor calcule și totalizării (de exemplu, totalizarea cantității totale de apă extrasă pe zi, pe lună, pe an) precum și a vizualizării acestora în orice moment

- posibilitatea stabilirii diferitelor niveluri de acces pentru operatori, cu parolă.

6.1.2. Descrierea strategiei de control dorite C

Stația sondei are scopul de a extrage apa geotermală de la sondă și de a o stoca apoi într-un rezervor. Cantitatea de apa care se extrage de la sondă este variabilă, astfel încât nivelul apei din cadrul rezervorului să se mențină constant.

Astfel, la stația sondei, se observă prezența pompei de adâncime P1, utilizată pentru a mări debitul apei la sondă, funcție de necesitățile din sistemul de distribuție. Obiectivul stației sondei este, în conformitate cu strategia de control adoptată, acela de a menține nivelul LT1 din bazin constant. Acest lucru este realizat controlând fie viteza de operare a pompei P1 (respectiv pornirea/oprirea acesteia), fie prin închiderea/deschiderea robinetului CV0.

Funcția principală a stației de pompare este aceea de a furniza apă caldă geotermală în rețeaua de distribuție, menținând o presiune constantă în rețea, indiferent de cerințe (presiunea PT1). Acest lucru se realizează controlând viteza de pompare respectiv pornirea/oprirea pompelor P3 respectiv P4 (de rezervă).

Funcția punctului termic este aceea de a încălzi clădirile Universității și de a le furniza apă caldă menajeră. Aceste două procese de încălzire sunt ambele realizate indirect, utilizându-se 4 schimbătoare de căldură în plăci, pentru a furniza energie termică: 2 pentru circuitul de încălzire DH și 2 pentru circuitul de apă caldă menajeră DHW. În cadrul punctului termic, temperatura TT8 a apei geotermale de la ieșirea din schimbătoarele de căldură precum și presiunea PT3 a apei calde la ieșirea din schimbătoare sunt mărimi care trebuie menținute la valori constante, asigurând astfel un randament cât mai bun a instalației, din punct de vedere al energiei furnizate.

Pentru a realiza aceste deziderate, dispozitivele care trebuie controlate sunt pompele de circulație a apei P5-P7 care sunt pornite respectiv oprite în funcție de necesități precum și robinetele CV2 (pentru controlul temperaturii TT8) și respectiv CV4 (pentru controlul presiunii PT3).

În etapa următoare, de control algoritmic, este ilustrată modalitatea de realizare efectivă a controlului pe baza strategiei prezentate mai sus.

6.2. Controlul algoritmic

6.2.1. Etapa 1: Realizarea modelului descriptiv M_d

În vederea realizării modelului descriptiv M_d al sistemului s-a pornit de la modelul descriptiv al procesului P_d , și care a fost completat ulterior cu strategia de control adoptată. Descrierea modelului descriptiv a fost realizată utilizând editorul grafic **ACSL/Graphic Modeller** [MGA96a], care permite descrierea la nivel de schemă bloc a tuturor elementelor componente ale acestuia, precum și a relațiilor existente între ele.

6.2.1.1. Descompunerea sistemului în subsisteme și definirea modelului descriptiv al procesului P_d

Bazat pe criteriile de descompunere în subsisteme prezentate în paragraful 5.2.1.1., aplicația a fost descompusă în subsisteme pe criterii funcționale, în varianta top-down.

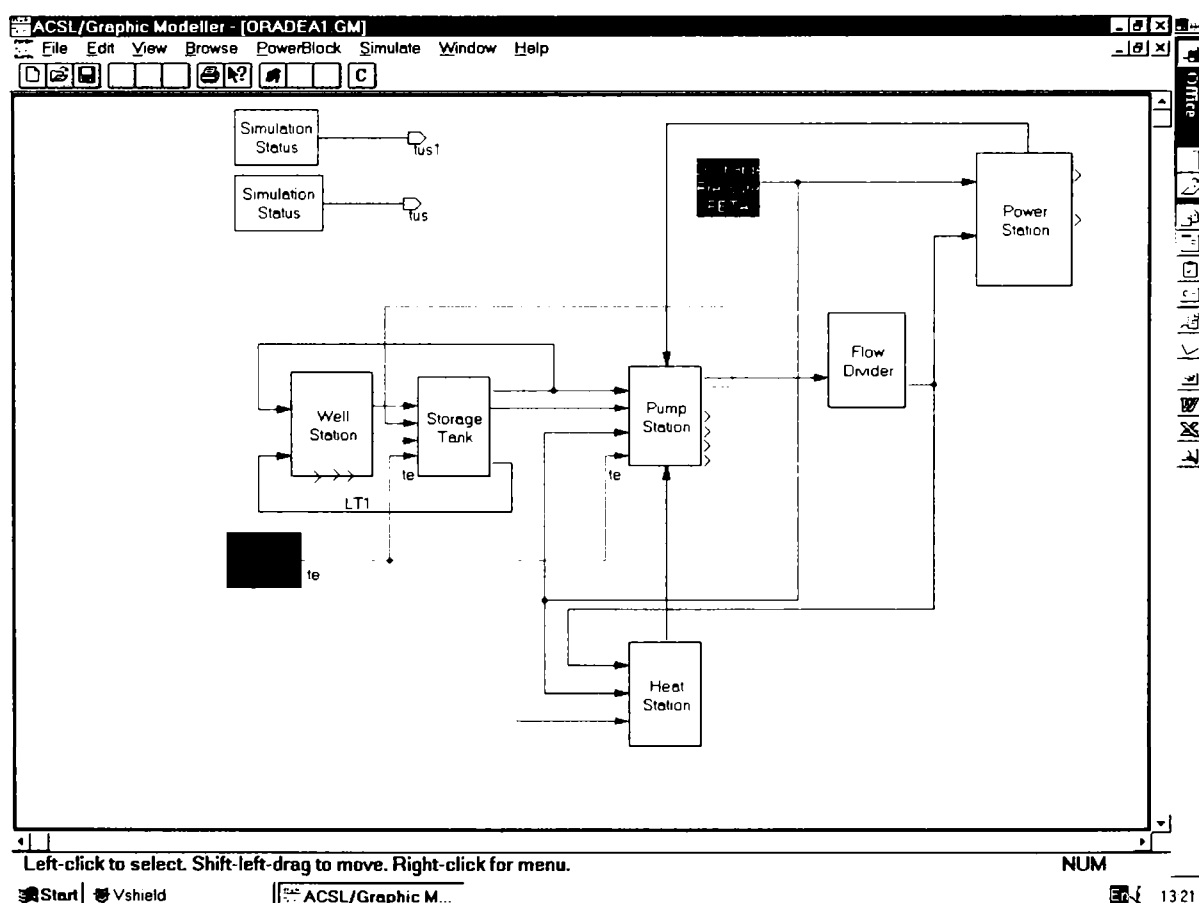


Figura 26: Diagrama schematică a procesului P_d din Graphic Modeller

Subsistemele procesului fizic de controlat P_d au fost identificate pe baza descompunerii funcționale și ele sunt, după cum s-a mai precizat anterior, următoarele: **stația sondei** împreună cu bazinul de stocare, **stația de pompare** și **centrala termică**.

Această împărțire de nivel foarte general este rafinată ulterior în cadrul modelului P_d pentru fiecare subsistem în parte, pînă cînd se ajunge la nivelul de element de bază (de exemplu, un robinet, un motor, etc.). Această rafinare a fost realizată sub forma unei ierarhii: astfel, cu ajutorul editorului grafic **Graphic Modeller** s-a realizat descompunerea în termeni de diagrame bloc utilizînd icoane predefinite sau definite de utilizator în cadrul cărora:

- fiecare bloc identifică un subsistem, și se caracterizează prin **numele** acestuia (ales sugestiv pentru blocul în cauză, de exemplu **We** pentru blocul Well station – stația sondei)
- săgețile cu etichete reprezintă **mărimile de intrare/ieșire** din blocul respectiv

Diagrama schematică a procesului P_d realizată utilizînd acest software este prezentată în Figura 26. Față de descompunerea prezentată mai sus, diagrama mai cuprinde și blocul aferent legăturii cu centrala electrică (**Flow divider**) și cel pentru centrala electrică (**Power station**), a căror realizare este în curs de implementare dar nu a fost finalizată pînă în acest moment.

Astfel de diagrame au fost realizate pentru fiecare subsistem în parte; ele vor fi însă prezentate ulterior, după completarea lor și cu strategia de control adoptată.

6.2.1.2. Definirea strategiei de control C_d

Practic, în procesul de definire a strategiei de control C_d se pornește de la cerințele specificate în documentul de analiza și specificarea cerințelor; în această fază însă definirea controlului a fost realizată în detaliu, specificîndu-se pentru fiecare subsistem în parte mărimea controlată, modalitatea prin care se realizează controlul, diferiți parametri precum și diferitele mărimi de intrare/ieșire care sunt asociate controlului [SC97].

În continuare se va prezenta pe scurt o sinteză a strategiei de control adoptate în cazul sistemului de monitorizare și control a instalației geotermale de la Universitatea din Oradea, defalcată pentru cele trei subsisteme existente: **stația sondei**, **stația de pompare** și **punctul termic**.

a). Stația sondei

1. Modul de operare

Stația sondei poate fi operată de la distanță în două moduri:

- modul **grup on**: nivelul LT1 din rezervor este controlat alternativ prin intermediul robinetului CV0 sau prin intermediul pompei P1 (automat)
- modul **grup off**: operatorul trebuie să comande robinetul CV0 sau pompa P1 local sau de la distanță, prin intermediul interfeței utilizator

Operarea locală se folosește atunci când sistemul de control nu funcționează sau în caz de urgență. Operarea locală se realizează utilizând tabloul de comandă A4 amplasat chiar în interiorul stației sondei.

2. Interfața cu sistemul fizic

2.1. Intrări

Intrări analogice	Notație folosită
Transmițător de nivel pentru bazin Scalare: 4-20 mA corespunzător la 0 - 6.0 m înălțime în bazin	LT1
Deschiderea robinetului CV0 Scalare: 4-20 mA corespunzător la 0 -100% deschidere	PT0
Transmițător de presiune pentru presiunea în vârful sondei Scalare: 4-20 mA corespunzător la 0 - 10.0 bar	PT9
Transmițător de presiune pentru presiunea în puț Scalare: 4-20 mA corespunzător la 0 - 10.0 bar	PT10
Transmițător de curent pentru motorul pompei de adâncime Scalare: 4-20 mA corespunzător la 0 - 100 A	P1_MC
Transmițător de debit pentru debitul apei la sondă Scalare: 4-20 mA corespunzător la 0 - 50.0 l/s	FT1
Frecvența de operare a pompei P1 Scalare: 4-20 mA corespunzător la 0 - 100 Hz	P1_HZ
Transmițător de vibrații pentru pompa P1 Scalare: 4-20 mA corespunzător la 0 - 5.0 mm/s ²	VT1
Transmițător de temperatură pentru temperatura apei la sondă Scalare: 4-20 mA corespunzător la 0 - 120 °C	TT1

Intrări digitale	Notația folosită
Switch indicînd deschiderea completă a robinetului CV0	CV0_LO
Switch indicînd închiderea completă a robinetului CV0	CV0_LC
Switch indicînd operarea robinetului CV0 în direcția de deschidere	CV0_TL1
Switch indicînd operarea robinetului CV0 în direcția de închidere	CV0_TL2
Defecțiune la valva CV0	CV0_CA
Switch auxiliar alimentare cu curent pompa P1	P1_ON
Switch pentru protecție supraîncărcare/scurt circuit pompa P1	P1_OL
Switch termic pompa P1	P1_TD
Switch indicînd VSD1 în stare de funcționare	VSD1_RD
Switch indicînd VSD1 defect	P1_FA
Switch auxiliar alimentare cu curent pompa P2	P2_ONST
Switch termic pompa P2	P2_TD
Switch pentru protecție supraîncărcare/scurt circuit pompa P2	P2_OL
Temperatură prea mare în stația sondei	TS1
Umiditate prea mare în stația sondei	AS1
Switch pentru selecție comandă de la distanță/locală stația sondei	RL2
Switch indicînd oprire locală de urgență de la panoul stației sondei	ES2
Counter pentru debitul apei Scalare: 1 puls corespunzător la 100 l apă	FT1_CN
Switch indicînd direcția de curgere a apei/eroare	FT1_ER
Switch indicînd presiunea prea mică a apei de ungere pentru pompa P2	PS1

2.2. ieșiri

ieșiri digitale	Notația folosită
Start P1, puls pentru 1.0 s	P1_RNRN
Stop P1, puls pentru 1.0 s	P1_STST
VSD1 start/stop	VSD1
Deschide robinetul CV0	CV0_OP
Închide robinetul CV0	CV0_CL
Switch pentru resetarea transmițătorului de vibrații VT1	VT1_RZ

ieșiri analogice	Notația folosită
Viteza de rotație pentru VSD1, VSD1_SP Scalare: 4-20 mA corespunzător la 0-100%	VSDP1_SP

3. Controlul algoritmic

Dispozitive controlate	Notația folosită
Pompa P1 asociată cu variatorul de turație VSD1	P1 + VSD1
Pompa P2 acționată on/off	P2
Robinetul CV0 asociat cu un motor electric M on/off pentru cele două direcții deschidere/închidere	CV0

Pompa P1 este controlată cu un variator de turație VSD1. Deschiderea valvei CV0 este controlată cu ajutorul unui motor (ON/OFF în două direcții) cu timpul de deschidere/închidere egal cu 40s. În cazul în care acest timp nu este atins, se va semnaliza alarmă și se va trece sistemul pe comandă manuală (grup off). Pompa P2 este controlată ON/OFF.

Două regulatoare se folosesc în acest scop: regulatorul RG1 care controlează nivelul LT1 prin deschiderea/închiderea valvei CV0 și regulatorul RG2 care controlează nivelul LT1 prin pornirea/oprirea pompei P1. Cele două regulatoare nu pot funcționa automat decât alternativ, în modul grup on. În modul grup off, regulatoarele sunt trecute în regim manual, cu o ieșire fixată, și în acest caz operatorul trebuie să exercite controlul manual asupra lui CV0 sau P1, local sau de la distanță, prin intermediul interfeței utilizator.

Operarea pompei de adâncime P1:

- se contorizează orele de funcționare ale pompei P1 folosind contorul C_{w1} .
- se contorizează numărul de porniri/oră ale pompei P1 folosind contorul C_{w2} ; dacă acesta depășește x_{w2} ori/oră, stația este pusă în modul grup off, blocându-se alte porniri automate ale lui P1
- dacă LT1 indică rezervor aproape gol (alarmă LL) și RG2 are ieșire 100% pentru mai mult de t_{w4} minute, se pune regulatorul în regim manual cu ieșirea 0% ,oprește P1 și se trimite o alarmă specială către utilizator; o listă completă a alarmelor din cadrul sistemului este prezentată în **Anexa 2**.

- dacă LT1 indică rezervor aproape plin (alarmă HH) și RG2 are ieșire 0% pentru mai mult de t_{w3} minute, se pune regulatorul în regim manual cu ieșirea 0%, oprește P1 și se trimite o alarmă specială către utilizator
- dacă presiunea furnizată în rețea PT1 este prea mare (alarmă HH) pentru mai mult de t_{p4} secunde, se oprește pompa P1

Operarea valvei CV0:

- dacă CV0 dă eroare de limită de închidere pentru mai mult de t_{L1} secunde, se va opri operarea acesteia, și se va trece regulatorul RG1 în regim manual, cu ieșire fixată
- analog, dacă CV0 dă eroare de limită de deschidere pentru mai mult de t_{L2} secunde, se va opri operarea acesteia, și se va trece regulatorul RG1 în regim manual, cu ieșire fixată
- dacă CV0 dă eroare de mișcare pentru mai mult de t_{L3} secunde, se va opri operarea acesteia, și se va trece regulatorul RG1 în regim manual, cu ieșire fixată

Regulatele prezentate în Tabelul 8 sunt utilizate pentru realizarea controlului în maniera descrisă mai sus :

Tabelul 8: Regulatele utilizate la stația sondei

Regulator	Mărimea controlată	Elementul final de control
RG1	nivelul apei în rezervor LT1	robinetul de reglare CV0
RG2	nivelul apei în rezervor LT1	variatorul de turație VSD1
RG11	presiunea în rețeaua de distribuție PT1	robinetul de reglare CV0
RG12	presiunea în rețeaua de distribuție PT1	variatorul de turație VSD1

Regulatele RG1 și RG2 nu pot fi amândouă simultan în regim automat:

- RG1 trebuie să fie pe auto la regim artezian, iar atunci RG2 trebuie să fie pe manual 0%
- RG2 trebuie să fie pe auto când P1 este operată, iar RG1 pe manual 100%

În mod analog se comportă și perechea de regulate RG11 respectiv RG12:

- RG11 trebuie să fie pe auto la regim artesian, iar atunci RG12 trebuie să fie pe manual 0%

- RG12 trebuie să fie pe auto când P1 este operată, iar RG11 pe manual 100%

Doar una dintre cele două perechi de reglatoare este utilizată la un anumit moment dat, selecția realizându-se de către operator.

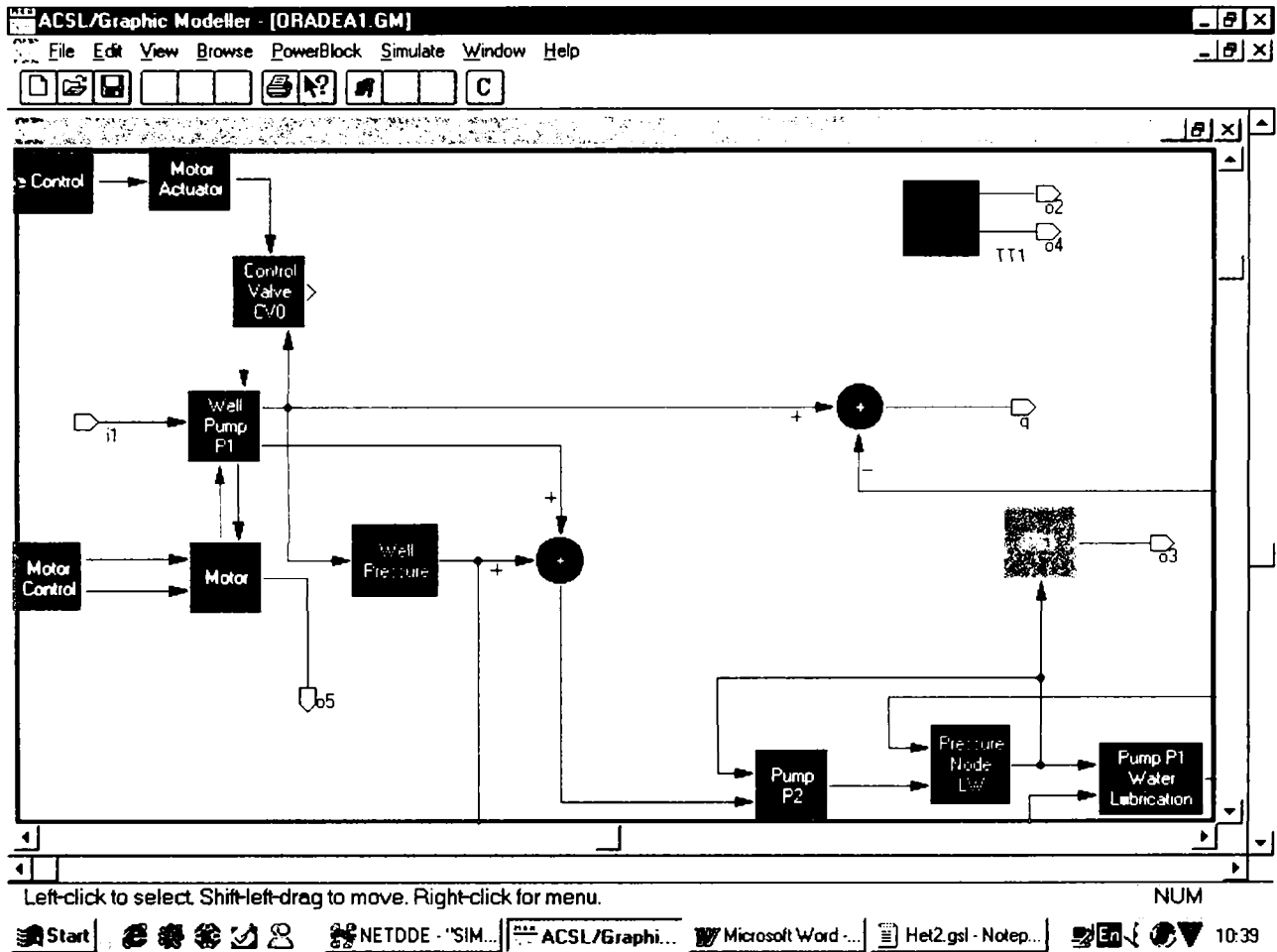


Figura 27: Modelul descriptiv pentru stația sondei

4. Interfața cu utilizatorul

Fereastra corespunzătoare stației sondei conține afișarea următoarelor elemente:

- un desen schematic al stației sondei
- afișarea mărimilor de interes: TT1, PT9, FT1, VT1, PT10, LT1
- afișarea modului de operare grup on/off precum și posibilitatea de schimbare a acestuia de operator

- afișarea reguletoarelor RG1 și RG2, cu informații suplimentare despre acestea: set-point-ul SP, variabila de proces PV și ieșirea OP ale acestora, posibilitatea modificării de către operator a SP în regim automat și a OP în regim manual
- afișarea de informații despre starea pompelor (pornit/oprit, defectă) cu posibilitatea pornirii și respectiv opririi de către operator a acestora în regim manual

Conform metodologiei prezentate în capitolul 5, definitivarea modelului M_d presupune combinarea modelului obținut pentru P_d cu strategia de control adoptată C_d într-un model unic, și care va reprezenta modelul descriptiv al întregului sistem de control în timp real, M_d . Astfel, pornind de la modelul P_d descris în **ACSL/Graphic Modeller**, acesta a fost completat cu blocuri de control aferente tuturor elementelor controlate, conform celor prezentate mai sus.

În final, modelul descriptiv rezultat M_d se prezintă sub forma unei ierarhii de blocuri și sub-blocuri, care au ca punct de plecare diagrama din Figura 26. Figura 27 arată modelul descriptiv M_d rezultat pentru stația sondei.

b). Stația de pompare

1. Moduri de operare

Stația de pompare poate fi operată de la distanță în două moduri:

- modul **grup on**: presiunea PT1 este controlată prin intermediul pompei P3 respectiv P4 (automat)
- modul **grup off**: operatorul trebuie să comande pompa P3 sau P4 local sau de la distanță, prin intermediul interfeței utilizator

Operarea locală se folosește atunci când sistemul de control nu funcționează sau în caz de urgență. Operarea locală se realizează utilizând tabloul de comandă A3 amplasat chiar în interiorul stației de pompare.

2. Interfața cu sistemul fizic

2.1. Intrări

Intrări analogice	Notație folosită
Transmițător de presiune pentru presiunea în sistem Scalare: 4-20 mA corespunzător la 0 - 10.0 bar	PT1
Transmițător de temperatură pentru temperatura mediului exterior (media valorilor pentru ultimele 10 minute)	TT14
Transmițător pentru viteza vântului (media valorilor pentru ultimele 10 minute)	WT1

Intrări digitale	Notăția folosită
Switch auxiliar alimentare cu curent pompa P3 /P4	P3_ON, P4_ON
Switch pentru protecție supraîncărcare/scurt circuit pompa P3/P4	P3_OL, P4_OL
Switch termic pompa P3/P4	P3_TD, P4_TD
Switch indicînd VSD2 în stare de funcționare	VSD2_RD
Switch indicînd VSD2 defect	P3_FA
Temperatură prea mare în stația sondei	TS2
Umiditate prea mare în stația sondei	AS2
Switch pentru selecție comandă de la distanță/locală stația de pompare	RL1
Switch indicînd oprire locală de urgența de la panoul stației de pompare	ES1
Switch indicînd presiune prea mică de absorbție	PS2
Switch indicînd presiune de refulare prea mare	PS3

2.2. ieșiri

ieșiri analogice	Notăția folosită
Viteza de rotație pentru VSD2, VSD2_SP Scalare: 4-20 mA corespunzător la 0-100%	VSDP2_SP

leșiri digitale	Notația folosită
Start P3/P4, puls pentru 1.0 s	P3_RNRN, P4_RNRN
Stop P3/P4, puls pentru 1.0 s	P3_STST, P4_STST
VSD2 start/stop	VSD2

3. Controlul algoritmic

Dispozitive controlate	Notația folosită
Pompa P3/P4 asociată cu variatorul de turație VSD2	P3 + VSD2, P4 + VSD2
Pompa P3/P4 acționată on/off	P3, P4

Pompele P3/P4 sunt controlate de un variator de turație VSD2. Regulatorul RG3 se folosește în acest scop; acesta controlează presiunea în rețea PT1 prin variația turației motorului pompelor P3/P4, utilizând variatorul de turație VSD2.

Operarea pompelor de circulație P3 și P4:

- se contorizează orele de funcționare ale pompelor P3/P4 folosind contoarele c_{p1} și c_{p2} .
- se contorizează numărul de porniri/oră ale pompelor P3/P4 folosind contorul c_{p3} și c_{p4} ; dacă acesta depășește x_{p1} ori/oră, stația este pusă în modul grup off, blocându-se alte porniri automate ale lui P3 respectiv P4
- dacă semnalul de la PT1 este intrerupt mai mult decât t_{p1} secunde, se trece stația de pompare în modul group off, iar regulatorul RG3 în mod manual cu ieșirea fixată
- dacă presiunea furnizată în rețea PT1 este prea mare (alarma HH) pentru mai mult de t_{p4} secunde, se trece stația de pompare în modul group off, iar regulatorul RG3 în mod manual cu ieșirea fixată
- dacă transmițătorul de nivel LT1 indică alarma L (nivel prea mic al apei din rezervor) pentru mai mult de t_{p5} minute, se opresc pompele P3 respectiv P4, și se pune regulatorul RG3 în mod manual cu ieșirea fixată

Regulatorul din Tabelul 9 este folosit pentru realizarea controlului descris mai sus:

Tabelul 9: Regulatele utilizate în stația de pompare

Regulator	Mărimea controlată	Elementul final de control
RG3	presiunea furnizată în rețea PT1	variatorul de turație VSD2

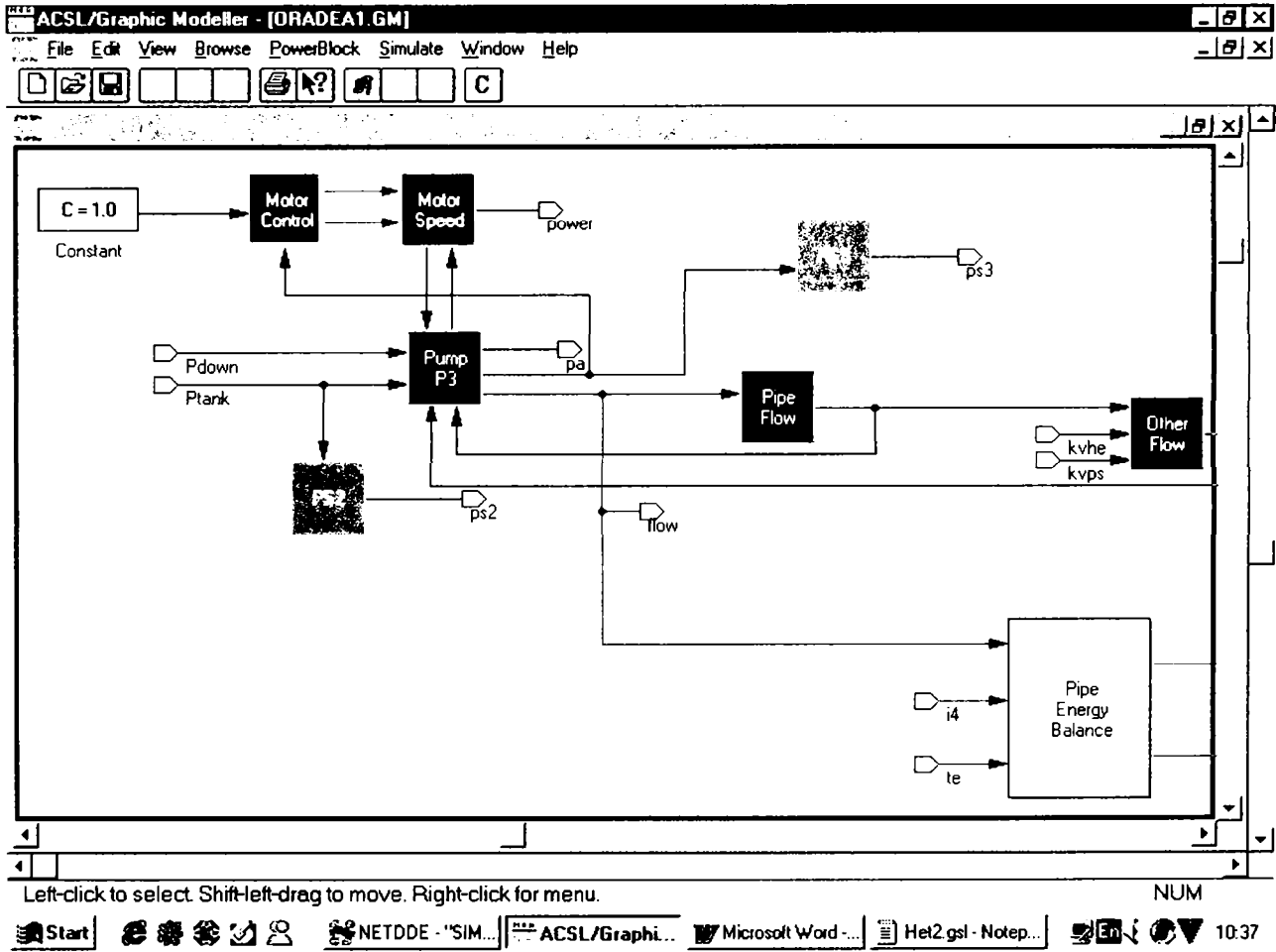


Figura 28: Modelul descriptiv pentru stația de pompare

4. Interfața cu utilizatorul

Fereastra corespunzătoare stației de pompare conține afișarea următoarelor elemente:

- un desen schematic al stației de pompare
- afișarea mărimilor de interes: PT1

- afișarea modului de operare grup on/off precum și posibilitatea de schimbare a acestuia de operator
- afișarea regulatorului RG3 cu informații suplimentare despre acesta: set-point-ul SP, variabila de proces PV și ieșirea OP ale acestora, posibilitatea modificării de către operator a SP în regim automat și a OP în regim manual
- afișarea de informații despre starea pompelor (pornit/oprit, defectă) cu posibilitatea pornirii și respectiv opririi de către operator a acestora în regim manual

Modelul descriptiv rezultat pentru stația de pompare, în implemetarea cu ajutorul editorului grafic ACSL/Graphic Modeller, este prezentat în Figura 28.

c). Punctul termic

1. Moduri de operare

Punctul termic poate fi operat de la distanță în două moduri:

- modul **grup on**: pompele de circulație și de completare sunt pornite/oprite automat, funcție de validitatea condițiilor de pornire/oprire a acestora
- modul **grup off**: operatorul trebuie să comande pompele din punctul termic prin intermediul interfeței utilizator; sunt valabile în acest caz aceleași condiții de pornire/oprire a pompelor ca și în modul grup on

În modul de operare local, acționarea pompelor poate fi realizată de la panoul de comandă A2, amplasat în interiorul punctului termic. Operarea locală se utilizează atunci când sistemul de control se defectează sau în caz de urgență.

2. Interfața cu sistemul fizic

2.1. Intrări

Intrări analogice	Notăție folosită
Transmițătoare de presiune pentru presiunea apei în diferite puncte de pe circuitul din punctul termic Scalare: 4-20 mA corespunzător la 0 - 10.0 bar	PT3 - PT8

Transmițătoare de temperatură pentru temperatura apei în diferite puncte de pe circuitul din punctul termic Scalare: 4-20 mA corespunzător la 0 - 120 °C	TT4 -TT13
Transmițătoare de debit pentru debitul apei în diferite puncte de pe circuitul din punctul termic Scalare: 4-20 mA corespunzător la 0 - 50.0 l/s	FT3-FT6

Intrări digitale	Notația folosită
Switch-uri auxiliare alimentare cu curent pompele P5-P9	P5_ON P9_ON
Switch-uri pentru protecție supraîncărcare/scurt circuit a pompelor P5-P9	P5_OL.... P9_OL
Switch-uri termice pentru pompele P5-P9	P5_TD.... P9_TD
Temperatură prea mare în punctul termic	TS3
Umiditate prea mare în punctul termic	AS3
Switch pentru selecție comandă de la distanță/locală punctul termic	RL3
Switch indicînd oprire locală de urgența de la panoul punctului termic	ES3
Switch indicînd presiune prea mică în amortizoarele pneumatice	PS4

2.2. ieșiri

ieșiri digitale	Notația folosită
Start P5 – P9, puls pentru 1.0 s	P5_RNRN....P9_RNRN
Stop P5 – P9 puls pentru 1.0 s	P5_STST.... P9_STST

3. Controlul algoritmic

Dispozitive controlate	Notația folosită
Pompele P5 – P9 acționate on/off	P5 – P9
Robineții CV2-CV6 asociați cu câte un motor electric M on/off pentru cele două direcții respectiv deschidere/închidere	CV2 – CV6

Operarea pompelor de circulație P5 - P7:

- se contorizează orele de funcționare ale pompelor P5 – P7 folosind contoarele $C_{h5} - C_{h7}$
- se contorizează numărul de porniri/oră ale pompelor P5 – P7 folosind contoarele $C_{h1} - C_{h3}$
- în modul grup on, controller-ul va acționa două pompe. La pornirea pompelor va porni cu aceea care are cel mai mic timp de lucru, va aștepta t_{h5} secunde și apoi va porni aceea pompă care are al doilea timp de utilizare. Controller-ul nu poate opera simultan mai mult de două pompe. Astfel, dacă în modul grup on una dintre pompe este oprită de operator, atunci se va porni pompa de rezervă instantaneu.
- dacă:
 - PT4 - presiunea furnizată în rețea este prea mare (alarmă HH), pentru mai mult de t_{h6} secunde
 - PT5 - presiunea retur este prea scăzută (alarmă LL), pentru mai mult de t_{h7} secunde
 - PT6 - presiunea evacuare este prea mare (alarmă HH), pentru mai mult de t_{h8} secunde
 - (PT6 - PT3) - presiunea diferențială pe schimbătoarele de căldură este prea mare (mai mare decât o valoare dată x_{h2}), pentru mai mult de t_{h9} secunde

atunci controller-ul oprește pompa de circulație cu cel mai mare timp de funcționare și pune punctul termic în modul grup off. Dacă alarma este încă validă după t_{h10} sec, atunci se oprește și a doua pompă și se semnalează alarmă către operator.

Operarea pompelor de compensare P8 și P9

- se contorizează orele de funcționare ale pompelor P8 – P9 folosind contoarele $C_{h8} - C_{h9}$
- contoarele C_{h10} și C_{h11} numără de câte ori au fost pornite pompele P8 și P9, independent de modul de operare al stației. Dacă punctul termic este în modul grup on și numărul de porniri ale uneia dintre pompe depășește x_{h7} ori / oră, atunci controller-ul oprește acea pompă și pornește pompa de rezervă. Schimbarea pompei active este înregistrată. Dacă acest eveniment se repetă în t_{h1} minute de la schimbare, atunci controller-ul nu mai pornește pompa și raportează o problemă în sistem, interpretând situația ca o pierdere excesivă în rețea și punând stația în modul grup off

- în modul grup on controller-ul nu poate acționa la un anumit moment dat decât o singură pompă. Pompa ce va fi acționată este selectată cu un comutator de către operator. De exemplu, dacă pompa P8 este selectată, atunci controller-ul o pornește atunci când presiunea de retur PT5 coboară sub x_{h4} barg. Atunci când PT5 ajunge la x_{h5} barg, pompa este oprită. Situația se prezintă în mod similar pentru cazul în care P9 este activă.
- în modul grup off operatorul este cel care trebuie să pornească pompele de compensare. Acesta poate face aceasta doar dacă presiunea de retur PT5 este sub limita maximă, x_{h5} . Pompele se opresc automat la atingerea limitei superioare.
- dacă controller-ul trebuie să acționeze continuu pompa de compensare pentru mai mult de t_{h2} ore odată, atunci va opri pompa și va raporta o problemă în sistemul de compensare (alarmă), interpretând situația ca fiind o pierdere excesivă în rețea și punând punctul termic în modul grup off.

Următoarele regulatoare prezentate în Tabelul 10 sunt folosite pentru realizarea controlului conform celor precizate mai sus:

Tabelul 10: Regulate utilizate în punctul termic

Regulator	Mărimea controlată	Elementul final de control
RG5	temperatura apei introduse în rețeaua de încălzire TT8	robinetul de reglare CV2
RG6	presiunea la intrarea în schimbătoarele de căldură PT3	robinetul de reglare CV4
RG7	temperatura apei introduse în rețeaua de apă caldă menajeră TT12	robinetul de reglare CV3
RG8	presiunea apei în schimbătorul de căldură PT7	robinetul de reglare CV5

4. Interfața cu utilizatorul

Fereastra corespunzătoare punctului termic conține afișarea următoarelor elemente:

- un desen schematic al punctului termic
- afișarea mărimilor de interes: FT3 – FT6, PT3 – PT8, TT4 – TT13

- afișarea modului de operare grup on/off precum și posibilitatea de schimbare a acestuia de operator
- afișarea reguletoarelor RG5 – RG8 împreună cu informații suplimentare despre acestea: set-point-ul SP, variabila de process controlată PV precum și ieșirea OP ale acestora, cu posibilitatea modificării de către operator a SP în regim automat și a OP în regim manual
- afișarea de informații despre starea pompelor (pornit/oprit, defectă) cu posibilitatea pornirii și respectiv opririi de către operator a acestora în regim manual

Modelul descriptiv rezultat pentru punctul termic, în implemetarea cu ajutorul editorului grafic ACSL/Graphic Modeller, este prezentat în Figura 29.

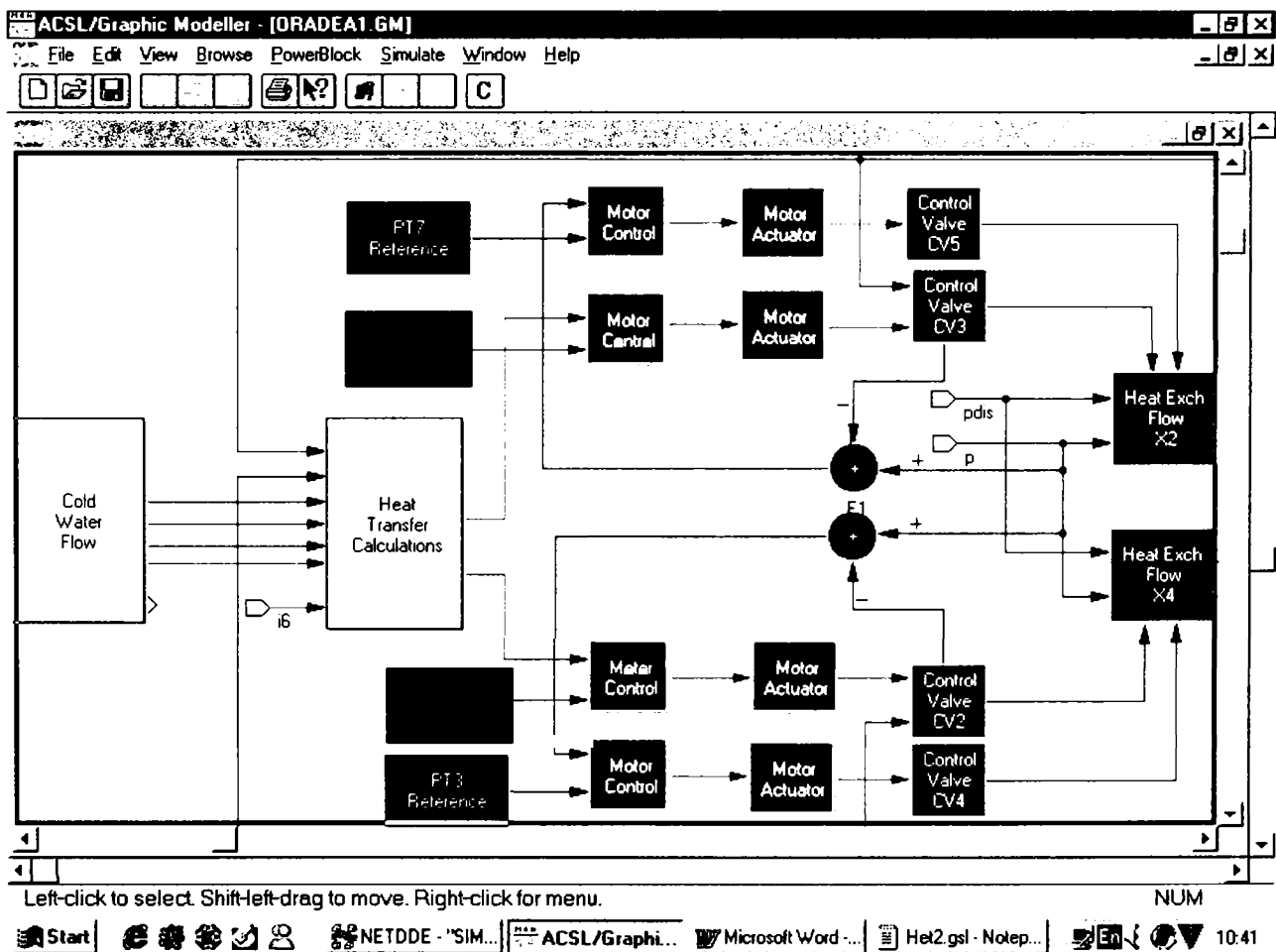


Figura 29: Modelul descriptiv pentru punctul termic

Anexa 3 prezintă în completarea descrierii strategiei de control de mai sus, o listă completă a tuturor constantelor utilizate în cadrul acesteia (counter-e, constante de timp, constante utilizate pentru memorarea valorilor minime respective maxime premise ale anumitor mărimi, diferite valori calculate, etc.). Utilizarea acestor constante a fost deja prezentată; în sistemul real, operatorul (dacă beneficiază de nivelul de acces corespunzător), are posibilitatea schimbării interactive a acestora, prin intermediul interfeței utilizator.

În concluzie, modelele descriptive rezultate pentru stația sondei, stația de pompare și punctual termic alcătuiesc împreună modelul descriptiv complet al sistemului, $\mathbf{M}_d = \mathbf{P}_d + \mathbf{C}_d$.

6.2.2. Etapa 2: Realizarea modelului prescriptiv formal M_p și verificarea acestuia prin simulare

6.2.2.1. Realizarea modelului prescriptiv M_p și simularea acestuia

În procesul de generare al modelului prescriptiv formal M_p , s-a pornit de la modelul M_d dezvoltat în etapa anterioară. Procesul de creare a modelului M_p a cuprins două etape:

- **rafinarea** modelului descriptiv la nivel de bloc M_d pînă la faza de ecuații matematice concrete care descriu o anumită porțiune specifică din sistem; practic, fiecare element al sistemului a fost descris prin ecuații matematice: acest lucru se referă atît în cazul elementelor fizice cît și în cazul blocurilor de control aferente acestora
- **programarea** acestor ecuații utilizînd limbajul de simulare **ACSL** în scopul simulării ulterioare a acestora; practic, pentru aceasta s-a utilizat opțiunea **Graphic Modeller** a limbajului **ACSL** [MGA96b][MGA95], care furnizează un front-end ușor de utilizat pentru a genera simulări **ACSL**

În continuare se va prezenta pentru exemplificare modalitatea de generare a ecuațiilor matematice pentru cele mai reprezentative elemente din cadrul sistemului.

a). Modelarea robinetului de reglare CV0 și a controlului acestuia

Ecuația prin care se modelează robinetul de reglare CV0 este dată de următoarea formulă [IEC95][CVH98]:

$$k = k_{\max} (a_1 u^3 + a_2 u^2 + a_3 u) \quad (r6.1)$$

unde: a_1 , a_2 , și a_3 sunt constante specifice robinetului (date de producător)
 u este variabila prin care se modelează mărimea de comandă primită de la regulator pentru elementul de execuție
 k reprezintă deschiderea robinetului (între limitele 0 și k_{\max})

Căderea de presiune se obține din ecuația generală cunoscută:

$$Q = k^2 \Delta p \quad (r6.2)$$

Astfel, pentru cazul particular al robinetului CV0, funcție de deschiderea obținută k , precum și de debitul apei care vine de la sondă q , se poate calcula

ulterior căderea de presiune a apei după robinetul de reglare, corespunzătoare variabilei PT9:

$$pressure = \max(0.0, (q/(k + 0.00001))^2) \quad (r6.3)$$

Termenul 0.00001 din ecuația de mai sus este introdus doar din considerente matematice, și anume pentru a nu avea împărțire cu zero; în formula generală acesta nu intervine.

Debitul apei de la sondă q este calculat anterior în cadrul secvenței care modelează pompa P1, unde acesta este determinat în funcție de caracteristica de debit a robinetului k , mărime calculată în blocul CV0. Practic, aceste două mărimi se interconstrucionează într-o buclă ele luând diverse valori bine determinate în timp, dacă valorile inițiale furnizate ACSL-ului sunt corecte.

Valoarea calculată pentru presiunea de mai sus va putea fi afișată și testată ulterior în cadrul modelului, ca și când ea ar proveni de la un senzor de presiune (PT9 în sistemul real). Blocul referitor la modelarea robinetului CV0, așa cum apare în cadrul editorului grafic ACSL/Graphic Modeller este ilustrat în Figura 30.

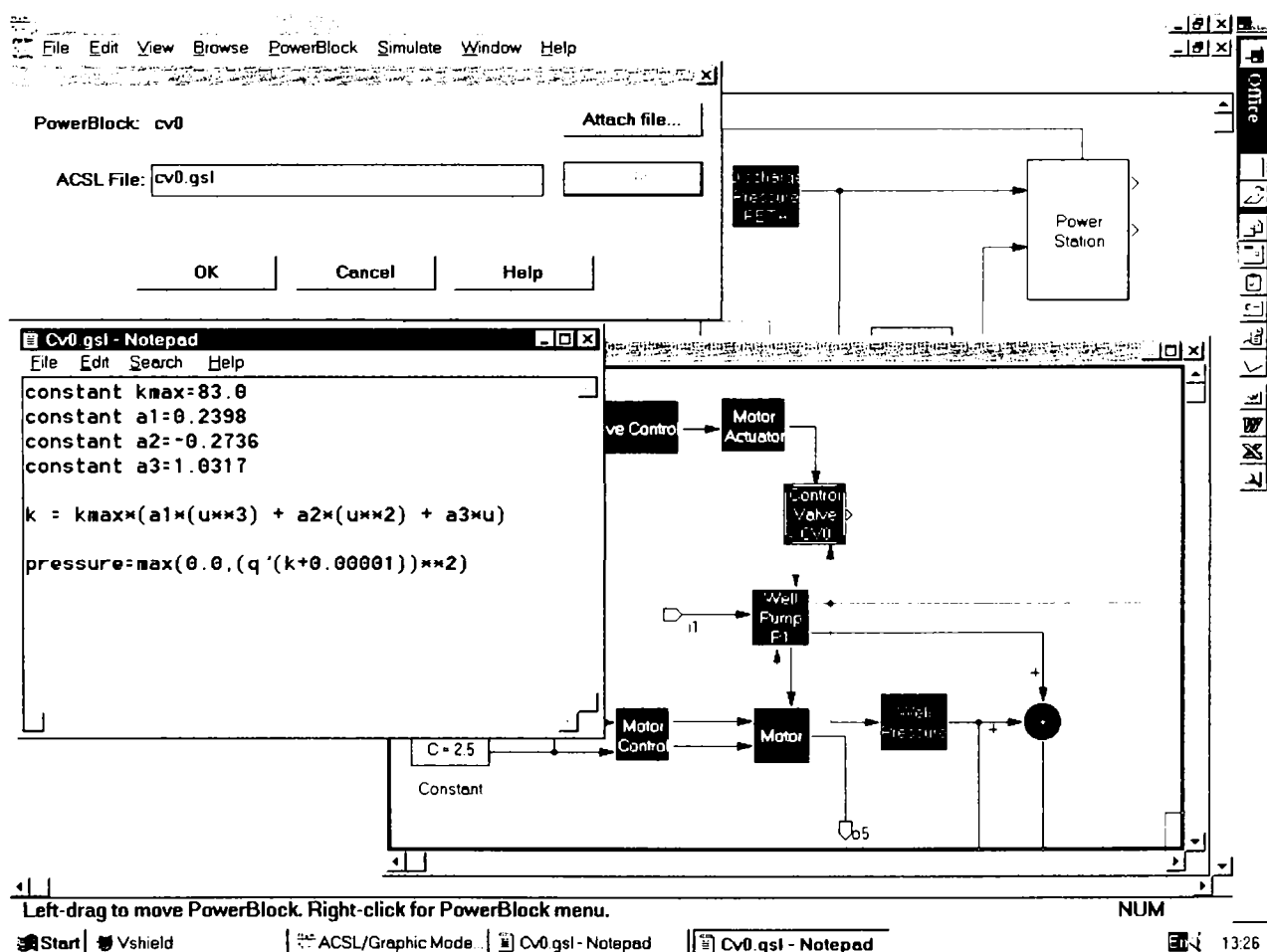


Figura 30: Blocul pentru controlul robinetului CV0

În cadrul fișierului .csl , care prezintă o descriere textuală în limbajul de simulare ACSL a imaginii de mai sus, blocul pentru controlul robinetului CV0 se prezintă sub următoarea formă:

```

ACSL Block: cv0
! Last Change: 02:44:03 12/06/97
! Description:
! Input Ports:
!   Port Name: i1
!   Connected Variable: q
!   Port Name: i3
!   Connected Variable: Weactorlacth
! Output Ports:
!   Port Name: o1
!   Connected Variable: k
!   Port Name: pressure
!   Connected Variable: pressure
!-----
--
CONSTANT Wecv0a1=0.2398
CONSTANT Wecv0a2=-0.2736
CONSTANT Wecv0a3=1.0317
CONSTANT Wecv0kmax=83.0

Wecv0k = Wecv0kmax *(Wecv0a1 *(Weactorlacth **3) +
                Wecv0a2 *(Weactorlacth **2) + Wecv0a3 *Weactorlacth )
Wecv0pressure =max (0.0, (WeP1q /(Wecv0k +0.00001))**2)

```

Se observă că numele blocului este **cv0**, el făcînd parte din blocul **We** (stația sondei – Well station) și în consecință toate numele variabilelor utilizate în cadrul blocului au prefixul Wecv0. Această notație permite localizarea rapidă în cadrul blocurilor și sub-blocurilor, pe linie ierarhică, a tuturor variabilelor utilizate. De exemplu, se observă faptul că variabila WeP1q provine din cadrul sub-blocului P1 din cadrul blocului We, după cum am precizat anterior.

Valoarea variabilei u din cadrul ecuației (r6.1) este dată de ieșirea regulatorului RG1 care, utilizînd un algoritm de control PID, acționează actuatorul pentru închiderea respectiv deschiderea robinetului CV0 funcție de nivelul apei din rezervor (Tabelul 8).

Implementarea controlului PID este realizată conform binecunoscutei ecuații generale [PH96]:

$$u = K_p + \frac{1}{T_i} \int_0^t e dt + T_d \frac{de}{dt} \quad (r6.4)$$

în cadrul căreia: K_p = constantă de proporționalitate
 T_i = constantă de integrare
 T_d = constantă de derivare

Aceste constante sunt cunoscute, însă ele pot fi modificate interactiv de către operator pentru a obține o mai bună performanță în procesul de reglare. În cadrul ecuației (r6.4), variabila e reprezintă eroarea calculată ca și diferența între valoarea dorită (setpoint-ul SP) și valoarea actuală a mărimii controlate de regulator.

În cazul concret al regulatorului RG1, mărimea controlată este nivelul LT1 din rezervor (variabila $Tat11h$ în model) iar setpoint-ul îl reprezintă o constantă (variabila $WeConstanto1$); eroarea calculată este notată în acest caz cu $SummerE$, și deci ecuația (r6.4) devine:

$$u = K_p + \frac{1}{T_i} \int_0^t SummerE dt + T_d \frac{dSummerE}{dt} \quad (r6.5)$$

Sub-blocul Summer arată modalitatea de calcul a variabilei SummerE:

```
! Summation Block: Summer
! Last Change: 10:43:08 09/18/97
! Description:
! Input Ports:
!   Port Name: i1
!   Connected Variable: Tat11h
!   Port Name: i2
!   Connected Variable: WeConstanto1
! Output Ports:
!   Port Name: E
!-----
--
Wepid1SummerE = +WeConstanto1-Tat11h
```

b). Modelarea motorului M2 cu turație variabilă asociat pompei de adâncime P1

Motorul M2 reprezintă motorul de acționare a pompei de adâncime P1. Variabilele de intrare ale blocului care modelează motorul M2 sunt tensiunea u și frecvența de alimentare f (care sunt furnizate într-un alt bloc, prin intermediul variatorului de turație VSD2) precum și cuplul rezistent al pompei $tpump$, care vine de la blocul prin care se modelează pompa de adâncime P1 [Pop86]. Ca și la cealaltă ramură de reglare, a robinetului CV0, avem două blocuri pentru care ieșirea unuia este intrare pentru celălalt și invers. Și în acest caz valorile vor fi generate de ACSL în buclă, pornind de la valorile (condițiile) inițiale. Mărimile de ieșire ale blocului M2 sunt turația motorului n (și deci și a pompei de care este cuplat rigid) și puterea consumată a motorului $power$.

Ecuațiile care modelează comportarea motorului M2 cu turație variabilă sunt descrise în continuare. Astfel, pe baza frecvenței de alimentare f se calculează viteza unghiulară ω_1 :

$$\omega_1 = 2 * \pi * f \quad (r6.6)$$

rezultând caracteristica de modificare de turație s:

$$s = (\omega_1 - \omega) / (\omega_1 + 0.00001) \quad (r6.7)$$

unde ω reprezintă viteza unghiulară nominală. În continuare, pe baza constantelor cunoscute ale motorului, se calculează mărimile intermediare $r2s$ respectiv x_1 și x_2 , cu ajutorul cărora se va calcula ulterior momentul motor Tem :

$$r2s = (r21 / (s + 0.00001)) + r22 + r23 * s, \quad (r6.8)$$

$r21, r22, r23$ constante

$$x_1 = 2 * \pi * f * l1$$

$$x_2 = 2 * \pi * f * l2$$

$l1, l2$ constante (r6.9)

Se calculează apoi momentul motor Tem prin înlocuirea valorilor calculate în relațiile <15> - <18>, conform formulei:

$$Tem = \left(\frac{VSD2v}{\omega_1} \right)^2 * \frac{m1 * r2s}{(r1 + r2s)^2 + (x1 + x2)^2} \quad (r6.10)$$

Ecuțiile prin care se determină mărimile calculate sunt ecuațiile obișnuite pentru un motor electric asincron. Pentru acesta, viteza unghiulară momentană (ω) este definită ca integrală a accelerației unghiulare ($d\omega$) pentru condiția inițială dată (ω_0 , care în acest caz este zero). Accelerația unghiulară se obține din valorile momentane ale cuplului motor Tem și al cuplului rezistent $tpump$, a căror diferență este împărțită la modulul de inerție polar jm . Cuplul rezistent este o variabilă de intrare, iar cuplul motor se calculează în funcție de tensiunea aplicată (care este tot o mărime de intrare) și de viteza unghiulară ω_1 , calculată din frecvența primită de la VSD2. În final se obțin din ecuații simple turația și puterea consumată a motorului

În consecință, rezultă:

$$\frac{d\omega}{dt} = \frac{Tem - tpump}{jm}, \quad , jm \text{ moment de inerție polar} \quad (r6.11)$$

și deci prin integrare, se poate calcula ω . Cu ω astfel calculat, se poate calcula turația motorului n precum și puterea $power$, reprezentând mărimile de ieșire din blocul M2:

$$n = \frac{\omega}{2 * \pi} \quad \text{respectiv} \quad power = Tem * \omega_1 \quad (r6.12)$$

Sub-blocul M2 din cadrul fișierului .csl generat, pe baza ecuațiilor (r6.6) – (r6.12) este următorul:

```

ACSL Block: M2
! Last Change: 15:26:10 05/10/97
! Description:
! Input Ports:
!   Port Name: voltage
!   Connected Variable: u
!   Port Name: freq
!   Connected Variable: f
!   Port Name: torque
!   Connected Variable: tpump
! Output Ports:
!   Port Name: speed
!   Connected Variable: n
!   Port Name: power
!   Connected Variable: power
!-----
--
CONSTANT WeM2r1=0.048
CONSTANT WeM2b=0.1
CONSTANT WeM2r21=0.018
CONSTANT WeM2r22=0.010
CONSTANT WeM2jm=10.0
CONSTANT WeM2r23=0.053
CONSTANT WeM2pi=3.14
CONSTANT WeM2omega0=314.0
CONSTANT WeM2l1=0.00048
CONSTANT WeM2m1=3.0
CONSTANT WeM2l2=0.00048

WeM2omega1 = 2.0*WeM2pi *WeMCVSD2f
WeM2s =bound (0.0,1.0,(WeM2omega1 - WeM2omega )/(WeM2omega1
+0.00001))
WeM2R2s = (WeM2R21 /(WeM2s +0.000001))+WeM2R22 +WeM2R23 *WeM2s
WeM2X1 = 2*WeM2pi *WeMCVSD2f *WeM2L1
WeM2X2 = 2*WeM2pi *WeMCVSD2f *WeM2L2
WeM2Tem = ((WeMCVSD2v **2)/WeM2omega1 )*
((WeM2m1 *WeM2R2s )/(((WeM2R1+WeM2R2s )**2+(WeM2X1
+WeM2X2)**2)))
WeM2domega = (WeM2Tem -WeP1torque -WeM2b *WeM2omega )/WeM2Jm
omega = integ(domega,omega0)

WeM2n = WeM2omega /(2.0*WeM2pi )
WeM2power =WeM2Tem *WeM2omega1

```

Se observă în acest caz cât de complicate sunt uneori ecuațiile care descriu modelul matematic. Practic, modelul de mai sus a fost generat (adaptat) pe

baza unui model general preluat din cadrul unei biblioteci care conține diferite modele matematice pentru cele mai variate tipuri de componente.

Blocul care se referă la modelarea motorului cu turație variabilă M2, așa cum apare în cadrul editorului grafic **ACSL/Graphic Modeller** este ilustrat în Figura 31.

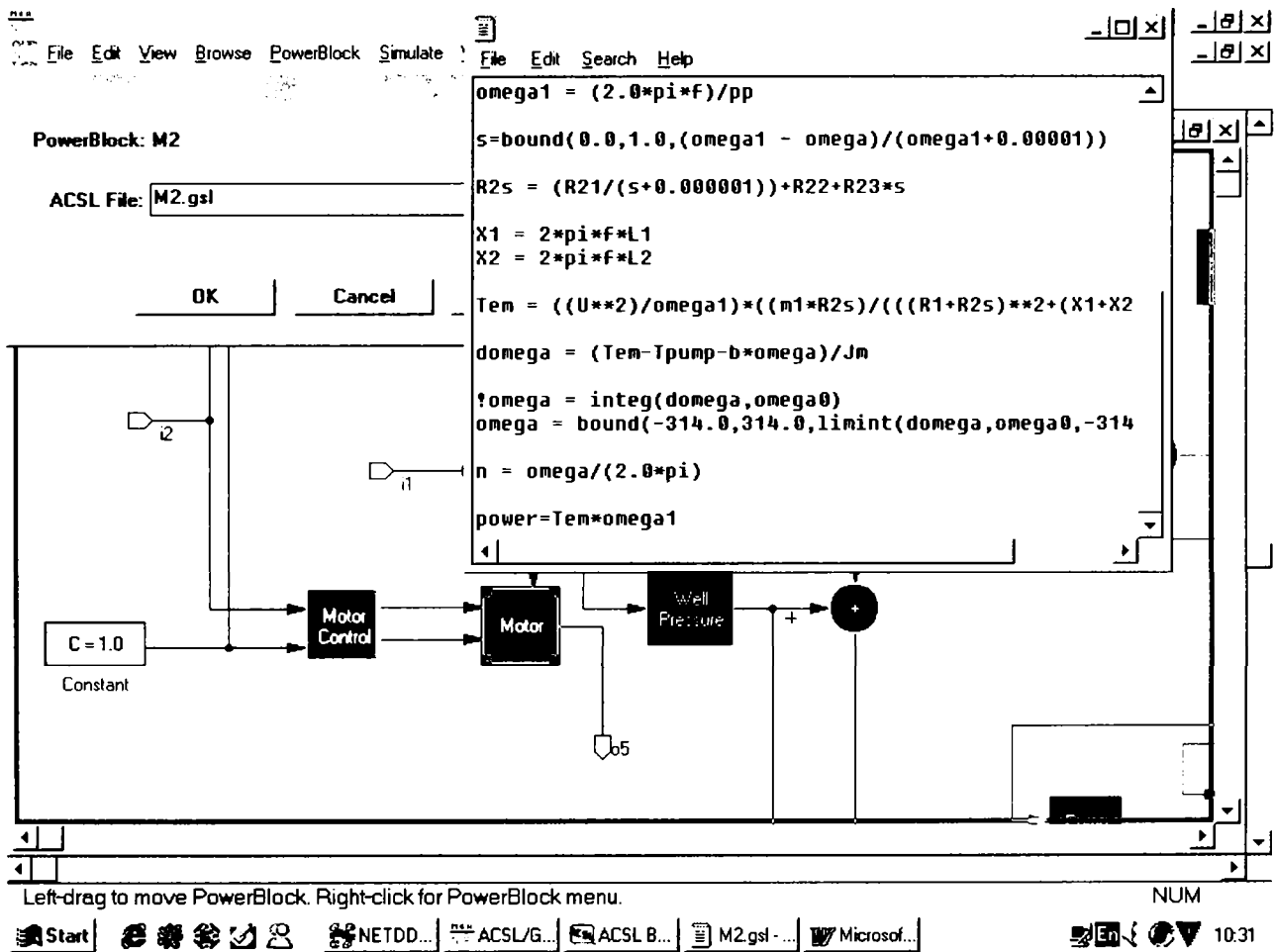


Figura 31: Blocul pentru controlul motorului M2 cu turație variabilă

c). Modelarea schimbului de căldură pe schimbătoarele din punctul termic

Blocul în care se realizează modelarea schimbului de căldură din punctul termic cuprinde un submodel pentru fiecare schimbător (s-a considerat câte un schimbător generic pentru fiecare circuit, urmînd ca numărul real de schimbătoare să fie reflectat de suprafața de schimb de căldură). Fiecare schimbător are trei mărimi de intrare corespunzătoare celor trei porturi de intrare. Portul *i2* este însă un port prin care intră o mărime vectorizată, formată din două componente: cele două debite a celor doi agenți termici respectiv

primar q_t și secundar q_s . Acest vector este creat în blocuri de tip *Vectorize*, predefinit de ACSL.

S-a folosit acest artificiu pentru a reduce numărul de porturi și cabluri care intră în blocul *het2*; sunt însă și situații în care acest mod de lucru, prin vectorizarea unui set de variabile, este extrem de util, favorizând un ulterior calcul algebric matricial.

Pe lângă cele două debite mai avem ca mărimi de intrare entalpiile la intrare a celor două fluide: h_{prev} respectiv h_{sprev} . Entalpia de intrare a agentului este o funcție de temperatura fluidului respectiv. Pentru circuitul de apă termală, entalpia masică a fost calculată succesiv în blocurile energetice de la rezervor și de la conducta de alimentare. Astfel, în sursa pentru sub-blocul *het2* din cadrul fișierului .csl generat se regăsesc notațiile prezentate mai sus cu două aceste excepții: h_{prev} care se referă prin `PuPiEnen10h` și respectiv h_{sprev} care se referă prin `HeHeCwcwt1h`. Acest lucru se datorează faptului că acestea sunt calculate în cadrul altor blocuri, după cum a fost precizat anterior, și s-a dorit păstrarea convenției de notare.

Mărimile de ieșire ale blocurilor celor două sunt temperaturile agenților primari t_t și secundari t_s . Ele sunt obținute din modelul de calcul prezentat în continuare. Astfel, pentru circuitul primar [Pop86]:

$$dh = (q_t (h_{prev} - h) - h_{tran}) / (1000 * r_{oh} * v_h) \quad (r6.13)$$

unde: r_{oh} , v_h constante care țin cont de schimbul de căldură și de cantitatea de lichid din schimbătoare
 h_{tran} reprezintă cantitatea de căldură cedată de fluidul primar celui secundar
 h entalpia fluidului primar

Prin integrare rezultă:

$$h = \int_{h_{in}} \frac{dh}{dt} \quad (r6.14)$$

În mod analog se pot scrie ecuații similare pentru circuitul secundar:

$$dh_s = (q_s (h_{sprev} - h) - h_{tran}) / (1000 * r_{ohs} * v_{hs}) \quad (r6.15)$$

unde: r_{ohs} , v_{hs} constante care țin cont de schimbul de căldură și de cantitatea de lichid din schimbătoare
 h_{tran} reprezintă cantitatea de căldură primită de fluidul secundar de la cel primar
 h_s entalpia fluidului secundar

rezultând:

$$h_s = \int_{h_{sin}} \frac{dh}{dt} \quad (r6.16)$$

Pe baza ecuațiilor (r6.14) și (r6.16) se pot calcula temperaturile pe schimbătoare, care reprezintă mărimile de ieșire din acest bloc:

$$t_{prev} = \frac{h_{prev}}{4.18} \quad t_{sprev} = \frac{h_{sprev}}{4.18} \quad (r6.17)$$

$$tt = \frac{h}{4.18} \quad ts = \frac{h_s}{4.18} \quad (r6.18)$$

Aceste relații sunt cele uzuale pentru un schimbător de căldură cu plăci în contracurent. Sub-blocul *het2* din cadrul fișierului .csl generat, pe baza ecuațiilor descrise mai sus este următorul:

```
! ACSL Block: het2
! Last Change: 10:14:43 05/24/97
! Description:
! Input Ports:
!   Port Name: i1
!   Connected Variable: hprev
!   Port Name: i2
!   Connected Variable: qt
!   Connected Variable: qs
!   Port Name: ila
!   Connected Variable: hsprev
! Output Ports:
!   Port Name: o1
!   Connected Variable: ts
!   Port Name: tt
!   Connected Variable: tt
! -----
--
CONSTANT HeHeTrhet2rohs=1.0
CONSTANT HeHeTrhet2roh=1.0
CONSTANT HeHeTrhet2vhs=2.0
CONSTANT HeHeTrhet2vh=2.0
CONSTANT HeHeTrhet2hsin=50.0
CONSTANT HeHeTrhet2hin=300.0
HeHeTrhet2dh = (HeHeTrVecqt *(PuPiEnen10h -HeHeTrhet2h )
               -HeHeTrhet2htran )/(1000.0*HeHeTrhet2roh *HeHeTrhet2vh )
HeHeTrhet2dhs = (HeHeTrVecqs *(HeHeCwcwt1h -HeHeTrhet2hs )
               +HeHeTrhet2htran )/(1000.0*HeHeTrhet2rohs *HeHeTrhet2vhs
)
HeHeTrhet2h = integ (HeHeTrhet2dh ,HeHeTrhet2hin )
HeHeTrhet2hs = integ (HeHeTrhet2dhs ,HeHeTrhet2hsin )
```

```

HeHeTrhet2tprev = PuPiEne10h /4.18
HeHeTrhet2tsprev = HeHeCwcwt1h /4.18
HeHeTrhet2tt = HeHeTrhet2h /4.18
HeHeTrhet2ts = HeHeTrhet2hs /4.18

```

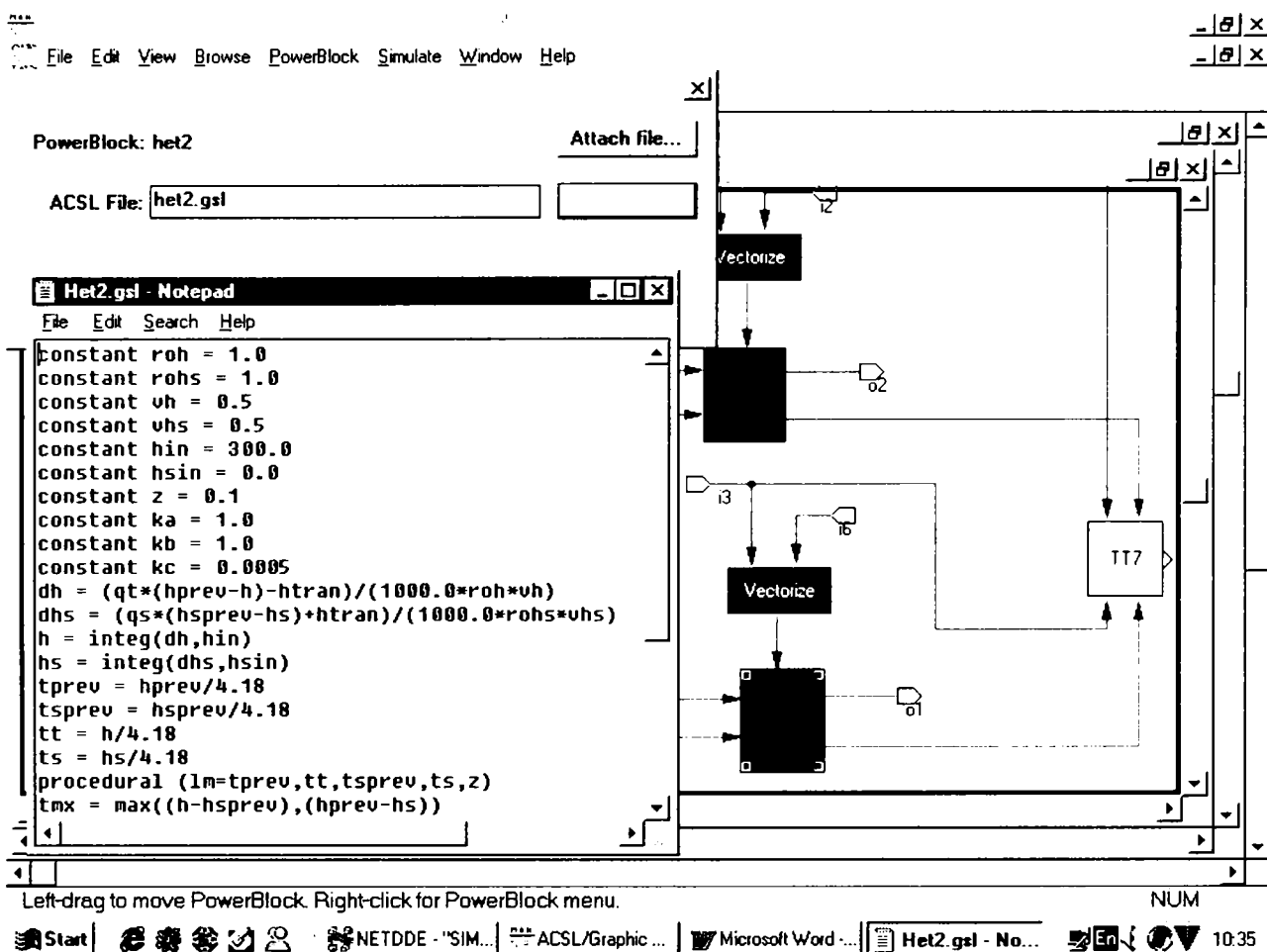


Figura 32: Blocul pentru modelarea transferului de căldură pe schimbătoarele din punctul termic

Blocul care se referă la modelarea transferului de căldură pe schimbătoarele din punctul termic, așa cum apare în cadrul editorului grafic **ACSL/Graphic Modeller** este ilustrat în Figura 32.

În concluzie, se observă că în procesul de dezvoltare a modelului prescriptiv M_p fiecare element component din cadrul sistemului, indiferent că acesta reprezintă un element fizic sau de control, a fost modelat în mod analog exemplurilor prezentate mai sus. Cu ajutorul facilităților puse la dispoziție de editorul grafic (paragraful 3.3.1.1.) s-a putut menține consistența structurilor modelului de-a lungul întregului proces de dezvoltare; de asemenea, în mod

automat a fost creată o bază de date cu explicații conținând variabilele modelului, în scopul regăsirii acestora precum și a unei mai bune documentări.

Un aspect foarte important l-a reprezentat posibilitatea testării separate a componentelor modelului; acest lucru a ajutat extrem de mult în partea de testare finală, de integrare, modelul de față fiind unul deosebit de complex.

Varianta grafică a modelului rezultat pentru întregul sistem se constituie în fișierul **oradea1.gm**. Varianta textuală al aceluiași model, este stocată în fișierul **oradea1.csl**. Acestea reprezintă practic modelul prescriptiv M_p , formal, al sistemului în ansamblul său, și care va fi utilizat în continuare în procesul de simulare.

Astfel, datorită utilizării software-ului **ACSL/Graphic Modeller**, simularea modelului M_p obținut este complet automatizată, fără a pune nici un fel de probleme deosebite. Acesta permite execuția modelelor astfel create, generînd, după cum s-a precizat și anterior, automat cod în limbajul de simulare **ASCL** (fișierul **oradea1.csl**). Fișierul **oradea1.csl** care conține practic programul de simulare propriu-zis este în continuare este translatat în Fortran (**oradea1.for**), compilat și linkeditat rezultînd în final fișierul executabil **oradea1.prx**, și care conține practic modelul simulat propriu-zis.

6.2.2.2. Testarea modelului generat și al simulării

Realizarea simulării a avut loc în paralel cu realizarea modelului M_p , conform schemei prezentate în Figura 22. De asemenea, procesul de **verificare** a modelului a necesitat nu o dată revenirea (feedback) și deci, menținerea consistenței între model și simulare a reprezentat o problemă care a necesitat o atenție specială. În momentul în care a existat o simulare verificată, s-a trecut mai departe la procesul de **validare** al simulării. Aceasta s-a realizat în principal prin compararea rezultatelor obținute în procesul de simulare cu rezultate experimentale, culese din cadrul sistemului real.

Astfel, în procesul de validare al modelului, s-a urmărit în primul rînd investigarea proprietăților de bază ale modelului M_p generat precum și măsura în care acesta respectă specificațiile date inițial. Au fost în acest sens depistate și unele erori în procesul de proiectare, ceea ce a condus la revenirea în faza de dezvoltare a modelului (feedback), în conformitate cu schema de dezvoltare iterativă prezentată în Figura 6.

Pentru a putea executa modelul **oradea1.prx**, avînd în vedere complexitatea acestuia și deci numărul mare de parametri care trebuiesc setați la valorile inițiale, au fost concepute diferite scenarii de execuție, sub forma unor fișiere scenariu. Un exemplu de astfel de scenariu este prezentat în Figura 33.

Se observă că, pe lângă setarea la anumite valori inițiale a diferiților parametri utilizați în procesul de rulare, în cadrul acestui fișier se precizează și alte constante cum ar fi: **timpul total de simulare** (Timelimit), **intervalul de integrare** (Cint), **algoritmul de integrare** utilizat (Ialg = Runge Kutta de ordinul 2 în acest caz), etc. Dintre aceștia, alegerea intervalul de integrare reprezintă cheia procesului de simulare: practic acesta dă cuanta de timp după care sunt reevaluate toate mărimile.

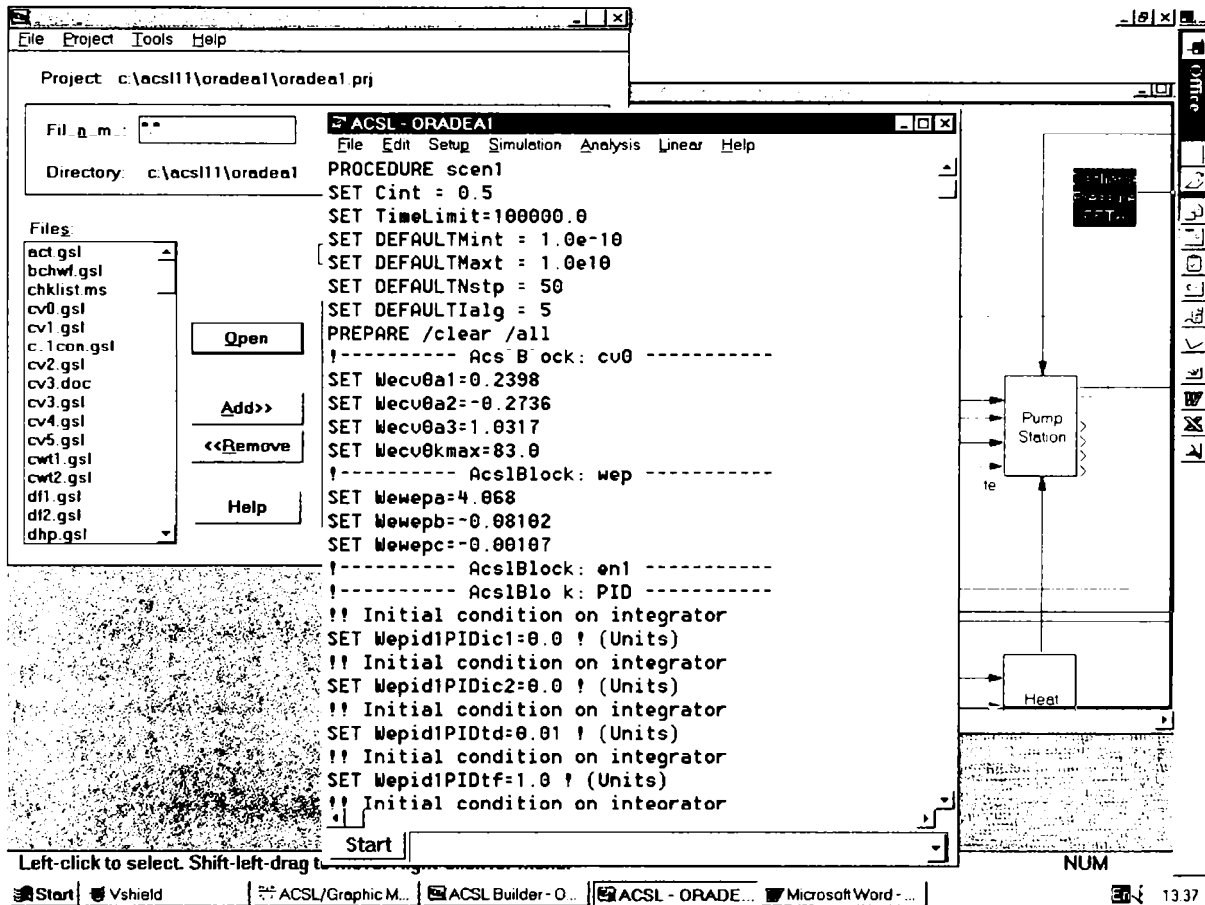


Figura 33: Scenariul de execuție scen1 (parțial)

Simularea performanțelor sistemului pe baza unor fișiere scenariu ca cel prezentat în Figura 33 este posibilă însă extrem de laborioasă, cu atât mai mult cu cât aceasta presupune rularea unui număr mare de simulări în condiții limită și de încărcare maximă. Realizarea într-o manieră sistematică a cîte unui fișier-scenariu pentru fiecare situație care trebuie testată presupune existența a unui număr foarte mare de scenarii complexe, deoarece acestea trebuie să țină cont de faptul că o anumită cerință nu poate fi testată în izolare, ci într-o strînsă interdependență cu toate activitățile din cadrul sistemului. O alternativă originală care se propune în acest sens o reprezintă așa numita **testare interactivă**.

Descrierea de principiu (teoretică) a acestei metode de testare a fost prezentată în cadrul paragrafului 5.2.2.2.

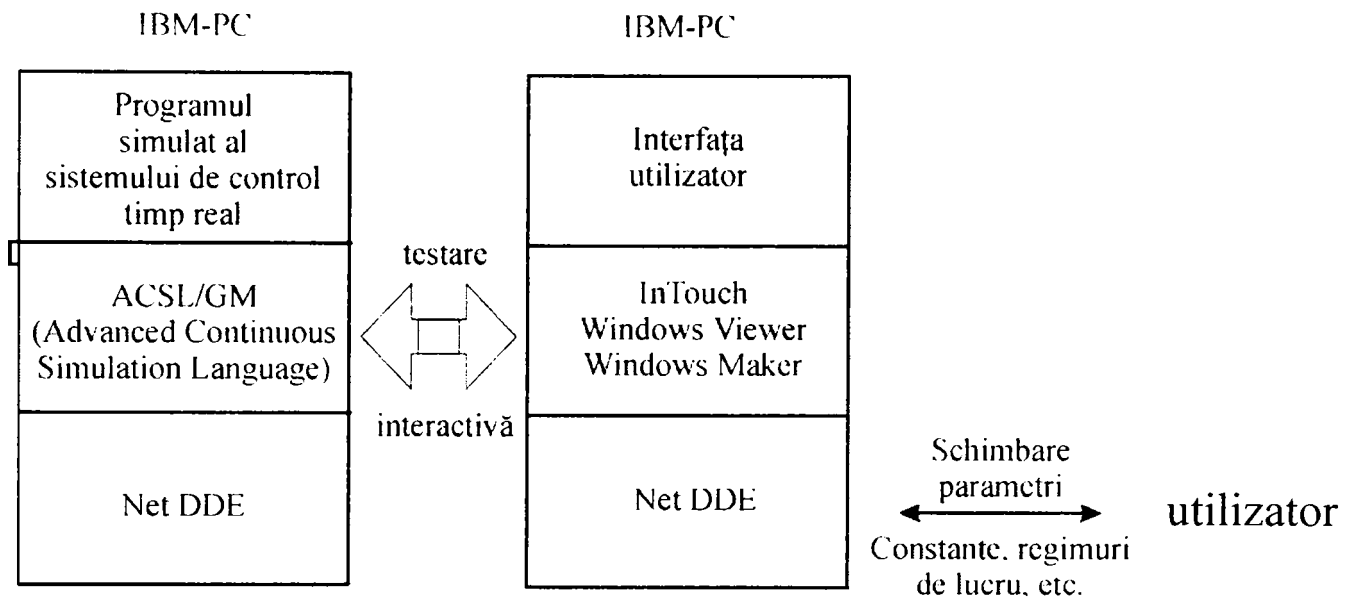


Figura 34: Schema de testare interactivă

Din punct de vedere practic, schema generală utilizată în procesul de testare interactivă este prezentată în Figura 34 și ea presupune realizarea următoarelor etape:

- modelul **Oradea1.prx** a fost lansat în execuție pe un calculator pe care rulează software-ul **ACSL**
- pe un al doilea calculator, a fost concepută o interfață utilizator a procesului (utilizând software-ul **Wonderware InTouch**), prin intermediul căreia se va monitoriza/controla procesul simulat; această interfață a fost utilizată ulterior și pentru monitorizarea și controlul procesului real, prin schimbarea legăturilor, de la simulator către procesul controlat [Won94a]
- cele două calculatoare au fost legate în rețea (peer-to-peer), comunicarea între ele realizându-se utilizând protocolului **DDE**, în cadrul căruia datele pot fi împărțite între **ASCL** și **InTouch WindowViewer**, **ACSL** acționând ca un server **DDE** care poate fi controlat din **InTouch**.

DDE este un protocol de comunicație (**Dynamic Data Exchange**) proiectat de Microsoft pentru a permite aplicațiilor Windows să transmită/primească date și instrucțiuni unele de la altele. Acesta implementează o relație de tip client-server între două aplicații care rulează în mod concurent. Aplicația care

acționează ca server furnizează date și acceptă cereri de la aplicațiile client. Unele aplicații, ca de exemplu InTouch sau Excel, pot fi atât server cât și client.

Concret, comunicarea cu simulatorul a fost realizată în acest caz utilizând aplicația **Allen Bradley Net DDE** [Won94b].

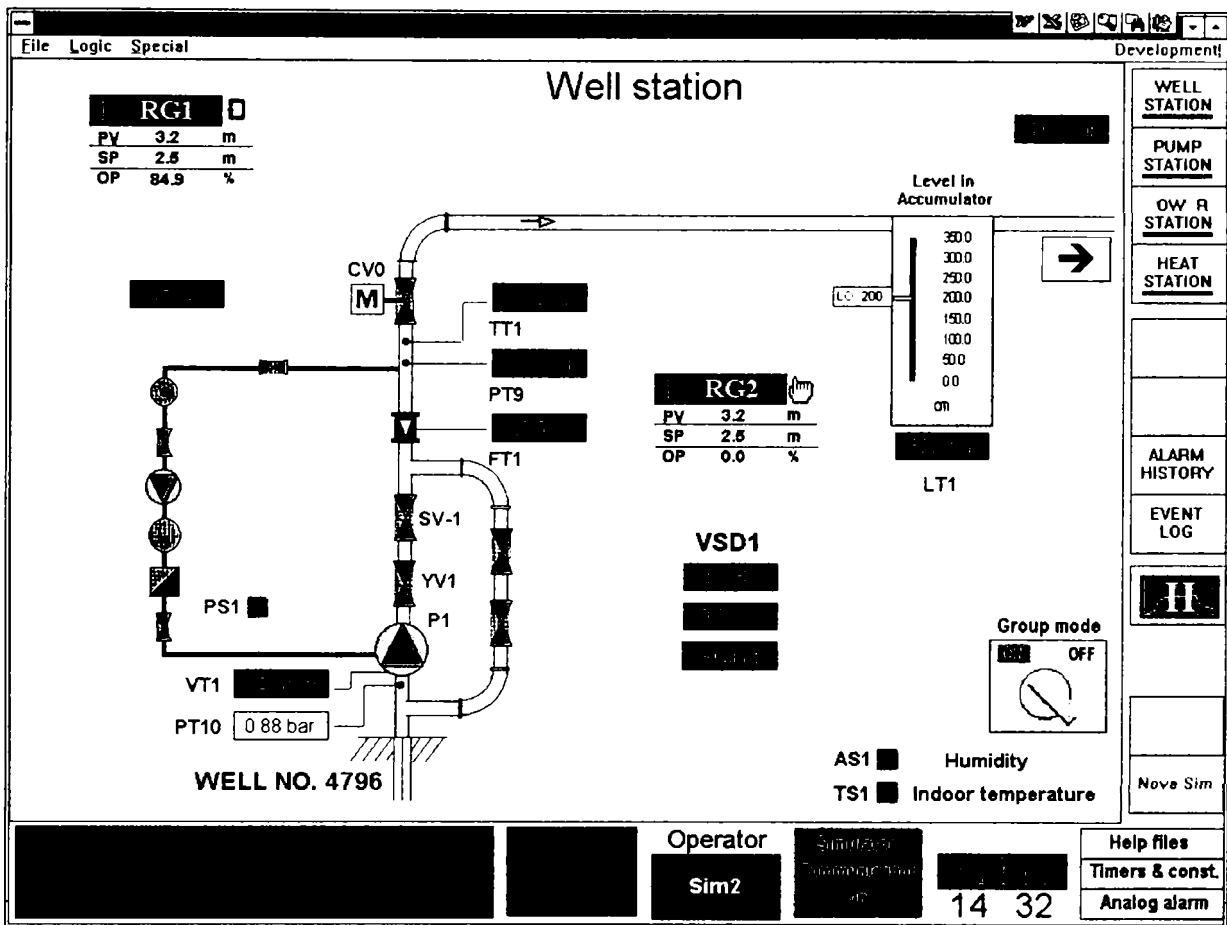


Figura 35: Interfața grafică pentru testarea interactivă a stației sondei (simulatorul)

Modalitatea de în care a fost realizată efectiv interfața utilizator utilizând software-ul **Wonderware InTouch** este prezentată în paragrafului 6.4.2. În procesul de testare interactivă, utilizând interfața InTouch accentul s-a pus pe simularea performanțelor sistemului, în scopul obținerii unei imagini cât mai exacte asupra dinamicii acestuia în general, avînd în vedere că modelul simulat M_p (verificat) se comportă în mod identic cu procesul controlat, comunicînd date către interfața utilizator și totodată recepționînd date prin intermediul acesteia.

Astfel, pornind de la un scenariu unic, inițial, utilizatorul poate schimba în mod interactiv parametri de rulare (constante generale, set-point-uri, valori limită, constante PID [TL92], etc.) pentru a studia efectele acestora în sistem.

Un exemplu de fereastră din cadrul interfeței utilizator prin intermediul căreia s-a realizat testarea interactivă pentru stația sondei este prezentată în Figura 35. Se observă realizarea legăturii on-line cu simulatorul (**Simulator Communication On**). De asemenea, Regulatorul RG1 este pus pe auto, iar RG2 pe manual. Sunt de asemenea vizibile toate valorile mărimilor de interes: TT1, PT10, PT9, FT1, parametri reguletoarelor, modul de operare (grup on), etc.

Astfel, pentru ca testarea interactivă să decurgă într-o manieră sistematică, au fost urmate următoarele etape:

- **testarea sistemului în condiții de funcționare normale:** adică au fost încercate toate operațiile posibile asupra sistemului; de exemplu: închidere/deschidere robinete, pornire/oprire motoare, comutarea în regim manual/automat, schimbarea diferiților parametri pentru reguletoare, schimbarea diferitelor constante, etc., urmărind de fiecare dată dacă reacția sistemului este cea dorită
- identificarea tuturor **situațiilor limită** precum și a celor de **încărcare maximă** posibile; de exemplu: supraîncălzirea pompei P1 care necesită oprirea de urgență a acesteia sau existența unui nivel prea mare (alarma HH) a apei în rezervor
- identificarea tuturor **situațiilor de defecțiune** care pot apărea; de exemplu: imposibilitatea de a opera robinetul CV0, sau, mai grav, necesitatea opririi și ulterior a repornirii sistemului în condiții de siguranță, datorită unor defecțiuni apărute și care nu pot fi remediate cât timp sistemul funcționează
- **stabilirea modalității efective de testare** a fiecărei situații în parte, adică a valorilor care trebuiesc modificate interactiv astfel încât să se ajungă în situația respectivă și **realizarea testării** în conformitate cu aceasta
- identificarea tuturor activităților cu deadline ferm și determinarea **timpului aproximativ de execuție** pentru acestea, în toate situațiile posibile; în acest scop s-a realizat un număr mare de simulări, pentru fiecare activitate în parte, micșorând din ce în ce mai mult intervalul de simulare (**Cint**), pînă în momentul în care timpul de execuție obținut s-a încadrat în limitele impuse de cerințe
- determinarea **intervalului de simulare Cint minim**, pentru care sunt satisfăcute toate cerințele temporale; valoarea acestui interval a constituit punctul de plecare în procesul ulterior de implementare. În cazul aplicației de față, **Cint minim** obținut a fost de **0.5 s**, suficient pentru a fi satisfăcute toate cerințele temporale ale aplicației, sistemul fiind din acest punct de vedere un sistem destul de lent.

Pe lângă etapele de mai sus, în procesul de simulare a fost posibilă urmărirea grafică a evoluției în timp ale anumitor mărimi de interes, în scopul ajustării parametrilor reguletoarelor utilizate (constantele de proporționalitate, integrare și derivare conform celor prezentate în paragrafului 6.2.2.1., pentru a se asigura o mai bună stabilitate în procesul de control [Dor92]. Un exemplu de astfel de grafic obținut în urma simulării modelului Oradea1 este ilustrat prin intermediul

Figurii 36. În cadrul acestuia, au fost reprezentate grafic câteva mărimi de interes, și anume LT1, PT10 și respectiv FT1 (pentru stația sondei), de-a lungul unei simulări care a durat 20.000 s.

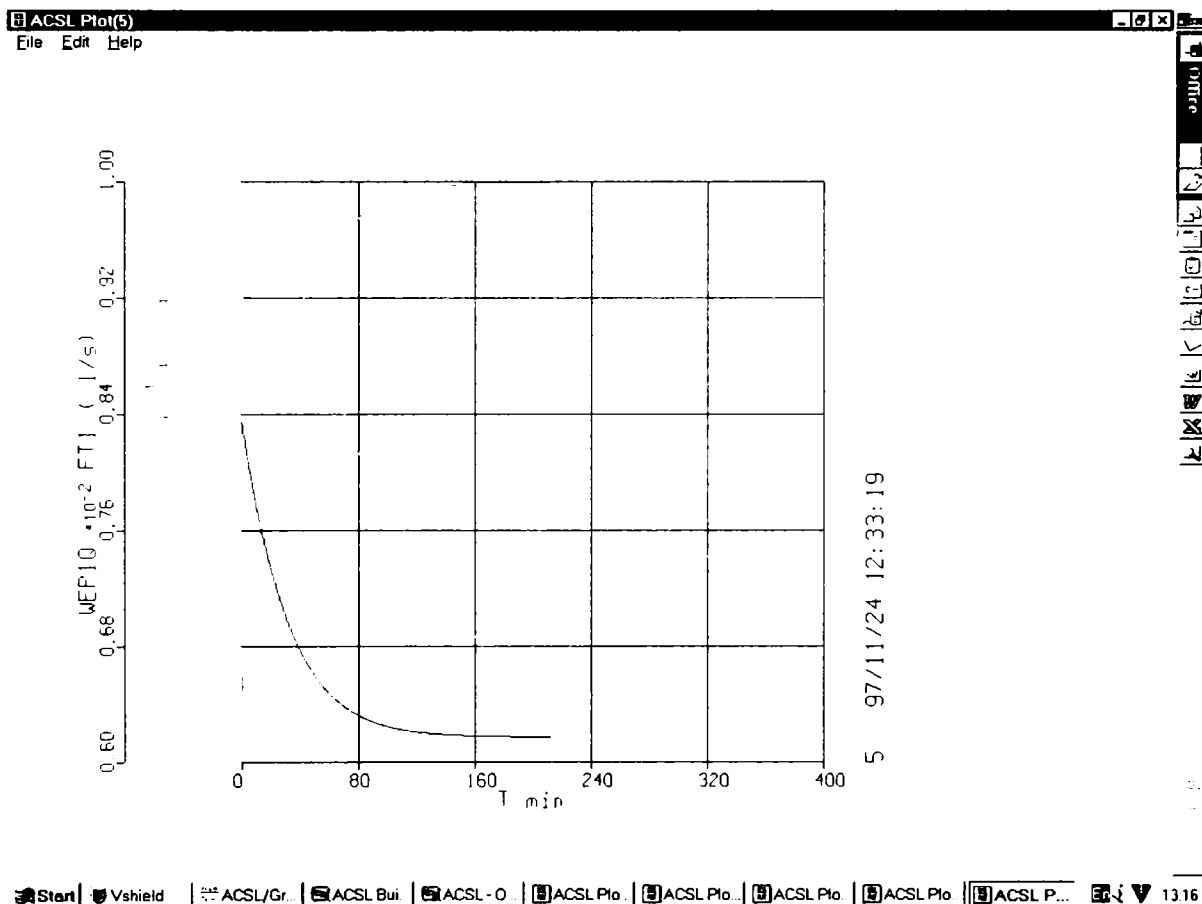


Figura 36: Evoluția mărimilor LT1, FT1 și PT10 rezultată în urma simulării

6.3. Proiectarea software/hardware

În cadrul acestei etape a fost stabilită configurația generală hardware și software a sistemului în cauză. Tot aici s-a stabilit care dintre funcțiile necesare trebuie realizate prin software și care sunt cablate hard.

6.3.1. Proiectarea software

Din analiza structurii generale a software-ului de control timp real prezentat în Figura 25, precum și a rezultatelor obținute în urma procesului de simulare a rezultat că software-ul de control din PLC trebuie să realizeze în principal următoarele funcții:

- achiziția, monitorizarea și/sau controlul operațional al diferiților parametri: LT1, PT1, TT1, FT1, etc. în cazul controlului, acesta trebuie realizat utilizând în acest scop diferite dispozitive: valve, comutatoare, motoare, variatoare de turație, etc.
- tratarea situațiilor de alarme inclusiv oprirea/pornirea sistemului
- trecerea sistemului din regim automat în regim manual și invers
- gestionarea bazelor de date cu semnalele de I/O, alarme, etc.
- comunicarea cu interfața utilizator
- alte calcule intermediare (control statistic, evoluție în timp, etc).

Pentru dezvoltarea programului din PLC s-a ales mediul de programare **Advanced Programming Software (APS)** [Roc94b][Roc94c], care permite realizarea de programe pentru controller-ele din gama **Allen Bradley** [Roc94a] [Roc95]. Programele dezvoltate utilizând APS sunt construite pe o structură modulară, fiind împărțite în mai multe blocuri funcționale care sunt văzute ca și subrutine apelate dintr-un program principal, conform structurii generale prezentate în Figura 19.

Avantajul subrutinelor rezultă bineînțeles într-o minimizare a efortului de programare și realizarea unor programe mai ușor de urmărit; din punct de vedere al proiectării, existența subrutinelor dă posibilitatea păstrării structurii ierarhice a strategiei de control, așa cum a fost dezvoltată în cadrul modelului simulat, modulele din cadrul ierarhiei de control C_p putînd fi **mapate unu-la-unu** către module (subrutine, blocuri) din cadrul software-ului de control. De asemenea, au putut fi concentrate în subrutine separate prelucrări pentru subsisteme asemănătoare (sau chiar identice), în măsura posibilităților, sub o formă paramerizată.

Dacă ne referim la clasificarea făcută în paragraful 4.1.3, **APS** face parte din categoria de software-uri dedicate pentru controlul industrial, de tipul limbajelor specializate. Programarea propriu-zisă a software-ului de control a fost realizată direct pe PC-ul pe care rulează și interfața utilizator; după ce programul a fost realizat și testat, a fost ulterior descărcat (downloaded) către PLC.

Concret, pentru aplicația dată, din analiza specificațiilor am alcătuit o structură de module pentru programul de control, M_{impl} , utilizând tehnica top-down, pe baza modelului M_p , astfel:

- au fost extrase din modelul M_p numai porțiunile care se referă la subsistemele de control operațional și de tratare a alarmelor; modulele din cadrul modelului de implementare M_{impl} au fost alcătuite cu păstrarea structurii generale a codului, și, după caz, completate cu noi module. Un exemplu în acest caz poate constitui modul în care s-a realizat semnalarea alarmei la PS2: presiune de absorbție prea mică. Astfel, codul ACSL din cadrul modelului M_p care tratează secvența respectivă este următorul (blocul Pump Station Pu, sub-blocul ps2):

```
! ACSL Block: ps2
! Last Change: 12:14:15 05/17/97
! Description:
! Input Ports:
!   Port Name: i
!   Connected Variable: Tat11p
! Output Ports:
!   Port Name: o
!   Connected Variable: o
!-----
-----
CONSTANT Pups2imin=0.15
if(Tat11p .lt.Pups2imin )then
Pups2o = 1
else
Pups2o = 0
end if
```

Practic, în cazul în care valoarea presiunii p (Tat11p) este prea mică, ieșirea o (Pups2o) este setată la valoarea 1, altfel este setată la valoarea 0. Testarea valorii lui o (Pups2o) se face ulterior, într-un alt bloc. Secvențe de genul celor de mai sus sunt practic transpuse identic în modelul de implementare M_{impl} ; singura diferență constă în schimbarea numelor variabilelor utilizate prin realizarea corespondenței cu cele care vor fi utilizate în cadrul programului propriu-zis din cadrul PLC-ului

- după cum a fost precizat și mai sus, a fost realizată corepondența tuturor variabilelor din baza de date a modelului M_p care se referă la I/O precum și cele care sunt utilizate în cadrul strategiei de control cu variabilele utilizate în cadrul PLC-ului, și respectându-se convențiile de notare pentru acesta
- pentru fiecare modul în parte au fost stabilite apoi locațiile de memorie corespunzătoare diferitelor variabile utilizate (utilizarea memoriei): I/O, timer-e, counter-e, variabile întregi și binare, etc., fiecare locație fiind comentată pentru a fi mai ușor utilizată în program

Harta memoriei corespunzătoare I/O rezultată în urma acestei faze a fost utilizată pentru realizarea efectivă a structurii hardware: pe baza acesteia s-au realizat legăturile fizice cu senzorii și dispozitivele de control. De exemplu, alocarea intrărilor, așa cum este realizată pentru aplicația dată, este prezentată în cadrul Figurii 37 (o porțiune).

PLC-500 LADDER Oradea university PLC program
PLC-500 Data Base Form
RAFFINOL HP

Data Base Form Sorted by: Address Page: 00005 16:33 05/3

I:18.2	CVD_FB	CONTROL VALVE	POSITION			
I:18.3	PT9	WELL DISCHARGE	PRESSURE			
I:21/0	P3_OK	VSD2 READY				
I:21/1	P3_RUN	VSD2 RUNNING				
I:21/2	P3_FA	VSD2 COMMON	FAULT			
I:21/3	P3_ON	MOTOR RUNNING	POWER RELAY ON			
I:21/4	PS2_3	LOW SUNCTION	PRESS. F/BOOST			
I:21/5	P3_TD	THERMAL SWITCH	OFF PUMP OUT OF OPERATION			
I:21/6	P3_OH	THERMISTOR IN	MOTOR			
I:21/7	P3_OL	OVERLOAD AND	SHORT CIRCUIT	TRIP		
I:21/8	P4_ON	MOTOR RUNNING	POWER RELAY ON			
I:21/9	P4_TD	THERMAL SWITCH	OFF PUMP OUT OF OPERATION			
I:21/10	P4_OH	THERMISTOR	IN MOTOR			
I:21/11	P4_OL	OVERLOAD AND	SHORT CIRCUIT	TRIP		
I:21/12	PFS1	PHASE FAILURE	IN PANEL A3			
I:21/13	RL1	REMOTE LOCAL	OPERATION IN	PANEL A3		
I:21/14	ES1	EMERGENCY STOP	IN PANEL A3			
I:21/15	TS2	INDOOR TEMP.	TO HIGH IN	PUMP STATION		
I:21/16	AS2	AMBIENT HUMIDIT	TO HIGH IN	PUMP STATION		
I:21/17		SPARE				
I:21/18		SPARE				
I:21/19		SPARE				
I:21/20		SPARE				
I:21/21		SPARE				
I:21/22		SPARE				
I:21/23		SPARE				
I:21/24		SPARE				
I:21/25		SPARE				
I:21/26		SPARE				

Figura 37: Harta memoriei referitoare la alocarea intrărilor (o porțiune)

Posibilitatea de a vizualiza și afișa modul de utilizare al memoriei cu ajutorul software-ului APS a permis alocarea într-o manieră ordonată a semnalelor în baza de date, urmărirea locațiilor neutilizate în vederea expansiunii ulterioare, evitarea suprascrierii. Având în vedere cantitatea mare de semnale utilizate, și, în consecință, și de variabile de memorie corespunzătoare, o astfel de facilitate este deosebit de utilă în procesul de programare.

Un calcul estimativ realizat în această fază preliminară de proiectare a software-ului a indicat faptul că este nevoie de aproximativ 40 intrări analogice, 160 intrări digitale, 4 ieșiri analogice și respectiv 40 ieșiri digitale. Evident, aceste cifre au fost, în această etapă, orientative, fiindcă trebuie ținut cont și de o eventuală expansiune (între anumite limite) a sistemului; se poate observa în acest sens că harta memoriei prezentată în Figura 37 conține și poziții libere.

De asemenea, din analiza specificațiilor și în urma datelor culese în procesul de simulare, a rezultat că un interval de scanare de aproximativ 0.5s este mai mult decât satisfăcător în cazul aplicației date. Aceste evaluări au stat la baza alegerii structurii hardware utilizate (procesoare, rețea de comunicație, etc.) precum și a modalității de alocare a diferitelor module pe procesoare.

6.3.2. Alocarea modulelor pe procesoare (proiectarea hardware)

Având în vedere analiza realizată în cadrul procesului de simulare precum și în cadrul celui de proiectare software, din punct de vedere al arhitecturii hardware s-a considerat satisfăcătoare alegerea unui sistem distribuit, format din trei noduri, după cum urmează:

- un nod constând dintr-un **controller programabil PLC** pentru realizarea programului de control, echipat cu mai multe module de I/O prin intermediul cărora se realizează legăturile către procesul fizic, precum și cu o sursă neîntreruptibilă de tensiune; subsistemele (modulele) de achiziție/monitorizare, control operațional și de tratare a alarmelor sunt implementate în cadrul acestui nod (Figura 25)
- un nod constând dintr-un **calculator PC** pentru realizarea interfeței grafice cu utilizatorul; subsistemele (modulele) de interfață cu utilizatorul, de control statistic, și de istoric al evoluției sunt implementate în cadrul acestui nod (Figura 25)
- un nod suplimentar constând dintr-un **modul DTAM Micro [Roc95]**, care realizează o interfață cu utilizatorul în mod text, pentru cazul în care interfața grafică (PC-ul) se defectează; existența acestui nod este opțională, dar este benefică din considerente de siguranță. Practic acest modul dublează (într-o mai mică măsură) interfața utilizator de pe PC [Bar88]

Schema generală a sistemului rezultat este prezentată în Figura 38.

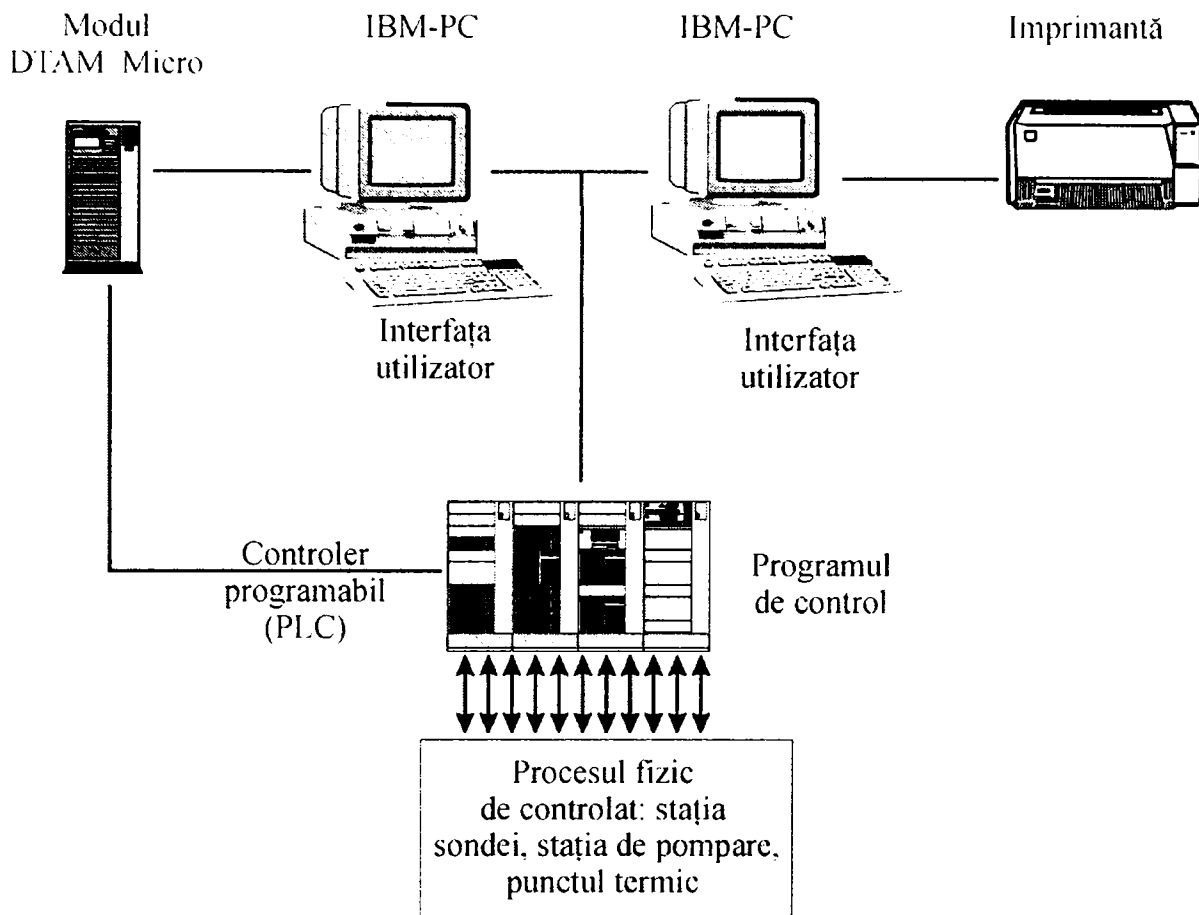


Figura 38: Shema sistemului de monitorizare și control a instalației geotermale de la Universitatea din Oradea

Astfel, pentru implementarea programului de control a fost ales procesorul **Allen Bradley SLC-5/03** din familia **SLC-500**, care nu este neapărat cel mai performant din gama firmei Allen Bradley, dar satisface pe deplin cerințele performanță/cost a aplicației date [Roc94a].

Familia **SLC 500** este o familie de controller-e mici, în general potrivite pentru aplicații dedicate, avînd însă o mare flexibilitate în realizarea de expansiuni ulterioare, incluzînd abilitatea de a comunica cu alte controller-e Allen Bradley de dimensiuni mai mari. Acestea oferă 20, 30 sau 40 de puncte de I/O discrete fixe, cu posibilități de adăugare pînă la 64 puncte de I/O modulare pentru modulele de I/O discrete, analogice sau speciale.

Comunicarea între PLC și PC a fost realizată pe linie serială; comunicarea între PLC și modului DTAM Micro a fost realizată utilizînd o rețea de tipul DH-485, prin intermediul portului dedicat din cadrul PLC-ului.

Cîteva caracteristici ale procesorului SLC-5/03 care justifică alegerea făcută sunt următoarele [Roc94a]:

- structură modulară, formată din module funcționale care pot fi introduse într-un rack; numărul maxim de rack-uri care pot fi adresate este 3 (locale); modulele de I/O sunt astfel construite încît pot fi legate direct la traductoarele și senzorii corespunzători, fără circuite intermediare de izolare și condiționare a semnalelor
- oferă maxim 960 I/O dintre care 96 de semnale analogice
- memorie 12K pentru instrucțiuni, și suplimentar încă 4K pentru date; după definitivarea programului acesta poate fi stocat într-o memorie single-chip EEPROM utilizînd facilitatea existentă în acest sens
- numărul de timer-e/counter-e este limitat numai de cantitatea de memorie disponibilă
- tabela de date este configurabilă de către utilizator
- timpul de scanare: 1ms/Kcuvînt; timpul de scanare pentru I/O : 0,225 ms
- furnizează un port RS-232 standard pentru comunicație serială (utilizat, în cazul de față, pentru comnicația cu PC-ul)
- furnizează un port DH-485 (utilizat în cazul de față pentru realizarea legăturii cu modulul DTAM).

Pentru a satisface necesarul de I/O pentru aplicația dată, precum și pentru a prevedea posibilitatea unei ulterioare extensii, s-au considerat necesare următoarele module de I/O:

- 12 module analogice de intrare: furnizează 4 canale de intrare analogice (± 10 V, ± 20 mA) pe 16 biți; nu necesită sursă de alimentare externă
- 1 modul analogic de ieșire: furnizează 4 canale de ieșire analogice (0 ... 20 mA) pe 16 biți; nu necesită sursă de alimentare externă
- 5 module de intrare digitale: furnizează 32 de canale de intrare digitale (24 V CC)
- 2 module de ieșire digitale: furnizează 32 de canale de ieșire digitale (10/50 V CC), dintre care unul este momentan neutilizat

Astfel, structura generală hardware a modulelor din PLC pentru aplicația dată este sintetizată prin schema din Figura 39:

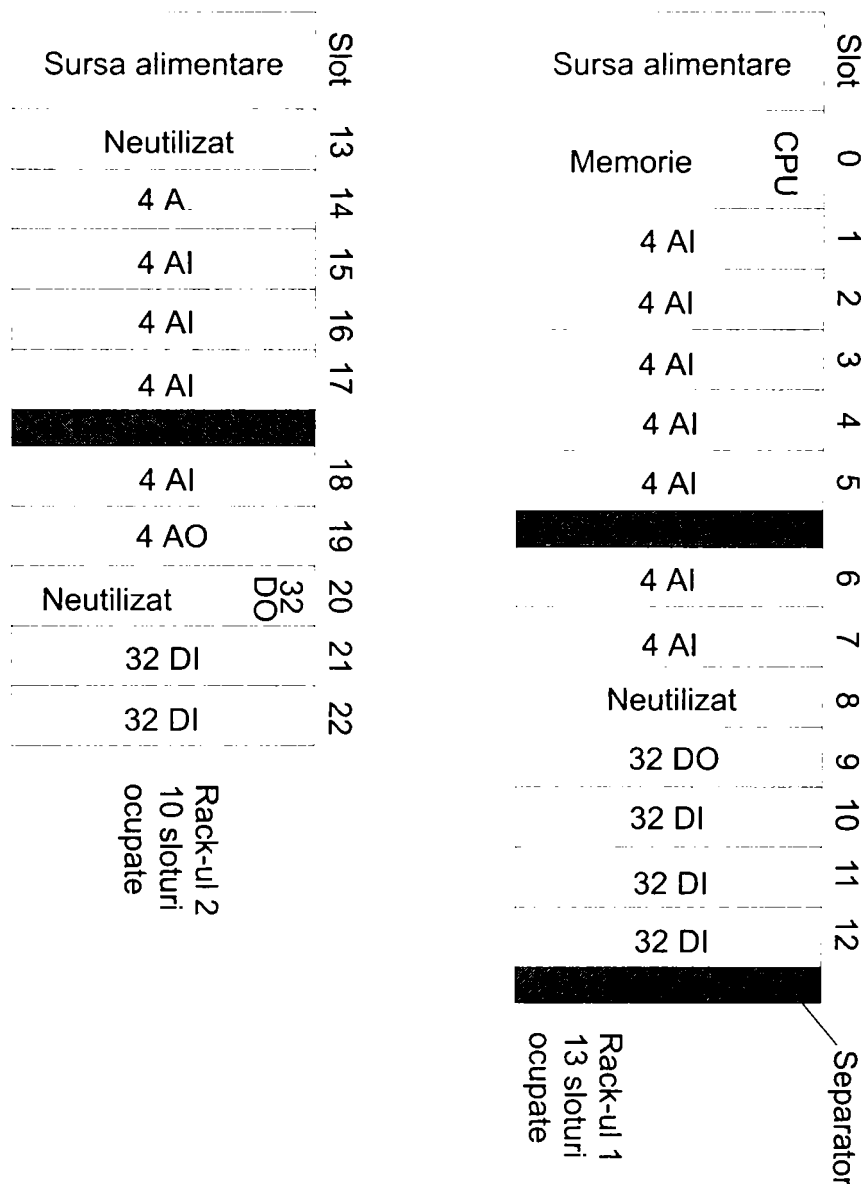


Figura 39: Structura generală hardware a modulelor de I/O din PLC

Calculatorul PC utilizat pentru realizarea interfeței cu utilizatorul a fost ales un Pentium la 100 MHz, care, în 1996, când am început proiectarea sistemului, reprezenta unul dintre cele mai puternice PC-uri de pe piață. Unul dintre avantajele separării interfeței cu utilizatorul de programul de control este că, pe de-o parte acesta este degrevat de realizarea unor prelucrări necesare procesului de afișare (ex: scalări), și pe de altă parte, se pot astfel stoca mari cantități de date utilizând hard-disk-ul PC-ului, date care pot fi utilizate ulterior pentru a urmări evoluția în timp a anumitor parametri (grafice, calcule statistice) [SMY00].

Acest lucru a fost realizat de asemenea prin intermediul interfeței utilizator, cantitatea de date disponibilă la un anumit dat nefiind limitată decât de spațiul disponibil pe disc. Tot în cadrul PC-ului au fost realizate și anumite calcule (totalizări, scalări) necesare pentru a obține anumite date de ansamblu asupra procesului, programul de control din cadrul PLC-ului fiind astfel redus la minimum necesar.

Pentru cazul în care PC-ul care conține interfața grafică se defectează, am prevăzut modul DTAM Micro Operator Interface, cu ajutorul căruia se poate realiza monitorizarea și controlul unui număr redus de parametri (cei care sunt absolut esențiali), spre deosebire însă de PC, în mod text (astfel, maximum 50 de ferestre sunt permise de memoria existentă: afișare date, alarme, configurare). Utilizarea acestui modul este opțională, dublînd (într-o mai mică măsură, evident), interfața grafică de pe PC [VMP92].

6.4. Implementarea și testarea software-ului aplicației

În cadrul acestei etape a fost implementat efectiv programul de control cît și interfața utilizator, pe baza modelelor dezvoltate mai sus.

6.4.1. Implementarea software-ului din PLC

Practic, pentru aplicația în cauză, programul din PLC a fost împărțit în 29 de module, conform listingului următor (preluat din APS):

```
#0 System datastorage header]
#1 Reserved area]
File #2 Main ladder program
File #3 Controlers in Pump station
File #4 Controlers in Well station
File #5 Motor start/stop in Heat station
File #6 Analog limits and transmitter faults
File #7 Mode selections and alarms for Heat station
File #8 Controlers in Heat station
File #9 Initialisation of all start conditions
File #10 Motor start/stop in Well station
File #11 General alarms for all stations
File #12 Setings in scada when group mode=off
in Well station
File #13 Motor start/stop for pump station
File #14 Setings in scada when group mode=off
in Heat station
File #15 Setings in scada when group mode=off
in Pump station
File #16 Calculations of flow meter pulses
File #17 User settings in heat station for power up start
File #18 User settings in well station for power up start
File #19 User settings in pump station for power up start
File #20 Settins for stopping all motors in heat station
File #21 Settins for stopping all motors in well station
File #22 Settins for stopping all motors in pump station
File #23 Settings for starting heat station
after power fault
File #24 Calculations of TT18 from TT17 for 24h average
File #25 File for calculating of TT17 average per hour
File #26 Mapping of inputs and outputs to an address
File #27 Wind speed sensor calculations
File #28 Calculations of TT14 average per hour
File #29 Calculations of TT16 from TT14 for 24 hours
File #30 File for emulating outputs and inputs
```

Se observă existența unui număr destul de important de module: inevitabil, realizarea unui software robust conduce la programe complicate: statisticile

arată că doar 25% din software-ul propriu-zis tratează funcționarea normală, restul, de aproximativ 75% se ocupă cu tratarea situațiilor de alarmă (extreme), care, în general, apar destul de rar. Această protecție, cu inevitabila creștere a dimensiunilor programului, este însă necesară pentru toate sistemele care operează în timp real, și în consecință, a fost utilizată și în cazul de față.

Astfel, o atenție deosebită a fost acordată, în procesul de implementare, porțiunilor de cod care tratează anumite alarme, în special cele legate de factorul timp. De exemplu, după cum a fost prezentat în cadrul specificațiilor, în etapa de control algoritmic, pentru operarea valvei CV0 cerințele sună în felul următor: ***dacă CV0 dă eroare de limită de închidere pentru mai mult de t_{L1} secunde, se va opri operarea acesteia, și se va trece regulatorul RG1 în regim manual, cu ieșire fixată.***

Pentru tratarea unei astfel de situații s-a utilizat în implementarea programului un timer, cu valoarea presetată egală cu limita de timp t_{L1} . În momentul în care timpul limită este atins, programul execută operațiile necesare (trece regulatorul RG1 în regim manual, cu ieșire fixată), și, de asemenea, poziționează o variabilă de memorie prin intermediul căreia se va semnala alarmă către operator prin intermediul interfeței utilizator, astfel încât acesta să poată iniția anumite acțiuni în consecință, dacă este cazul. Întârzierea maximă care poate apărea în tratarea alarmelor datorită utilizării abordării ciclice în procesul de implementare este de maxim două perioade de scanare (Figura 20), ceea ce, având în vedere că toate constantele de timp existente (t_w , t_L , etc.) sunt mult mai mari, poate fi neglijată.

Practic, în implementarea programului s-a încercat tratarea, într-o manieră asemănătoare, a tuturor situațiilor de acest gen; unele dintre acestea necesitând intervenția operatorului, altele nu. O atenție deosebită a fost acordată de asemenea porțiunii de cod care tratează oprirea și respectiv repornirea sistemului în condiții de siguranță, în urma unei căderi de tensiune. De asemenea, pentru o mai mare flexibilitate, toate constantele de timp precum și alte constante utilizate în program sunt transmise prin intermediul variabilelor de memorie către interfața utilizator astfel încât operatorul să aibă posibilitatea de a le modifica, în anumite cazuri (dacă are un nivel de acces corespunzător).

Pentru a contracara, într-o oarecare măsură creșterea programului rezultată din aceste considerente, în procesul de implementare a modulelor am utilizat, pe cât posibil, un număr minim de instrucțiuni. Această tendință de a minimiza numărul de instrucțiuni, rezultând un timp de scanare mai scurt, a fost însă utilizată doar în măsura în care ea nu afectează claritatea programului.

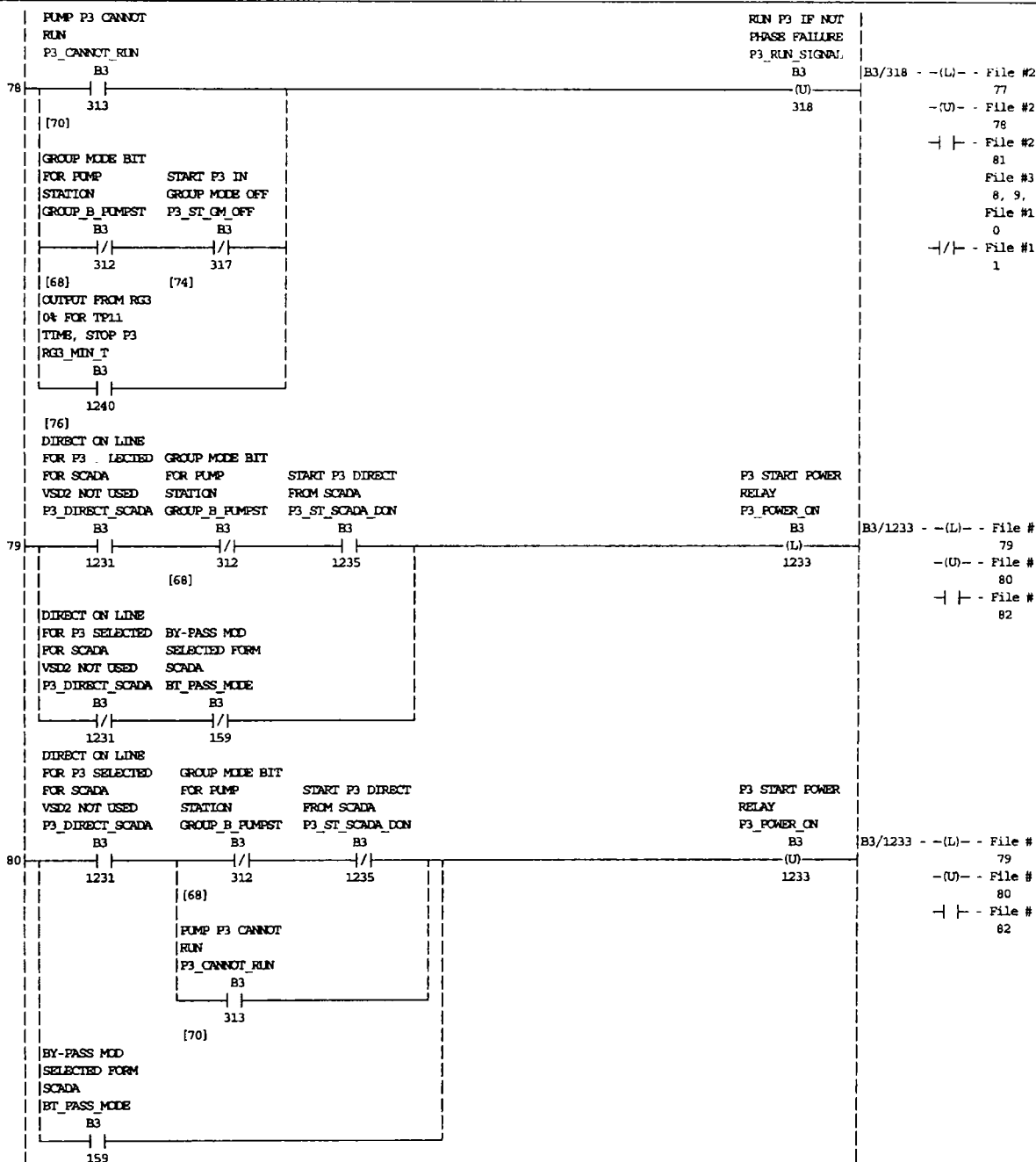


Figura 40: O porțiune din programul PLC (ladder logic)

Pentru a ilustra modul în care s-a realizat efectiv programul, în Figura 40 este prezentată o secvență din cadrul acestuia. De asemenea, pentru a avea o idee referitoare la dimensiunea programului rezultat în ansamblu, trebuie spus că acesta are, în varianta actuală, un număr de 29 de fișiere de program,

91 de fișiere de date, constă dintr-un număr de aproximativ 7000 de instrucțiuni (6828), și prelucrează un număr de aproximativ 200 semnale de I/O, putînd fi considerat ca făcînd parte din categoria aplicațiilor de dimensiuni medii. Perioada de scanare obținută este de aproximativ 160ms, mai mult decît satisfăcătoare nevoilor aplicației date.

6.4.2. Implementarea interfeței utilizator

În ceea ce privește interfața utilizator, realizarea unei interfețe conform standardelor actuale n-ar putea fi făcută fără unelte corespunzătoare. Tipice în acest caz sunt așa numitele **sisteme de management a interfețelor utilizator**. Astfel de sisteme furnizează în general un set de obiecte de bază (icoane, meniuri, bare de defilare, etc.), care pot fi utilizate pentru particularizarea anumitelor interfețe precum și biblioteci de rutine și obiecte predefinite. De asemenea, acestea mai furnizează și o modalitate de a se lega la programul de aplicație (sau la simulator, după caz) corespunzător pentru a putea suporta intrări/ieșiri.

Astfel de unelte sunt în general alcătuite din două părți: o **componentă de dezvoltare** și o componentă **run-time**. Componenta run-time facilitează realizarea legăturilor între structurile interne de date și prezentarea externă a acestora. Componenta de dezvoltare este utilizată în faza de realizare a interfeței, de obicei utilizînd un editor grafic în combinație (eventual) cu un limbaj de programare.

Pachetul **SCADA InTouch** [Boy93] (**Supervisory Control And Data Acquisition**) al firmei **Wonderware InTouch**, utilizat în cazul aplicației date, face parte din categoria sistemelor de management a interfețelor utilizator prezentate mai sus, cele două componente ale acestuia se numesc în acest caz **InTouch WindowMaker** (pachetul de dezvoltare) și respectiv aplicația construită astfel va rula în **InTouch WindowViewer** (componenta run-time).

InTouch WindowMaker și **InTouch WindowViewer** furnizează următoarele facilități [Won94a]:

- un editor grafic
- o serie de biblioteci grafice de obiecte
- posibilitatea de prezentare alarme
- posibilitatea de trasare de grafice pe baza datelor culese
- posibilitatea de a seta diferite nivele de securitate
- lucrul cu baze de date de pînă la 32.000 de elemente (tag-uri).

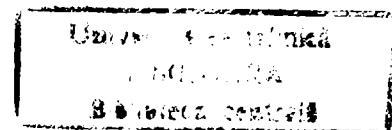
Utilizând această interfață grafică, este permis operatorului, pe lângă activitatea de monitorizare, să realizeze un control deosebit de complex al procesului, prin modificări de set-point-uri, închidere/deschidere valve, pornire/oprire motoare, etc., realizat de la distanță prin intermediul sistemului SCADA implementat. Conectarea cu programul de control din cadrul PLC-ului s-a realizat utilizând **Allen Bradley Serial DDE Server** [Won90].

Structura interfeței dezvoltate se bazează pe noțiunea de fereastră care conține desenul schematic ale diverselor porțiuni ale sistemului. Astfel, pentru sistemul concret dat, în urma specificațiilor a rezultat clar (din partea referitoare la interfața cu utilizatorul, paragraful 6.2.1.2.) care sunt informațiile care trebuie afișate pe ecran; de asemenea, care sunt informațiile asupra cărora trebuie să se poată exercita controlul, etc. Fiecare din aceste informații au fost asociate cu fereastra corespunzătoare; de asemenea, legăturile între ferestre (dacă este cazul) au fost stabilite în această fază.

Principalele tipuri de ferestre concepute în acest caz sunt următoarele:

- ferestre pentru realizarea imaginii de ansamblu pentru fiecare subsistem în parte: stația sondei, stația de pompare, punctul termic
- ferestre pentru afișarea alarmelor și atenționărilor
- ferestre pentru urmărirea variațiilor în timp a diferiților parametri (real-time trends, historical trends)
- ferestre pentru vizualizarea/modificarea stării reguletoarelor
- ferestre pentru vizualizarea/modificarea diferiților parametri de operare de către operator, etc.

Un exemplu al imaginii procesului în InTouch, și care ilustrează subsistemul stația sondei este prezentat în Figura 41. Se observă, din această figură existența reguletoarelor RG1 și RG2, sub forma unor dreptunghiuri în cadrul cărora apar trei valori: variabila de proces PV (controlată), set-point-ul SP (pre-setat), semnalul de ieșire dat de regulator OP, precum și modul de operare al acestuia (MAN=manual, AUTO=automat). Acestea au fost create de o asemenea manieră încât utilizatorul poate schimba constantele regulatorului (constante PID), set-point-ul precum și modul de operare al acestuia selectând căsuțele corespunzătoare de pe ecran.



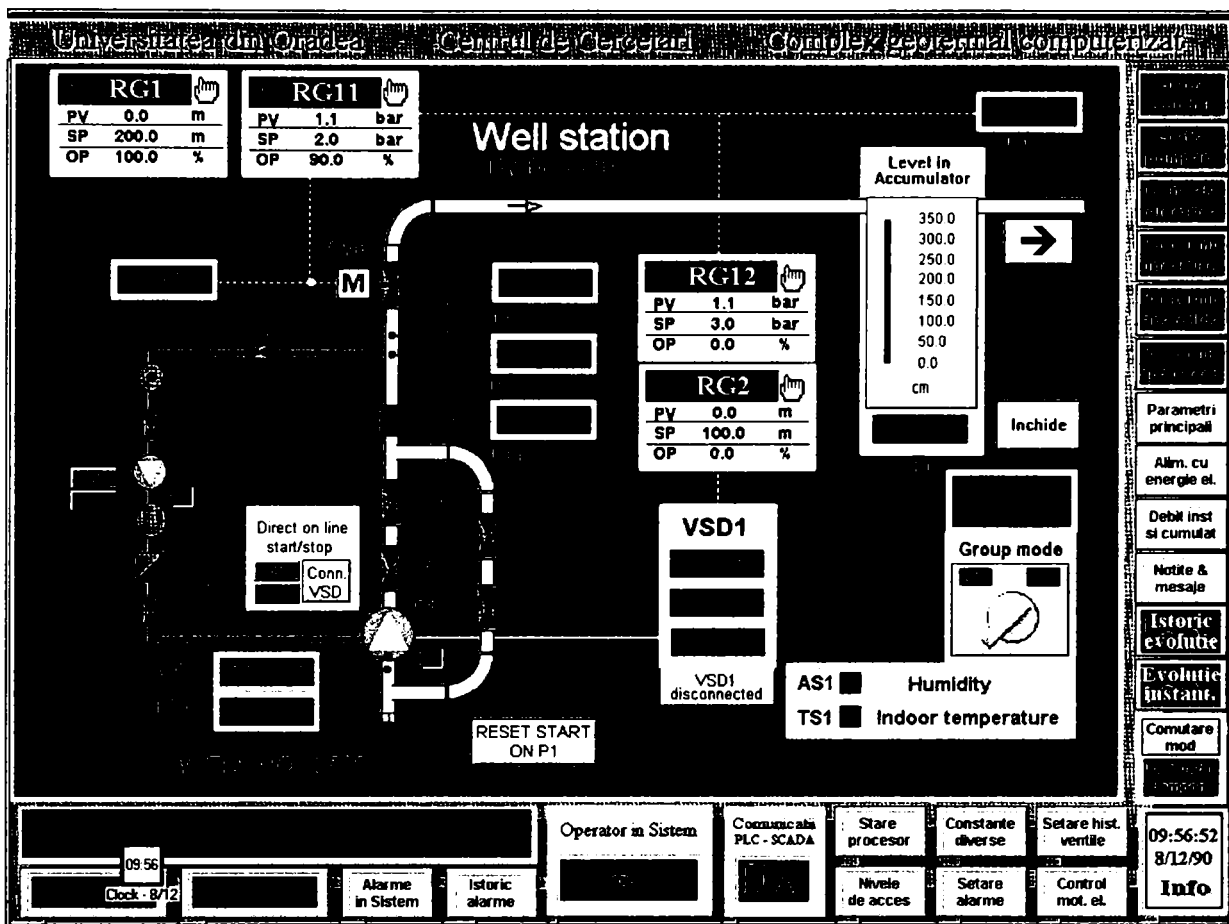


Figura 41: Fereastra corespunzătoare stației sondei

De asemenea, la realizarea acestor ferestre au fost stabilite anumite convenții de reprezentare: de exemplu, pompele sunt reprezentate cu culoarea verde când sunt în funcțiune, gri deschis când sunt oprite dar sunt în stare de funcționare, și respectiv roșie când prezintă o defecțiune. Același lucru este valabil și pentru variatoarele de turație VSD1 și VSD2. Robinetele sunt reprezentate utilizând simboluri speciale pentru marcarea pozițiilor "complet închis", "complet deschis", operare în direcția de închidere, operare în direcția de deschidere, operare cu deschidere fixă sau defecțiune. Stația sondei poate fi trecută în modul grup off/on prin selectarea poziției corespunzătoare a comutatorului din cadrul ferestrei.

Fereastrele corespunzătoare stației de pompare și respectiv punctului termic sunt prezentate în Figura 42 și respectiv Figura 43. Se observă păstrarea aceluiași principii de creare a interfeței utilizator în cazul acestor ferestre, ca și la stația sondei.

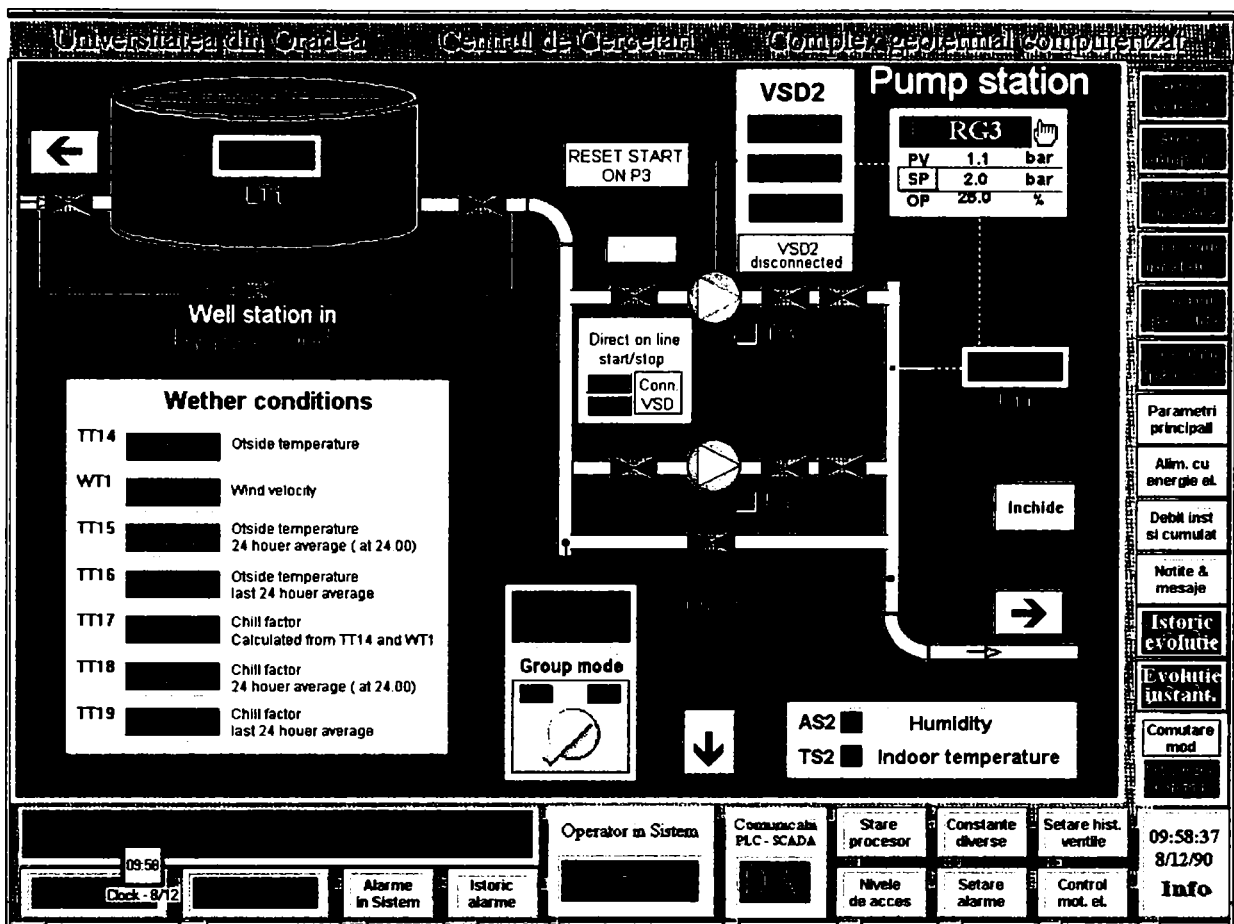


Figura 42: Fereastra corespunzătoare stației de pompare

Astfel, s-a urmărit la crearea interfeței utilizator, realizarea unor ferestre care să conțină cât mai multă informație, repartizată de o asemenea manieră încât să fie cât mai ușor de urmărit, dar și ofere o cât mai are flexibilitate aplicației. Scalarea tuturor mărimilor afișate a fost realizată prin tot intermediul interfeței, și de asemenea unele totalizări necesare pentru managementul procesului au fost realizate utilizând macro-uri în Visual Basic.

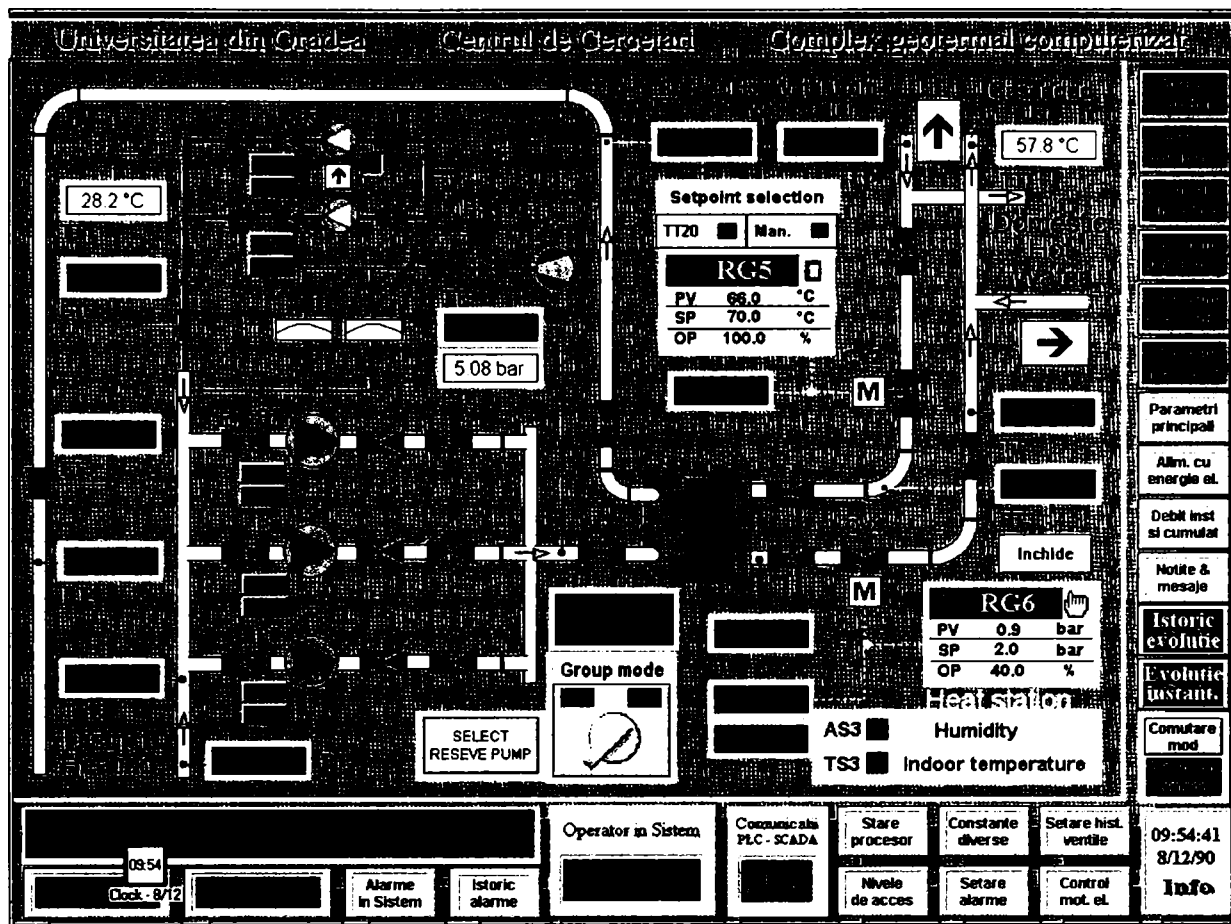


Figura 43: Fereastra corespunzătoare punctului termic

6.4.3. Testarea software-ului implementat

Procesul de testare a software-ului implementat a fost realizat în principal în două etape:

- **testarea separată a modulelor** din cadrul programului de control; în această fază, programul de control nu a fost conectat încă la procesul fizic. Practic, în cadrul acestei etape preliminare am folosit facilitatea PLC-ului Allen Bradley de a putea forța intrările binare la anumite valori, pentru a simula diferite situații. Pentru intrările analogice, am utilizat locații de memorie în locul intrării propriu-zise. Aceste setări au fost realizate prin accesul direct la tabela de date din PLC.
- **testarea programului de control** în ansamblul său, cu intrările și ieșirile conectate direct la procesul fizic de controlat. S-a utilizat **testarea interactivă** în această etapă, prin intermediul aceleiași interfețe utilizator ca și în cazul testării simulatorului. Practic, testarea de ansamblu s-a realizat în timp real, programul fiind conectat la procesul fizic controlat.

Trebuie menționat aici faptul că scenariile de test alese precum și etapele corespunzătoare **au fost aceleași** cu cele utilizate în cazul modelului simulat, (prezentate în paragrafului 6.2.2.2.) datele rezultate fiind în permanență comparate cu cele obținute în urma simulării.

Spre deosebire însă de simulare, realizarea testării în timp real a sistemului a ridicat probleme deosebite legate de protecție (în general pentru testarea condițiilor limită). De asemenea, repetabilitatea unei anumite testări a fost greu de obținut, pe de-o parte datorită faptului că, sistemul fiind destul de complex, fiecare stare a acestuia depinde de o mare varietate de factori (nefiind un sistem concurent nu se pune problema nedeterminismului) și pe de altă parte, datorită faptului că procesul fizic controlat este lent.

Se observă că, pe ansamblu, procesul de testare respectă maniera de testare dinamică pentru sisteme de control timp real prezentată în paragrafului 1.3.4.5., trecând prin toate etapele acesteia. Astfel, toate testările pînă în acest moment au fost realizate utilizînd un model simulat; testarea finală a fost însă realizată direct pe procesul real.

6.5. Concluzii

În cadrul acestui capitol a fost prezentat un exemplu de aplicație timp real care a fost dezvoltată utilizând metodologia propusă în cadrul capitolului 5. Se observă că etapele care au fost urmate sunt cele caracteristice procesului de dezvoltare a unei aplicații generale de timp real, conform schemei din Figura 7, și anume:

- **analiza și specificarea cerințelor** – în cadrul căreia a fost elaborat un document, informal, dar care sistematizează cerințele sistemului în ansamblul său (paragraful 6.1.)
- **controlul algoritmic** – în cadrul acestei etape s-au utilizat cu precădere tehnicile **ICA**, în special la dezvoltarea strategiei și apoi a algoritmilor de control. Practic, această etapă s-a concretizat în dezvoltarea modelelor **M_d** și respectiv **M_p** pentru sistemul în cauză, și anume (paragraful 6.2.):
 - modelul **M_d**, **informal**, care descrie sistemul într-o manieră ierarhizată, sub formă de schemă bloc; **ACSL/Graphic Modeller** reprezintă mediul integrat cu ajutorul căruia s-a realizat acest model
 - modelul **M_p**, **formal**, care descrie sistemul sub forma unor ecuații matematice diferențiale neliniare; **limbajul de simulare ACSL** a fost utilizat pentru descrierea modelului **M_p** și, în consecință, a fost posibilă validarea ulterioară a acestuia prin simulare
- **proiectarea software/hardware** – în cadrul acestei etape s-a stabilit, pe baza rezultatelor obținute în procesul de simulare, care sunt modulele software care trebuie implementate precum și modul de alocare a acestora pe procesoare; structura generală hardware a sistemului a fost definitivată, principalul criteriu care a fost luat în considerare fiind cel al **asigurării tuturor resurselor necesare (resource adequacy)**. Concret, structura sistemului s-a constituit dintr-un **controller programabil Allen Bradley** pentru realizarea programului de control propriu zis, un **calculator PC** pentru realizarea interfeței cu utilizatorul precum și un **modul DTAM Micro auxiliary** (paragraful 6.3.)
- **implementarea software-ului și testarea** – implementarea software-ului a fost realizată utilizând limbajul **APS (Advanced Programming Software)** pentru controller-ele programabile din gama Allen Bradley și **Wonderware Intouch** pentru proiectarea interfeței utilizator; principiul de bază l-a reprezentat minimizarea pe cât posibil a programului de control din PLC (și implicit obținerea unui timp de scanare mai mic) prin tranferul tuturor procesărilor complementare către PC (paragraful 6.4.)

De asemenea, trebuie precizat faptul că testarea a fost realizată într-o manieră dinamică, de-a lungul tuturor fazelor de dezvoltare a sistemului, conform schemei de **testare dinamică** prezentată în Figura 8. Astfel, în fazele inițiale, testarea s-a realizat utilizând modelul simulat al procesului de controlat; abia în ultima fază (cea de implementare) testarea a fost realizată în timp real, adică direct asupra procesului real.

Din acest motiv realizarea simulării (modelul M_p) a reprezentat un element cheie în cadrul procesului de dezvoltare a aplicației în ansamblul său, astfel încât un efort considerabil a fost depus pentru a crea un model simulat corect (verificat și validat). **Testarea interactivă** a reprezentat o unealtă deosebit de utilă atât în realizarea și validarea acestui model cât și ulterior, în procesul de testare în timp real a aplicației implementate.

De asemenea, trebuie precizat faptul că aplicarea metodologiei din cadrul capitolului 5 n-ar fi fost posibilă fără existența unor unelte CASE și medii software adecvate. Combinația utilizată în acest caz, și anume:

- ACSL/Graphic Modeller
- Wonderware InTouch
- APS

reprezintă o variantă propusă și care a fost utilizată în acest caz concret, nicidecum o obligativitate. Ea ilustrează însă modul în care astfel de unelte software pot fi combinate în scopul dezvoltării de aplicații software timp real.

Astfel, aplicația de monitorizare și control a instalației geotermale de la Universitatea din Oradea a arătat că, pentru o largă categorie de sisteme timp real și anume **sisteme de control automat a proceselor industriale**, metodologia propusă constituie o soluție de dezvoltare simplă și fezabilă din punct de vedere practic, utilizarea paradigmei ciclice bazate de asigurarea resurselor necesare (resource adequacy) făcînd posibilă asigurarea cerințelor de predictabilitate și determinism impuse aplicațiilor timp real.

7. CONCLUZII FINALE ȘI CONTRIBUȚII ORIGINALE

După cum a fost deja precizat în cadrul capitolului 1, un sistem timp real este un sistem care controlează un mediu prin recepționarea datelor, prelucrarea lor și efectuarea unor acțiuni sau furnizarea unor rezultate suficient de repede pentru a-i controla evoluția. În esență, aceasta presupune ca rezultatele să se obțină în timp util pentru a putea avea un efect nemijlocit asupra sistemului, deci să nu aibă doar o valoare pur informativă, post factum, ca și în cazul tradițional.

Generalitatea definiției anterioare, conferă sistemelor timp real o mare diversitate, ele putând practic acoperi domenii dintre cele mai variate, de la o navă cosmică pînă la un student care se instruește asistat de un calculator. Totuși, datorită ponderii însemnate pe care se preconizează că o vor deține îndeosebi în România în următorii ani, s-a avut în vedere în cadrul acestei teze o categorie specifică de sisteme timp real, și anume **sisteme timp real utilizate pentru conducerea și controlul proceselor industriale**. Din acest punct de vedere teza aduce în discuție un domeniu de mare actualitate.

Astfel, principalele caracteristici ale unui sistem timp real utilizat pentru controlul proceselor industriale pot fi sintetizate prin următoarele:

- existența unei mulțimi de activități care se desfășoară în același timp și sunt intens dependente între ele
- activitățile paralele supuse controlului depind de o multitudine de factori externi; sistemul trebuie să reacționeze prompt, flexibil și adecvat împrejurărilor
- comenzile trebuie realizate într-un timp limitat superior în mod net, depășirea limitei concretizându-se într-o situație de alarmă și care trebuie tratată în consecință
- întrucît mărimile din cadrul unui proces industrial pot fi foarte diferite în natura lor, măsurarea lor și execuția comenzilor presupune utilizarea unui echipament diversificat și complex de interfațare cu procesul industrial
- funcționarea procesului este în general continuă, chiar dacă procesul în sine este discret; rolul factorului uman este într-un anumit număr de situații esențial, el trebuind inclus în buclele de reglare

Avînd în vedere aceste caracteristicile de mai sus, necesitatea elaborării unor metode de proiectare și tehnici de implementare specifice acestei categorii de aplicații timp real este evidentă.

7.1. Contribuții teoretice

În contextul realizării de aplicații timp real pentru controlul proceselor industriale, principala **contribuție teoretică** pe care o aduce teza o reprezintă **definirea unei metodologii de proiectare noi și originale** specifice aplicațiilor timp real pentru controlul proceselor industriale, prin aplicarea căreia să se asigure cerințele temporale, de predictabilitate și dependabilitate specifice acestei categorii de sisteme.

Fiind orientată către aplicații care au o puternică componentă de timp real: control, achiziție și prelucrare masivă de date, metodologia combină în esență principii și tehnici cunoscute din cadrul ingineriei programării IP și a ingineriei controlului automat ICA cu **paradigme și abordări originale**, furnizând pe ansamblu un set de **concepțe, criterii și etape** împreună cu categoriile de **unelte software** necesare implementării practice a metodologiei.

Astfel, în construirea metodologiei propuse s-a pornit de la ideea că principalul element care trebuie considerat în procesul de proiectare al unui sistem de control timp real îl reprezintă posibilitatea **garanțării** satisfacerii tuturor constrângerilor de timp impuse; acest obiectiv a putut fi realizat prin alegerea în primul rând al **simplității** ca principiu fundamental al proiectării.

Pentru a putea realiza acest lucru, la baza modelării sistemului s-a aflat **paradigma de răspuns garantat**, ceea ce, după cum a fost precizat în cadrul capitolului 2, implică automat asigurarea tuturor resurselor necesare, **resource adequacy**. În plus, simplitatea modelului a reprezentat un element esențial în construirea acestuia, în măsura în care reducerea numărului de informații sau abstractizarea în vederea simplificării nu a afectat corectitudinea acestuia.

Chiar dacă utilizarea tehnologiei obiectuale este extrem de răspândită în prezent în aplicațiile care nu sunt de timp real, metodologia propusă a fost dezvoltată având la bază tehnici non-obiectuale. S-a preferat această abordare datorită faptului că, după cum s-a arătat în cadrul capitolului 3, pînă în momentul elaborării acestei lucrări tehnologia orientată pe obiecte nu se afla încă în stadiul de a fi utilă pentru aplicațiile timp real complexe, existînd necesitatea îmbunătățirii metodologiilor obiectuale existente atît din punctul de vedere al semanticii temporale, cît și a specificării, customizării, catalogării și regăsirii componentelor software. Chiar dacă actualmente există numeroase unelte CASE disponibile, acestea nu sunt capabile să rezolve problema sistemelor în timp real și distribuite de dimensiuni mari: de exemplu, simulatorul **ObjectGeode** reprezintă o facilitate importantă însă, în cazul aplicațiilor în timp real complexe, utilizarea modului de simulare exhaustivă poate deveni practic imposibilă datorită gradului mare de complexitate a acesteia.

În scopul atingerii dezideratelor de predictabilitate și determinism, metodologia propusă se bazează pe utilizarea **paradigmei Cy-Clone (Clone of the Cyclic Paradigm)** a cărei idee de bază este aceea că există suficiente resurse în sistem astfel încât să se garanteze că toate operațiile vor fi executate în timp util, **în combinație cu PLC-urile**. Datorită modului de operare caracteristic PLC-urilor, s-a demonstrat în cadrul capitolului 4, că acestea se pretează foarte bine la utilizarea în sistemele de control timp real time-triggered **TT**, și care sunt proiectate utilizând paradigma Cy-Clone.

Astfel, utilizarea controlului temporal **TT**, specific paradigmei ciclice, precum și al **PLC-urilor** în procesul de implementare reduce semnificativ complexitatea aplicației prin realizarea unei discipline temporale stricte. Prin utilizarea unei astfel de abordări, este posibilă atingerea dezideratelor de predictabilitate și determinism în sistemele de control timp real: aceasta însemnând în esență că, dându-se un set de cerințe, se poate garanta că sistemul le îndeplinește întotdeauna.

Metodologia constă în principal din următoarele etape, și care au fost prezentate în detaliu în cadrul capitolului 5:

- realizarea modelului descriptiv M_d pe baza specificațiilor inițiale ale sistemului; modelul M_d include și strategia de control adoptată
- realizarea modelului prescriptiv M_p și validarea acestuia utilizând simularea
- realizarea modelului de implementare M_{impl} pe baza modelului M_p în prealabil validat
- implementarea software și hardware a sistemului pornind de la modelul de implementare M_{impl} și testarea acestuia

În scopul aplicării în practică a metodologiei, a fost necesară utilizarea următoarelor categorii de unelte CASE și medii de dezvoltare:

- unelte CASE pentru reprezentarea matematică **MMS** a componentelor sistemului în cadrul modelelor M_d și M_p
- un limbaj de simulare general pentru implementarea și ecuațiilor pentru modelul matematic M_p descris mai sus cu posibilitatea simulării acestuia
- un software de realizare a interfeței utilizator care să permită managerizarea în timp real a execuțiilor precum și crearea unei interfețe utilizator interactive
- un software pentru implementarea programului de control propriu-zis din cadrul PLC-ului

Există o mulțime de critici care au fost aduse aplicațiilor care adoptă abordarea ciclică, și care au fost prezentate pe larg în paragraful 4.2. Cel mai important dezavantaj îl reprezintă însă faptul că, datorită limitărilor existente ale echipamentelor hardware utilizate, nu este întotdeauna posibil din punct de vedere practic să se garanteze existența tuturor resurselor necesare, și deci, aplicarea metodologiei nu este posibilă în aceste cazuri.

Totuși, datorită creșterii continue a performanțelor hardware împreună cu scăderea prețului acestora, acest dezavantaj poate fi depășit în cele mai multe cazuri. Astfel, în prezent există **o largă categorie de aplicații industriale** pentru care soluția propusă este perfect aplicabilă din punct de vedere practic și pentru care aceasta furnizează o bază cunoscută pentru obținerea predictibilității și determinismului: condiții esențiale pentru sistemele timp real. Mai mult, dacă sunt proiectate corespunzător, aceste aplicații pot furniza o comportare în timp care poate fi reprodusă (determinism reproductibil).

Pentru acestea, metodologia propusă furnizează atât un **set de concepte și criterii** care pot fi utilizate în procesul de dezvoltare în ansamblu a unei aplicații de control timp real cât și o selecție a celor mai potrivite **unelte software (CASE tools)** cu ajutorul cărora dezvoltarea aplicației să se realizeze într-o manieră cât mai simplă și pe cât posibil, automatizată.

Cîteva dintre avantajele și dezavantajele metodologiei propuse sunt prezentate în continuare.

Avantaje

- **simplitate** – metodologia poate fi aplicată pentru sisteme cu un grad relativ ridicat de complexitate; exemplul prezentat în studiul de caz preprezentînd o dovadă în acest sens
- **posibilitatea asigurării cerințelor de predictabilitate și determinism** – element de o importanță majoră pentru sistemele timp real, acestea sunt asigurate datorită utilizării combinate a controlului temporal și al PLC-urilor în procesul de dezvoltare a aplicației
- **posibilitatea utilizării tehnicilor de dezvoltare existente** în domeniul **IP** și **ICA** precum și a diverselor unelte și medii software existente, în cadrul diferitelor faze ale procesului de dezvoltare

Dezavantaje

- **lipsa de flexibilitate** – datorită utilizării paradigmei **Cy-Clone**, și deci implicit a controlului temporal **TT**, ordinea desfășurării tuturor acțiunilor precum și momentele de timp asociate acestora trebuie definite și cunoscute în prealabil; aceasta cerință reprezintă o limitare față de cazul utilizării controlului bazat pe evenimente **ET**;

- **aplicabilitate pentru cazul sistemelor timp real nu foarte rapide** – în cazul în care constrîngerile de timp impuse pentru o aplicație dată sunt mai mici decît ciclul de bază **dT** caracteristic abordării ciclice (paragraful 4.2.), abordarea bazată pe evenimente **ET** trebuie luată în considerare din considerente de performanță (cerințe de timp de ordinul milisecundelor sau zecilor de milisecunde); astfel de sisteme nu pot fi modelate utilizînd metodologia propusă.

În plus, mai trebuie precizat faptul că sistemele timp real existente în prezent, chiar dacă prezintă unele aspecte comune, ele pot diferi foarte mult în ceea ce privește aspecte ca: dimensiunea, complexitatea, strictețea cerințelor temporale, fiabilitatea, etc.; astfel, este foarte important ca pentru fiecare sistem particular metodologia de proiectare să fie identificată și adaptată în consecință.

7.2. Contribuții practice

În dorința de a verifica din punct de vedere practic contribuțiile originale teoretice aduse prin intermediul metodologiei propuse, autoarea prezintă un exemplu concret de utilizare în practică a acesteia. Astfel, aplicația de control timp real "**Sistem de monitorizare și control a instalației geotermale de la Universitatea din Oradea**" prezentată în cadrul capitolului 6 a fost dezvoltată utilizînd etapele metodologiei propuse și descrise anterior, cu adaptările corespunzătoare impuse de modelului general de dezvoltare al unei aplicații timp real.

Dintre multitudinea de unelte CASE și software existente s-a ales pentru aplicația prezentată în studiu de caz o combinație posibilă, și anume: mediul **ACSL /GM (Advanced Continuous Simulation Language / Graphic Modeller)** pentru reprezentarea a componentelor sistemului și simularea modelului generat; software-ul de **InTouch WindowsViewer** pentru crearea interfeței utilizator interactive; software-ul **Allen Bradley APS (Advanced Programming Software)** pentru implementarea programului de control din PLC. Utilizarea simulării în combinație cu testarea interactivă a permis evaluarea sistemului de control real implementat din toate punctele de vedere: funcțional, al performanțelor (și în mod deosebit a celor temporale) precum și al modului în care acesta reacționează în situațiile de defecțiune și eroare, etc.

Procesul de dezvoltare a aplicației a constat în consecință din următoarele etape:

- **Etapa 1: analiza și specificarea cerințelor** – au fost sistematizate cerințele sistemului în ansamblul său rezultînd un document în format informal (textual)

- **Etapa 2: controlul algoritmic** – au fost dezvoltate modelele M_d (semi-formal) și respectiv M_p (formal) pentru sistemul în cauză, utilizând mediul integrat **ACSL/Graphic Modeler**; de asemenea, în scopul realizării testării interactive a modelului M_p (simulării), a fost dezvoltată în paralel și o interfață grafică cu utilizatorul utilizând software-ul **Wonderware inTouch**
- **Etapa 3: proiectarea software/hardware** – a fost definitivată structura generală software/hardware a sistemului pe baza evaluării rezultatelor obținute din testarea interactivă a simulării
- **Etapa 4: implementarea software-ului și testarea** – a fost implementat și testat software-ului de control propriu-zis din cadrul PLC-ului utilizând **Allen Bradley APS (Advanced Programming Software)**

Aplicația este funcțională din anul 1997, chiar dacă unele modificări au mai fost realizate de atunci, fără a opri însă sistemul. Prin intermediul ei se realizează optimizarea consumului de apă geotermală în funcție de cerințe. După cum a fost deja precizat în cadrul capitolul 6, apa geotermală se utilizează pentru încălzire cît și pentru furnizarea de apă caldă menajeră în clădirile campusului. Datorită variațiilor mari ale consumului de-a lungul diferitelor perioade ale anului (ex: iarna, în timpul semestrului școlar: consum mare; vara, în timpul vacanței: consum mic), în urma implementării acestui sistem s-a realizat o importantă economie de apă.

De asemenea, alte avantaje care rezultă în urma utilizării sistemului de monitorizare și control automat sunt:

- asigurarea unei funcționări mult mai sigure
- realizarea monitorizării continue în timp a stării procesului, ceea ce conduce la reacții foarte rapide la eventuale situații de alarmă
- posibilitatea utilizării unui minim de forță de muncă.

În concluzie, aplicația de monitorizare și control a instalației geotermale de la Universitatea din Oradea a arătat că, pentru o largă categorie de sisteme timp real și în particular pentru **sisteme de control automat a proceselor industriale**, metodologia propusă constituie o soluție de dezvoltare simplă și fezabilă din punct de vedere practic, utilizarea paradigmei ciclice bazate de asigurarea resurselor necesare (resource adequacy) în combinație cu PLC-urile făcînd posibilă asigurarea cerințelor de predictabilitate și determinism impuse acestor categorii de aplicații.

7.3. Dezvoltări ulterioare

Actuala teză reprezintă o etapă într-un domeniu mai vast, ce constituie de mai mulți ani o preocupare a colectivului de cercetare Geotermal-Exploatare de la Universitatea din Oradea, din cadrul căruia face și autoarea parte. Cercetările au început încă din anul 1995, continuând în prezent cu partea de proiectare și implementare a sistemului de monitorizare și control a centralei electrice (Anexa 1), subsistem care nu a fost încă finalizat, acesta punând probleme mai deosebite datorită existenței unor constingeri (inclusiv temporale) mult mai severe.

În prezent se studiază posibilitatea utilizării (cu eventualele adaptări) a metodologiei propuse pentru dezvoltarea acestei aplicații de control timp real, etapa care se finalizează prin această teză având rolul de a oferi un prim suport teoretic și practic pentru rezolvarea aplicațiilor de această natură.

Teza deschide de asemenea drumul către alte direcții de îmbunătățire a metodologiei propuse, eventual prin luarea în considerare și a tehnologiilor obiectuale, odată cu îmbunătățirea semanticii temporale a acestora.

BIBLIOGRAFIE

- [ACZ93] Agrawal G., Chen B., Zhao W.: *Local Synchronous Capacity Allocation Schemes for Guaranteeing Message Deadlines with the Timed Token Protocol*, INFOCOM '93, IEEE, Piscataway, NJ, 1993
- [AMR98] Adan J.M., Magalhaes M.F., Ramamritham K: *Developing Predictable and Flexible Distributed Real-time systems*, Control Engineering Practice, Vol 6, 1998
- [AW88] Anstrom K. J., Wittenmark B. : *Computer Controlled Systems. Theory and design*, Prentice Hall Inc., New York, 1988.
- [Bar88] Barney G. : *Intelligent Instrumentation: Microprocessor Applications in Measurement and Control*, Prentice Hall, 1988
- [BB99] Bate I., Burns A.: *A Framework for Scheduling in Safety-Critical Embedded Control Systems*, Proceedings of the 6th International Conference on Real-Time Computing Systems and Applications, 1999
- [Ben94] Bennett Stuart: *Real Time Computer Control*, Prentice Hall, 1994
- [Beq98] Bequette B.W.: *Process Dynamics: Modeling, Analysis and Simulation*. Prentice Hall New Jersey, 1998
- [Ber92] Berard Software Engineering, Inc: *A Comparison of Object-Oriented Development Methodologies*, Gaithersburg, MD: Berard Software Engineering Inc., 1992
- [BF97] Barbat B., Filip F. Gh. : *Ingineria programării în timp real*, Editura Tehnică București, 1997
- [BGM95] Bonfatti F., Gadda G., Monari P.D: *Reusable software design for programmable logic controllers*, ACM SIGPLAN Workshop Proceedings, 1995

- [Boa93] Boasson M.: *Control Systems Software*, IEEE Transactions on Automatic Control, vol. 38, no. 7, 1993
- [Boo98] Booch G.: *Coming of Age in an Object Oriented World*, IEEE Software, November 1998
- [Boy93] Boyer Stuart : *SCADA Supervisory Control And Data Acquisition*, Instrument Society of America, 1993
- [BPSW99] Burns A., Punnekkat S., Stringini L., Wright D.R: *Probabilistic Scheduling Guarantees for Fault-Tolerant Real-Time Systems*, Proceedings of the 7th International Working Conference on Dependable Computing for Critical Applications, 6-8 January 1999
- [Bra96] Brandin B.A.: *The Real-Time Supervisory Control of an Experimental Manufacturing Cell*, IEEE Transactions on Robotics and Automation, vol. 12, no. 1, 1996
- [BRI98a] Booch G. , Rumbaugh J. , Iacobson I. : *Unified Modeling Language Reference Guide*, Adison Wesley Inc., 1998
- [BRI98b] Booch G. , Rumbaugh J. , Iacobson I.: *Unified Modeling Language User Guide*, Adison Wesley Inc., 1998
- [Bru95] Bruno G. : *Model-Based Software Engineering*, Chapman-Hall, London, 1995.
- [BSV93] Balarin F., Sangiovanni-Vincentelli A.: *A Verification Strategy for Timing Constrained Systems*, Proceedings of Fourth International Conference on Computer Aided Verification, Springer-Verlag, 1993.
- [BW91] Burns A., Wellings A. : *Real Time Systems and Their Programming Languages*, Adison Wesley Publishing , 1991
- [CHLR93] Clements P.C., Heitmeyer C.L., Labaw B.G, Rose M.T. : *MT: A Toolset for Specifying and Analyzing Real Time Systems*, Proceedings Real Time Symposium, 1993
- [Consi93] Considine D.M. : *Process Industrial Instruments and Controls Handbook*, 4th edition, McGraw-Hill, 1993

- [Const93] Constantine L.: *Work Organization: Paradigms for Project Management and Organization*, Communication of the ACM 36, no. 10, October 1993
- [Coo97] Cooling J. E. : *Real-Time Software Systems: An Introduction to Structured and Object Oriented Design*, PWS Publishing Company, 1997
- [Cri90] Crispin Alan: *Programmable Logic Controllers and Their Engineering Applications*, McGraw Hill, 1990
- [CVH98] Control Valve Handbook, 3rd edition, Fisher Controls International Inc., USA, 1998
- [DB86] Davidoviciu A., Bărbat B.: *Limbaje de programare pentru sisteme în timp real*, Editura Tehnică București, 1986
- [Deu88] Deutsch M.S. : *Focusing Real-Time Systems Analysis on User Operations.*, IEEE Software, September 1988
- [Dia84] Diaz M.: *DROL: A Distributed and Real-Time Object Oriented Logic Environment*, The Computer Journal 37, no.5, 1984
- [DLZSF98] Deng Z., Liu J.W.S., Zhang L., Seri M., and Frei A.: *An Open Environment for Real-Time Applications*, Real-Time Systems Journal, 1998
- [Dor92] Dorf R. C.: *Modern Control Systems*, Addison Wesley Publishing Company, 1992
- [Dou98a] Douglas B. P.: *Doing Hard Time: Objects and Patterns in Real-Time Software Development*, Reading MA: Adison Wesley Longman, 1998
- [Dou98b] Douglas B. P.: *Real-Time UML: Developing Efficient Objects for Embedded Systems*, Adison Wesley Inc., 1998
- [Eli95] Eliens A.: *Principles of Object-Oriented Software Development*, Addison-Wesley Inc., 1995
- [Eli94] Ellis J. R. : *Objectifying Real-Time Systems*, SIGS Books, New York 1994
- [ESA93] ESA: *HOORA: Hierarchical Object-Oriented Requirements Analysis*, ESA Report E2S/OORA/WP1/METH, 1993

- [FB95] Frensel, G., Bruijn, P.M.: *Issues in Development Models of Real-Time Process Control Software*, Preprints of the 3rd IFAC/IFIP Workshop on Algorithms and Architectures for Real-Time Control, Ostende, Belgium, 1995
- [FCL93] Fruehauf P.S., Chien I.L., Lauritsen M.D.: *Simplified IMC-PID Tuning Rules*, ISA Paper # 93-414, 1993
- [GF86] Guran M., Filip F.G.: *Sisteme ierarhizate și în timp real cu prelucrarea distribuită a datelor*, Editura Tehnică București, 1986
- [GHJV94] Gamma E., Helm R., Johnson R., Vlissides J. : *Design Patterns – Elements of Reusable Object Oriented Software*, Reading, MA: Addison Wesley, 1994
- [GJM91] Ghezzi C., Jazayeri M., Mandrioli D. : *Fundamentals of Software Engineering*, Prentice Hall, 1991
- [Gol93] Goldsmith S.: *A practical Guide to Real-Time Systems development*, Prentice Hall, Englewood Cliffs NJ, 1993
- [Gom86] Gomaa H. : *Software Development of Real-Time Systems*, Communications of the ACM, vol. 29, no. 7, 1986.
- [Gom89] Gomaa, H.: *A Software Design Method for Distributed Real-Time Applications*, Journal of System and Software, 1989
- [Gom93] Gomaa H.: *Software Design Methods for Concurrent and Real-Time Systems*, Reading MA: Addison Wesley, 1993
- [Gom95] Gomaa H.: *Reusable Software Requirements and Architectures for Families of Systems*, The Journal of Systems and Software, vol. 28, no.3, 1995
- [GS93] Garlan D., Shaw M.: *An Introduction to Software Architecture: Advanced in Software Engineering and Knowledge Engineering*, vol.1, World Scientific Publishing, Singapore 1993
- [GW93] Gilbert J. W., Wilhem R. G.: *A Concurrent Object Model for an Industrial Process-Control Application*, Journal of Object Oriented Programming, November/December 1993

- [GW93] Gilbert J.W., Wilhem R.G.: *A Concurrent Object Model for an Industrial Process-Control Application*, Journal of Object-Oriented Programming 6., no.7, 1993
- [Hal90] Hall A.: *Seven Myths of Formal Methods*, IEEE Software, September 1990
- [Hal92] Halang W.A. : *Real Time Systems: Another Perspective*, The Journal of Systems and Software, April 1992
- [HFL95] Hull D., Feng W., Liu J.W.S.: *Enhancing the Performance and Dependability of Hard Real-Time Systems*, IEEE Computer Performance and Dependability Symposium, Erlangen, Germany, April 1995
- [HG93] Horning J.J., Guttag J.V.: *Larch: Languages and Tools for Formal Specification*, Springer-Verlag, 1993
- [Hin92] Hinchey M.G. : *JSD, RPT & the Design of Real Time Systems*, M.Sc. disertation, Oxford University, Programming Research Group, 1992
- [HM96] Heitmeier C., Mandrioli D. : *Formal Methods for Real-Time Computing*, John Wiley & Sons, 1996
- [Hod98] Hodson W.R.: *A Fieldbus Primer*, Oil Patch Magazine, November/December 1998
- [Hoh96] Hohmann, T.: *Why PCs Won't Kill PLCs*, *Industrial Computing*, vol. 15, no. 10, 1996
- [How93] Howell S. : *Annotation for System Engineering of Large Complex Real-Time Systems*, NATO Real-Time Systems Conference Proceedings, 1993
- [HP87] Hartley D., Pirbhai I. : *Strategies for Real-Time System Specification.*, New York: Dorset House Publishing, 1987
- [HS91] Halang W. A., Stoyenko A. D. : *Constructing Predictable Real-Time Systems*, Kluwer Academic Publishers, 1991
- [IBR98] Iacobson I., Booch G., Rumbaugh J.: *The Objectory Software Development Process*, Adison Wesley Inc., 1998

- [IEC95] IEC Control Valve Standard, IEC 534-8-3,1995
- [IEEE93] IEEE: *IEEE Guide to Software Requirements Specifications*, IEEE Std 830-1993, The Institute of Electrical and Electronics Engineers, 1993
- [Irw96] Irwin G.W.: *The Engineering of Complex Real Time Computer Control*, Kluwer Academic Publisher, 1996
- [ITM90] Ishikawa Y., Tokuda H., Mercer C. : *Object-Oriented Real-Time Languages Design: Constructs for Timing Constrains*, Proceedings of OOPSLA, 1990
- [Jah93] Jahanian F.: *Verifying Properties of Modechart Specifications*, Proceedings Real Time Symposium, 1993
- [JCJG92] Jacobson I., Christerson M., Jonsson P., Gunnar O.: *Object Oriented Software Engineering – A Use Case Driven Approach*, Reading MA: Addison Wesley, 1992
- [JM94] Jahanian F., Mok A.K.: *A Specification Language for Real-Time Systems*, IEEE Transaction on Software Engineering vol. 20, 1994
- [Kav92] Kavi K. M.: *Real-Time Systems - Abstraction, Languages and Design Methodologies*, IEEE Computer Society Press, 1992
- [Kle93] Klein M., Ralya T., Pollak B., Obenza R., Gonzalez M.: *A Practitioner's Handbook for Real-Time Analysis: Guide to Rate-monotonic Analysis for Real-Time Systems*, Boston, Kluwer Academic Publishers,1993
- [Kop91] Kopetz H. : *Event-Triggered versus Time-Triggered Real-Time Systems*, International Workshop on Operating Systems in the 90' and Beyond, 1991
- [Kop92] Kopetz H.: *The Time Triggered Approach to real Time System design - Predictability Dependable Computing Systems*, Springer Verlag, Heildelberg, 1992
- [Kop97] Kopetz, H.: *Real-Time Systems - Design Principles for Distributed and Embedded Applications*, Kluwer Academic Publishers, 1997

- [Kop98] Kopetz H.: *The Time-Triggered Model of Computation*, The 19th IEEE Systems Symposium (RTSS98), Madrid, Spain, 1998
- [Koy90] Koymans R.: *Specifying Real Time Properties with Metric Temporal Logic*, Real-Time Systems Journal, vol. 2, no. 4, 1990
- [Kru92] Krueger C. W. : *Software Reuse*, ACM Computing Surveys 24, no. 2, 1992
- [KS92] Klingerman E., Stoyenko A. D. : *Real-Time Euclid: A Language for Reliable Real-Time Systems*, IEEE Transactions on Software Engineering, vol. 12, no. 9, 1992
- [KS97] Krishna, C. M., Shin K. G.: *Real-Time Systems*, McGraw-Hill Companies Inc., 1997
- [KTK91] Kurose J. F., Towsley D. F., Krishna C. M.: *Design and Analysis of Processor Scheduling Policies for Real-Time Systems*, Foundations of Real Time Computing: Scheduling and Resource Management, Kluwer, Boston, 1991
- [KY92] Kavi K.M., Yang S.M. : *Real-Time Systems Design Methodologies: An Introduction and a Survey*, The Journal of Systems and Software, April 1992
- [KY95] Kavi, K. M., Yang, S. M.: *Real-Time Systems Design Methodologies: An Introduction and a Survey*, Journal of Systems and Software, 1995
- [LA93] Levi S. T., Agrawala A. K. : *Real Time Systems Design*, McGraw Hill Publishing, 1993
- [Lap93] Laplante P.A.: *Real-Time Systems Design and Analysis*, IEEE Press, 1993
- [Lau93] Lauber R.: *Statement on a Concept for Dynamic Testing in Four Sequential Steps During Software Development*, NATO Real-Time Systems Conference Proceedings, 1993

- [Law92] Lawson H. W. : *Cy-Clone: An Approach to the Engineering of Resource Adequate Cyclic Real-Time Systems*, Journal of Real-Time Systems, Vol. 4, No.1, 1992
- [LBGG94] Lee I., Bremont-Gregoire P., Gerber R.: *A Process Algebraic Approach to the Specification and Analysis of Resource-Bound Real-Time Systems*, Proceedings of IEEE, January 1994
- [Lev95] Levine P. S.: *The Programmable (Logic) Controller: Adapting in an Environment of Change*, Industrial Computing, vol. 14, no. 3, 1995
- [LH91] Lala J. H., Harper R. E. :*A Design Approach for Ultra-Reliable Real-Time Systems*, IEEE Computer no. 24, 1991
- [LH95] Liu J.W.S., Ha R.: *Methods for Validating Real-Time Constraints*, The Journal of Systems and Software, vol. 30 (1-2), July-August 1995
- [LL73] Liu C.L., Layland J. W.: *Scheduling Algorithm for Multiprogramming in a Hard Real Time Environment* , Journal of the ACM, vol. 20, no. 1, 1973
- [LRD95] Lagnier F., Raymond P., Dubois C. : *Formal verification of critical systems written in Saga/Lustre*, Workshop of Formal Methods, Modelling and Simulation for System Engineering, St. Quentin en Yvelines, France, February 1995
- [LSGL94] Luchangco V., Soylemez E., Garland S., Lynch N. : *Verifying Timing Properties of concurrent Algorithms*, Proceedings of Formal Description Techniques VII FORTE, 1994
- [LSLBC91] Liu J. W. S., Shin W. K., Lin K. J., Bettati R., Chung J. Y. *Algorithms for Scheduling Imprecise Computations*, Foundations of Real Time Computing: Scheduling and Resource Management, Kluwer, Boston, 1991
- [Mar95] Marlin T.E.:*Process Control: Designing Processes and Control Systems for Dynamic Performance*, McGraw Hill, New York, 1995

- [McD93] McDermid J.: *Dependability Requirements: Orthodoxy and Goal-structured Approach*, Proceedings of the Dependable Software Technology Exchange, Software Engineering Institute, Carnegie Mellon University, March 1993
- [MGA95] MGA Software: *Advanced Continuous Simulation Language ACSL. Reference Manual*, 1995
- [MGA96a] MGA Software: *Graphic Modeller. User's Guide*, 1996
- [MGA96b] MGA Software: *Advanced Continuous Simulation Language ACSL. User's Guide*, 1996
- [Mic90] Michel G. : *Programmable Logic Controllers*, Wiley & Sons, New York, 1990
- [MK94] Ma J., Knight B.: *A General Temporal Theory*, The Computer Journal 37, no.2, 1994
- [OGF84] Orășanu L., Gașpar F., Filip F.G.: *Two CAD Systems of Real-Time Control Systems for Complex Systems*, Real Time Hierarchical Control, Springer-Verlag, 1984
- [OR94] Ogunaike.A., Ray W.H.: *Process Dynamics, Modeling and Control*, Oxford University Pressinc., New York, 1994
- [Ost92] Ostroff J.S. : *Formal Methods for the Specification and Design of Real Time Safety Critical Systems*, The Journal of Systems and Software, April 1992
- [Ost94] Ostroff J. : *Visual Tools for Verifying Real-Time Systems*, Theories and Experiences for Real-Time System Development, AMAST Series in Computing, vol. 2, Singapore 1994
- [OW90] Ostroff J.S., Wonham W.M.: *A Framework for Real-Time Discrete Event Control*, IEEE Transactions on Automatic Control, vol 35, no. 4, 1990
- [Pag88] Page-Jones M. : *Practical Guide to Structured Systems Design.*, 2nd edition, Prentice Hall, Englewood Cliffs NJ, 1988

- [Par95] Parr E. A. : *Programmable Controllers. An engineer's Guide*, Newnes, an imprint of Butterworth-Heinemann, 1995
- [Per91] Perdikaris G. A.: *Computer Controlled Systems. Theory and Applications*, Kluwer Academic Publisher, 1991
- [Pes93] Pesonen P.: *Object-Based Design of Embedded Software*, Technical Research Center of Finland, 1993
- [Pfl91] Pfleeger S. L. : *Software Engineering*, 2nd edition, New York, Macmillan, 1991
- [PH96] Philips C. I., Harbor R. D. : *Feedback Controlled Systems*, Prentice Hall International., New York, 1996
- [PM98] Puchol C., Mok A.K.: *Integrated Design Tools for Hard Real-time Systems*, The 19th IEEE Systems Symposium (RTSS98), Madrid, Spain, 1998
- [Pop86] Popa B. : *Manualul inginerului termotehnician.*, Editura Tehnică, București., 1986.
- [Ram96] Ramamritham K : *Predictability: Demonstrating Timing Requirements*, ACM Computing Surveys, 28A(4), December 1996
- [Rat98] Rational Software Inc.: *Real-Time Rational Rose – User Guide*, 1998
- [RD89] Rodd M.C., Deravi F. : *Communication Systems for Industrial Control*, Prentice Hall, 1989
- [Rhe97] Rheinhart N. F.: *Impact of Control Loop Performance on Process Profitability*, Aspen World'97, Boston, Massachusetts, USA, October 15, 1997
- [Rip89] Ripps L.: *An Implementation Guide to Real-Time Programming*, Prentice Hall, 1989
- [RIZ90] Rodd M. G., Izikowitz A., Zhao G. F. : *RTMMS - An OSI-based Real-Time Messaging System*, International Journal of Real-Time Systems, vol. 2, 1990

- [Roc94a] Rockwell Automation : *SLC Family of Small Programmable Controllers. System Overview*, 1994
- [Roc94b] Rockwell Automation : *Advanced Programming Software (APS). User manual*, 1994
- [Roc94c] Rockwell Automation : *Advanced Programming Software (APS). Reference manual*, 1994
- [Roc95] Rockwell Automation : *Allen Bradley Automation Systems*, 1995
- [Rod93] Rodd M.C.: *Communication for Real-Time Industrial Control: The Design Issues*, NATO Real-Time Systems Conference Proceedings, 1993
- [RSS90] Ramamritham K. J., Stankovic A., Shiah P. F. : *Efficient Scheduling Algorithms for Real Time Multiprocessor Systems*, IEEE Transactions on Parallel and Distributed Systems, vol 1, 1990
- [Rul97] Rullan, A.: *Programmable Logic Controllers versus Personal Computers for Process Control*, Computers industrial Engineering, vol 33, no.1-2, 1997
- [Sad89] Saden B. : *Entity Life Modeling and Structured Analysis in Real-Time Software Design - A Comparison*, Communication of the ACM, vol 32, no. 12, 1989
- [SC85] Smith C.A., Corripio A.B.: *Principles and Practice of Automatic Process Control*, John Wiley & Sons, New York, 1985.
- [SC97] Smith C.A., Corripio A.B.: *Principles and Practice of Automatic Process Control*, 2nd edition, John Wiley & Sons, New York, 1997
- [SEM89] Seborg D.E., Edgar T.F., Mellichamp D.A.: *Process Dynamics and Control*, John Wiley and Sons, New York, 1989
- [SGW94] Selic B., Gullekson G., Ward P. : *Real-Time Object Oriented Modeling*, John Wiley & Sons, New York, 1994

- [SHH91] Stoyenko A.D., Hamacher V.C., Holt R.C.: *Analyzing Hard Real-Time Programs for Guaranteed Schedulability*, IEEE Transactions of Software Engineering, vol. 17, no. 8, 1991
- [Shi96] Shinskey F.G. : *Process Control Systems: Application, Design and Tuning*, 4th edition, McGraw Hill, New York, 1996
- [SMY00] Svrcek W., Mahoney D., Young B.: *A Real-Time Approach to Process Control*, John Wiley & Sons, 2000
- [SR90] Stankovic I., Ramamrithan K. : *What is Predictability for Real-Time Systems?*, Real-Time Systems no. 2, 1990
- [SR93] Stankovic J., Ramamritham K.: *Advances in Hard Real-Time Systems*, IEEE Computer Society Press, September 1993
- [SR98] Stankovic J., Ramamritham K : *Deadline Scheduling for Real-time systems: EDF and Related Algorithms*, Kluwer Academic Publishers, 1998
- [SRS94] Sha L., Rajkumar R., Sathaye S. S. : *Generalized Rate-Monotonic Scheduling Theory: A Framework for Developing Real Time Systems*, Proc. IEEE vol 82, 1994
- [SS94] Sathaye S. S., Strosnider J. K. : *Conventional and Early Token Release Scheduling Models for the IEEE 802.5 Token Ring*, Real Time Systems, no. 7, 1994
- [SSDNB95] Stankovic J., Spuri M., Di Natale M., and Buttazzo G.: *Implications of Classical Scheduling Results For Real-Time Systems*, IEEE Computer, Vol. 28, No. 6, 1995
- [Sta88] Stankovic J. : *Misconceptions about Real-Time Computing: A serious problem for next generation systems*, IEEE Computer Magazine, vol. 21, 1988
- [Sta92a] Stankovic J.: *Distributed Real-Time Computing: The Next Generation*, special issue of Journal of the Society of Instrument and Control Engineers of Japan, Vol. 31, No. 7, 1992

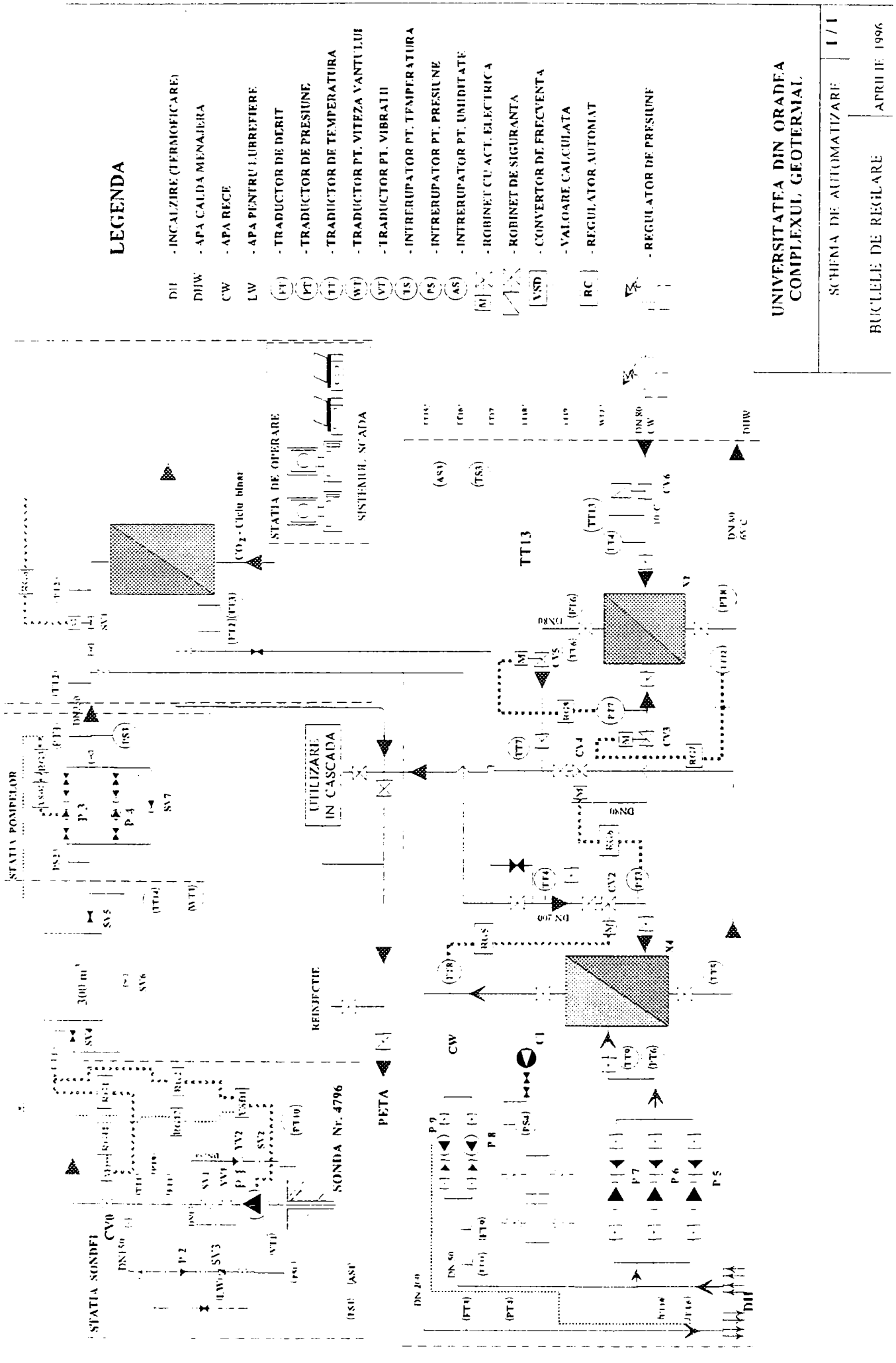
- [Sta92b] Stankovic J.: *Real-Time Computing*, BYTE Magazine, invited paper, August 1992
- [Sto92] Stoyenko A.D. : *The Evolution and State-of-the-Art of Real Time Languages* , The Journal of Systems and Software, April 1992
- [TBW94] Tindel K.W., Burns A., Wellings A.J. : *An Extensible Approach for Analysing Fixed Priority Hard Real-Time Tasks*, Real Time Systems no. 6, 1994
- [TCGDM95] Thoen F., Cornero M., Goossens G., De Man H.: *Software synthesis for real-time information systems*, ACM SIGPLAN Workshop Proceedings, 1995
- [TL92] Tyreus B.D., Luyben W.L.: *Tuning of PI Controllers for Integrator/Deadtime Processes* , Ind. Eng. Chem. Res., 1992
- [Ver96] Verilog Inc.: *ObjectGEODE - Object Oriented Real-Time Techniques. Method Guidelines*, 1996
- [VMP92] Veillette R. J., Medanic J. V., Perkins W. R.: *Design of Reliable Control Systems*, IEEE Transactions on Automatic Control, vol. 37, no.3,1992
- [VTK91] Van Tilborg A. M., Koob G.M.: *Foundations of Real-Time Computing: Scheduling and Resource Management*. Kluwer Academic Publishers, Norwell, Massachusetts, 1991
- [War88] Warnock I. G. : *Programmable Controllers. Operation and application.*, Prentice Hall Inc., New York, 1988
- [Wil95] Wilner D.: *WindView: A Tool for Understanding Real-Time Embedded Software through System Visualization*, ACM SIGPLAN Workshop Proceedings, 1995
- [WM85a] Ward P.T., Mellor S.J.: *Structured Development for Real-Time Systems*, Yourdon Press, New York, 1985.
- [WM85b] Ward P.T., Mellor S.J.: *Structured Development for Real-Time Systems: Introduction and Tools*, Englewood Cliffs, NJ: Prentice Hall, 1985.

- [Won90] Wondeware Corporation: *DDE Server. Allen Bradley Serial*, 1990
- [Won94a] Wondeware Corporation : *InTouch. User Guide*, 1994
- [Won94b] Wondeware Corporation : *NetDDE for Windows*, 1994
- [Xu93] Xu J. : *Multiprocessor Scheduling of Processes with Release Times, Deadlines, Precedence and Exclusion Relations*, IEEE Transactions of Software Engineering, vol 19, 1993
- [You89] Young S. J. : *Real Time Languages: Design and Development*, John Wiley & Sons, 1989
- [Zma95] Zmaranda D.: *Automatic Control and Monitoring System for the District Heating System at the University of Oradea*, United Nations University Reports, 1995
- [Zma95a] Zmaranda D.: *Optimizarea planificării task-urilor în sisteme de timp real*, Proceedings of EMES'95, Băile Felix, Romania, 1995
- [Zma95b] Zmaranda D.: *Algoritmi de sortare adaptivi*, Proceedings of EMES'95, Băile Felix, Romania, 1995
- [Zma96] Zmaranda D.: *Considerations regarding SCADA system programming used in the geothermal plant at the University of Oradea*, Proceedings of RSEE'96, Băile Felix, Romania, 1996
- [Zma97] Zmaranda D.: *Aspecte privind comunicarea în sistemele de control în timp real și distribuite*, Proceedings of EMES'97, Băile Felix, Romania, 1997
- [ZG98] Zmaranda D., Gabor G.: *Techniques and strategies used in industrial computer control*, Proceedings of RSEE'98, Băile Felix , Romania, 1998
- [Zma98a] Zmaranda D.: *State of the art of the formal methods used for real-time systems*, International Scientific Conference on Electronic Computers and Informatics, Kosice, Slovakia, 1998

- [Zma98b] Zmaranda D.: *The role of standards in real-time systems*, Proceedings of RSEE'98, Băile Felix, Romania, 1998
- [Zma98c] Zmaranda D.: *Issues regarding the use of object-oriented approach in real-time programming languages*, Transactions on Automatic Control and Computer Science, Timișoara, 1998
- [Zma99] Zmaranda D.: *Paradigms for constructing predictable real-time systems. The cyclic approach*, International Scientific Conference on Electronic Computers and Informatics, Kosice, Slovakia 1999
- [ZC00] Zmaranda D., Cretu V.: *A methodology for development of mathematical models and simulation for real-time control applications*, Transactions on Automatic Control and Computer Science, Timișoara, 2000
- [ZG00] Zmaranda D., Gabor G.: *State of the art of the automatic control and monitoring system from the geothermal plant from the University of Oradea, Romania: present and perspectives*, World Geothermal Congress 2000, Kyushu-Tohoku, Japonia, 2000
- [Zma00] Zmaranda D.: *Real-time systems methodologies – a comparison. Present and perspectives*, International Scientific Conference on Electronic Computers and Informatics, Kosice, Slovakia, 2000
- [ZC01] Zmaranda D., Cretu V.: *Development Issues For Real-Time Control Applications*, IEEE International Conference on Telecommunication, Bucharest, Romania, 2001

GLOSAR

ACSL	= Advanced Continuous Simulation Language
APS	= Advanced Programming Software
DDE	= Dynamic Data Exchange
ET	= Event Triggered
FSD	= Finite State Diagram
HMS	= Hierarchical Multistate Machine
ICA	= Ingineria Controlului Automat
I/O	= Input/Output
IP	= Ingineria Programării
JSC	= Jackson Structured Charts
MMS	= Modular Modeling System
MSC	= Message Sequence Charts
OMT	= Object Modeling Technique
OSI	= Open System Interconnection
PLC	= Programmable Logic Controller
RTMMS	= Real Time Manufacturing Message Specification
SCADA	= Supervisory Control And Data Acquisition
SDL	= Specification and Description Language
TT	= Timed Triggered
WCET	= Worst-Case Execution Time



Anexa 1: Valorile calculate în schema de automatizare

Notăție folosită	Mod de calcul - utilizare
TT14	temperatura exterioară calculată ca valoarea medie de-a lungul unui interval de 10 minute
WT1	viteza vântului calculată ca valoarea medie de-a lungul unui interval de 10 minute
WT2	media celor 144 valori măsurate ale lui WT1, și calculate pentru întreaga zi (pentru 24 ore – calculată la ora 24.00 a zilei curente)
TT15	media aritmetică a celor 144 valori măsurate și calculate ale lui TT14 pentru întreaga zi (24 ore – calculată la ora 24.00 a zilei curente).
TT16	media aritmetică a celor 144 valori măsurate și calculate ale lui TT14 pentru ultimele 24 de ore (calculată la fiecare oră și utilizată pentru a calcula setpoint-ul pentru regulatorul RG5).
TT17	temperatura exterioară echivalentă calculată din TT14 și WT1 pe baza următoarei ecuații: $TT17 = TT14 - (1+0.022 \times (TT14-10.4)) \times (1.94 \times WT1)^{0.5}$
TT18	media temperaturii echivalente exterioare pe 24 ore (media celor 144 valori ale lui TT17 calculate pentru întreaga zi)
TT19	temperatura exterioară medie echivalentă pe ultimele 24 ore (media ultimelor 144 valori ale lui TT17 măsurate și calculate). Valoarea lui TT19 poate fi folosită pentru a calcula valoarea (prestabilită) a setpoint-ului pentru regulatorul RG5, în loc de a folosi TT16, dacă se dovedește mai relevantă includerea influenței vântului în cererea de căldură
TT20	TT20 temperatura agentului termic furnizat în rețeaua de încălzire, reprezentând valoarea presetată (setpoint-ul) pentru regulatorul RG5. Deoarece nu există încă instalate traductoare de căldură în clădirile universității, ceea ce ar permite reglarea temperaturii în funcție de cerere, temperatura apei furnizate poate fi reglată funcție de condițiile meteorologice prin ecuația $TT8 = TT20$, unde: $TT20 = x_{h14} \quad \text{dacă } TT16 > x_{h9}$ $TT20 = x_{h12} - x_{h13} \times TT16 \quad \text{dacă } x_{h10} \leq TT16 \leq x_{h9}$ $TT20 = x_{h11} \quad \text{dacă } TT16 < x_{h10}$ (vezi Anexa 3)

1. Alarmer la stația sondei

Alarma	Notația folosită
Presiune prea mică în puț, mai mult de 5 s	PT9_L
Presiune prea mare în puț, mai mult de 5 s	PT9_H
Presiune excesiv de mică în puț, mai mult de 5 s	PT9_LL
Presiune excesiv de mare în puț, mai mult de 5 s	PT9_HH
Vibrații mari ale pompei P1, mai mult de 5 s	VT1_H
Vibrații excesiv de mari ale pompei P1, mai mult de 5 s	VT1_HH
Debit prea mare, mai mult de 5 s	FT1_H
Debit excesiv de mare, mai mult de 2 minute	FT1_HH
Curent prea mare la motorul pompei P1, mai mult de 5 s	P1_MC_H
Curent excesiv de mare la motorul pompei P1, mai mult de 5 s	P1_MC_HH
Temperatură prea mică, mai mult de 5 s	TT1_L
Temperatură prea mare, mai mult de 5 s	TT1_H
Temperatură excesiv de mică, mai mult de 5 s	TT1_LL
Temperatură excesiv de mare, mai mult de 5 s	TT1_HH
Nivel prea mic al apei în rezervor, mai mult de 5 s	LT1_L
Nivel prea mare al apei în rezervor, mai mult de 5 s	LT1_H
LT1 mai mic decît limita LL pentru 2 minute cu ieșirea regulatorului RG2 100%	LT1_LL
LT1 mai mare decît limita HH pentru 2 minute cu ieșirea regulatorului RG2 0%	LT1_HH
Umiditate prea mare în interiorul stației sondei	AS1
Temperatură prea mare în interiorul stației sondei	TS1
Presiune prea mică a apei de ungere	PS1
Cădere de tensiune în stația sondei	PFS1

Alarmer datorate defecțiilor echipamentelor	Notația folosită
VSD1 nu este disponibil	P1_OK
VSD1 defect	P1_FA
Supraîncălzire la motorul pompei P1	P1_OH
Supraîncărcare sau scurt-circuit la motorul pompei P1	P1_OL
Pompa P1 defectă	P1_TD
Supraîncărcare sau scurt-circuit la motorul pompei P2	P2_OL
Pompa P2 defectă	P2_TD
Robinetul de reglare CV0 defect	CV0_OL
Eroare de închidere la robinetul de reglare CV0	CV0_CL
Eroare de deschidere la robinetul de reglare CV0	CV0_OP
Eroare de mișcare la robinetul de reglare CV0	CV0_M

Transmițătorul PT9 defect	PT9_TR
Transmițătorul PT10 defect	PT10_TR
Transmițătorul LT1 defect mai mult de t_{w13} secunde	LT1_TR
Transmițătorul FT1 defect	FT1_TR
Transmițătorul TT1 defect	TT1_TR
Transmițătorul VT1 defect	VT1_TR

2. Alarmer la stația de pompare

Alarma	Notația folosită
Presiune prea mică în sistem, mai mult de 5 s	PT1_L
Presiune prea mare în sistem, mai mult de 5 s	PT1_H
Presiune excesiv de mică în sistem, mai mult de 5 s	PT1_LL
Presiune excesiv de mare în sistem, mai mult de 5 s	PT1_HH
Curent prea mare la motorul pompei P3, mai mult de 5 s	P3_MC_HH
Curent excesiv de mare la motorul pompei P3, mai mult de 5 s	P3_MC_H
Curent prea mare la motorul pompei P4, mai mult de 5 s	P4_MC_HH
Curent excesiv de mare la motorul pompei P4, mai mult de 5 s	P4_MC_H
Umiditate prea mare în interiorul stației sondei	AS2
Temperatură prea mare în interiorul stației sondei	TS2
Presiune de absorbție prea mică	PS2
Presiune de refulare prea mare	PS3
Cădere de tensiune în stația sondei	PFS2

Alarmer datorate defecțiunilor echipamentelor	Notația folosită
VSD2 nu este disponibil	P3_OK
VSD2 defect	P3_FA
Supraîncărcare sau scurt-circuit la motorul pompei P3/P4	P3_OL /P4_OL
Pompa P3/P4 defectă	P3_TD /P4_TD
Transmițătorul PT1 defect mai mult de t_{p1} secunde	PT1_TR
Transmițătorul TT14 defect mai mult de t_{h3} secunde	TT14_TR

3. Alarmer la punctul termic

Alarma	Notația folosită
Presiunea furnizată excesiv de mare pentru mai mult de t_{h6} secunde	PT4_HH _{th6}
Presiunea furnizată prea mare	PT4_H
Presiunea furnizată prea mică	PT4_L
Presiunea furnizată excesiv de mică	PT4_LL
Presiunea de absorbție excesiv de mică pentru mai mult de t_{h7} secunde	PT5_LL _{th7}
Presiunea de absorbție prea mică	PT5_L
Presiunea de absorbție prea mare	PT5_H
Presiunea de absorbție excesiv de mare	PT5_HH
Presiunea de refulare a pompei excesiv de mare pentru mai mult de t_{h8} secunde	PT6_HH _{th8}
Presiunea de refulare a pompei prea mare	PT6_H
Presiunea de refulare a pompei prea mică	PT6_L
Presiunea de refulare a pompei excesiv de mică	PT6_LL
Presiunea diferențială pe schimbătoarele de căldură este mai mare decît x_{h2} pentru mai mult de t_{h9} secunde	PT6_PT3
Umiditate prea mare în interiorul punctului termic	AS3
Temperatură prea mare în interiorul punctului termic	TS3
Presiune prea mică în amortizoarele pneumatice	PS4
Cădere de tensiune în punctul termic	PFS3

Alarmer datorate defecțiunilor echipamentelor	Notația folosită
Supraîncărcare sau scurt-circuit la motorul pompelor P5-P9	P5_OL.... P9_OL
Pompele P5-P9 defecte	P5_TD.... P9_TD
Robinetele de reglare CV2 - CV6 defecte	CV2_FAULT.. CV6_FAULT
Transmițătorul PT3 defect mai mult de t_{h3} secunde	PT3_FAULT
Transmițătorul PT7 defect mai mult de t_{h3} secunde	PT7_FAULT
Transmițătoarele PT4 – PT6, PT8 defecte	PT4_FAULT.. PT8_FAULT
Transmițătorul TT12 defect mai mult de t_{h3} secunde	TT12_FAULT
Transmițătorul TT8 defect mai mult de t_{h3} secunde	TT8_FAULT
Transmițătoarele TT4 –TT7, TT9 – TT11 defecte	TT4_FAULT.. TT11_FAULT
Transmițătoarele FT3 – FT6 defecte	FT3_FAULT.. FT6_FAULT

1. Constante pentru stația sondei

Constante pentru evaluarea stării pompelor

C_{w1} – numărul de ore de funcționare pentru pompa de adâncime P1

C_{w2} – numărul de ore de funcționare pentru pompa de ungere P2

C_{w3} – numărul de porniri/oră a pompei P1

Constante de timp

t_{w1} – timpul de întârziere permis $PT10 \geq (PT9 - x_{w1})$ înainte de schimbarea către curgere arteziană

t_{w2} – întârzierea permisă de la oprirea pompei P1 până la oprirea pompei P2

t_{w3} – întârzierea permisă de la semnalarea alarmei $LT1 \geq HH$ și oprirea pompei P1 (RG2 0% ieșire)

t_{w4} – întârzierea permisă de la semnalarea alarmei $LT1 \leq LL$ cu ieșirea RG2 100% - semnal transmis către centrala electrică

t_{w5} – întârzierea permisă de la semnalarea alarmei $LT1 \leq LL$ și pornirea pompei P1

t_{w6} – întârzierea permisă după semnalarea alarmei $PT9 \geq HH$ și oprirea pompei P1

t_{w7} – pasul de timp utilizat în schimbarea set-point-ului regulatorului RG2

t_{w8} – întârzierea de la pornirea pompei P1 după care se începe schimbarea set-point-ului regulatorului RG2

t_{w9} – întârzierea permisă de la semnalarea alarmei $VT1 \geq HH$ până la oprirea pompei P1

t_{w10} – întârzierea permisă de la semnalarea alarmei $PT9 \geq H$ până la oprirea pompei P2

t_{w13} – întârzierea permisă după detectarea unei defecțiuni la transmițătorul LT1, variabila de process pentru regulatoarele RG1 și RG2

t_{w14} – pasul de timp utilizat în schimbarea set-point-ului regulatorului RG12

t_{w15} – întârzierea de la pornirea pompei P1 după care se începe schimbarea set-point-ului regulatorului RG12

t_{p1} – întârzierea permisă după detectarea unei defecțiuni la transmițătorul PT1, variabila de process pentru regulatoarele RG11 și RG12

t_{p4} – întârzierea permisă de la semnalarea alarmei $PT1 \geq HH$ și oprirea pompei P1 (RG12 cu ieșirea 0%)

t_{L1} – întârzierea permisă pentru închiderea robinetului CV0 – stop operare, defecțiune

t_{L2} – întârzierea permisă pentru deschiderea robinetului CV0 – stop operare, defecțiune

t_{L3} – întârzierea permisă pentru operarea robinetului CV0 – stop operare, defecțiune

t_{h13} – întârzierea dintre momentul pornirii pompelor după o cădere de tensiune (comună tuturor stațiilor)

Constante diverse

x_{w1} – dacă diferența de presiune PT9 - PT10 $\geq x_{w1}$, se oprește pompa P1, trecându-se pe regimul artezian

x_{w2} – numărul maxim permis de porniri ale pompei P1/oră

x_{w3} – pasul utilizat pentru schimbarea în trepte a setpoint-ului regulatorului RG2

x_{w4} – pasul utilizat pentru schimbarea în trepte a setpoint-ului regulatorului RG12

2. Constante pentru stația de pompare

Constante pentru evaluarea stării pompelor

c_{p1} – numărul de ore de funcționare pentru pompa de forță P3

c_{p2} – numărul de ore de funcționare pentru pompa de forță P4

c_{p3} – numărul de porniri/oră ale pompei P3

c_{p4} – numărul de porniri/oră ale pompei P4

Constante de timp

t_{p1} – întârzierea permisă după detectarea unei defecțiuni la transmițătorul PT1, variabila de process pentru regulatoarele RG11 și RG12

t_{p2} – pasul de timp utilizat în schimbarea set-point-ului regulatorului RG3

t_{p3} – întârzierea de la pornirea pompei P3 sau P4 după care se începe schimbarea setpoint-ului regulatorului RG3

t_{p4} – întârzierea permisă după semnalarea alarmei PT1 $\geq HH$ și oprirea pompei P3 sau P4

t_{p5} – întârzierea permisă după semnalarea alarmei LT1 $\leq L$ și oprirea pompei P3 sau P4

t_{p8} – întârzierea permisă după semnalarea alarmei PT1 $\leq L$ și pornirea pompei P3 sau P4

t_{p11} – întârzierea permisă de la punerea ieșirii pe 0% a regulatorului RG3 și oprirea pompei P3 sau P4

t_{h13} – întârzierea dintre momentul pornirii pompelor după o cădere de tensiune (comună tuturor stațiilor)

Constante diverse

x_{p1} – numărul maxim permis de porniri ale pompei P3 respectiv P4/oră

x_{p3} – pasul utilizat pentru schimbarea în trepte a setpoint-ului regulatorului RG3

3. Constante pentru punctul termic

Constante pentru evaluarea stării pompelor

c_{h1} – numărul de porniri/oră pentru pompa de circulație P5

c_{h2} – numărul de porniri/oră pentru pompa de circulație P6

c_{h3} – numărul de porniri/oră pentru pompa de circulație P7

c_{h5} – numărul de ore de funcționare pentru pompa de circulație P5

c_{h6} – numărul de ore de funcționare pentru pompa de circulație P6

c_{h7} – numărul de ore de funcționare pentru pompa de circulație P7

c_{h8} – numărul de ore de funcționare pentru pompa de P8

c_{h9} – numărul de ore de funcționare pentru pompa de P9

c_{h10} – numărul de porniri/oră pentru pompa de P8

c_{h11} – numărul de porniri/oră pentru pompa de P9

Constante de timp

t_{h1} – întârzierea minimă permisă între schimbarea pompelor P8-9

t_{h2} – timpul maxim de operare continuă a pompelor P8-9

t_{h3} – întârzierea permisă de la raportarea unei defecțiuni la transmițătorii a căror mărime este utilizată ca variabilă de process în cadrul reguletoarelor

t_{h4} – întârzierea permisă după semnalarea alarmei $PT1 \leq LL$

t_{h5} – întârzierea minimă permisă între pornirea pompelor P5-7

t_{h6} – întârzierea permisă după semnalarea alarmei $PT4 \geq HH$

t_{h7} – întârzierea permisă după semnalarea alarmei $PT5 \leq LL$

t_{h8} – întârzierea permisă după semnalarea alarmei $PT6 \geq HH$

t_{h9} – întârzierea permisă după ce $(PT6 - PT3) \geq x_{h2}$

t_{h10} – întârzierea permisă pentru oprirea pompelor de circulație P5-7

t_{h11} – întârzierea permisă după semnalarea alarmei $PT1 \leq LL$ (CV6)

t_{h12} – întârzierea permisă după ce $(PT8 - PT7) \geq x_{h8}$

t_{h13} – întârzierea dintre momentul pornirii pompelor după o cădere de tensiune (comună tuturor stațiilor)

Constante diverse

x_{h1} – calibrarea lui WT1 – metri vint/puls

x_{h2} – maxima permisă a presiunii diferențiale pe schimbătoarele de căldură pentru circuitul de încălzire

x_{h3} – numărul maxim de porniri/oră ale pompelor P5-7

x_{h4} – valoarea minimă pentru PT5

x_{h5} – valoarea maximă pentru PT5

x_{h6} – diferența maximă între numărul de ore de funcționare ale pompelor P8 și P9

x_{h7} – numărul maxim permis de porniri/oră ale pompelor P8-9

x_{h8} – maximă permisă a presiunii diferențiale pe schimbătoarele de căldură pt. circuitul de apă caldă menajeră

x_{h9} – pragul de sus al valorii TT16 în ecuația pentru calculul lui TT20

x_{h10} – pragul de jos al valorii TT16 în ecuația pentru calculul lui TT20

x_{h11} – valoarea maximă pentru TT20

x_{h12} – constantă în ecuația pentru calculul lui TT20

x_{h13} – panta în ecuația pentru calculul lui TT20

x_{h14} – valoarea minimă pentru TT20